

ANNALEN
der
SCHWEIZERISCHEN METEOROLOGISCHEN
ZENTRALANSTALT

1957

Vierundneunzigster Jahrgang



City-Druck AG, Zürich 1
St. Peterstraße 10
1958

Inhalt

Vorwort	Pag. III
Verzeichnis der schweizerischen meteorologischen Literatur im Jahre 1957	Pag. IV
Legende zu «Tägliche Beobachtungen»	Pag. VII

Tägliche Beobachtungen

der Stationen: Bern, Neuchâtel, Aldorf, Genève, Zürich, Chasseron, Bever, Sion, Lugano, Basel, Säntis und St. Gotthard nebst ergänzenden Witterungsnotizen	Pag. 1—76
Jungfrauoch: Tägliche Lufttemperaturen	Pag. 77
Tägliche Maxima und Minima und stündliche Monatsmittel der Lufttemperatur von Zürich und Säntis	Pag. 78—79
Temperaturrextreme von 7 Normal-Stationen	Pag. 80—83
Monats- und Jahres-Übersichten der meteorologischen Beobachtungen sämtlicher Stationen	» 85—144

Pag.	Pag.	Pag.	Pag.
Aarau 104 u. 105	Davos-Platz 116 u. 117	Leysin 112 u. 113	Sarnen 96 u. 97
Adelboden 129	Disentis 116 u. 117	Locarno-Aeroporto 144	Schaffhausen 128
Airolo 134	Ebnat 124	Locarno-Monti 122 u. 123	Schiers 132
Allerheiligenberg 128	Einsiedeln 94 u. 95	Locarno-Muralto 122 u. 123	Schuls 118 u. 119
Aldorf I 96 u. 97	Elm 92 u. 93	Lohn 106 u. 107	Schwäbrig (ob Gais) 124
Aldorf II 98 u. 99	Engelberg 96 u. 97	Lugano 122 u. 123	Seewis 132
Altstätten 90 u. 91	Fescoggia 135	Lungern 126	Sils-Maria 133
Andermatt 127	Frauenfeld 88 u. 89	Luzern 94 u. 95	Sion 112 u. 113
Arosa 116 u. 117	Fribourg 106 u. 107	Marsens 130	Sion-Aérodrôme 142
Auen (Linthal) 92 u. 93	Genève 110 u. 111	Meiringen 108 u. 109	Soleil Mont 127
Baden 86 u. 87	Genève-Cointrin 141	Montana 114 u. 115	Solothurn 102 u. 103
Basel (Binningen) 98 u. 99	Glarus 92 u. 93	Montreux-Clarens 112 u. 113	Splügen (Dorf) 120 u. 121
Bâle-Mulhouse 139	Göschenen 98 u. 99	Muri (Aargau) 124	Sta. Maria (Münstertal) 133
Beatenberg 108 u. 109	Grächen 131	Neuchâtel 100 u. 101	St. Gallen 88 u. 89
Bellinzona 122 u. 123	Grand-St-Bernard 112 u. 113	Oberberg 94 u. 95	St. Gotthard 98 u. 99
Bern 106 u. 107, 140	Grimmel 110 u. 111	Olen 104 u. 105	St. Moritz 120 u. 121
Bever 118 u. 119	Grindelwald 129	Pilatus-Kulm 96 u. 97	Thun 128
Beznau 104 u. 105	Grono 134	Plateau Rosà (Tasta Grigia) 143	Tschierschen 133
Biel 102 u. 103	Gurtmellen 126	Platta (Medels) 116 u. 117	Vättis 125
Bivio 133	Gütsch ob Andermatt 138	Ragas, Bad 92 u. 93	Vicosoprano 134
Bosco-Gurin 120 u. 121	Guttannen 108 u. 109	Reckingen 114 u. 115	Walchwil 125
Braggio 120 u. 121	Haidenhäus 88 u. 89	Rheinfelden 128	Wald (Faltigberg) 125
Brévine, la 127	Hallau 104 u. 105	Rigi-Kaltbad 126	Walenstadtberg 125
Brè Monte (ob Lugano) 135	Heiden 90 u. 91	Rigi-Kulm 94 u. 95	Weggis 126
Buffalora (Ofenpass) 118 u. 119	Heiligenschwendi 129	Robbia (San Carlo) 134	Weissenstein 102 u. 103
Cernier 127	Interlakeu 108 u. 109	Rochers de Naye 131	Weissfluhjoch 118 u. 119
Chasseron 100 u. 101	Jungfrauoch 110 u. 111	Romont 130	Wintertthur 86 u. 87
Château d'Oex 130	Kreuzlingen 88 u. 89	Rorschach 124	Zermatt 131
Chaumont 100 u. 101	Langenbruck 102 u. 103	Rougemont 130	Zürich-BG 86 u. 87
Chaux-de-Fonds, la 100 u. 101	Langnau i. E. 106 u. 107	Saanen 129	Zürich-Kloten 137
Chippis 114 u. 115	Lausanne 110 u. 111	Saas-Fee 132	Zürich-MZA 86 u. 87
Chur I 114 u. 115	Leukerbad 131	Säntis 90 u. 91	
Chur II 132		Sargans 90 u. 91	
Comprovasco 135			

Anhang: Ergänzende Beobachtungen und Abhandlungen.

- Nr. 1 M. Schüepp: Übersicht über den Witterungsverlauf in der Schweiz im Jahre 1957.
- Nr. 2 J. Rieker: Liste des chutes de grêle en Suisse pendant l'année 1957.
- Nr. 3 Ergebnisse der Niederschlagsmessungen im Jahre 1957.
Ergebnisse der im Alpengebiet aufgestellten Totalisatoren für das hydrologische Jahr 1956/57.
M. Grütter: Die Niederschläge des Jahres 1957.
- Nr. 4 Ergebnisse der Registrierungen der Sonnenscheinautographen im Jahre 1957.
- Nr. 5 Agrarmeteorologische Beobachtungen:
Verdunstung in mm Wasserhöhe von Zürich, Château d'Oex und Pregassona und
Bodentemperaturen von Zürich und Pregassona.
B. Primault: Dates limites pour les semailles de blé d'hiver.
- Nr. 6 Aerologische Station Payerne: Radiosondierungen 1957.
- Nr. 7 Wetterlagen und Fronten im Jahre 1957.
- Nr. 8 H. Uttinger: Relative Feuchtigkeit, Wasserdampfgehalt und Wärmeinhalt der
Luft an warmen Tagen in Zürich.
- Nr. 9 J. Lugeon und J. Rieker: Le compteur d'orages suisse.
- Nr. 10 J. Rieker: Localisation de l'orage du 5 septembre 1958 dans la région londonienne
par les radiographies à secteur étroit du réseau suisse et Comparaison de l'enregistrement
du radiogoniomètre à rayon cathodique avec l'enregistrement du radiogoniomètre
à secteur étroit.
- Nr. 11 M. Schüepp: Der Temperaturverlauf in der Schweiz seit dem Beginn der meteorologischen
Beobachtungen auf Grund der Jahresmittel von 12 Stationen seit 1864 sowie
der älteren Beobachtungsreihen von Basel, Genf, dem Gr. St. Bernhard und
St. Gotthard.

Vorwort

Außer der bereits im Vorwort zum Jahrgang 1956 angedeuteten Aufhebung der Beobachtungsstation Chur-Kantonsschule auf Ende 1957 erfuhr das Netz der meteorologischen Stationen im Berichtsjahr keine Änderung. Die genannte Station wird vorläufig als Regenmeßstation weitergeführt, die Messungen besorgt Herr Kreis-Kuster, der Inhaber der neuen meteorologischen Station an der Dalcustraße. In Zusammenarbeit mit dem Konsortium Kraftwerke Vorderrhein konnten die Beobachtungen an der Regenmeßstation Vial (J. Morf) wieder aufgenommen werden. Nach einem Unterbruch von 18 Jahren erhielt auch Wildhaus wieder eine Regenmeßstation (F. Näf, Schwendi). Von der Eidgenössischen Anstalt für das forstliche Versuchswesen haben wir die in einem aufgegebenen Versuchsgebiet in der Gemeinde Sumiswald gelegenen Regenmeßstationen Kurzeneialp (Fam. Zaugg-Zürcher) und Riedbad (Frau Eggmann-Wissler) übernommen. Neue Regenmeßstationen wurden in Fahy in der Ajoie (Eidg. Grenzwachtposten) und in Lavorgo (Aare-Tessin AG) errichtet, eingegangen sind Basel-Bernoullianum und Serrières. Aus der Zählung ausgeschieden wurde der östlich stehende Regenmesser der Station Sihlsee, da wir in Zukunft nur noch die richtiger erscheinenden Ergebnisse des westlich stehenden Apparates veröffentlichen.

Bestand:	1. Januar	31. Dezember
Meteorologische Stationen (Klimatologischer Dienst)	127	127
Meteorologische Stationen (Synoptischer Dienst)	9	9
Regenmeßstationen	322	326

Beobachterwechsel (* mit Stationsverlegung, E = Wechsel auf Ende 1957):

Meteorologische Stationen: bisher	neu	Regenmeßstationen: bisher	neu
Andermatt	P. C. Rusterholz	* Altnau	E. Kressebuch
* Beatenberg (E)	W. Dettwyler	* Bagnes	Frl. E. Card
* Interlaken (E)	E. Ryffel (Unterseen)	(Montagnier)	
		* Büllach (E)	H. Brunner
Rohrschach	J. Schenk	* La Cure	A. Tavernier
Säntis	E. Hostettler	* Les Diablerets	Frau Reber
* La Brévine	Verlegung der Station von Les Taillères ins Pfarrhaus von La Brévine, kein Beobachterwechsel.	* Flaach	U. Fehr
		* Val	A. Monn
		Zollikon	W. Bachmann
			O. Etter
			J. Vaudan-Toreloz
			O. Utzinger
			Frau G. Spalinger
			L. Corboz-Isabel
			W. Kilchsperger
			B. Cathomas
			R. Meyer

Zürich, im Dezember 1958.

Der Direktor der
Schweizerischen Meteorologischen Zentralanstalt:
Jean Lugeon

Verzeichnis der 1957 erschienenen oder sich auf dieses Jahr beziehenden schweizerischen meteorologischen Literatur

Abkürzungen: NG = Naturforschende Gesellschaft. — SNG = Schweizerische Naturforschende Gesellschaft.

Dieses Verzeichnis führt die im vorliegenden Bande publizierten Arbeiten nicht nochmals auf (s. Inhaltsverzeichnis S. II)

- Schweizerische Meteorologische Zentralanstalt: *Annalen der...*, 1957, Jg. 94. — Zürich 1958.
- Schweizerische Meteorologische Zentralanstalt: *Ergebnisse der Niederschlagsmessungen auf den meteorologischen und Regenmeß-Stationen der Schweiz im Jahre 1957.* — Zürich 1958.
- Schweizerische Meteorologische Zentralanstalt: *Meteorologische Monatsberichte, Januar—Dezember 1957.* [Verf. von] M[ax] Schüepp. — Zürich 1957; je 2 S.
- Schweizerische Meteorologische Zentralanstalt: *Wetterbericht der...* = *Bulletin de l'Institut suisse de météorologie*, Jg. 77, Nr. 1—365. — Zürich 1957; erscheint täglich.
- Eidg. Institut für Schnee- und Lawinenforschung: *Schnee und Lawinen in den Schweizer Alpen, Winter 1955/56.* — Winterbericht... Nr. 20, 127 S., Davos-Platz 1957.
- Eidg. Volkswirtschaftsdepartement, Abt. f. Landwirtschaft, Eidg. Kommission zum Studium der Hagelbildung und Hagelabwehr: *Großversuch II zur Bekämpfung des Hagels auf der Magadinoebene. 4. Versuchsjahr. Tätigkeitsbericht Nr. 9, 1956, 68 S.* — Bern 1957.
- Eidg. Volkswirtschaftsdepartement, Abt. f. Landwirtschaft, Stations fédérales d'essais agricoles, Lausanne: *Rapport d'activité 1956.* Chap. 2, 21, *Année météorologique*; 23, *Dates phénologiques et culturales, Rendement des cultures.* — Landwirtschaftl. Jahrbuch der Schweiz, N. F. 6: 619—625, 642—644, Bern 1957.
- Observatoire cantonal de Neuchâtel: *Observations météorologiques faites en 1957 à l'Observatoire...* par Walter Schuler. — Bull. Soc. Neuchâtel. Sc. Nat. 81: 141—162, 1958.
- Observatoire de Genève: *Résumés météorologiques 1956.* — Arch. d. sciences 10, Genève 1957.
- Observatoire météorologique de Lausanne, Champ-de-l'Air: *Résumés mensuels 1957.* — Lausanne, Obs. mét. cant. vaud. 1957, 12 p.
- Osservatorio ticinese: *Stato meteorologico del 1956* (Flavio Ambrosetti). *Boll. Soc. Tic. Sc. Nat.* 52: 71—74, Bellinzona 1957.
- Service de statistique, Bienne: *Les observations météorologiques 1956.* — *Chronique statist. de la ville de Bienne* 1956, 29: 7—9, Bienne 1957.
- Statistisches Amt des Kantons Basel-Stadt: *Klima und Witterung.* — *Stat. Jahrb. Kt. Basel-Stadt* 37: 6—10, 1957.
- Ackermann, Paul: *Einige Beispiele der Untersuchung der Luft auf Radioaktivität.* — *Verh. SNG, Neuchâtel* 1957: 71.
- Ambrosetti, Flavio; Bider, Max; Bouët, Max: *L'orage en Suisse.* — *Arch. Met. Geophys. Biokl., Ser. B*, 8(2): 172—184, Wien 1957.
- L'Année géophysique internationale. — *Interavia* 12(8): 821—822, Genève 1957.
- A[shford], O[liver], M.: *Comparaison mondiale des radiosondes.* — *Bull. OMM* 6(1): 27—29, Genève 1957.
- Barthelt, H. P.; Ruppertsberg, G. H.: *Die mechanische Windfahne, eine theoretische und experimentelle Untersuchung.* — *Schweiz. Aero-Revue* 32(5): 266, Bern 1957.
- Bérenger, Maurice; Gerbier, Norbert: *Les mouvements ondulatoires à Saint-Auban-sur-Durance (Basses Alpes). Première campagne d'études et de mesures (janvier 1956).* — *Schweiz. Aero-Revue* 32(5): 265, Bern 1957.
- Bider, M[ax]: *Ergebnisse von Spätfrostbekämpfungsversuchen in Nals (Südtirol).* — *Bauernbl. d. Nordwestschweiz* 48(45): 577—578, Solothurn 1957.
- Bider, M[ax]: *Die Großwetterlage bei Dauerregen in Basel.* — *Verh. SNG, Neuchâtel* 1957: 68—69.
- Bider, M[ax]: *Probleme des Internationalen Geophysikalischen Jahres (IGY).* — *Atlantis* 30: 511—512, Zürich 1957.
- Bider, M[ax]; Verzár, F[ritz]: *Ergebnisse mehrjähriger kontinuierlicher Registrierungen der Zahl der atmosphärischen Kondensationskerne in St. Moritz.* — *Geofis. pura e appl.* 36: 110—117, Milano 1957.
- Bider, Max: s. auch Ambrosetti Flavio.
- Bouët, Max: *Les Alpes dans le champ de pression.* — *Météorologie* 4(45—46): 279—282, Paris 1957.
- Bouët, Max: *Contribution à l'étude de la température en Valais.* — *Bull. Murithienne, Soc. Val. Sc. Nat.* 74: 12—24, Sion 1957.
- Bouët, Max: *L'orage et le brouillard à la vallée de Joux.* — *Bull. Soc. Vaud. Sc. Nat.* 66(295): 433—439, Lausanne 1957.
- Bouët, Max: s. auch Ambrosetti, Flavio.
- Brückmann, Walter: *Die allgemeine Zirkulation der Atmosphäre.* — *Met. Rdsch.* 10(5): 156—157, Offenbach/M. 1957.
- Brunnschweiler, Dieter H.: *Die Luftmassen der Nordhemisphäre. Versuch einer genetischen Klassifikation auf aerosomatischer Grundlage.* — *Geogr. helvet.* 12(3): 163—195, Bern 1957.
- Büeler, Max: *Ein Naturschauspiel auf dem Zugersee.* — *Zuger Neujahrsbl.* 1957, 3 S.
- De Coster, M.; Schüepp, W.: *Mesures de rayonnement effectif à Léopoldville.* — *Acad. Royale Sc. Coloniales, Bull. séances* 3(3): 642—651, Bruxelles 1957.
- La dissipation des brouillards par le procédé R. M. G. Boucher. — *Interavia* 12(4): 339—340, Genève 1957.
- Dütsch, Hans U[rich]: *Evaluation of the Umkehr effect by means of a digital electronic computer.* — *U. S. Air Force, ARDC Contract No. AF(514)—905, Report No. 1: 1—30, 1957.*
- Effenberger, Ernst; Linder, Arthur: *Statistische Bearbeitung einer einjährigen Grobaerosol-Meßreihe.* — *Geofis. pura e appl.* 36: 86—93, Milano 1957.
- Förchtgott, Jiri: *Active turbulent layer downwind of mountain ridges.* — *Schweiz. Aero-Revue* 32(6): 324—335, Bern 1957.
- Frey-Wisling, A[bert]: *Les conséquences du gel sur les plantes.* — *Forêt* 10(5): 104—108, Neuchâtel 1957.
- Fritzsche, R[obert]: *Auswirkungen der Spätfroste 1957 in der Schweiz.* — *Bauernbl. d. Nordwestschweiz* 48(45): 577, Solothurn 1957.
- Fritzsche, R[obert]: *Eine erfreuliche Arbeit zur Verhinderung von Spätfrostschäden im Obstbau.* — *Schweiz. Zeitschr. f. Obst- u. Weinbau* 66(9): 218—221, Bern 1957.
- Fritzsche, R[obert]: *Die Frostschäden im Obstbau.* — *Schweiz. Zeitschr. f. Obst- u. Weinbau* 66(11): 255—258, Bern 1957.
- Gasser, Oswald: *Die quantitative Berechnung des täglichen Schmelzwasserabflusses im Einzugsgebiet des Bodensees für das Jahr 1951.* — *Météorologie* 4(45—46): 353—356, Paris 1957.
- Gasser, Oswald: *Die Wasserspiegelschwankungen des Bodensees und ihre meteorologischen Grundlagen.* — *Ber. Dtsch. Wetterd.* 5(35), 24 S., Bad Kissingen 1957.
- Gazzola, Adriano: *Sur la variabilité avec l'altitude du paramètre l^2 lors de la formation d'ondes de relief.* — *Schweiz. Aero-Revue* 32(4): 217—220, Bern 1957.
- Gensler, Gian Alfred: *Die Klassifikation der Fronten.* — *Météorologie* 4(45—46): 301—303, Paris 1957.
- Georgii, Walter: *Strahlströmung und Böenlinie.* — *Schweiz. Aero-Revue* 32(6): 319—324, Bern 1957.
- Gerber, H[erbert]: *Probleme der Spätfrostbekämpfung.* — *Schweiz. Zeitschr. f. Obst- u. Weinbau* 66(25): 604—607, Bern 1957.
- Gerbier, Norbert: s. Bérenger, Maurice.
- Gibbs, W. G.: *Climatologie de la zone aride.* — *Bulletin OMM* 6(2): 64—67, Genève 1957.
- Grüniger, J[akob]: *Eine sehr seltene Regenbogenercheinung.* — *Leben u. Umwelt* 13(6): 128—130, Aarau 1957.
- Haenni & Cie: *Valeurs d'humidité et de température éprouvées.* — *Nouvelles de Haenni*, no 65, 4 p., Jegenstorf (ct. de Berne) 1957.
- Hebner, E.: *Organisation des Spätfrostwarndienstes 1957 in Südbaden.* — *Bauernbl. d. Nordwestschweiz* 48(45): 577, Solothurn 1957.
- Herpertz, E.; Israël, H[ans]; Verzár, F[ritz]: *Vergleich luftelektrischer Messungen mit der Kondensationskernzahl auf Jungfrauoch (3578 m ü. M.).* — *Geofis. pura e appl.* 36: 218—232, Milano 1957.
- Herpertz, E.; Verzár, F[ritz]: *Versuch zur Charakterisierung atmosphärischer Kondensationskerne durch Koagulationsmessungen und durch Messungen bei verschiedenen Expansionen.* — *Geofis. pura e appl.* 36: 118—126, Milano 1957.
- [Högl, O.]: *Einteilung der schweizerischen Klimakurorte. Bericht des Präsidenten der Arbeitsgemeinschaft für Klimafragen an das Eidg. Departement des Innern.* — *Hospitalis* 27(11): 483 bis 490, Zürich 1957.

- Hooper, A. H.: Radio-sonde trials at Payerne, 1956. — *Met. Mag.* 86(1,016): 33—36, London 1957.
- Horisberger, Pierre: Manifestations trombales sur le lac de Neuchâtel les 21 juillet et 15 septembre 1957. — *Bull. Soc. Neuchâtel. Sc. Nat.* 81: 119—121, 1958.
- Israël, H.: Luftpotelektrische Untersuchungen am Jungfrauoch (ein Beitrag zur luftpotelektrischen Aerologie und Synopsis). — 25 Jahre hochalpine Forschungsstat. Jungfrauoch: 67—71, Birkhäuser, Basel 1957.
- Israël, H. (ans): s. auch Herpertz, E.
- Jumikis, A. R.: The method of solution of Ruckli's frostpenetration equation. — *Transact. Amer. Geophys. Un.* 37(2): 181 bis 184, Washington 1957.
- Das kälteste Jahr seit mehr als einem halben Jahrhundert. — *Leben u. Umwelt* 13(7): 166—167, Aarau 1957.
- Kasza, József: Wellensegelflug in Ungarn. — *Schweiz. Aero-Revue* 32(5): 235—238, Bern 1957.
- Klieforth, Harold: Meteorological aspects of the Sierra Nevada. — *Schweiz. Aero-Revue* 32(3): 149—156, Bern 1957.
- Koschmieder, H.; Neumann, H. G.: Wolken-Reihenbilder II: Zum Lebenslauf von Quellwolken. — *Schweiz. Aero-Revue* 32(5): 266, Bern 1957.
- Koschmieder, H.; Schulz, H.: Wolken-Reihenbilder III: Wolkenwalzen. — *Schweiz. Aero-Revue* 32(5): 266, Bern 1957.
- Kuhn, Walter: Der Firnzuwachs pro 1956/57 in einigen schweizerischen Firngebietten. 44. Bericht. — *Vierteljahresschr. NG Zürich* 102: 364—371, Zürich 1957.
- Kuhn, W[alter]: Die Fröste des Frühjahrs 1957. — *Schw. landw. Monatshefte* 35(8): 402—412, Bern 1957.
- Kuhn, W[alter]: Meteorologisches zu den Frösten des Frühjahrs 1957 in der Schweiz. — *Bauernbl. d. Nordwestschweiz* 48(45): 576, Solothurn 1957.
- Kundert, J.: Die Peronospera der Rebe und ihre Bekämpfung im Jahre 1956. — *Schweiz. Zeitschr. f. Obst- u. Weinbau* 66(7): 160—163, Bern 1957.
- Kunz, Yvette: s. Verzár, F[rítz].
- Lanker, E.: s. Walser, E.
- Linder, Arthur: s. Effenberger, Ernst.
- Lörtscher, H.; Rieder, J.; Mörikofer, W.: Influence du climat d'altitude sur la production animale. — *Publicat. Fédérat. européenne de zootechnie* (5): 114—146, Firenze 1957.
- Ludlam, F. H.: Cumulonimbus. New ideas on hail, thunder and tropical storms. — *Schweiz. Aero-Revue* 32(4): 213—216, Bern 1957.
- Lugeon, Jean: Les buts scientifiques de l'expédition radiométrologique polaire suisse pendant l'année géophysique internationale. — *Suisse horlogère* (20) 1957, 16 p., La Chaux-de-Fonds 1957.
- Lugeon, Jean: Mesures de la conductibilité de l'air dans la couche d'ozone. — *Verh. SNG, Neuchâtel* 1957: 71—72.
- Lugeon, Jean: Rapport préliminaire sur l'expédition polaire suisse de l'AGI à Murchison Bay. — *Verh. SNG, Neuchâtel* 1957: 72—74.
- Lugeon, Jean: Surveillance permanente de la teneur de l'air en substances radioactives à longues demi-périodes. — *Bull. OMM* 6(3): 115—116, Genève 1957.
- MacCready, Paul: Research on atmospheric turbulence and freezing. Nuclei transport by means of a sailplane. — *Schweiz. Aero-Revue* 32(7): 388—390, Bern 1957.
- McDonald, W. F.: Notes on the problems of cargo ventilation. — *Techn. Note no. 1, WMO-No. 73, TP. 23, 38 S.*, Geneva 1957.
- Mercanton, P[aul]-L[ouis]: Un demi-siècle d'observations aux nivomètres de l'Eiger et des Diablerets. — *Verh. SNG, Neuchâtel* 1957: 67—68.
- Mercanton, P[aul]-L[ouis]: Les recherches de technique pluviométrique de la Station centrale suisse de météorologie (complément): Résultats obtenus du champ d'essai du Sentier (Jura vaudois) 1941—1950. — *Bull. Assoc. Internat. Hydrol. Sc.* 5: 60 bis 61, 1957.
- Merian, R.: Klima und künstliche Bewässerung in Vorderindien. — *Leben u. Umwelt* 14(2): 28—31, Aarau 1957.
- Meyer, A[lfred]: Erfahrungen mit der Spätfrostbekämpfung aus der Umgebung von Basel. — *Bauernbl. d. Nordwestschweiz* 48(45): 578, Solothurn 1957.
- Möller, F.: Comparaison d'instruments de mesure du rayonnement à Hambourg. — *Bull. OMM* 6(1): 15—17, Genève 1957.
- Mörikofer, Walter: Comparaisons d'instruments de mesure du rayonnement de grandes longueurs d'onde effectués à Hambourg. — *Bull. OMM* 6(4): 149—153, Genève 1957.
- Mörikofer, Walter: G. Swoboda (Nachruf). — *Arch. Met. Geophys. Biokl., Ser. A*, 9(4): 522—526, Wien 1957.
- Mörikofer, W.: s. auch Lörtscher, H.
- Mull, S.: s. Satakopan, V.
- Mural, Alexander von: Klimaphysiologische Untersuchungen in der Forschungsstation Jungfrauoch. — 25 Jahre hochalpine Forschungsstation Jungfrauoch: 21—26, Birkhäuser, Basel 1957.
- Neumann, H. G.: s. Koschmieder, H.
- Nietispach, Hans: Berne-Cavaillon, 410 km. — *Schweiz. Aero-Revue* 32(6): 298—302, Bern 1957.
- Organisation météorologique mondiale: Année géophysique internationale 1957—1958. Programme météorologique, Liste de stations. — *OMM-No. 58-AGI. 2*, 108 p., Genève 1957.
- P. R.: Stations météorologiques automatiques des États-Unis. — *Bull. OMM* 6(2): 79—82, Genève 1957.
- Peyer, E[rnst]: Die Frostschäden in den Reben der Ostschweiz und die Frostbekämpfungsmaßnahmen. — *Schweiz. Zeitschr. f. Obst- u. Weinbau* 66(11): 259—262, Bern 1957.
- Primault, B[ernhard]: Considérations météorologiques sur l'hiver 1955—1956. — *Forêt* 10(5): 108—112, Neuchâtel 1957.
- Primault, Bernard: Contribution à l'étude des réactions végétales aux éléments météorologiques. (L'apparition du printemps dans le canton de Neuchâtel de 1951 à 1954.) — *Bull. Soc. Neuchâtel. Sc. Nat.* 80: 115—119, Neuchâtel 1957.
- Primault, [Bernard]: Nouvelles notions des influences atmosphériques sur l'apparition de la fièvre aphteuse. — *Internat. J. Bioclimat. Biomet.* 1, Part 3, 6 p., Leiden 1957.
- Quervain, Marcel de: Ein neuer Tagbogenschreiber. — *Météorologie* 4(45—46): 371—377, Paris 1957.
- Radarwächter gegen tropische Wirbelstürme. — *Leben u. Umwelt* 14(3): 62—63, Aarau 1957.
- Raethjen, Paul: Über die Entstehung des «jet-stream» und seiner Turbulenz. — *Schweiz. Aero-Revue* 32(7): 384—388, Bern 1957.
- Renaud, André: Les variations des glaciers suisses 1956 (7te rapport). — *Alpen* 33: 230—242, Bern 1957.
- Rieder, J.: s. Lörtscher, H.
- Robert, J[ean]: Encore les effets de la bise de février 1956. — *Forêt* 10(5): 112—114, Neuchâtel 1957.
- Ruppersberg, G. H.: s. Barthelt, H. P.
- Satakopan, V.; Mull, S.: An analysis of the radiosonde comparisons made at Payerne with 14 sondes in May-June 1956. — *Indian J. Met. Geophys.* 8(4): 367—378, Delhi 1957.
- Saxer, L[eonhard]; Sigrist, W[erner]: Ein selbstkompensierender Elektrometeröhrenverstärker zur Registrierung des luftpotelektrischen Potentialgefälles. — *Arch. Met. Geophys. Biokl., Ser. A*, 10(1): 96—100, Wien 1957.
- Schaer, R.: Zu welcher Zeit blühen die Obstbäume? — *Schweiz. Zeitschr. f. Obst- u. Weinbau* 66(1): 230—231, Bern 1957.
- Schaufelberger, P[aul]: Tropische Kulturpflanzen in unseren Schweizeralpen? — *Grüne* 85(22): 613—615, Zürich 1957.
- Schaufelberger, Paul: Zur Systematik des Tropenklimas. — *Geogr. helvet.* 12(1): 56—62, Bern 1957.
- Schellenberg, A[lfred]: Einige Bemerkungen über den Frostschutz bei Reben. — *Grüne* 85(22): 618—619, Zürich 1957.
- Schellenberg, A[lfred]: Erträge, Öchslegrade und Weinpreise im Weinjahr 1957 im Kanton Zürich. — *Zürcher Bauer* Nr. 97, 4 S., Zürich 1957.
- Schellenberg, A[lfred]: Tätigkeitsbericht des Schweizerischen Weinbauvereins für das Jahr 1956. — *Schweiz. Zeitschr. f. Obst- u. Weinbau* 66(7): 163—168, Bern 1957.
- Schmid, J[ean]: Zur Frostschutzberegnung im Rebbau. — *Grüne* 85(22): 620—621, Zürich 1957.
- Schmid, Paul: Statistische Erwägungen bei Versuchen zur Beeinflussung der Niederschläge. — *ZAMP* 8(2): 159—165, Basel 1957.
- Schneider, Raymond J.: Meteorological route-description Zurich—Tokyo. — *Swissair, Flight operations Dept., Publ. No. C1002*, 42 S., Zürich 1957.
- Schüepp, Max: Klassifikationsschema, Beispiele und Probleme der Alpenwetterstatistik. — *Météorologie* 4(45—46): 291—299, Paris 1957.
- Schüepp, Walter: La mesure de l'assombrissement du soleil pendant une éclipse. — *Tellus* 9(2): 238—249, Stockholm 1957.
- Schüepp, Walter: L'utilisation de l'énergie solaire, aspects météorologiques. — *Verh. SNG, Neuchâtel* 1957: 70—71.
- Schüepp, W.: s. auch De Coster, M.
- Schulz, H.: s. Koschmieder, H.
- Schweizer, W[olfgang]: Wie weit herum hört man den Knall einer Explosion? — *Leben u. Umwelt* 14(3): 53—55, Aarau 1957.
- Scorer, R[obert] S.: Airflow over and in the lee of an isolated hill. — *Schweiz. Aero-Revue* 32(2): 83—90, Bern 1957.
- Sigrist, W[erner]: s. Saxer, L[eonhard].
- Suter, Karl: Die Windverhältnisse im Bereich von Windschutzstreifen. — *Schweiz. landwirtschaftl. Monatshefte* 35(5): 285 bis 290, Bern 1957.

- Thams, J[ohann] C[hristian]: Agrarmeteorologisches Dreiländertreffen. — *Grüne* 85(47): 1314—1317, Zürich 1957.
- Thams, J[ohann] C[hristian]: Wie steht es heute mit der Hagelbekämpfung? — *Grüne* 85(22): 603—612, Zürich 1957.
- Thorntwaite, C. W.: Les tâches qui attendent la climatologie. — *Bull. OMM* 6(1): 2—7, Genève 1957.
- Tippelskirch, H. v.: Über die Bénard-Strömung in Aerosolen, ein experimenteller Beitrag zum Modell der zellularen Konvektion. — *Schweiz. Aero-Revue* 32(5): 266, Bern 1957.
- Urfer, Alfred: Brouillards de rayonnement et gradient vertical de température. — *Météorologie* 4(45—46): 101—107, Paris 1957.
- Verzár, F[ritz]; Kunz, Yvette: Production of atmospheric condensation nuclei by solar radiation. — *Geofis. pura e appl.* 38: 215—221, Milano 1957.
- Verzár, F[ritz]: s. auch Bider, M[ax].
- Verzár, F[ritz]: s. auch Hertz, E.
- Walser, E.; Lanker, R.: Niederschlags- und Abflußverhältnisse im Einzugsgebiet der Aare unter besonderer Berücksichtigung des Einflusses der Speicherbecken. — *Wasser- u. Energiewirtschaft* 49(7—9): 173—182, Zürich 1957.
- Witte, K.: Grundlegende Fragen der direkten Frostschutzberegnung. — *Bauernbl. d. Nordwestschweiz* 48(45): 577, Solothurn 1957.
- Wurtele, Morton G.: The vertical velocity pattern created by an isolated mountain. — *Schweiz. Aero-Revue* 32(12): 668—672, Bern 1957.
- Zenone, Eleno: Die Steuerung der 24stündigen negativen Boden-druckänderung und die Südtaulage. — *Geofis. pura e appl.* 37: 289—302, Milano 1957.
- Zingg, Theodor: Strahlungsmessungen mit dem Bellani Kugelpyranometer auf Weißfluhjoch in 2670 m ü.M. — *Météorologie* 4(45—46): 325—327, Paris 1957.
- Zingg, Theodor: Weitere Erfahrungen über die Niederschlagsmessung. — *Météorologie* 4(45—46): 141—142, Paris 1957.

Nachträge aus früheren Jahren

- Berthoud, M.: Die Radiosonde Thommen-Hasler. — *Hasler Mitt.* 15(3): 49—51, Bern 1956.
- Hautle, Hans W.: Jet streams und ihre gegenwärtige Bedeutung. — *Schweizer Flug Rev.* 3(11): 43—45, Bern 1954.
- Verzár, Fritz: Automatischer Kondensationskernzähler. — *Ber. Dt. Wetterdienst* 4(22): 145, Bad Kissingen 1956.
- Zimmermann, B.: Das Rigigebiet und seine durch Verkehrsveränderungen bedingte Umgestaltung in Siedlung und Wirtschaft. — *Diss. Univ. Freiburg* 1955.

Eidgenössische Meteorologische Kommission 1957

Prof. Dr. Ch. Borel, Gymnasium, La Chaux-de-Fonds, Präsident

Prof. Dr. Fr. Gafmann, ETH, Zürich, Vizepräsident

Dr. G. von Meiß, Zürich

Dr. M. Bider, Astronomisch-Meteorologische Anstalt, Basel

Prof. Dr. M. Schürer, Universität, Bern

Prof. P. Oguey, Conseiller d'Etat, Lausanne

Prof. Dr. O. Huber, Universität Fribourg

Tägliche Beobachtungen

der Stationen:

Bern, Neuchâtel, Altdorf, Genève, Zürich, Chasseron, Bever,
Sion, Lugano, Basel, Säntis und St. Gotthard

im Jahre 1957

Für die Bezeichnung der Hydrometeore und anderer Phänomene werden folgende international vereinbarte Symbole (Wien 1873, Warschau 1935) verwendet:

● = Regen	☉ = Gewitter	☃ = starker Wind
☉ = Nebelregen	⚡ = Wetterleuchten	☄ = Sturm
* = Schnee	T = Donner	☉ = Sonnenhof
← = Eismadeln	≡ = Nebel	☾ = Mondhof
☂ = Regenschauer	△ = Tau	⊕ = Sonnenring (Halo)
☂ = Schneeschauer	⌞ = Reif	☾ = Mondring (Halo)
☂ = Regen- und Schneeschauer	∇ = Rauhreif	☾ = Regenbogen
△ = Graupeln, Riesel	∞ = Glatteis	☾ = Nordlicht
▲ = Hagel	⚡ = Schneetreiben	☒ = Schneedecke

Das Zeichen * kennzeichnet interpolierte Daten. Die Windstärken sind in der sechsteiligen (halben) Beaufortskala ausgedrückt. Die Tages- und Monatsmittel der Temperatur werden in diesem Abschnitt aus den drei Terminbeobachtungen nach der Formel $M = 1/3 (7.30 + 13.30 + 21.30)$ berechnet. Im Abschnitt der Monats- und Jahresübersichten wird dagegen die Formel $M = 1/4 (7.30 + 13.30 + 2 \cdot 21.30)$ verwendet.

In der Spalte «Witterung» bedeuten die Abkürzungen: fl = Flocken, tr = Tropfen. Gewitter werden mit dem Symbol ☉ oder, wenn vom Beobachter ausdrücklich als Ferngewitter gemeldet, mit (☉) ohne jede Zeitangabe bezeichnet. Die näheren Angaben sind den «Ergänzenden Witterungsnotizen» auf Seite 73 ff zu entnehmen. Das Gleiche gilt auch für die Symbole Donner T und Fern-Donner (T).

Die Intensität der einzelnen Erscheinungen wird durch eine dem Symbol als Exponent beigefügte ^o als schwach und ² als stark bezeichnet. Das Zeichen ☒ bedeutet, daß mehr als die Hälfte der Bodenfläche in der Umgebung der Station an dem betreffenden Tage mit Schnee bedeckt war.

Alle Zeitangaben beziehen sich auf *mitteleuropäische Zeit*. Vom Jahrgang 1918 an ist die 24-Stundenzählung durchgeführt. Außerdem werden folgende Abkürzungen verwendet: a (ante meridiem) = vormittags, p (post meridiem) = nachmittags, n = nachts, fr = früh, mtg = mittags, abd = abends, ztw = zeitweise, mU = mit Unterbrechungen. Die römischen Ziffern geben an, daß das betreffende Phänomen um die Zeit des ersten (I), bzw. zweiten (II) oder dritten (III) Beobachtungstermins beobachtet worden ist, die arabischen Zahlen bedeuten die bürgerlichen Zeitstunden.

λ bezeichnet die geographische Länge in Graden von Greenwich, β die geographische Breite, H_b die Höhe des Stationsbarometers über dem Meer in Metern, H die Höhe der Station (des Regenmessers) über der Meeresfläche, G ist die Korrektur, welche an den Luftdruckdaten für deren Reduktion auf die Normalschwere (Konventioneller Standardwert $g_0 = 980,665 \text{ cm/sec}^2$) noch anzubringen ist, h die Höhe des oberen Randes des Regenmessers über dem Erdboden. Die Stationen, bei denen die Höhe (des Barometergefäßes) bis auf den Dezimeter angegeben ist, sind an das schweizerische Präzisionsnivelement angeschlossen. Alle Höhen sind auf Pierre du Niton 373.6 m (neuer Wert) bezogen.

Die den Schwerekorrekturen zugrundeliegenden Schwerewerte sind für die einzelnen meteorologischen Stationen aus den Schwerebestimmungen von Th. Niethammer (Astronomisch-geodätische Arbeiten in der Schweiz, Bände 12, 13, 15 und 16) abgeleitet worden.

Den Abweichungen der Temperatur-Tagesmittel von Lugano liegen von diesem Jahrgang an neue Normalwerte zugrunde. Sie sind gegenüber den bisherigen $0,3^\circ$ bis gegen 1° höher, am meisten im Herbst und Winter, am wenigsten im Sommer. Ihre Neuberechnung drängt sich auf, weil infolge schrittweiser Veränderung der Umgebung der Beobachtungsstation seit Ende der Dreißigerjahre sich das Temperaturniveau tagsüber hob. Seit 1948 ist nun wieder eine Stabilisierung eingetreten, so daß die Temperaturmittel der neuen Situation angepaßt werden konnten.

Auf dem Chasseron erfolgten die Abendbeobachtungen um 20.30 Uhr.

VIII

ERRATA

1953

Seite 7/1 *Zürich*: Summe Juli 87.6 (nicht 96.6), Jahr 681.7 (nicht 690.7)

1954

Seite 6/47 *Januar und Februar, Zeile «Zeit»*: Zwischen 3³⁰ und 10³⁰ sind 4³⁰ bis 9³⁰ einzusetzen

1955

Seite 7/1 *Zürich*: Summe März 49.3 (nicht 48.3), Juni 83.3 (nicht 82.3), Jahr 621.6 (nicht 619.6)

1956

Seite 110 *Jungfrauoch*: Temperatur Juni: Minimum und Maximum sind vertauscht, inkl. Datum.

Seite 120 *St. Moritz*: Luftdruck, Mittel Februar 602.5 (nicht 610.3), Jahr 610.8 (nicht 611.5)

Seite 3/10 *Tabelle*: Die Köpfe zur dritten Zahlenkolonne müssen lauten: 1. 10. 55—30. 9. 56 (nicht 1. 10. 54—30. 9. 55)

1957

Seite 86 *Winterthur*: H = 490 (nicht ca. 485), Diese Höhe gilt zurück bis Mai 1944.

Seite 115	<i>Chippis: Termine mit Nebel</i>	7 ³⁰	13 ³⁰	21 ³⁰	Total
	November	4	2	3	9
	Jahr	5	2	4	11
	Tage mit Nebel: Nov. 5 (nicht 3), Jahr 7 (nicht 5)				

λ = 7° 26', β = 46° 57',
H_b = 572.2 m, G = -0.04 mm

Bern

Januar 1957
Beobachter: Meteorologisches Observatorium

Tag	Lufttemperatur					Luftdruck			Relative Feuchtigkeit			Windrichtung und Stärke			Bewölkung			Niederschlag	Witterung		
	7 ³⁰	13 ³⁰	21 ³⁰	Mittel	Abweich. von Normalst.	7 ³⁰	13 ³⁰	21 ³⁰	7 ³⁰	13 ³⁰	21 ³⁰	7 ³⁰	13 ³⁰	21 ³⁰	7 ³⁰	13 ³⁰	21 ³⁰				
1	-4.4	-1.0	-0.5	-2.0	-0.4	704.3	703.6	706.1	100	83	91	NE	0	SSE	0	10	10	10	0.4	≡ nachts, L I	
2	-1.3	1.2	0.4	0.1	1.7	707.6	708.9	712.4	94	94	99	SE	0	E	0	10	10*	10	0.6	* 5%-7%, 10%-16 mU	
3	0.8	1.3	-0.8	0.4	2.0	715.2	716.4	717.9	88	76	88	SE	0	SW	1	10	6	10			
4	0.8	2.7	2.8	2.1	3.8	719.8	720.4	721.6	84	94	98	S	0	SE	0	9	9	10	2.9	● 8%-12%, 16-19%, ≡ 22-n	
5	2.8	4.8	3.6	3.7	5.4	722.4	722.7	722.3	99	97	99	SSE	0	SE	0	10	10*	4	0.5	* 5%-7% mU, 12%-16% mU, ≡ n-	
6	1.1	10.6	6.9	6.2	7.9	722.3	721.1	723.4	100	65	97	SE	0	SW	2	10	7	10*	2.2	● 15%-22%, ≡ n-a	
7	0.4	5.6	0.8	2.3	4.1	727.0	727.9	728.7	100	78	93	E	0	NE	0	10	4	4		≡ 10, L I, III	
8	-2.6	4.0	-1.2	0.1	1.9	727.2	726.1	724.1	96	65	92	SE	0	SE	0	10	2	0		L I, III	
9	-3.6	4.5	-1.2	-0.1	1.7	722.0	720.3	718.6	90	73	89	SW	0	SE	0	10	1	6	1	L I, III	
10	-4.4	5.6	-0.5	0.2	2.0	716.2	714.9	719.0	93	60	99	SW	0	WSW	2	10	9	10*	7.7	* 16%-24	
11	-1.8	0.1	-2.7	-1.5	0.3	720.2	721.6	722.7	92	71	85	N	0	NE	2	10	6	3	6		* 4%-5%
12	-9.4	-2.2	-1.9	-4.5	-2.7	720.7	716.5	709.3	91	75	97	SE	0	SW	1	10	3	10	10*	3.9	* 17%-n
13	-2.2	0.5	-0.8	-0.8	1.0	706.2	705.2	704.0	95	87	96	SE	0	S	1	10	9	10*	2.3	* n-5%, 9-11%, 13-14%, 17-22%	
14	-1.6	-0.2	-2.7	-1.5	0.3	703.3	704.3	706.1	98	76	88	NNE	0	NE	1	10	10	10*	0.6	* 8%-11 mU, 15%-24 mU	
15	-2.7	-2.4	-4.7	-3.3	-1.5	708.0	710.3	713.2	90	86	84	NNE	2	NNE	5	10*	7	10	0.2	* 5%-17 mU, a-n, L I	
16	-7.6	-5.8	-6.3	-6.6	-4.8	713.3	713.5	713.6	85	75	71	NE	2	NE	3	10*	10*	10*	0.0	* fl 5%-n mU	
17	-8.9	-9.2	-9.5	-9.2	-7.5	712.8	713.8	715.5	81	76	80	NE	2	NNE	2	10*	7*	5	10	0.0	* fl n-10%, 15-14%
18	-10.8	-9.0	-12.7	-10.8	-9.1	716.3	717.2	718.9	85	70	86	N	2	N	1	10*	2	0	0.0	* fl 5%-10%	
19	-11.8	-8.6	-11.4	-10.6	-8.9	718.9	719.3	720.2	90	71	91	NW	0	SW	0	10	3	9		L III	
20	-11.4	-7.8	-9.9	-9.7	-8.1	720.9	720.7	721.2	92	75	93	SW	0	SW	0	10	7	10		L I, III	
21	-9.8	-5.8	-9.7	-8.4	-6.8	720.3	718.7	719.3	97	96	97	SW	0	SE	0	10	0	10		≡ 0-9, 19-n, L I	
22	-12.8	-6.4	-9.7	-9.6	-8.0	717.1	715.6	713.5	92	95	95	S	0	S	0	10	5	10		≡ n-7%, 20-n	
23	-13.7	-4.6	-6.4	-8.2	-6.7	709.8	708.0	707.6	91	79	91	N	0	E	0	10	2	4	5		≡ n-2, V I
24	-8.6	-1.2	-5.9	-5.2	-3.7	707.6	707.3	708.4	95	75	89	SW	0	SW	0	10	2	0	0.6	≡ 6%-10%, L I	
25	-5.3	-0.4	-2.3	-2.7	-1.3	708.7	708.9	712.1	94	78	99	SW	0	SW	0	10*	10*	10	4.7	* 6-9%, 12-15%, ≡ 19%-n, L III	
26	-6.4	0.4	0.3	-1.9	-0.5	713.8	715.6	718.3	95	73	93	SSE	1	SE	0	10	9	10*	1.6	* 12%-14%, ≡ n-4%	
27	1.2	6.6	2.7	3.5	4.8	719.5	719.3	723.4	97	71	88	S	0	S	0	10	9	1	0.8	● 2%-8, 15%-16%	
28	2.2	5.4	-1.5	2.0	3.3	725.3	724.8	724.5	83	77	78	WSW	0	SSE	0	10	7	1	0		
29	-6.4	3.2	-2.7	-2.0	-0.8	722.8	721.4	721.4	85	50	75	SE	1	NE	0	10	1	0		L I	
30	-6.2	4.2	-1.4	-1.1	0.0	721.6	720.4	720.1	83	43	75	SE	0	E	0	10	1	2		L I	
31	-2.3	5.8	2.8	2.1	3.2	719.0	718.4	718.5	79	44	68	SSE	1	SSE	0	10	9	8	1.0	● 15-16% mU	
Mittel	-4.7	0.1	-2.8	-2.5	—	716.4	716.2	717.0	91	75	89					7.4	6.2	6.7	30.0		

λ = 6° 57', β = 47° 00',
H_b = 487.3 m, G = 0.00 mm

Neuchâtel

Januar 1957
Beobachter: Observatorium

Tag	Lufttemperatur					Luftdruck			Relative Feuchtigkeit			Windrichtung und Stärke			Bewölkung			Niederschlag	Witterung		
	7 ³⁰	13 ³⁰	21 ³⁰	Mittel	Abweich. von Normalst.	7 ³⁰	13 ³⁰	21 ³⁰	7 ³⁰	13 ³⁰	21 ³⁰	7 ³⁰	13 ³⁰	21 ³⁰	7 ³⁰	13 ³⁰	21 ³⁰				
1	-2.0	-0.1	-0.2	-0.8	-0.3	710.9	711.3	713.5	98	90	98	ENE	0	SSE	0	10	10	10*	1.8	* ● 15%-21%	
2	0.5	1.6	1.6	1.2	1.7	715.4	716.7	720.1	98	98	96	E	1	NE	1	10	10	10		≡ n-p	
3	0.9	1.6	2.1	1.5	2.1	723.1	724.4	725.5	85	75	80	NW	1	WNW	1	10	8	10			
4	4.2	4.3	4.4	4.3	4.9	727.5	728.4	729.6	75	92	97	WSW	1	SW	1	10	10	10	3.9	● 8%-12, 18%-19	
5	5.0	6.3	6.0	5.8	6.4	730.1	730.3	730.3	97	96	91	NW	0	WSW	2	10	10	10	0.8	● 7%-10, ≡ n-a	
6	6.2	8.9	7.9	8.0	8.7	729.8	729.3	731.4	88	73	94	SSW	2	WSW	2	10	10	10	2.7	● 15%-16%, 17%-21%, a mU	
7	1.4	6.5	0.8	2.9	3.6	735.2	736.4	736.9	89	70	80	N	1	JENE	1	10	0	3	0		* 2-4
8	-2.3	1.0	-1.1	-0.8	-0.1	735.4	734.4	732.2	96	91	98	ENE	0	ESE	1	10	10	10		≡ n-15% mU, ≡ 15%-n,	
9	-2.7	-1.1	-1.3	-1.7	-1.0	730.0	728.4	726.7	98	96	100	ESE	1	SW	1	10	10	10		≡ n-n	
10	-2.3	-0.2	-0.3	-0.9	-0.2	724.0	723.0	727.0	98	96	98	W	1	NE	1	10	10	10	3.4	* fl 15%, * 17%-20%, ≡ n-14	
11	-1.6	2.4	-1.2	-0.1	0.6	728.1	729.7	730.9	80	66	86	NNE	1	ENE	2	10	3	3		* 1 4%-5	
12	-4.7	-1.7	-1.4	-2.6	-1.9	728.7	724.7	717.3	88	88	100	NE	1	SW	2	10	10	10	4.1	* 1 18-n, ≡ 7%-8%, 15%	
13	-0.8	-0.1	-0.3	-0.4	0.3	713.8	712.8	711.3	89	97	98	WSW	1	W	1	10	10	10	6.3	* 1 n-4%, 8%-21%	
14	-1.0	0.7	-1.0	-0.4	0.3	710.9	711.9	713.9	98	87	74	N	1	NE	3	10*	9*	10	0.3	* 0 7%, 11%, 13%, 15%, 9%-n	
15	-1.6	-1.0	-3.4	-2.0	-1.4	716.1	718.1	721.3	76	78	79	NNE	2	NE	3	10*	9*	10	0.2	* 0 n-n mU, n-n	
16	-6.1	-4.4	-5.3	-5.3	-4.7	721.2	721.3	721.4	75	65	81	NE	3	NE	4	10	3	8	10	0.2	* fl n-n mU, n-n,
17	-7.5	-7.4	-7.4	-7.4	-6.8	721.0	722.1	723.7	73	63	74	NE	3	NE	3	10	8	10		n-n 13%-20 mU	
18	-9.4	-6.9	-11.2	-9.2	-8.6	724.5	725.4	726.8	82	61	87	NE	2	ENE	2	10*	7	0	0.2	* 0 7-11	
19	-11.1	-7.6	-9.6	-9.4	-8.9	727.0	727.7	728.4	97	79	88	E	1	ENE	1	10	10	10	0.1	* fl a mU	
20	-8.8	-8.9	-7.2	-7.6	-7.1	729.1	729.0	729.3	100	84	97	ENE	1	ENE	1	10	10	10	0.0	* fl a mU	
21	-7.2	-5.4	-5.8	-6.1	-5.6	728.4	728.1	727.3	100	100	100	NE	1	NNE	1	10	10	10		≡ V a-n	
22	-6.3	-5.4	-6.3	-6.0	-5.6	725.2	723.7	721.8	100	100	100	NNE	1	NNW	1	10	10	10		≡ n-n, V 1	
23	-8.6	-6.6	-5.0	-6.7	-6.3	717.7	716.1	715.3	94	94	98	N	1	N	1	10	10	10		≡ 1 n-p, V I	
24	-5.4	-2.5	-3.6	-3.8	-3.5	715.3	715.4	716.3	98	96	97	N	1	NNW	1	10	10	10	0.8	≡ 1 n-a, V I	
25	-3.5	-1.4	0.4	-1.5	-1.2	716.4	716.7	719.9	98	98	93	W	0	W	0	10*	10*	9	6.1	* 5-14%, V I	
26	-1.9	0.9	1.3	0.1	0.3	721.5	723.4	726.0	96	94	100	NNW	1	W	2	10	10*	10*	2.1	* 0 11%-13%, ● 21%-23	
27	3.1	7.3	3.9	4.8	5.0	727.6	727.0	731.3	95	69	76	W	2	SW	2	10	9	3		● 3%-5%	
28	2.5	7.7	-0.1	3.4	3.5	733.2	733.1	732.4	82	54	69	WSW	1	SW	1	10	8	0			
29	-4.1	2.4	-1.4	-1.0	-0.9	730.9	729.5	729.2	95	62	75	SW	1	S	1	10	0	0		L I	
30	-4.6	2.9	-0.3	-0.7	-0.7	729.4	728.3	727.8	98	62	74	E	1	SSE	1	10	0	0		L I	
31	-1.4	2.7	2.7	1.3	1.3	726.9	726.5	726.2	96	75	82	E	0	S	1	10	9	10	0.2	● tr p	
Mittel	-2.6	0.0	-1.4	-1.3	—	724.3	724.3	724.9	92	82	89					8.4	8.2	7.9	33.2		

λ = 8° 34', β = 47° 23',
H_b = 569.4 m, G = -0.01 mm

Zürich

Januar 1957
Beobachter: Meteorologische Zentralanstalt

Tag	Lufttemperatur					Luftdruck			Relative Feuchtigkeit			Windrichtung und Stärke			Bewölkung			Niederschlag	Witterung
	7 ³⁰	13 ³⁰	21 ³⁰	Mittel	Abweich. vom Normalst	7 ³⁰	13 ³⁰	21 ³⁰	7 ³⁰	13 ³⁰	21 ³⁰	7 ³⁰	13 ³⁰	21 ³⁰	7 ³⁰	13 ³⁰	21 ³⁰		
1	-4.5	0.8	-1.9	-1.9	-0.3	703.1	703.4	705.7	94	63	95	NE 1	WNW1	SSW 0	10	9	10	0.0	⊂ I, III
2	-0.8	2.1	0.8	0.7	2.3	707.9	709.0	712.1	95	76	97	WSW1	SSE 1	W 0	10	10	10	0.3	☉ p-n mU, ≡ n-9%,
3	0.9	2.4	1.0	1.4	3.0	715.1	716.0	717.0	92	75	89	SW 1	SSW 1	S 1	10	9	10	0.0	[17½-n, ⊂ I
4	1.7	4.3	6.0	4.0	5.7	719.0	719.6	721.3	93	94	86	SW 1	SSW 1	SSW 1	10	10	10	3.6	☉ tr 8-9%, 9%-19%, ≡ 14½-[15½
5	5.6	8.0	6.7	6.8	8.5	721.6	721.8	721.8	92	86	90	SSW 1	SSW 2	SSW 1	10	10	1	0.1	
6	6.3	10.2	7.6	8.0	9.7	721.8	720.3	722.6	89	65	94	SE 1	SW 2	WSW2	10	9	10	5.2	☉ tr 15½-18%, 18%-22%,
7	1.8	7.7	2.3	3.9	5.6	727.2	728.5	728.9	92	54	88	NNW1	SSW 1	SSE 0	1	3	9	0.1	⊂ I [☉ 17½-19%
8	0.1	7.6	0.3	2.7	4.5	726.9	725.9	723.6	93	55	91	SSE 0	SSW 1	NE 1	4	2	1	0.0	⊂ I, III
9	-1.4	7.7	1.6	2.6	4.4	721.3	719.8	718.3	83	48	68	W 0	SSW 1	ESE 0	1	3	4	0.0	⊂ I
10	-1.0	5.6	-1.1	1.2	3.0	715.6	715.4	718.9	82	56	98	W 1	WNW1	W 1	5	10	10*	8.4	* 17-23%, ≡ p-n, ⊂ I
11	-3.4	-2.1	-2.4	-1.2	0.6	720.6	721.6	723.0	95	53	94	NNW1	W 1	NNE 1	2	6	10*	0.2	* 3-3%, 4%-5%, 10%-12%, 12%-n,
12	-3.3	-1.3	-2.0	-2.2	-0.4	720.7	715.5	708.7	94	71	99	WNW1	SSW 1	SSW 1	10	10	10*	5.2	* fl p-18, 13-23%, *) [⊂ I
13	-1.1	-0.6	-1.1	-0.9	0.9	705.4	704.3	703.6	90	90	92	SSW 1	SSW 1	S 1	10*	10*	10*	1.7	* 2½-4%, fl a, 9%-15%, 20-23
14	-2.2	-0.2	-2.3	-1.6	0.2	703.6	704.9	706.2	95	79	90	NE 1	NE 1	ENE 1	10*	10	10*	1.5	* fl a, p, 19-24%
15	-2.9	-3.4	-5.4	-3.9	-2.1	708.8	711.3	714.3	85	83	87	NNE 1	NNE 1	NNE 1	10*	10*	9	0.8	* fl früh, 9%-12%, p
16	-7.2	-5.3	-6.6	-6.4	-4.6	714.7	714.7	714.7	87	75	76	NE 1	NNE 2	ENE 2	10*	10*	10	0.0	* 7½-14, fl p, ☉ 19%-24 mU
17	-9.4	-7.7	-9.8	-9.0	-7.2	714.0	714.6	716.6	80	69	76	ENE 1	ENE 1	ENE 1	10*	10	10	0.0	* fl 1, 9%-12, p
18	-11.7	-6.1	-10.8	-9.5	-7.8	717.1	717.4	718.9	84	53	85	NE 1	NE 1	ENE 1	10*	1	10	0.0	* fl 1, 10-12
19	-9.8	-7.0	-8.9	-8.6	-6.9	718.9	719.5	720.5	91	75	89	E 1	NE 1	ESE 1	10	10*	10	0.0	* 10%-15%, ⊂ I
20	-9.0	-7.6	-8.5	-8.4	-6.7	720.9	720.9	721.0	94	88	94	S 1	S 1	SSW 1	10	10	10	0.0	
21	-8.8	-5.6	-7.3	-7.2	-5.5	720.0	719.6	719.2	98	93	97	SSW 1	S 1	WNW1	10	10	10	0.1	≡ √ n-n
22	-9.7	-4.4	-8.0	-7.4	-5.7	717.0	715.6	713.9	95	82	96	WSW1	SSW 1	NW 0	10	3	0	0.0	≡ n-11, p-n, ⊂ I, II
23	-11.4	-4.5	-6.1	-7.3	-5.7	709.7	707.7	707.3	94	70	94	ENE 1	SSW 1	SSW 1	1	9	10	0.0	≡ 7-8% mU, ⊂ I
24	-6.0	1.8	-3.3	-2.5	-0.9	707.2	707.0	708.1	95	58	95	SSW 0	S 1	SSW 1	9	9	1	0.1	* 10-13%, ≡ n-12, ⊂ I, III
25	-3.9	1.2	-0.1	-0.9	0.7	708.3	708.7	712.2	97	80	96	SSW 1	SSW 1	SW 0	10	10*	10	1.8	* fl a, 8%-15%, ⊂ I
26	-5.4	-0.4	0.4	-1.8	-0.2	713.5	715.2	717.7	92	77	96	SE 1	SSW 1	SSW 1	2	10	9	4.1	* 9%-16%, ☉ 16%-n mU, ⊂ I
27	2.5	6.9	4.0	4.5	6.0	719.0	718.9	722.6	94	71	75	SSW 1	S 1	SW 2	10	9	0	0.8	☉ 2%-7%, 16%-17%
28	1.8	7.7	-0.2	3.1	4.6	724.9	725.3	725.0	82	47	85	SW 1	WSW1	E 1	9	2	0	0.0	⊂ III
29	-3.3	5.8	-0.9	0.5	2.0	722.9	721.4	720.8	78	37	72	ESE 1	ENE 1	SE 0	2	1	0	0.0	⊂ I, III
30	-3.5	6.5	1.6	1.5	2.9	721.0	720.6	719.9	91	46	56	WNW0	SSW 1	SSE 0	1	3	0	0.0	⊂ I
31	-0.7	5.5	4.5	3.1	4.5	718.7	717.9	717.9	80	55	67	WSW1	SW 1	W 1	7	9	10	3.2	☉ 15%-16, ☉ 17-19%, ⊂ I
Mittel	-3.2	1.3	-1.6	-1.2	-	716.3	716.2	716.8	90	69	87				7.5	7.6	7.2	37.2	

*) 12. ☉ 17½-19%, ⊂ I

λ = 6° 32', β = 46° 51',
H_b = 1601 m, G = -0.16 mm

Chasseron

Januar 1957
Beobachter: J. Liardon

1	-2.0	-0.2	-2.0	-1.4	-	626.1	620.1	621.6	48	74	100	ESE 2	SSW 1	S 3	9	9	10	4.6	* 15-n mU, ≡ 14½-n	
2	-3.6	-2.8	-3.8	-3.4	-	623.2	624.6	626.7	100	100	88	S 2	W 2	W 2	10	6	3	.	≡ n-9	
3	-4.2	-2.8	-1.6	-2.9	-	629.7	630.9	632.3	76	63	100	WNW2	WNW2	W 3	3	4	10	0.4	* 22-n mU, 19-n	
4	0.0	0.6	1.2	0.6	-	634.3	635.5	637.0	100	100	100	W 2	W 3	NW 3	10	10	10	15.0	☉ n-12, 16-n, ≡ n-n	
5	2.8	3.3	3.8	3.3	-	637.7	637.9	638.3	100	100	100	WNW3	W 3	W 3	10	10	10	8.9	☉ n-17, ≡ n-n	
6	1.2	1.0	2.0	1.4	-	637.3	637.0	638.9	100	100	100	WNW4	W 5	NW 4	10	10	10	12.3	☉ n-n mU', ≡ ☉ n-n, [☉ a-p	
7	-1.4	3.4	3.0	1.7	-	641.7	642.3	643.4	60	26	16	N 1	ESE 2	N 1	2	4	0	.		
8	5.0	9.8	5.5	6.8	-	642.0	641.7	640.0	12	11	15	ENE 1	-	0 E	1	4	3	0	.	
9	7.0	5.4	5.4	5.9	-	637.8	636.3	635.4	15	28	22	WSW2	WNW3	W 2	2	2	2	.		
10	0.2	-5.0	-6.6	-3.8	-	631.6	630.4	632.6	59	100	100	W 4	NW 4	N 3	6	10	10	5.0	* 16-n mU, ≡ 13-n, ☉ n-p	
11	-8.4	-8.4	-9.4	-8.7	-	633.1	634.3	634.6	100	100	100	ENE 2	E 2	E 2	10	8	2	.	* n-7, ≡ n-a	
12	-10.2	-7.0	-8.0	-8.4	-	632.8	629.3	623.3	100	100	100	N 1	W 3	W 4	6	8	10	10.0	* p-n, ≡ 15-n, ☉ p-n	
13	-8.0	-6.5	-7.0	-7.2	-	620.6	619.9	618.8	100	100	100	W 2	WNW2	WNW2	10	10	10	16.2	* ≡ n-n	
14	-8.4	-7.6	-10.0	-8.7	-	618.1	618.7	619.5	100	100	100	E 2	E 4	E 4	10	9	9	1.5	* 16½-16%, n (14/15, *)	
15	-10.0	-10.0	-12.0	-10.7	-	621.5	623.3	625.3	100	100	100	E 4	E 4	E 3	10	10	10	1.2	* fl n-p mU, p-n, *)	
16	-15.0	-14.0	-15.0	-14.7	-	624.3	623.9	623.6	100	100	100	E 3	E 4	E 5	10	10	10	3.6	* n-11, n (16/11, *)	
17	-16.0	-15.3	-16.2	-15.8	-	622.9	624.4	624.2	100	100	100	E 4	E 4	E 2	10	2	2	.	≡ ☉ a-p	
18	-9.2	-6.8	-4.8	-6.9	-	627.4	629.1	630.5	80	52	51	ESE 1	ESE 3	N 1	2	2	0	.		
19	-3.2	3.0	-1.6	-0.6	-	630.5	631.3	632.3	30	20	16	E 1	ESE 1	SSE 2	3	2	2	.		
20	-1.0	0.4	-0.3	-0.3	-	633.2	633.5	634.2	17	18	20	SSW 2	W 3	WSW3	0	0	0	.		
21	0.7	0.0	-1.8	-0.4	-	634.0	633.7	632.9	17	26	28	WSW2	WNW2	ESE 1	0	0	0	.	Δ 21-24	
22	-2.4	2.0	-2.4	-0.9	-	631.1	630.1	628.4	24	30	30	-	0	0 ESE	2	2	2	.		
23	-3.0	0.0	-2.2	-1.7	-	624.2	623.4	623.3	35	28	33	ESE 3	WSW2	WNW2	4	5	5	.		
24	-4.6	-2.0	-5.0	-3.9	-	622.7	622.8	623.5	88	72	100	NNW 2	NW 2	W 2	4	4	10	1.6	* n (21/25)	
25	-5.0	-5.6	-7.0	-5.9	-	623.0	623.3	626.3	100	100	100	W 3	WNW3	W 3	10	10	10	10.7	* n-18%, ≡ n-n	
26	-4.8	-1.8	-1.4	-2.7	-	628.0	630.0	632.3	100	100	100	SW 2	W 3	W 3	9	10	10	15.4	* n-10% mU, n (26/27, *)	
27	-1.2	-0.4	-3.4	-1.7	-	634.3	634.2	637.4	100	100	100	W 4	WNW3	N 3	10	10	10	8.0	* n-9%, 15%-n mU, ≡ n-9%, ≡ n-8%	
28	-4.6	-3.0	0.2	-2.5	-	638.9	639.6	638.8	100	56	28	N 3	S 2	SE 3	10	3	2	.	[13-n	
29	3.4	9.8	4.2	5.8	-	637.3	637.6	636.9	12	11	11	ESE 2	-	0 WSW2	2	2	0	.		
30	0.6	2.4	2.0	1.7	-	636.1	635.9	635.1	34	48	35	W 3	W 2	W 3	2	3	5	.		
31	1.2	1.2	2.4	1.6	-	634.3	634.1	634.4	84	48	94	W 2	WNW3	W 3	8	8	10	2.0	Δ 18. ☉ n (31/1)	
Mittel	-3.4	-1.8	-3.0	-2.7	-	630.6	630.6	631.0	71	68	71				6.4	6.3	5.9	116.4		

*) 14. ≡ n-n mU, ☉ a-n 15. ≡ n-n, ☉ n-p 16. ≡ n-n, ☉ a-n, ☉ III 26. ☉ 14-15%, ≡ n-7, 9%-n

Januar 1957

Beobachter: Stationspersonal Rh. B.

Bever

$\lambda = 9^{\circ} 53', \beta = 46^{\circ} 33'$

$H_b = 1711.8 \text{ m}, G = -0.26 \text{ mm}$

Tag	Lufttemperatur					Luftdruck			Relative Feuchtigkeit			Windrichtung und Stärke			Bewölkung			Niederschlag	Witterung			
	7 ³⁰	13 ³⁰	21 ³⁰	Mittel	Abweich. vom Normalst	7 ³⁰	13 ³⁰	21 ³⁰	7 ³⁰	13 ³⁰	21 ³⁰	7 ³⁰	13 ³⁰	21 ³⁰	7 ³⁰	13 ³⁰	21 ³⁰					
1	-8.3	-1.1	-1.4	-3.6	6.0	615.0	614.8	614.8	100	100	100	SW	0	SW	0	NE	0	10	10*	10*	28.7	* 6%-7% mU, 12-n
2	-2.1	-0.5	-1.9	-1.5	8.1	615.2	615.6	618.1	100	98	100	SE	0	SW	0	SW	0	10*	10*	10*	4.0	* n-n
3	-5.9	-0.8	-12.6	-6.4	3.3	620.6	621.5	623.4	97	80	95	SW	0	SW	0	SW	0	10	10	0	0.9	* n (3./1.)
4	-4.0	0.5	-0.7	-1.4	8.3	624.4	624.8	626.4	100	65	98	SE	0	W	0	N	0	10*	10	8	2.3	* 5-9, 12-p mU
5	-4.3	3.0	-1.7	-1.0	8.7	627.1	628.1	629.0	98	73	100	SW	0	SW	0	SW	0	6	9	0=	1.3	● 12%-17, ≡ 21-n
6	-5.0	0.2	1.5	-1.1	8.7	628.1	627.1	626.8	100	96	91	SW	0	SW	0	SW	0	8	2	6	3.9	● tr 19%-n mU, * n (6./7.)
7	-3.8	0.0	-10.6	-4.8	5.0	630.4	632.1	633.4	80	30	84	SW	0	SW	0	SW	0	3	0	3	.	* 5%-7
8	-13.6	-1.3	-11.8	-8.9	0.9	632.4	631.4	631.5	85	51	90	SW	0	SW	0	SW	0	4	0	8	.	.
9	-17.4	-2.2	-9.7	-9.8	0.0	629.7	627.7	626.8	98	51	86	SW	0	SW	0	SW	0	6	0	0	.	.
10	-14.2	-1.8	-2.4	-6.1	3.8	623.4	620.4	620.0	100	54	64	SW	0	SW	0	NW	2	0	9	10	1.8	* n (10./11.)
11	-7.8	-5.3	-11.2	-8.1	1.8	622.0	622.0	623.9	76	50	75	NW	0	N	0	NE	0	10*	8	10	.	* fl n-a
12	-21.2	-11.5	-10.8	-14.5	-4.6	622.5	619.5	613.7	98	73	88	NE	0	SW	0	SW	0	5	8	10	.	.
13	-11.2	-5.2	-16.2	-10.9	-1.0	610.2	609.5	609.6	100	52	90	SW	0	NW	0	SW	0	10	8	4	.	.
14	-25.0	-9.2	-10.1	-14.8	-5.0	609.1	609.5	610.4	100	68	88	SW	0	NE	1	NE	0	3	10	8	.	.
15	-20.5	-8.3	-17.0	-15.3	-5.5	613.2	613.9	615.7	99	64	95	SW	0	SW	0	SW	0	6	7	4	.	.
16	-22.8	-11.4	-18.2	-17.5	-7.7	616.0	616.0	616.9	100	78	92	SW	0	NE	0	SW	0	1	1	3	.	.
17	-22.4	-12.6	-22.6	-19.2	-9.4	617.2	617.3	619.9	98	80	100	SW	1	NE	0	SW	0	10	6	0	.	.
18	-26.0	-7.0	-19.2	-17.4	-7.7	621.2	620.6	622.8	93	49	85	SW	0	SW	0	SW	0	0	0	0	.	.
19	-21.6	-5.7	-17.2	-14.8	-5.1	623.2	623.0	624.7	96	53	90	SW	0	SW	0	S	0	0	0	0	.	.
20	-21.5	-5.5	-16.5	-14.5	-4.8	625.3	625.4	628.2	98	48	90	SW	0	S	0	SW	0	0	0	0	.	.
21	-19.8	-5.0	-17.4	-14.1	-4.5	626.7	625.1	625.3	99	52	97	SW	0	SW	0	SW	0	0	0	0	.	D 21-21%, 23%-23%
22	-21.1	-4.8	-18.2	-14.7	-5.1	623.9	621.7	621.7	100	52	96	SW	0	SW	0	SW	0	0	0	0	.	.
23	-19.2	-4.4	-9.9	-11.2	-1.7	618.0	616.0	615.1	99	58	86	NW	0	SW	0	SW	0	10	7	8	.	.
24	-10.5	-3.2	-11.2	-8.3	1.1	613.4	613.1	614.7	100	82	96	SW	0	SW	0	NW	0	10	10	0	.	.
25	-18.4	-5.7	-7.1	-10.4	-1.0	615.4	614.3	616.0	100	90	99	SW	0	SW	0	NE	0	3	10*	4	1.7	* fl 11%-14%, 14% n
26	-21.0	-6.6	-10.9	-12.8	-3.5	619.6	621.1	623.2	96	57	100	SW	0	W	0	SE	0	0	6	2	1.0	* 15-18
27	-8.8	0.6	-2.2	-3.5	5.7	625.1	624.2	625.9	100	60	97	SW	0	W	0	E	0	10	0	4*	3.4	* 20-n mU
28	-5.0	-5.2	-12.8	-7.7	1.5	626.1	627.6	629.0	100	94	95	NE	0	NE	1	SW	0	10*	10*	0	3.5	* n-15
29	-20.3	-4.5	-12.7	12.5	-3.4	627.6	628.1	628.6	96	56	99	SW	0	SW	0	SW	0	0	5	0	.	.
30	-17.8	-3.4	-12.4	11.2	-2.2	627.3	626.1	626.4	98	45	87	SW	0	SW	0	SW	0	0	0	0	.	.
31	-17.6	-0.7	-4.4	-7.6	1.3	625.6	624.4	625.0	96	43	83	SW	0	N	0	SW	0	2	9	7	.	.
Mittel	-14.8	-4.1	-10.6	-9.8	-	621.8	621.4	622.2	97	65	91							5.1	5.3	3.8	Summe	52.5

Januar 1957

Beobachter: Couvent des Capucins

Sion

$\lambda = 7^{\circ} 22', \beta = 46^{\circ} 14'$

$H_b = 548.6 \text{ m}, G = -0.14 \text{ mm}$

Tag	Lufttemperatur					Luftdruck			Relative Feuchtigkeit			Windrichtung und Stärke			Bewölkung			Niederschlag	Witterung			
	7 ³⁰	13 ³⁰	21 ³⁰	Mittel	Abweich. vom Normalst	7 ³⁰	13 ³⁰	21 ³⁰	7 ³⁰	13 ³⁰	21 ³⁰	7 ³⁰	13 ³⁰	21 ³⁰	7 ³⁰	13 ³⁰	21 ³⁰					
1	3.2	7.3	2.3	4.3	5.1	707.3	707.1	709.0	63	56	91	NE	0	NE	0	NW	0	10	10	10	.	.
2	0.4	3.2	2.1	1.9	2.8	710.6	711.9	715.4	100	95	100	NW	0	NW	0	S	0	10	10	10	.	.
3	0.8	3.9	0.8	1.8	2.7	718.1	719.1	721.4	85	80	87	S	0	SSE	0	SE	0	9	1	10	.	.
4	0.1	5.6	2.9	2.9	3.8	722.2	724.0	724.0	90	64	80	SE	1	SE	0	SE	0	9	8	2	.	.
5	1.6	4.2	3.4	3.1	4.1	725.8	726.1	725.9	96	100	100	E	1	E	0	E	0	10	10	8	1.5	● 11%-12%, 13%-14%
6	2.2	6.1	7.0	5.1	6.1	724.7	724.3	725.6	100	91	97	E	0	SSE	0	SE	0	4	3	10	0.4	● 19%-20%, ● tr 21%, ?
7	3.6	7.0	2.2	4.3	5.3	729.3	729.9	731.3	90	78	85	N	0	N	0	N	0	0	1	0	.	.
8	1.4	4.2	1.0	1.3	2.3	730.3	728.6	727.4	91	57	72	N	0	N	0	N	0	0	9	0	.	L
9	1.0	6.0	2.0	2.3	3.3	725.3	722.9	721.6	68	47	62	N	0	N	0	N	0	0	1	0	.	.
10	0.4	5.4	2.2	2.4	3.4	718.8	716.6	717.9	69	58	90	N	0	N	0	WNW	3	0	7	10	.	↘ 16%-n
11	0.6	3.6	-1.2	1.0	2.0	720.2	721.0	723.3	71	53	65	WNW	2	W	2	WNW	0	4	1	0	.	↘ a-p mU
12	-5.8	-1.0	-2.2	-3.0	-2.0	723.2	719.2	713.6	85	65	100	ENE	0	NE	1	ENE	0	0	10	10*	3.2	* 19%-21%, 22%-n
13	3.4	-0.3	-1.9	-1.9	-0.9	709.3	708.7	707.9	100	83	100	E	0	SE	0	SE	0	10	10	10	.	* n-1%
14	-4.8	-1.9	-3.5	-3.4	-2.5	705.6	706.7	707.8	89	71	95	NE	0	NE	1	NE	0	5	0	0	.	.
15	-7.4	-3.6	-5.0	-5.3	-4.4	711.1	712.3	715.4	90	71	79	NE	0	NE	1	NE	1	7	9	0	.	.
16	-7.9	-2.9	-6.5	-5.8	-4.9	714.9	714.2	715.3	94	70	84	NE	0	NE	1	NNE	0	10	0	0	.	.
17	-8.7	-4.6	-7.8	-7.0	-6.2	715.7	715.3	717.3	91	74	90	NNE	0	SE	0	NE	0	10	10	0	.	.
18	-10.9	-4.9	-9.1	-8.3	-7.5	718.4	718.6	721.0	89	84	96	N	0	SW	0	N	1	5	0	0	.	.
19	-11.3	-6.7	-9.0	-9.0	-8.3	720.9	720.7	722.9	100	85	95	NNW	0	SE	1	NW	0	0	0	0	.	???
20	-11.8	-3.9	-7.4	-7.7	-7.0	723.9	722.8	724.0	99	74	91	N	0	NNW	1	NNW	0	0	0	0	.	???
21	-7.5	0.2	-5.3	-4.2	-3.6	723.2	721.7	722.1	84	64	86	NNW	0	N	0	S	2	0	0	0	.	D III, ?
22	-6.9	2.7	-2.1	-2.1	-1.5	719.8	717.7	716.7	83	43	65	SSE	0	SE	0	NNW	1	0	0	0	.	.
23	-0.5	5.2	-3.1	0.5	1.0	712.9	710.8	710.6	51	46	99	NE	1	NE	0	NE	0	0	9	10	.	.
24	-5.6	-2.7	-5.4	-4.6	-4.2	710.9	710.6	711.9	100	96	99	NE	0	NE	0	NE	1	10	10	0	.	≡ 3-14%, √ 7%, ? 1, II
25	-3.7	2.9	-0.6	-0.5	-0.1	712.2	711.5	715.3	89	63	96	NE	0	NE	0	WSW	1	9	3	0*	0.3	* 15%-16%, 21%, √ 15%
26	-1.9	2.2	0.2	0.2	0.5	717.1	718.6	722.0	90	68	85	SW	0	SSE	0	SE	0	10	10	5	0.1	* fl 34
27	-0.2	5.8	2.6	2.7	2.9	722.9	722.0	725.6	95	67	98	ESE	0	ESE	0	WSW	0	6	8	0	0.5	● 18-18%, ?
28	2.2	6.6	1.4	3.4	3.5	728.1	727.4	726.7	76	55	62	WSW	1	NE	1	NE	0	10	1	0	.	?
29	-2.8	5.8	0.6	1.2	1.2	726.2	723.7	724.4	75	45	61	NE	0	NE	0	NE	0	0	0	0	.	.
30	-2.2	6.2	0.9	1.6	1.5	724.7	722.6	722.6	66	43	61	NE	0	NE	0	NE	0	0	0	0	.	.
31	-0.8	7.0	2.6	2.9	2.7	722.1	721.0	721.8	65	45	62	NE	1	NE	0	NE	0	10	4	10	.	.
Mittel	-3.0	2.2	-1.2	-0.6	-	719.2	718.6	719.6	85	67	85							5.1	4.7	3.4	Summe	6.0

$\lambda = 8^{\circ} 58'$, $\beta = 46^{\circ} 00'$,
 $H_b = 276.2$ m, $G = -0.04$ mm

Lugano

Januar 1957
Beobachter: G. Vicari

Tag	Lufttemperatur					Luftdruck			Relative Feuchtigkeit			Windrichtung und Stärke			Bewölkung			Niederschlag	Witterung
	7 ³⁰	13 ³⁰	21 ³⁰	Mittel	Abweich. vom Normalst	7 ³⁰	13 ³⁰	21 ³⁰	7 ³⁰	13 ³⁰	21 ³⁰	7 ³⁰	13 ³⁰	21 ³⁰	7 ³⁰	13 ³⁰	21 ³⁰		
1	0.2	1.0	0.6	0.6	-1.6	737.0	736.7	735.2	97	97	98	NNE 0	NNW 1	N 1	10**	10**	10*	44.6	●* n-p, ● p-n
2	1.0	2.6	1.8	1.8	-0.4	735.4	736.2	738.9	98	97	98	NNW 1	NNW 0	N 1	10**	10*	10*	27.1	●* n-a, ● a-n
3	2.2	6.8	1.8	3.6	1.4	740.2	740.9	742.6	98	74	97	N 2	NE 1	NNW 1	10*	7	0	1.4	● n-a mU
4	0.4	10.0	1.8	4.1	2.0	742.1	742.6	745.6	92	51	94	N 1	SSW 1	N 1	3	1	0		L I
5	-0.2	6.8	2.6	3.1	1.0	747.0	747.1	747.2	97	63	97	NNW 0	E 0	N 1	4	8	0		L I
6	1.4	5.4	2.0	2.9	0.8	745.9	744.7	743.4	98	85	95	NNW 1	N 1	N 1	10	9	1		
7	11.6	15.2	2.8	9.9	7.8	747.5	750.1	751.8	22	19	66	NNE 2	SSE 1	NNW 1	0	0	0		
8	0.2	8.4	1.6	3.4	1.3	750.6	750.4	750.2	78	67	83	WNW 1	S 1	N 1	0	4	0		
9	-0.4	8.4	1.4	3.1	1.1	748.7	746.2	745.4	84	50	83	N 1	S 1	NNW 1	0	0	1		☉ 18%
10	-1.0	6.2	2.2	2.5	0.5	741.6	739.0	737.0	87	75	81	N 1	SSW 1	N 1	1	8	8*		* ☉ 21%
11	5.8	9.4	4.4	6.5	4.4	740.7	741.7	744.5	29	25	28	N 2	NNE 2	NE 2	0	0	0		
12	0.6	6.0	-0.6	2.0	-0.1	743.0	740.7	734.9	44	44	71	NNE 1	SE 1	N 1	4	9	9		
13	-1.4	4.8	-1.2	0.7	-1.4	729.8	729.4	730.0	81	56	83	N 1	SE 1	N 1	9	1	5		
14	-3.4	2.4	0.6	-0.1	-2.2	728.7	727.6	730.6	93	67	84	NNE 1	SW 1	NW 1	3	5	10		
15	-0.8	3.4	-1.2	0.5	-0.7	733.5	735.2	737.8	93	69	89	NNW 1	ESE 1	N 1	10	8	10		
16	-3.8	4.8	-0.4	0.2	-2.0	737.2	737.2	737.0	94	55	88	NNW 1	E 1	N 1	0	1	5		
17	-4.0	2.4	-1.8	-1.1	-3.3	738.2	739.1	742.0	94	68	86	NNW 1	SSW 1	N 1	5	7	10		
18	-4.2	3.8	-3.2	-1.2	-3.4	744.1	744.0	744.5	89	58	89	NNW 1	SSE 1	NNW 1	8	0	0		
19	-5.8	5.4	-2.4	-0.9	-3.2	745.5	744.4	745.7	91	45	83	NNW 1	S 1	N 1	0	0	0		
20	-4.2	6.0	-1.4	0.1	-2.2	746.9	747.1	748.0	69	44	69	N 1	SSE 1	N 1	0	0	0		
21	-2.8	6.8	-0.4	1.2	-1.1	747.0	746.6	747.3	67	51	68	NNW 1	S 1	N 1	0	0	0		
22	-3.4	5.4	-0.4	0.5	-1.9	746.2	745.4	744.0	84	61	82	N 1	WSW 1	N 1	0	0	0		
23	-2.2	3.8	1.2	0.9	-1.5	739.7	737.6	734.8	86	63	79	NNW 1	SSW 1	W 1	3	10	10		
24	0.8	7.4	1.8	3.3	0.8	732.6	731.9	732.9	85	56	80	NW 1	SE 1	N 1	10	5	0		
25	-0.6	2.4	1.2	1.0	-1.5	735.0	735.1	736.1	91	98	98	SW 1	NNE 1	N 1	10	10	5	1.2	* ☉ 10%-13%
26	-1.4	4.4	1.4	1.5	-1.1	739.6	741.6	743.7	97	66	86	N 1	ENE 0	N 1	10	8	0		
27	-1.6	7.2	2.2	2.6	0.0	745.1	744.1	745.1	81	51	71	NNW 1	SE 1	N 1	0	1	0		
28	4.8	13.6	6.4	8.3	5.6	747.0	747.8	748.0	46	25	41	N 1	NNE 2	NNE 1	1	1	0		
29	-0.6	7.8	0.8	2.7	0.0	750.1	749.8	749.5	77	48	71	NNW 1	SSE 1	N 1	0	1	0		
30	-2.2	7.4	1.2	2.1	-0.7	748.7	746.1	745.3	86	56	78	N 1	SSE 1	N 1	0	0	0		
31	-1.8	8.4	2.2	2.9	0.0	744.3	744.8	745.7	91	59	99	N 1	SSE 1	N 1	1	1	9		
Mittel	-0.5	6.3	0.9	2.2	—	741.9	741.6	742.1	81	60	81				3.9	4.0	3.3	74.3	

$\lambda = 7^{\circ} 35'$, $\beta = 47^{\circ} 33'$,
 $H_b = 317.3$ m, $G = 0.08$ mm

Basel

Januar 1957
Beobachter: Astronom-Meteorol. Anstalt

1	-2.7	-2.3	-1.3	-2.1	-1.6	727.7	727.2	728.9	93	94	91	NW 1	NW 1	ESE 1	10 [≠]	10	10	0.0	●° 23-24%, ≡ 1-11, L ~ I
2	0.2	1.8	-1.5	0.2	0.3	730.5	731.8	735.1	89	88	95	E 1	E 1	S 1	10	10	10	0.0	●° 10-11%, L ~ I
3	-2.3	5.0	1.4	1.4	2.0	737.7	738.4	739.2	95	68	82	SE 1	ESE 1	ESE 1	8	0	10		L V ~ I
4	2.8	3.8	4.1	3.6	4.2	741.3	741.6	743.5	86	97	97	E 1	E 1	E 1	10	10	10	3.0	●° 9-11, 17%-17%, ≡ 8%-9%, 21%-1
5	5.8	7.0	7.2	6.7	7.3	743.8	744.2	744.4	97	96	90	E 1	E 1	SE 0	10	10	10	0.3	●° 5%-6, 13-13%, 14-14%, ≡ n-1
6	9.6	12.9	9.4	10.6	11.2	743.9	742.6	745.7	82	64	88	SSW 2	WSW 2	WSW 1	9	9	9	0.4	● 18-19% mU, ☉ 14%
7	1.3	8.5	0.7	3.5	4.1	750.4	751.7	751.7	97	73	93	SSW 1	SSE 1	SSE 1	0	4	0		L I
8	-1.3	4.6	0.2	1.2	1.8	749.8	748.4	746.3	95	80	95	E 1	E 1	ESE 1	10 [≠]	1	0		≡ 2%-8%, L I
9	-1.2	5.5	0.6	1.6	2.2	743.6	742.1	741.0	87	71	85	ESE 1	ESE 1	ESE 1	0	6	0		L I
10	-2.1	1.4	-0.6	-0.4	0.2	738.6	739.6	742.7	82	80	96	E 0	WNW 2	W 0	8	10	10	2.5	* 15%-21%, ☉ 11
11	-1.4	3.3	-1.3	0.2	0.8	744.1	745.6	746.5	91	69	90	NNW 0	NW 1	SSW 0	4	2	7	0.2	* 14%-15% mU
12	-2.8	0.3	0.4	-0.7	-0.1	744.1	739.0	731.1	92	93	98	S 0	N 1	SW 1	9	10	10	0.9	* 16-19%
13	0.8	2.5	0.4	1.2	1.8	728.1	727.1	726.0	84	81	95	SSW 1	WSW 2	SSW 0	10	7	10	4.9	* 8%-12%, ● 16%-22%
14	0.3	1.3	-0.3	0.4	1.0	726.5	728.5	730.3	93	88	89	NE 0	N 0	N 0	2	10	9	0.0	*° 9%-10%, 16%, ☉ 0%
15	-2.5	-1.5	-4.2	-2.7	-2.2	732.7	735.0	738.5	88	79	87	NNW 1	NNW 1	NNE 2	10*	10	10*	0.3	* 7%-11%, 13%-14%, ☉ 21%
16	-5.0	-4.0	-4.3	-4.4	-3.9	738.7	739.0	738.9	81	76	59	NNE 1	NNE 1	ENE 2	10	10	7	0.0	* ☉ 9%, 13%
17	-9.4	-4.2	-7.4	-7.0	-6.5	738.5	738.5	740.0	85	64	64	NW 1	ENE 1	ENE 2	4	1	1		
18	-9.4	-4.7	-9.5	-8.0	-7.5	740.5	740.9	742.5	72	64	77	E 1	E 1	ENE 0	1	0	0		☉ 0%
19	-10.6	-2.7	-7.9	-7.1	-6.7	742.6	743.0	743.7	87	70	81	ENE 1	ENE 0	E 1	2	1	0		L V I
20	-8.6	-3.5	-8.4	-6.8	-6.4	744.3	744.0	743.8	86	72	84	ESE 1	ENE 1	E 1	0	0	0		L I
21	-10.7	-3.0	7.0	-6.9	-6.5	743.1	742.3	741.4	88	72	86	E 2	ESE 1	E 2	0	0	0		L I
22	-10.2	-3.1	-6.5	-6.6	-6.3	739.5	738.3	736.4	90	71	83	E 2	E 2	E 2	0	1	0		L I
23	-10.4	-1.9	-4.6	-5.6	-5.3	732.5	730.6	729.9	87	71	75	E 2	ESE 1	ESE 1	0	4	0		L I
24	-6.7	1.5	-1.5	-2.2	-2.0	729.6	729.3	729.6	88	66	75	E 1	ESE 1	ESE 1	2	2	10	1.2	L I
25	-2.6	1.7	-0.6	-0.1	0.1	730.1	731.5	734.8	93	88	82	ESE 1	SE 1	SE 1	10	10	10	1.6	* 5-7%, 11-13, ● 13
26	-2.8	0.3	0.8	-0.6	-0.5	735.9	737.7	739.5	93	88	91	E 1	ESE 1	E 1	9	10*	10	0.3	● 12%-14
27	2.8	7.1	4.5	4.8	4.9	741.4	741.8	745.5	84	82	88	E 1	W 0	W 2	10	10	10	1.0	● tr 7%, 10%, 14-15
28	3.7	8.2	0.2	4.0	4.0	748.0	748.4	747.4	85	72	89	WSW 2	NW 1	ESE 1	4	1	0		☉ 4
29	-2.4	6.3	-0.2	1.2	1.1	744.9	743.5	743.0	87	51	81	ESE 1	E 1	E 1	1	0	0		L V I
30	-3.8	6.1	1.1	1.1	1.0	743.9	743.2	742.2	83	46	83	ESE 1	E 1	ESE 1	0	9	0		
31	-0.6	4.9	4.1	2.8	2.6	741.2	740.9	739.8	87	77	84	E 1	S 1	ESE 1	8	10	10	0.3	● 23-24%
Mittel	-2.6	2.0	-1.0	-0.5	—	739.3	739.2	739.6	88	76	86				5.7	5.7	5.6	16.9	

Januar 1957
Beobachter: Observatorium

Säntis

$\lambda = 9^\circ 21'$, $\beta = 47^\circ 15'$
 $H_b = 2500.1$ m, $G = -0.29$ mm

Table with columns: Tag, Lufttemperatur (7:30, 13:30, 21:30, Mittel, Abweich. vom Normalst), Luftdruck (7:30, 13:30, 21:30), Relative Feuchtigkeit (7:30, 13:30, 21:30), Windrichtung und Stärke (7:30, 13:30, 21:30), Bewölkung (7:30, 13:30, 21:30), Niederschlag, Witterung. Rows 1-31 and Mittel.

*) 4. $\equiv \sqrt{n-n}$, $\sqrt{n-a}$. 12. $\dagger 12-n$, $\sqrt{p-n}$ 13. $10\frac{1}{2}-n$ 26. $\sqrt{a-n}$ mU 27. $\sqrt{n-p}$ mU

Januar 1957
Beobachter: E. Chiesa

St. Gotthard (Hospiz)

$\lambda = 8^\circ 34'$, $\beta = 46^\circ 33'$
 $H_b = 2095$ m, $G = -0.27$ mm

Table with columns: Tag, Lufttemperatur (7:30, 13:30, 21:30, Mittel, Abweich. vom Normalst), Luftdruck (7:30, 13:30, 21:30), Relative Feuchtigkeit (7:30, 13:30, 21:30), Windrichtung und Stärke (7:30, 13:30, 21:30), Bewölkung (7:30, 13:30, 21:30), Niederschlag, Witterung. Rows 1-31 and Mittel.

λ = 7° 26', β = 46° 57',
H_b = 572.2 m, G = -0.04 mm

Bern

Februar 1957
Beobachter: Meteorologisches Observatorium

Tag	Lufttemperatur					Luftdruck			Relative Feuchtigkeit			Windrichtung und Stärke			Bewölkung			Niederschlag	Witterung			
	7 ³⁰	13 ³⁰	21 ³⁰	Mittel	Abweich. vom Normalst.	7 ³⁰	13 ³⁰	21 ³⁰	7 ³⁰	13 ³⁰	21 ³⁰	7 ³⁰	13 ³⁰	21 ³⁰	7 ³⁰	13 ³⁰	21 ³⁰					
1	2.2	7.7	3.4	4.4	5.4	718.1	718.4	718.7	91	60	86	S	0	SSE	0	SW	0	9	9	2	● 0-5	
2	0.6	10.0	3.5	4.7	5.7	719.9	719.4	719.1	97	72	72	SE	0	SE	0	SE	0	1	0	0		
3	0.8	7.3	3.4	3.8	4.7	717.8	717.3	717.5	95	73	70	SE	0	W	0	SE	0	6	9	9		
4	2.6	9.2	3.0	4.9	5.7	718.5	717.3	716.4	90	63	96	SW	0	NNE	0	SE	1	9	4	0		
5	1.4	5.5	2.5	3.1	3.8	716.7	715.6	713.0	96	81	96	SE	1	W	0	SE	1	10	10	9		
6	1.7	5.5	4.4	3.9	4.5	711.7	712.2	715.6	94	78	95	SE	1	E	0	W	1	10	10	10	● 14%–14%, 16%–24%	
7	2.4	3.8	2.5	2.9	3.5	716.6	716.1	713.8	100	98	100	SE	1	SW	1	SE	1	10	10	10	● 2%–3%, ≡ 5-12-20-n, ∩ 18	
8	1.6	8.2	7.8	5.9	6.4	711.7	709.3	709.5	99	66	84	SSE	1	ESE	0	W	2	9	9	10	● 12%–13, 17%–19%, 21%–n, ≡ n-1/2	
9	4.4	10.1	4.5	6.3	6.7	709.8	710.3	709.3	96	54	65	WSW1	1	SW	2	SSE	1	10	5	6	● n-9%	
10	2.5	5.7	3.5	3.9	4.2	709.3	708.8	712.3	94	80	95	S	0	WSW1	1	WSW2	5	9	9	9	● 1%–3%, 12-n mU	
11	2.8	6.6	2.5	4.0	4.2	716.6	715.7	712.4	81	56	83	WSW1	1	WSW1	1	S	0	8	6	10	● n-3 mU, 5-6%, ∩ 18, ∩ 21	
12	1.0	1.6	1.3	1.3	1.4	707.5	707.3	706.5	85	97	98	S	0	SE	0	SE	0	10	10	9	● 7%–13%, 15-16%, 23%–n, ● *	
13	2.8	4.6	5.0	4.1	4.1	702.9	699.0	697.1	93	95	90	SW	0	SW	1	WSW2	10	10	10	14.9	● n-1, 5%–6, 9-21% [12%–15	
14	5.0	5.8	5.0	5.3	5.2	697.1	698.2	698.4	77	75	85	SW	3	SW	3	SW	2	9	10	10	7.0	● 3%–6 mU, 10%–15% mU, *)
15	6.8	7.0	3.7	5.8	5.6	690.3	694.8	698.0	70	54	82	SW	4	WSW3	1	SW	2	10	10	9	5.5	● 1%–8%, 10%–11%, 19-20 mU, *)
16	3.4	3.5	0.4	2.4	2.1	699.8	701.4	702.5	70	92	99	SW	2	W	1	S	0	9	9	10	12.2	∩ 10-10%, 10%–11, *)
17	1.1	5.4	2.3	2.9	2.5	705.6	704.6	701.7	82	60	82	SW	0	SW	1	N	0	7	2	10	0.0	* 2-3, 7%–8
18	1.2	2.1	9.7	1.3	0.8	695.9	699.5	707.0	85	88	97	NE	0	W	1	SW	1	10	10	5	7.0	● 11%–12%, 15-15%, *)
19	-1.9	4.3	0.0	0.8	0.2	709.9	710.8	709.6	98	60	86	S	0	SW	2	SE	1	3	1	3		* 1%–1%
20	-2.5	2.8	1.2	0.5	-0.2	706.4	705.4	705.8	87	57	92	SE	1	SE	0	SW	2	7	10	10	3.5	● * 16%–17%, 21%–21%
21	-1.2	1.8	-1.6	-0.3	-1.1	713.2	714.5	713.9	90	51	73	SW	1	N	0	SE	1	10	5	0		* 1%–7% [* 21%–22%]
22	-3.4	-0.2	-1.8	-1.8	-2.7	711.5	708.5	709.0	78	63	96	E	0	N	0	E	0	7	10	10	6.2	* 15%–21%, 23-23%
23	-1.2	3.2	1.6	1.2	0.2	709.9	709.5	707.5	98	78	98	E	0	NW	0	SE	0	10	10	10	15.8	* 0%–2% mU, ● 17-n
24	6.0	9.2	9.4	8.2	7.1	706.1	705.0	706.5	96	86	93	WSW1	1	SW	2	SW	2	10	10	10	30.4	● n-n
25	10.8	13.2	6.9	10.3	9.1	707.3	707.5	709.2	73	56	91	SW	2	WSW3	1	W	1	10	8	10	8.3	● n-1, 3%–4, 9%–10, *)
26	2.6	9.8	5.5	6.0	4.6	711.9	711.7	712.6	98	56	68	SW	0	NW	0	NW	0	2	8	6	2.2	∩
27	3.3	7.5	3.9	4.9	3.4	716.1	717.3	720.3	94	62	85	W	1	NE	0	NNE	1	10	9	7	2.8	● 0-3%, 5%–8, 15%–16%
28	-0.8	5.0	0.7	1.6	0.0	721.3	721.9	722.2	92	54	59	N	1	NE	2	NE	2	1	1	0		∩
Mittel	2.0	5.9	3.0	3.7	—	710.0	709.9	710.2	89	70	86							7.9	7.6	7.3	Summe	153.0

λ = 6° 57', β = 47° 00',
H_b = 487.3 m, G = 0.00 mm

Neuchâtel

Februar 1957
Beobachter: Observatorium

Tag	Lufttemperatur					Luftdruck			Relative Feuchtigkeit			Windrichtung und Stärke			Bewölkung			Niederschlag	Witterung			
	7 ³⁰	13 ³⁰	21 ³⁰	Mittel	Abweich. vom Normalst.	7 ³⁰	13 ³⁰	21 ³⁰	7 ³⁰	13 ³⁰	21 ³⁰	7 ³⁰	13 ³⁰	21 ³⁰	7 ³⁰	13 ³⁰	21 ³⁰					
1	3.3	7.4	3.5	4.7	4.6	725.8	726.2	726.3	92	66	85	SE	0	SW	1	SW	0	10	9	0		
2	0.9	8.6	4.7	4.7	4.6	727.8	727.6	726.8	98	64	84	SSW	0	S	1	S	0	0	0	0		∩
3	1.1	5.7	4.6	3.8	3.6	725.5	725.2	725.0	95	83	93	S	1	SSW	1	W	0	10	9	10		∩
4	3.2	9.4	3.5	5.4	5.1	726.4	725.6	724.0	99	72	90	N	0	N	1	SE	0	10	2	0		
5	1.7	7.3	2.7	3.9	3.6	724.5	723.2	720.8	100	72	97	SE	0	SSW	1	S	1	10	7	5		
6	3.0	5.3	5.0	4.4	4.0	719.3	720.0	723.4	95	96	95	SSE	1	S	1	SW	2	10	10	10	6.2	● 11%–23% mU
7	3.9	6.0	3.1	4.3	3.8	724.1	723.7	721.7	93	85	95	NW	1	SW	1	SE	0	10	7	10		
8	2.0	8.1	6.7	5.6	5.1	719.2	717.0	717.0	98	65	81	SE	0	SW	2	WNW2	10	10	10	3.8	● 18%–24%, ≡ n-a	
9	6.4	11.9	6.4	8.2	7.6	717.3	718.1	716.7	91	56	75	WSW2	1	SSW	2	WSW1	10	5	8	2.5	● 4%–5, 7%–9%, ∩ 14-17 mU	
10	5.0	4.6	3.9	4.5	3.8	716.8	716.6	720.2	84	99	97	WSW2	1	SW	2	WSW1	9	10	10	16.1	● 0%–2%, 9-n, ∩ n-n mU	
11	2.8	7.3	3.1	4.4	3.6	724.7	723.8	720.2	91	67	90	WSW2	1	SW	2	W	0	10	9	10	0.4	● n-4%
12	2.4	3.2	4.2	3.3	2.5	715.5	714.8	714.0	96	97	78	SW	1	SW	2	SW	3	10	10	10	7.5	● 7-12%, 13%, 21%–n mU, ∩ 21-n
13	4.3	4.3	5.1	4.6	3.7	709.9	706.4	704.0	93	95	89	SW	3	SW	3	WSW3	10	10	10	27.8	● n-1, 3-n mU, ∩ n-n, ∩ p mU	
14	5.1	4.8	5.1	5.0	4.0	703.9	705.3	705.3	79	93	92	SW	3	SW	3	SW	2	10	10	10	18.5	● n-5%, 7%–19% mU, 23%–n, ∩ n-n
15	5.3	5.8	5.1	5.4	4.3	697.2	701.9	704.9	91	68	57	SW	3	SW	3	SW	3	10	8	7.3	● n-11%, 18-20%, ∩ n-n	
16	3.7	5.2	0.4	3.1	1.9	706.9	708.5	709.9	74	73	97	SW	2	WSW2	1	SSE	0	10	9	10	13.7	● 7%–12%, * 17%–n mU
17	1.7	8.7	4.0	4.8	3.6	713.2	711.8	709.0	85	57	76	WSW2	1	S	2	NE	2	5	1	10	2.4	● * n-6, ∩ n-a mU
18	1.7	3.6	1.5	2.3	1.0	703.4	706.4	714.5	96	66	81	NE	1	NNW	3	W	1	10	2	2	1.0	● 1%–2%, 5%–5%, * 17%–19%, ∩
19	0.8	6.6	0.6	2.7	1.3	717.5	718.3	717.1	83	55	81	W	2	SW	3	W	0	9	2	3		∩ 0%, ∩ 11-18 [11%–14%
20	-1.4	2.6	1.7	1.0	-0.5	713.8	712.9	713.3	90	80	96	NE	0	WSW1	1	WSW2	5	10	10	10	6.2	● 14%–17%, 19%–29, ∩ 13%–p, ∩ l
21	-0.8	5.4	0.5	1.7	0.1	721.2	722.4	722.0	74	52	66	WNW2	1	SSE	1	NNE	1	8	3	0		* 13%–6
22	-3.0	-0.2	-1.4	-1.5	-3.2	719.3	717.1	716.7	87	82	98	NE	1	NE	0	NE	0	4	10	10	10.0	* 14-21, ∩
23	-0.7	1.4	3.3	1.3	-0.5	718.1	717.5	715.2	98	87	97	NE	0	NE	1	WSW2	10	10	10	21.1	● 17%–n	
24	6.7	8.6	8.9	8.1	6.2	713.4	712.6	714.0	96	97	97	SW	2	WSW3	1	SW	2	10	10	10	25.4	● n-23%, ∩ n-n mU
25	8.9	12.3	7.7	9.6	7.6	715.4	715.2	717.0	84	58	78	SW	2	SW	3	W	2	10	10	10	1.1	● 15-20% mU, ∩ n-20
26	2.3	11.1	5.7	6.4	4.3	719.5	719.4	720.3	93	49	74	NNW1	1	ESE	1	NNW1	1	6	2	2.3	∩ 18-19%	
27	3.3	9.5	4.1	5.6	3.4	723.6	725.0	728.0	90	58	75	E	1	SE	1	NE	1	6	6	9	0.1	● 1%–2%, ● tr 18%, ∩ 14%–17%
28	1.5	7.1	2.1	3.6	1.3	729.5	729.8	730.0	62	48	57	NE	2	NE	3	NE	3	1	0	0		∩ n-n
Mittel	2.7	6.5	3.8	4.3	—	717.6	717.6	717.8	89	73	85							8.1	7.3	7.0	Summe	173.4

*) Bern: 14. ● 18%–23%, ∩ n-p 15. * 17%–19, 20-20%, ∩ n-p, ∩ l 16. ● 20%–21% mU, ● * 7%–9%, * 12%–13%, 15-19, 21%–23, ∩ 20-20%. ∩ 14%–14% 18. ● * 12%–15, 15%–17, * 17-24 25. ● 15%–24%, ∩ a-p

Februar 1957

Beobachter: *Frl. H. Nager*

Aldorf

$\lambda = 8^\circ 38'$, $\beta = 46^\circ 53'$,

$H_b = 456.3$ m, $G = -0.08$ mm

Tag	Lufttemperatur					Luftdruck			Relative Feuchtigkeit			Windrichtung und Stärke			Bewölkung			Niederschlag	Witterung			
	7 ³⁰	13 ³⁰	21 ³⁰	Mittel	Abweich. von Normalst.	7 ³⁰	13 ³⁰	21 ³⁰	7 ³⁰	13 ³⁰	21 ³⁰	7 ³⁰	13 ³⁰	21 ³⁰	7 ³⁰	13 ³⁰	21 ³⁰					
1	3.9	6.6	5.1	5.2	4.4	728.2	728.1	728.2	80	80	86	NE	0	E	0	E	0	10	10	0	.	.
2	2.1	8.8	4.0	5.0	4.1	730.3	729.6	728.8	93	74	87	NE	0	NE	0	NE	0	10	0	0	.	.
3	3.1	7.5	4.8	5.1	4.1	726.9	726.7	727.1	94	86	91	W	0	N	0	SE	0	6	8	10	.	.
4	3.5	7.8	2.8	4.7	3.7	728.8	727.5	726.1	94	86	93	N	0	N	0	NW	1	10	4	5	.	.
5	0.6	5.9	11.3	5.9	4.8	726.5	724.8	722.8	95	90	42	NE	0	NW	0	SE	2	9	2	3	.	.
6	11.6	13.3	6.1	10.3	9.1	721.6	721.0	724.9	39	37	82	SE	2	SE	3	S	0	10	10	10	3.6	● n (6./7.)
7	3.2	6.9	3.4	4.5	3.3	726.8	724.9	723.4	94	80	90	N	0	NW	0	N	0	9	2	10	.	.
8	5.0	13.3	10.5	9.6	8.3	721.3	717.6	718.1	85	37	42	NW	0	NE	1	SE	2	10	10	7	12.0	● n (8./9.)
9	5.5	10.0	4.3	6.6	5.2	720.3	720.1	719.6	94	65	77	E	0	NW	1	E	0	10*	1	0	1.0	● n-a
10	4.4	8.0	4.8	5.7	4.3	719.9	717.4	721.8	92	66	96	E	0	NW	1	NW	0	10	10	10*	16.7	● 14 1/2-n
11	4.0	7.2	3.0	4.7	3.2	726.3	726.0	722.7	90	66	76	E	0	NW	0	E	0	10	4	10	.	.
12	5.0	5.9	2.7	4.5	2.9	717.0	716.3	716.3	65	73	95	W	0	NW	1/2	E	0	10	10	10	0.3	● 15 1/2-17 1/2
13	4.1	9.4	9.0	7.5	5.9	711.9	708.3	706.2	82	47	49	N	1	NW	1	NW	1	10	10	10	0.3	▽ n (18./19.)
14	5.9	8.4	4.6	6.3	4.6	701.2	707.2	708.2	79	57	95	E	1/2	NW	2	E	0	10	10	10	2.0	▽ a, p
15	8.4	11.8	5.0	8.4	6.6	701.2	701.3	707.4	60	48	83	W	1	NW	1	NW	0	10	9	10*	1.8	● p-n
16	1.4	5.6	2.9	3.3	1.4	709.5	711.0	712.5	90	75	97	E	0	NW	2	N	0	8	10	10	0.5	● p
17	0.8	5.9	7.8	4.8	2.9	714.9	714.6	710.8	95	65	61	E	0	N	0	E	1	4	0	10	.	.
18	3.7	4.6	2.5	3.6	1.6	705.2	707.9	715.9	79	75	96	NW	1	NW	1	E	1/2	10	10	10	3.9	▽ p-n mU
19	1.1	5.6	1.6	2.8	0.7	720.1	721.0	719.9	90	56	70	NW	0	NW	1/2	NW	0	7	1	3	.	.
20	6.4	9.9	4.2	6.8	4.6	716.4	714.1	715.3	35	34	82	S	3	SE	3	NW	0	7	10	10	.	.
21	2.2	3.0	0.2	1.8	-0.4	721.5	724.6	725.1	67	56	60	NW	1	N	1	E	0	10	4	0	0.5	▽ n (21./22.)
22	1.3	3.1	2.7	1.5	-0.8	720.6	719.1	719.1	71	65	93	E	0	NW	0	NW	0	6	10	10*	0.6	▽ 7-7 1/2, ● 20 1/2-n
23	1.4	5.9	4.1	3.8	1.4	720.6	719.4	717.4	95	74	97	N	0	NW	0	NW	0	10	7	10*	19.5	● 21-n
24	4.7	5.9	6.2	5.6	3.1	715.5	714.4	716.1	100	100	100	NE	0	SW	0	SW	0	10*	10*	10*	47.9	● n-n
25	6.9	13.5	8.8	9.7	7.1	716.7	715.8	718.7	100	55	84	E	0	NW	0	NW	3	10*	7	10*	14.8	● n-a, 17 1/2-n
26	4.7	10.0	6.7	7.1	4.3	721.9	721.7	722.8	97	67	81	N	0	NW	1	NW	0	7	7	10	5.8	● n (26./27.)
27	4.8	6.6	4.8	5.4	2.5	725.8	727.5	730.5	96	77	90	NW	0	NW	1	NW	0	9	10*	10	2.9	▽ 13 1/2
28	2.2	5.8	2.2	3.4	0.4	732.3	732.4	733.6	90	60	75	E	0	NW	2	E	0	9	4	0	.	.
Mittel	3.9	7.7	4.9	5.5	—	719.8	719.3	720.0	84	66	81							9.0	6.8	7.4	134.1	Summe

Februar 1957

Beobachter: *Observatorium*

Genève

$\lambda = 6^\circ 09'$, $\beta = 46^\circ 12'$,

$H_b = 405.0$ m, $G = -0.05$ mm

1	3.4	7.4	3.5	4.8	3.8	733.6	733.8	733.9	91	73	79	NE	0	NNE	1	NE	0	10	10	1	.	● 2-3% mU
2	0.4	8.2	4.5	4.4	3.3	734.8	734.2	734.2	92	71	70	ENE	0	NNW	0	NNW	0	10	1	2	.	└ 1
3	1.8	8.1	5.4	5.1	3.9	732.9	732.6	732.3	94	81	92	NE	0	NNE	0	NW	1	4	10	3	0.2	● n (3./4.), └ 1
4	4.8	7.5	4.3	5.5	4.3	733.3	732.4	731.5	89	84	89	NE	1	NNE	1	ENE	0	7	1	1	.	.
5	2.4	8.2	7.3	6.0	4.7	731.5	730.3	728.1	94	85	83	WSW	0	NNE	1	SW	1	10	1	1	.	.
6	8.4	10.1	6.9	8.5	7.1	726.5	726.6	731.2	84	82	83	SE	0	SSE	1	WSW	1	9	10	9	2.5	● 10%-11%, 14% 17% mU
7	1.6	3.9	3.6	3.0	1.6	731.5	731.0	729.0	95	96	98	WNW	0	NNE	1	NNE	1	1	10*	10*	.	≡ a-n
8	7.1	11.9	9.7	9.6	8.1	726.6	725.5	725.2	65	55	64	WNW	0	NNW	1	WSW	1	2	10	10*	6.1	● 19%-23% mU
9	7.6	13.0	9.2	9.9	8.3	725.6	725.6	724.2	66	67	65	SSW	1	S	1	SW	1	9	4	9	2.7	● 4%-5%
10	6.1	9.2	5.4	6.9	5.3	725.1	725.0	728.4	76	63	91	SW	1	S	2	ESE	1	10	9	10	8.0	● 0%-2%, 11-11%, 14-23% mU, ☉ II
11	2.9	8.0	5.1	5.3	3.6	733.1	730.9	727.5	90	65	81	NW	1	SSW	1	NNE	0	5	10	10	0.2	● 0%-1%, 5-5%
12	4.4	4.9	6.3	5.2	3.4	723.4	723.3	722.4	83	83	73	ESE	1	SE	1	S	3	10*	10	10	3.8	● 7%-12%, ✓ p n
13	7.4	6.8	7.7	7.3	5.4	718.5	715.2	713.2	75	85	75	SSW	1	SSE	1	SSW	2	10	10*	4	11.3	● 2%-3%, 8%-20% mU
14	5.2	7.2	6.7	6.4	4.5	713.7	715.0	713.5	87	75	85	WSW	1	S	2	SSW	2	10*	10	10*	8.5	● 4%-8% mU, 13-13%, 14%-23% mU
15	9.4	9.6	5.8	8.3	6.3	708.6	711.0	714.0	56	51	65	SSW	3	SSW	1	SSW	1	10	8	6	8.8	● 0-5%, 16-18%, ✓ K, ▲ 19%-20%, [✓ n-a
16	5.7	6.6	5.8	6.0	3.9	714.6	711.3	717.3	64	71	71	SSW	1	S	1	S	2	10	5	10*	2.0	● 15%-23 mU
17	4.0	10.4	5.4	6.6	4.4	721.0	718.8	715.1	67	42	74	S	1	S	1	NNE	1	2	4	10	1.6	● 3%-3%, 23%-24%
18	3.4	3.6	2.5	3.2	1.0	710.7	715.2	722.6	88	84	84	NNE	0	SE	1	NE	1	7	10	7	4.0	● 3%-4%, 9%-13
19	1.0	7.6	3.6	4.1	1.8	725.6	726.5	724.9	82	52	67	ENE	0	SW	1	SW	0	7	2	9	.	.
20	0.5	3.8	2.3	2.2	-0.2	721.3	721.9	722.4	63	87	85	NE	1	NW	1	ESE	2	9	10*	6	9(5	* 8 1/2, ● 12-16%, 20% 21%
21	0.5	3.2	1.2	1.6	-0.9	728.9	729.4	728.5	76	55	67	NNE	1	NNE	1	NNE	0	6	1	4	.	* 3%-3%, 5%-6
22	-2.2	-0.6	1.3	-0.5	-3.1	726.8	724.4	724.1	87	95	94	NE	1	NNE	1	NNE	1	6	10*	9	10.2	* -12%-20%
23	1.2	3.6	6.1	3.6	1.0	725.0	725.1	723.9	94	85	82	N	0	N	1	SW	0	10	10	10*	20.2	● 15%-n
24	10.0	11.2	11.3	10.8	8.1	721.8	722.0	723.2	80	85	82	WSW	2	SSW	3	SSW	2	10*	10*	10*	24.1	● n-n, ✓ a p
25	13.0	15.9	11.4	13.4	10.6	723.9	723.9	724.2	60	47	73	S	1	S	1	SSW	1	9	7	10	0.3	● n-1, 22-23%
26	5.1	8.8	7.3	7.1	4.2	726.5	726.3	727.4	94	69	69	NNE	0	NNE	1	NNE	0	1	1	1	0.6	● 2-2%
27	3.8	7.8	5.7	5.8	2.7	731.2	732.1	734.5	92	62	74	NNE	1	N	1	NNE	1	9	1	0	.	● 0-2
28	2.8	6.9	4.0	4.6	1.4	735.8	735.4	736.4	79	56	60	NE	1	NNE	3	NNE	2	8	0	0	.	✓ a-p
Mittel	4.3	7.6	5.7	5.9	—	725.4	725.2	725.5	80	75	82							7.5	6.9	6.8	124.6	Summe

λ = 8° 34', β = 47° 23',
H_b = 569.4 m, G = -0.01 mm

Zürich

Februar 1957
Beobachter: Meteorologische Zentralanstalt

Tag	Lufttemperatur					Luftdruck			Relative Feuchtigkeit			Windrichtung und Stärke			Bewölkung			Witterung	
	7 ³⁰	13 ³⁰	21 ³⁰	Mittel	Abw. vom Normalst	7 ³⁰	13 ³⁰	21 ³⁰	7 ³⁰	13 ³⁰	21 ³⁰	7 ³⁰	13 ³⁰	21 ³⁰	7 ³⁰	13 ³⁰	21 ³⁰		Witterung
1	5.5	9.1	6.8	7.1	8.4	717.4	718.1	718.3	80	59	72	SSE 1	SSW 1	S 1	10	10	1	0.0	● 1-4%, 17%
2	3.5	13.5	7.2	8.1	9.3	720.1	719.6	718.9	87	48	79	WNW 0	SW 1	E 1	1	1	0	0.0	□ I
3	4.1	11.9	5.5	7.2	8.4	717.6	717.1	717.1	92	56	88	WNW 1	WSW 1	S 1	7	9	1	0.0	□ I
4	5.5	10.3	4.9	6.9	8.0	718.7	717.6	716.2	87	65	89	SSE 1	S 1	S 1	10	4	0	0.0	□ I
5	1.3	10.0	3.5	4.9	5.9	716.3	715.1	713.0	97	63	95	WSW 1	WSW 1	ENE 0	1	0	0	0.0	□ I, □ III
6	2.6	8.3	5.4	5.4	6.3	711.7	712.2	715.2	84	57	92	SE 1	WSW 1	SSW 2	10	10	10*	3.9	● tr 17%, 19-23%, □ I
7	3.2	9.8	2.9	5.3	6.1	716.7	715.3	713.6	97	63	97	SE 1	WSW 1	S 1	1	2	10=	0.0	≡ p-n, ↗ 0-1%, ⊕ 14%
8	7.4	11.0	8.4	8.9	9.6	711.2	708.6	708.7	53	38	76	SSW 2	SW 2	SSW 1	9	9	9*	4.0	● 18%-24%, ↗ 13%-n mU, □ I
9	6.2	10.7	4.8	7.2	7.8	709.2	709.9	709.3	79	53	73	SSW 2	WSW 2	WNW 1	10	2	9	3.3	● 1½-2%, 9%-10%, ↗ n-17 mU
10	4.1	7.1	3.6	4.9	5.4	708.9	708.1	711.5	77	64	90	ESE 1	SW 3	SW 2	8	9*	10*	2.3	● 2½-4%, ● tr p, 16½-19, 21½-21%
11	2.6	7.6	3.1	4.4	4.8	716.1	715.8	712.4	92	57	79	SW 2	SSW 2	SSW 1	10*	4	10	0.1	● 2-2½, 7%, ↗ n-13 mU
12	3.9	2.1	3.0	3.0	3.3	707.4	707.0	705.9	64	97	82	S 1	S 1	SW 1	10	10	10	1.9	● 11%-16%, ↗ 22½-n
13	3.7	4.0	5.9	4.5	4.7	701.7	698.1	695.8	81	94	77	SW 2	SSW 1	WSW 3	10*	10*	10*	12.3	● tr 5½-8, 10%-22%, *)
14	5.6	5.6	4.6	5.3	5.4	695.5	696.8	697.5	69	74	82	SW 3	WSW 3	SSW 2	9	10*	10*	15.1	● tr früh, 12%-20% mU, *)
15	2.8	7.5	1.6	4.0	4.0	689.9	692.0	696.4	94	56	97	SSW 1	SW 4	SSW 1	10	9	10*	5.7	● 2%-7%, 10-12%, * 10½-21%, *)
16	2.3	1.0	0.2	1.2	1.1	699.4	701.4	702.4	79	92	97	WSW 2	SW 1	SSE 1	10	10*	10=	12.5	* 9%-14%, 17%-18%, 19%-21%, *)
17	1.8	7.3	2.5	3.9	3.7	705.4	705.1	701.5	74	52	72	SW 2	SSW 2	NE 2	3	4	10	0.4	* n-1, ↗ 4%-8% mU, ~ I
18	0.5	0.3	0.7	0.5	0.2	695.3	698.3	702.2	80	97	90	NE 1	WSW 1	WSW 1	10	10*	10*	10.4	* 11%-22%, ≡ a-p
19	-1.0	5.6	0.3	1.6	1.2	709.5	710.6	709.7	90	47	80	SW 1	WSW 2	S 1	2	1	0	0.0	
20	-2.0	4.1	1.7	1.3	0.8	705.9	704.8	705.4	78	48	89	NE 0	WNW 1	W 1	9	10	9	2.2	* 18%-19%, □ I
21	-1.2	1.2	-2.0	-0.7	-1.3	711.9	714.5	714.7	90	62	81	WSW 2	W 1	SW 0	10	8	0		↗ 0%-6
22	-3.7	1.7	-1.4	-1.1	-1.8	711.5	709.2	708.7	80	50	98	NE 1	S 1	SE 1	8	10	10	1.8	* 17%-21% mU, □° I
23	-0.6	3.0	2.4	1.6	0.8	710.3	709.6	706.7	94	79	96	SSE 1	SW 1	SSW 1	10	10	10	24.3	● 20-n
24	6.2	7.3	9.5	7.7	6.8	705.4	704.3	705.1	91	95	85	SW 2	WSW 2	SW 3	10*	10*	10*	44.7	● n-n, ↗ n-13 mU, 15-n
25	9.9	13.7	6.5	10.0	9.0	705.9	705.7	709.2	79	52	93	SSW 3	SW 3	WSW 1	10	9	10	9.5	● n-11½ mU, 15-22 mU, [↗ 5-9 mU, ↗ n-19%
26	5.3	9.8	5.1	6.7	5.6	711.8	712.0	712.7	90	53	76	W 1	S 1	NW 1	9	9	2	0.0	
27	3.1	6.7	3.0	4.3	3.1	715.8	717.3	720.5	93	74	97	WNW 1	W 1	E 0	10	9	10	1.2	● 15%-16%
28	-0.9	5.7	-0.3	1.5	0.2	722.2	722.9	723.2	86	43	71	NE 0	NE 1	NE 2	1	2	0	0.0	□ I
Mittel	2.9	7.0	3.6	4.5		709.6	709.5	709.7	84	64	86				7.8	7.2	6.8	155.6	Summe

*) 13. ↗ n-1%, 10%-11%, 20%-n 14. ↗ n-16% 15. ↗ 9-16%, ↗ 16%-n mU 16. * 22%-n, ≡ 9%-11, p-n, ↗ n-2%

λ = 6° 32', β = 46° 51',
H_b = 1601 m, G = -0.16 mm

Chasseron

Februar 1957
Beobachter: J. Liardon

1	4.4	5.0	7.0	5.5	—	634.4	635.5	635.9	80	71	50	W 4	WSW 4	S 3	9	10	4		↗ n-p	
2	5.6	8.3	8.0	7.3	—	636.6	636.7	635.7	64	45	34	S 2	S 2	S 3	2	2	3			
3	6.0	5.0	3.8	4.9	—	634.4	633.6	633.7	45	48	68	S 3	S 3	WSW 3	5	8	8			
4	0.0	1.8	1.0	0.9	—	633.7	633.6	632.3	98	98	100	WNW 2	—	S 4	7	7	0		≡ p mU, ↗ p-n	
5	0.6	3.6	1.0	1.7	—	631.7	631.3	628.1	85	52	70	S 4	SE 4	SE 4	2	4	5		↗ n-n	
6	2.6	0.6	-1.4	0.6	—	628.4	628.4	628.8	65	100	100	SW 3	SW 3	W 3	9	9	10*	12.8	● * a, * 12-n mU, ≡ 11-14	
7	-2.2	-2.0	2.0	-0.7	—	631.6	631.1	629.7	100	100	57	S 2	W 4	WSW 3	3	8	9		↗ a-p [mU, 14-n	
8	2.2	3.1	-1.8	1.2	—	628.1	626.1	625.8	60	68	100	WSW 3	W 4	W 4	10	9	10=	17.4	● tr 15, ● * 20-n mU, ≡ 19-n	
9	-0.4	-1.2	0.0	-0.5	—	625.3	627.1	626.3	100	100	84	W 4	WSW 3	WSW 3	10*	6	8	8.7	* n-11, ≡ n-13, ↗ n-a [↗ a-n	
10	-2.2	-2.2	-2.8	-2.4	—	624.8	624.4	626.0	100	100	100	SW 3	W 4	WNW 4	10*	10*	10*	30.0	* 7-n, ≡ n-n, ↗ a-n	
11	-4.4	-3.0	-3.8	-3.7	—	631.1	630.8	628.0	100	100	100	WNW 0	WSW 0	WSW 0	10=	10=	10	4.6	≡ n-p mU	
12	-3.2	-3.4	-3.4	-3.3	—	623.4	622.7	622.0	100	100	100	SW 3	W 4	W 4	10*	10*	10*	12.0	* n-14, 18½-n, ≡ n-15, 19-n	
13	-2.7	-1.4	-2.2	-2.1	—	619.6	615.5	611.7	100	100	100	W 3	SSW 5	W 6	10*	10*	10*	18.8	* ≡ ↗ n-n, ↗ a-n [a-n	
14	-3.2	-2.6	-2.2	-2.7	—	613.1	614.1	614.4	100	100	100	W 6	W 6	W 6	10*	10*	10*	30.0	* ≡ ↗ n-n	
15	-2.1	-2.6	-4.4	-3.0	—	607.0	608.5	608.9	100	100	100	W 6	W 6	W 6	10*	10*	10*	10.6	* ≡ ↗ n-n	
16	-4.8	-4.0	-4.1	-4.3	—	615.8	617.1	617.3	100	100	100	W 4	WNW 3	WSW 4	10*	10*	10=	33.0	* n-19%, n (16/11), ≡ n-n, *)	
17	-6.0	-4.0	-4.8	-4.9	—	620.7	620.7	617.4	100	100	100	W 3	S 3	SE 3	10=	6	10*	10.0	* 19½-n, ≡ n-9%, 20-n	
18	-3.2	-4.6	-6.0	-4.6	—	612.9	615.8	620.8	100	100	100	E 2	NNW 3	NNW 3	10=	10*	10*	19.4	* 8-n, ≡ n-n	
19	-7.8	-4.4	-6.8	-6.3	—	623.9	625.5	624.7	100	100	100	SW 3	S 3	S 3	10=	7	4		≡ 7-11	
20	-6.8	-4.8	-7.6	-6.4	—	620.9	620.1	620.5	94	100	100	S 4	SW 5	W 4	7	10*	10*	21.4	* 7½-n, ≡ 9-n, ↗ n-n, ↗ 11	
21	-9.5	-6.8	-9.0	-8.4	—	626.8	627.1	627.7	100	100	100	NW 4	ENE 1	E 2	10*	6	2	0.0	* ≡ n-9%, ← a, ↗ n-n	
22	-8.0	-5.8	-4.0	-5.9	—	625.4	622.4	622.7	94	100	100	S 3	S 3	4 SW 3	5	10*	10*	8.0	* 12-n, ≡ 11½-n, ↗ a-p	
23	-3.6	-1.4	1.0	-1.3	—	624.0	624.7	624.2	100	100	100	SW 2	W 3	W 3	8	9	10=	31.0	* a, ● 16½-n, ≡ 14½-n	
24	1.4	2.8	2.6	2.3	—	622.5	621.9	622.8	100	100	100	NW 4	NW 6	NW 6	10=	10=	10=	60.6	● ≡ ↗ n-n, ↗ a-n	
25	2.5	1.8	1.0	1.8	—	624.0	625.2	625.9	100	100	100	NW 6	W 5	NNW 4	10=	10=	10=	14.7	● 15½-n mU, * n (25/26, *)	
26	-2.4	-0.6	-1.8	-1.6	—	627.7	628.0	628.9	100	90	87	—	0	NNW 1	N 1	4	7	5	5.1	* n (26/27)
27	-3.4	-3.2	-4.4	-3.7	—	631.0	632.5	634.6	100	100	100	N 2	N 2	N 2	10=	6	10=		≡ n-8%, 15½-n	
28	-6.6	-1.8	-1.2	-3.2	—	634.3	635.6	635.2	100	34	28	E 3	E 2	E 2	2	2	2			
Mittel	-2.0	-1.0	-1.6	-1.5	—	625.5	625.6	625.4	92	90	88				8.0	8.1	7.9	348.1	Summe	

*) 16. ↗ n-p, ↗ n-n mU
25. ≡ ↗ n-n, ↗ n-p

Februar 1957

Beobachter: Stationspersonal Rh. B.

Bever

$\lambda = 9^\circ 53'$, $\beta = 46^\circ 33'$,

$H_b = 1711.8$ m, $G = -0.26$ mm

Tag	Lufttemperatur					Luftdruck			Relative Feuchtigkeit			Windrichtung und Stärke			Bewölkung			Niederschlag	Witterung			
	7 ³⁰	13 ³⁰	21 ³⁰	Mittel	Abwech. vom Normalst	7 ³⁰	13 ³⁰	21 ³⁰	7 ³⁰	13 ³⁰	21 ³⁰	7 ³⁰	13 ³⁰	21 ³⁰	7 ³⁰	13 ³⁰	21 ³⁰					
1	-4.2	4.4	1.1	0.4	9.3	625.6	624.8	627.3	92	55	95	SW	0	NW	0	S	0	10	9	7	.	
2	-8.0	6.2	-4.1	-2.0	6.8	629.1	628.4	629.4	100	55	95	SW	0	S	0	SW	0	0	0	0	.	
3	-9.5	6.8	-0.4	-1.0	7.7	628.9	626.1	626.0	100	55	90	SW	0	S	0	SW	0	3	4	0	2.9	* n (3./4.)
4	0.6	3.8	1.1	1.8	10.4	625.5	625.6	625.4	100	78	98	SW	0	SW	0	SW	0	10	10	10	.	* 6-7 1/2 mU
5	0.1	2.8	1.0	1.3	9.8	625.1	623.6	623.4	98	79	83	SW	0	SW	0	SW	0	10	7	9	.	
6	-0.8	0.6	-1.1	-0.4	8.0	623.0	621.5	621.3	81	80	90	SW	1	SW	0	SW	0	9	10	8	0.1	* fl a, 17-n mU, ● tr 14 1/2
7	-5.6	3.0	-5.6	-2.7	5.6	623.3	622.9	623.5	98	51	76	SW	0	SW	0	SW	0	1	0	0	.	
8	-5.8	-0.2	-0.2	-2.1	6.1	622.2	620.6	618.9	96	74	82	W	0	SW	1	SW	0	8	10	10	0.4	* n (8./9.)
9	-5.3	4.7	-9.7	-3.4	4.7	617.4	617.3	618.5	97	42	83	W	0	SW	0	SW	0	10	1	3	.	
10	-8.6	-0.8	-3.2	-4.2	3.8	617.3	614.8	616.1	85	68	100	SW	0	NE	0	SW	0	10	8	10	7.7	* 8-9, 20-n mU
11	-5.4	0.3	-10.2	-5.1	2.8	619.6	621.1	620.4	88	44	88	SW	0	W	0	NW	0	9	2	10	.	↓ n-6
12	-6.6	-0.8	-4.4	-3.9	3.9	616.5	613.4	613.2	83	65	100	SW	0	SW	0	SW	0	10	10	9	2.1	* 14-18
13	-12.4	-1.1	-2.7	-5.4	2.3	613.0	609.5	606.1	97	64	100	SW	0	SW	0	SW	0	7	10	9	2.2	* 17-n mU, ↓ † 14-17
14	-6.1	0.8	-3.4	-2.9	4.7	605.8	605.4	606.7	90	55	73	W	0	SW	0	W	1	10	8	3	1.3	* n (14./15.)
15	-3.0	0.3	-5.4	-2.7	4.9	602.3	602.6	605.4	100	76	83	SW	0	SW	2	SW	0	10	10	4	2.0	* 6-10, 11-17, ↓ † a-
16	-16.1	1.2	-12.4	-9.1	-1.6	607.9	607.5	609.9	98	32	84	SW	0	SW	0	SW	0	3	1	2	.	↓ p mU
17	-12.2	-0.8	-4.4	-5.8	1.6	612.5	612.9	612.1	98	59	80	W	0	SW	1	SW	1	5	5	10	5.7	* 8-9 1/2, n (11./13.)
18	-4.0	-1.9	-5.2	-3.7	3.6	606.2	604.6	610.0	100	91	66	N	1	SW	1	NE	0	10*	10*	10	4.1	* n-10, 12-20%, † a
19	-8.2	-2.5	-16.9	-9.2	-2.0	614.8	616.4	618.4	90	41	95	N	0	NE	0	SW	0	10	1	0	.	
20	-15.9	-2.1	-4.4	-7.5	-0.4	616.6	615.3	612.5	96	66	97	SW	0	SW	1	SW	0	3	10	10*	2.3	* 17-n mU
21	-5.8	-5.3	-16.8	-9.3	-2.3	612.8	616.8	619.6	59	53	92	NE	3	NE	0	NW	0	10	10	0	0.0	* fl 16-17, † 5 1/2-9 mU
22	-20.8	-3.2	-7.6	-10.5	-3.6	618.1	616.6	616.0	96	33	100	SW	0	SW	0	SW	0	4	10	10*	2.1	* 19-n
23	-16.3	0.2	-6.4	-7.5	-0.7	615.7	616.2	616.5	99	52	87	SW	0	SW	0	SW	0	6	0	7	2.8	* n (23./24.)
24	-3.1	1.6	0.3	-0.4	6.3	611.3	612.5	613.5	100	95	100	SW	0	W	0	N	0	10	10	10	14.1	● 12-n
25	2.1	9.7	5.6	5.8	8.0	614.1	614.5	614.5	90	38	56	NW	0	W	0	SW	0	8	4	5	0.0	↓ 21%-n
26	-1.3	3.2	-3.7	-0.6	5.9	618.1	618.8	619.2	72	42	72	NE	0	SW	0	NW	0	7	9	7	.	* fl 5%-5%
27	-5.7	0.0	-3.8	-3.2	3.2	620.1	621.5	623.3	85	55	74	SE	0	N	0	E	1	10	10	10*	0.5	* 8-9, 14 1/2-n mU
28	-11.7	-5.1	-13.0	-9.3	-3.0	624.6	624.3	626.2	84	38	84	SW	0	SW	1	SW	0	2	4	2	.	
Mittel	-7.1	1.0	-4.9	-3.7	—	617.4	617.0	617.6	92	58	87							7.3	6.6	6.4	Summe	50.3

Februar 1957

Beobachter: Couvent des Capucins

Sion

$\lambda = 7^\circ 22'$, $\beta = 46^\circ 14'$,

$H_b = 548.6$ m, $G = -0.14$ mm

Tag	Lufttemperatur					Luftdruck			Relative Feuchtigkeit			Windrichtung und Stärke			Bewölkung			Niederschlag	Witterung			
	7 ³⁰	13 ³⁰	21 ³⁰	Mittel	Abwech. vom Normalst	7 ³⁰	13 ³⁰	21 ³⁰	7 ³⁰	13 ³⁰	21 ³⁰	7 ³⁰	13 ³⁰	21 ³⁰	7 ³⁰	13 ³⁰	21 ³⁰					
1	3.8	8.8	5.2	5.9	5.6	721.9	722.0	722.3	65	50	70	NE	1	NE	0	NE	0	10	10	0	.	
2	2.6	11.8	7.4	7.3	6.9	723.5	721.7	722.3	87	51	65	NE	0	N	1	N	1	0	0	0	.	
3	6.8	7.6	5.2	6.5	6.0	720.5	719.5	720.0	65	76	87	NE	1	NNE	1	NE	0	2	9	10	.	
4	2.9	9.5	5.3	5.9	5.3	721.1	719.3	719.6	92	70	80	N	0	NW	1	W	0	10	2	0	.	
5	2.4	10.7	7.3	6.8	6.1	719.6	717.9	717.4	86	49	59	W	0	W	0	W	1	0	3	7	.	
6	7.1	11.3	5.0	7.8	7.0	716.5	715.5	717.3	57	50	95	W	0	W	1	W	0	10	10	10*	3.1	● 19%-24, ↓ 18%-19%
7	3.9	8.4	6.0	6.1	5.2	719.8	718.5	717.6	81	51	70	SE	0	ESE	0	SE	2	0	5	6	.	
8	6.6	14.2	7.9	9.6	8.6	715.6	712.4	713.3	59	39	65	ESE	1	SE	1	W	1	8	7	10	11.7	↓ 21%-22
9	5.3	8.1	4.3	5.9	4.8	714.5	714.4	714.0	96	71	81	S	0	SE	1	SE	0	10	1	7	8.0	● 0%-0%, * 3%-19, fl 15%-16%
10	1.4	5.7	4.0	3.7	2.5	714.0	713.1	715.3	95	80	90	NE	0	NNE	1	N	1	8	10	10	9.6	● tr 14, 15%-19%, 23-24%
11	3.2	8.6	4.1	5.3	4.0	719.9	718.4	716.2	77	46	70	N	0	NNW	1	NNW	1	10	7	10	.	
12	3.2	3.9	2.4	3.2	1.8	712.0	711.1	710.7	73	89	90	NNE	0	W	1	NNW	1	10	10	10	2.5	● 13-15%
13	1.2	1.1	0.8	1.0	-0.5	708.9	705.7	702.1	97	95	97	W	0	W	1	W	1	10	10*	10*	37.5	● 5-7%, * 10%-n
14	0.8	4.2	2.8	2.6	1.0	701.7	702.2	702.6	96	84	92	W	0	N	0	W	0	10*	10	10	24.9	* n-0%, ● 16%-21, 22%-24%
15	0.8	2.7	2.3	1.9	0.2	697.4	699.5	701.8	98	91	95	W	0	W	0	W	0	10*	10	10*	4.8	● * 1%-12%, 19-21%
16	0.1	1.9	1.2	1.1	-0.7	704.1	705.4	706.2	91	88	95	N	1	NE	0	NE	0	7	10*	10	3.5	* 1 1/2%-14%
17	-1.0	3.4	3.1	1.8	-0.1	709.7	708.6	705.5	98	67	70	NE	0	NE	0	NE	1	10	1	10	.	* 1 1/2-2 1/2 3-3%, ≡ n-9%
18	2.6	4.2	2.2	3.0	1.0	699.2	701.0	709.3	66	84	85	NE	1	W	0	WNW	2	10	10*	10	0.4	● 13%-13%, ↓ 15
19	-0.6	5.4	0.9	1.9	-0.3	713.6	714.3	714.3	73	50	61	W	0	NW	1	N	1	8	1	0	.	
20	0.2	7.2	0.7	2.7	0.4	713.8	708.2	709.2	57	43	96	N	1	N	1	W	1	3	10	10*	3.7	* 18%-20, fl 20-21%, 23%-24, ≡ p-n
21	-0.4	3.6	-1.3	0.6	-1.8	715.1	716.2	716.7	88	59	65	SW	1	WSW	2	WNW	1	10	3	0	.	
22	-2.6	2.2	0.6	0.1	-2.4	715.2	713.0	712.4	66	50	96	WNW	0	WNW	0	WNW	6	1	10	10*	12.4	* 16%-23
23	-2.6	4.4	1.4	1.1	-1.5	714.1	713.3	713.3	91	65	96	WNW	1	NW	0	NW	0	10	10	10*	34.2	● 18%-n
24	2.2	5.2	5.9	4.4	1.7	710.4	710.2	711.6	96	90	94	NW	0	NW	0	NW	0	10*	10*	10*	68.2	● n-n
25	5.3	14.9	8.7	9.6	6.8	712.1	711.6	711.4	95	56	81	NW	0	NW	0	W	0	10*	8	10*	1.7	● n-5%, ● tr 5%-8%, 18%-n
26	5.3	12.4	7.7	8.5	5.5	714.0	714.0	714.9	84	58	66	W	0	SW	0	W	0	6	6	7	1.0	● n-4
27	3.1	9.9	5.4	6.1	3.0	717.8	718.7	721.0	95	54	72	W	0	W	1	W	0	10	7	2	.	● 4%-5%
28	0.1	7.4	3.5	3.7	0.5	718.1	722.4	723.4	81	56	69	NNW	0	WSW	1	W	0	0	0	0	.	
Mittel	2.3	7.1	3.9	4.4	—	713.6	713.2	713.6	82	65	80							7.2	6.8	7.1	Summe	227.2

λ = 8° 58', β = 46° 00',
H_b = 276.2 m, G = -0.04 mm

Lugano

Februar 1957
Beobachter: G. Vicari

Tag	Lufttemperatur					Luftdruck			Relative Feuchtigkeit			Windrichtung und Stärke			Bewölkung			Niederschlag	Witterung			
	7 ³⁰	13 ³⁰	21 ³⁰	Mittel	Abweich. von Normalst	7 ³⁰	13 ³⁰	21 ³⁰	7 ³⁰	13 ³⁰	21 ³⁰	7 ³⁰	13 ³⁰	21 ³⁰	7 ³⁰	13 ³⁰	21 ³⁰					
1	1.2	7.4	3.2	3.9	1.0	745.6	745.6	746.7	96	67	91	N	1	SW	1	N	1	10	10	3	.	.
2	0.2	8.8	3.4	4.1	1.1	748.3	748.2	749.5	98	68	89	N	1	SW	1	N	1	0	0	0	.	.
3	1.2	11.4	6.8	6.5	3.4	748.1	746.4	747.0	98	51	91	NNW	1	S	1	S	0	1	1	10 ⁹	0.2	● 20½-21½, n (3./4.)
4	5.2	7.8	6.0	6.3	3.2	746.7	746.6	746.5	99	83	99	WSW	1	SSW	0	ESE	0	10 ⁹	10	10 ⁹	0.8	● 7½-10½, ≡ p-n
5	5.2	7.2	6.2	6.2	3.0	746.0	745.4	745.5	99	89	98	S	0	SSE	0	NNW	0	10 ⁹	10 ⁹	10 ⁹	3.6	● n (6./6.), ≡ n-n
6	6.0	6.2	6.2	6.1	2.8	744.3	743.4	743.0	99	99	39	W	1	SE	0	N	1	10 ⁹	10 ⁹	10 ⁹	12.4	● ≡ n-p, ● p-n mU
7	2.8	10.2	6.6	6.5	3.1	744.1	744.1	744.3	97	61	93	NNW	1	SSE	1	N	1	8	1	10	0.8	● 18-21½
8	5.2	6.4	5.8	5.8	2.4	743.7	741.5	739.6	97	88	99	NW	0	NNE	1	W	1	10	10	10 ⁹	0.0	● 7-7½
9	2.4	11.2	4.2	5.9	2.4	737.4	736.2	736.0	97	56	93	NNW	1	SE	1	NNW	1	4	1	0	0.0	.
10	3.2	9.4	4.2	5.6	2.0	736.3	734.8	735.4	94	72	92	NNE	1	S	1	N	1	10	5	4	.	.
11	8.8	16.8	5.8	10.5	6.8	738.1	738.9	738.7	33	19	44	NNE	2	NNE	2	N	1	0	0	9	.	.
12	2.6	3.2	2.2	2.7	-1.1	736.6	735.3	733.5	74	98	94	NW	1	S	1	N	1	3	10 ⁹	8	11.7	● a-p
13	0.2	4.8	2.6	2.5	-1.3	732.7	730.9	726.6	96	76	99	NNW	1	E	1	NNW	1	3	10	10 ⁹	11.4	● p-n, L
14	2.0	10.4	4.4	5.6	1.7	723.8	723.6	724.7	98	58	91	WNW	1	SSW	1	N	1	5	4	9	5.9	● n (11./13.)
15	3.6	5.8	4.2	4.5	0.5	720.5	720.1	722.4	98	89	97	N	1	SW	1	N	1	10 ⁹	10	8	3.4	● n-17½
16	0.8	11.4	4.4	5.5	1.4	725.4	725.8	728.0	87	44	85	NNW	1	SSE	1	N	1	1	1	0	.	L
17	2.2	10.2	5.6	6.0	1.8	732.9	732.4	731.8	94	62	88	NE	1	SSE	1	S	1	6	4	10 ⁹	14.3	● p-n, ● * n (17./18.)
18	1.0	1.8	1.4	1.4	-2.9	724.6	724.0	726.6	99	96	78	SSW	1	N	1	N	1	10 ⁹ *	10 ⁹ *	4	24.2	* ● n-13½, ● 13½-17
19	3.4	13.2	4.4	7.0	2.7	733.6	736.3	738.8	43	22	69	N	1	N	1	N	1	0	0	0	.	.
20	1.0	1.2	0.4	0.9	-3.5	738.9	736.7	733.8	82	99	99	NNW	1	N	0	W	0	10	10 ⁹ *	10 ⁹ *	30.9	* 8½-n
21	3.4	9.8	4.2	5.8	1.3	730.7	734.4	738.8	53	26	31	NNE	2	NNE	2	N	1	3	0	0	.	.
22	-1.2	6.8	4.4	3.3	-1.3	738.6	738.6	736.8	63	38	61	N	1	S	1	NW	1	8	10	10	.	.
23	-1.8	8.8	4.4	3.8	-0.9	736.8	737.4	736.6	88	49	83	NNW	1	S	1	N	0	5	2	10	.	.
24	2.4	10.2	5.2	5.9	1.1	733.6	731.5	730.6	92	53	83	N	0	W	1	NNW	1	10	9	2	.	.
25	7.2	10.4	3.8	5.1	0.2	732.5	731.8	731.4	97	59	97	N	1	S	1	W	0	10	1	1	.	.
26	3.4	9.8	6.6	6.6	1.5	734.8	736.5	736.6	98	68	85	NNE	1	S	0	N	0	10	7	10	.	.
27	5.2	16.2	5.4	8.9	3.7	737.7	739.9	741.9	86	24	85	NNW	1	ENE	2	N	1	10	1	0	.	.
28	5.2	16.4	7.8	9.8	4.5	743.4	742.7	743.8	57	14	21	SW	1	NNE	2	NNW	1	0	0	0	.	.
Mittel	2.7	9.0	4.6	5.4	—	737.0	736.8	737.0	86	62	83							6.3	5.3	6.0	Summe	119.6

λ = 7° 35', β = 47° 33',
H_b = 317.3 m, G = 0.08 mm

Basel

Februar 1957
Beobachter: Astronom.-Meteorol. Anstalt

Tag	Lufttemperatur					Luftdruck			Relative Feuchtigkeit			Windrichtung und Stärke			Bewölkung			Niederschlag	Witterung			
	7 ³⁰	13 ³⁰	21 ³⁰	Mittel	Abweich. von Normalst	7 ³⁰	13 ³⁰	21 ³⁰	7 ³⁰	13 ³⁰	21 ³⁰	7 ³⁰	13 ³⁰	21 ³⁰	7 ³⁰	13 ³⁰	21 ³⁰					
1	3.7	7.6	7.3	6.2	6.0	739.3	740.0	739.6	91	83	80	E	2	E	1	E	2	10	10	0	.	.
2	2.9	13.4	7.2	7.8	7.5	741.6	740.8	740.3	89	65	81	E	1	ESE	2	SE	2	0	0	0	.	.
3	3.4	10.6	6.3	6.8	6.5	739.8	738.9	738.5	89	76	81	ESE	1	E	1	ESE	1	9	9	3	.	.
4	5.0	13.0	5.7	7.9	7.5	740.8	739.9	738.1	90	72	84	ESE	1	E	1	ESE	1	10 ⁹	1	0	0.0	≡ n-9½
5	1.1	10.8	4.9	5.6	5.1	738.3	737.0	734.9	95	75	91	E	1	ESE	1	ESE	1	10	2	0	.	.
6	3.0	5.1	6.0	4.7	4.2	738.7	734.4	737.2	94	90	85	ESE	1	E	1	WSW	1	10	10 ⁹	10	2.6	● 10½-19½ mU
7	4.6	9.0	4.7	6.1	5.5	739.0	737.7	735.5	97	93	88	E	0	E	1	E	1	4	8	7	0.0	● tr p
8	3.7	9.7	9.7	7.7	7.0	733.5	730.5	731.2	91	75	78	E	1	ESE	1	WSW	2	10	10	10	0.8	● 18½-22½, 22½
9	6.7	10.8	5.4	7.6	6.9	731.6	732.7	731.4	89	65	81	SW	1	WNW	2	ESE	1	4	7	9	2.7	● 1-1½, 10½-10½
10	4.7	10.1	5.5	6.8	6.0	730.5	730.3	734.3	91	65	83	ESE	1	WSW	2	WSW	2	10	8	8	3.2	● 1½-3, 11½-12½, 20-20½, 2½, 0%, 14%
11	4.7	9.9	4.8	6.5	5.6	738.9	738.2	734.6	84	61	79	WSW	1	WSW	1	ESE	1	10	8	10	.	● 0%-1, 4-4%, 6
12	5.2	7.0	4.2	5.5	4.5	730.3	730.0	728.6	86	64	84	NNW	1	WSW	1	NE	1	10	10	10	2.7	● 7½-11½, 6%
13	7.4	8.1	7.9	7.8	6.8	723.7	719.6	717.3	76	75	81	S	1	SSW	3	WSW	2	10	10	10	6.4	● 0%-15½, 18%, 20, 23½-24%, *)
14	6.2	4.3	4.6	5.0	3.9	717.3	719.4	719.8	80	91	90	W	2	WNW	2	SW	1	7	10	10	3.6	● 4-5%, 7-7½, 11½, 16½-18½ mU, 13
15	8.6	7.3	5.2	7.0	5.8	710.8	714.4	718.7	67	64	81	SSW	3	SW	3	WSW	2	10	10	10	2.7	● 0-0½, 1¼-0¼, 10-11½, 19½-20%, *)
16	3.0	5.1	3.8	4.0	2.7	721.8	724.0	724.6	83	77	89	SW	2	WSW	1	SSW	1	8	10	10	4.4	● 3-5%, 8½-10, 19, 21½-n
17	2.2	9.9	5.4	5.8	4.5	727.5	727.9	725.1	73	52	80	SW	1	SW	1	ESE	1	1	2	10	5.3	● 0%, 1-1½, 3½-4
18	0.2	0.8	2.1	1.0	-0.4	719.8	722.2	728.9	96	97	88	SW	0	WSW	1	WSW	2	10 ⁹ *	10 ⁹ *	0	7.4	* ● 5-19%
19	-0.2	5.8	1.2	2.3	0.8	732.0	733.4	732.2	93	72	84	SE	0	E	0	ESE	1	8	8	0	0.0	* n 9%
20	0.2	2.9	4.4	2.5	0.9	729.2	727.8	727.3	89	78	83	ESE	2	E	1	WSW	1	9	10	10	0.0	* 16½-17, 16½
21	0.3	5.5	-0.6	1.7	0.1	735.7	737.4	737.7	88	62	81	W	2	WNW	1	E	1	10 ⁹ *	8	0	0.0	* n 7%, 0%
22	-1.0	2.6	-0.4	0.4	-1.3	734.4	731.9	731.7	79	70	98	E	1	N	2	E	1	6	10	10 ⁹ *	6.1	* 14½-22, L
23	-0.2	4.8	2.9	2.5	0.7	733.1	732.3	728.7	98	81	94	SE	1	ESE	1	ESE	1	10	10	10 ⁹ *	10.5	● 17½-n
24	7.0	8.9	11.3	9.1	7.2	728.2	727.3	727.6	95	94	88	NNW	1	WSW	1	WSW	2	10 ⁹ *	10 ⁹ *	10 ⁹ *	8.2	● n-21½, 22%
25	11.4	15.2	8.1	11.6	9.6	728.1	728.0	731.6	79	63	86	W	1	WSW	3	SW	2	10	9	10	3.3	● 18%-20, 14%-p, 14½
26	5.1	12.3	4.2	7.2	5.1	734.3	734.5	735.5	97	64	93	S	1	WNW	1	SSW	1	6	5 ⁹	0	.	● 3-3½, 5-5½
27	3.6	6.8	4.0	4.8	2.6	738.9	740.7	743.7	91	85	93	SSW	0	NNE	1	WNW	1	10	10	10	0.5	● 13½-15½ mU
28	-1.1	6.3	1.5	2.2	-0.1	745.5	746.1	746.3	89	63	78	NW	0	NE	1	ENE	1	8	2	0	.	L
Mittel	3.6	8.0	4.9	5.5	—	732.1	732.0	732.2	88	74	85							8.2	7.8	6.3	Summe	70.4

*) 13. 1/2 a-n, 1/2 12%
15. 1/2 n-n, 1/2 10%

Februar 1957
Beobachter: Observatorium

Säntis

$\lambda = 9^\circ 21'$, $\beta = 47^\circ 15'$,
 $H_0 = 2500.1$ m, $G = -0.29$ mm

Table with columns: Tag, Lufttemperatur (7:30, 13:30, 21:30, Mittel, Abweich. vom Normalst), Luftdruck (7:30, 13:30, 21:30), Relative Feuchtigkeit (7:30, 13:30, 21:30), Windrichtung und Stärke (7:30, 13:30, 21:30), Bewölkung (7:30, 13:30, 21:30), Niederschlag, Witterung. Contains daily weather data for Säntis from Feb 1-28, 1957.

Februar 1957
Beobachter: E. Chiesa

St. Gotthard (Hospiz)

$\lambda = 8^\circ 34'$, $\beta = 46^\circ 33'$,
 $H_0 = 2095$ m, $G = -0.27$ mm

Table with columns: Tag, Lufttemperatur, Luftdruck, Relative Feuchtigkeit, Windrichtung und Stärke, Bewölkung, Niederschlag, Witterung. Contains daily weather data for St. Gotthard (Hospiz) from Feb 1-28, 1957.

*) Säntis: 8. *fl n (8./9.), \equiv 20-21%. \nearrow p-n 9. \nearrow n-13, ∇ n-15, 17-19, \nearrow n-p, \nearrow I 10. \nearrow 11 $\frac{1}{2}$ -n, \nearrow a-p 11. ∇ n-14 $\frac{1}{2}$, \nearrow II
12. \nearrow p-n 13. \equiv n-9 $\frac{1}{2}$, 14 $\frac{1}{2}$ -n, \nearrow n-9 $\frac{1}{2}$, 14-n, \nearrow n-p. \nearrow 16 $\frac{1}{2}$ 14. \equiv ∇ n-n, \nearrow n-n mU, \nearrow III 15. * 20 $\frac{1}{2}$ -n, \equiv n-9, 10 $\frac{1}{2}$ -n, \nearrow n-8 $\frac{1}{2}$,
11-16. \nearrow n-n mU, \nearrow II 16. \nearrow 14-n, \nearrow n-a, \oplus 10 $\frac{1}{2}$ 17. \nearrow I, \nearrow III 18. \nearrow 16 $\frac{1}{2}$ 21. \equiv 17 $\frac{1}{2}$ -n, \nearrow \nearrow n-9 23. \equiv 20 $\frac{1}{2}$ -n, ∇ n-10 $\frac{1}{2}$, \nearrow
17 $\frac{1}{2}$ -n, \nearrow n-p, \nearrow III 25. \equiv ∇ n-n, \nearrow n-9 $\frac{1}{2}$, 16-n

λ = 7° 26', β = 46° 57',
H_b = 572.2 m, G = -0.04 mm

Bern

März 1957
Beobachter: Meteorologisches Observatorium

Tag	Lufttemperatur					Luftdruck			Relative Feuchtigkeit			Windrichtung und Stärke			Bewölkung			Niederschlag	Witterung			
	7 ³⁰	13 ³⁰	21 ³⁰	Mittel	Abweich. vom Normalst	7 ³⁰	13 ³⁰	21 ³⁰	7 ³⁰	13 ³⁰	21 ³⁰	7 ³⁰	13 ³⁰	21 ³⁰	7 ³⁰	13 ³⁰	21 ³⁰					
1	-3.3	4.6	0.3	0.5	-1.2	721.3	719.6	719.1	92	55	63	NNE	2	NE	2	NNE	1	3	3	0		
2	-3.7	4.0	1.4	0.6	-1.2	719.0	718.2	717.0	86	59	60	N	0	N	1	N	1	0	2	0		
3	-3.4	7.4	2.0	2.0	0.1	716.6	715.1	714.0	93	45	71	SW	0	NNE	1	—	0	0	0	1	LI	
4	-2.0	10.8	3.7	4.2	2.1	713.0	711.8	710.9	90	47	72	SE	1	—	0	SW	1	1	1	0	LI	
5	-0.8	10.4	6.7	5.4	3.2	711.2	710.5	708.9	86	47	76	—	0	SW	0	W	0	0	7	9	0.0	
6	2.1	11.4	6.5	6.7	4.4	707.0	705.7	705.9	90	46	97	SE	0	W	0	W	0	9	10	10	6.5	
7	5.8	11.8	6.6	8.1	5.7	706.6	706.6	708.5	98	56	79	SE	0	SW	2	W	0	10	8	7	1.9	
8	5.5	10.1	7.6	7.7	5.2	710.2	710.0	710.5	95	69	94	SE	1	—	0	E	0	10	10	10	5.7	
9	6.5	11.2	7.9	8.5	5.8	711.2	711.8	712.8	98	76	93	SE	1	ESE	0	NE	1	10	4	2	1.5	
10	3.6	8.2	5.4	5.7	2.9	714.0	714.5	715.5	98	79	94	E	0	NE	1	N	0	9	10	9	≡ 1½-5	
11	4.2	11.2	6.5	7.3	4.4	716.3	715.8	715.5	97	65	97	SE	0	NE	1	W	1	10	0	0		
12	2.8	12.1	7.2	7.4	4.4	716.3	715.1	714.6	100	50	88	SSE	0	W	1	S	0	10	≡	1	≡ n-10½	
13	2.2	15.8	8.1	8.7	5.5	716.1	715.5	716.5	93	40	73	SE	0	NE	1	SE	1	3	1	0	LI	
14	3.0	17.0	10.0	10.0	6.7	717.6	716.9	717.4	83	34	70	SE	1	N	0	S	1	0	0	0		
15	4.4	16.0	8.6	9.7	6.3	717.1	716.4	716.4	89	33	53	SE	1	NW	1	SSE	1	7	6	6	U III	
16	3.8	16.4	11.0	10.4	6.8	716.7	714.4	714.0	86	45	65	SE	1	SW	2	SW	0	6	6	7		
17	7.2	14.6	12.0	11.3	7.6	713.3	711.5	710.2	88	51	61	SW	0	NW	1	SW	1	7	9	9	0.0	
18	9.4	11.9	10.6	10.6	6.8	710.6	710.9	711.9	73	80	91	SW	1	WSW	2	SW	0	10	9	10	1.2	
19	7.0	17.2	11.4	11.9	7.9	711.4	710.3	710.0	97	54	69	SE	0	SW	1	SE	0	6	4	0	Δ I	
20	6.2	19.3	12.4	12.6	8.5	709.7	707.8	710.2	84	41	57	SE	1	NW	1	SW	1	7	9	8		
21	8.2	15.6	9.6	11.1	6.9	711.5	710.7	711.0	82	47	85	SW	0	SW	1	E	0	5	5	1	∇ 19½-20	
22	5.2	11.6	8.1	8.3	3.9	710.4	709.6	707.1	95	77	96	SW	0	N	0	E	0	7	10	2	0.4	
23	5.1	14.4	9.0	9.5	5.0	705.7	705.0	706.1	100	56	70	SW	0	N	0	SW	2	10	≡	8	10	4.8
24	6.2	12.2	7.8	8.7	4.1	709.2	710.1	712.8	95	59	74	SE	1	WSW	1	SE	1	10	8	6	0.1	
25	3.7	12.2	7.5	7.8	3.0	713.1	711.2	711.1	94	54	76	E	0	NNE	2	SW	0	8	8	4		
26	3.8	14.8	9.8	9.5	4.6	711.5	710.8	712.2	92	44	68	SE	0	SW	1	SW	1	1	2	1	Δ I	
27	5.6	15.3	12.6	11.2	6.2	714.1	713.8	715.2	90	51	55	SE	0	WSW	1	SW	1	10	9	10	0.2	
28	11.1	15.2	11.5	12.6	7.4	715.2	714.7	714.3	81	61	90	SE	1	SW	1	SW	1	10	10	10	2.0	
29	10.3	13.4	8.7	10.8	5.5	712.7	712.3	713.4	89	68	70	SW	1	WNW	1	NE	1	10	9	5	0.1	
30	2.1	12.0	8.6	7.6	2.2	712.5	711.4	712.1	94	51	53	N	0	NE	1	NE	1	1	1	0	LI	
31	2.5	9.7	5.0	5.7	0.1	711.6	711.0	710.9	96	64	78	N	1	N	1	NNE	1	9	1	1	LI	
Mittel	4.0	12.5	7.9	8.1	—	713.0	712.2	712.4	91	55	75						6.4	5.5	4.5		Summe 24.9	

λ = 6° 57', β = 47° 00',
H_b = 487.3 m, G = 0.00 mm

Neuchâtel

März 1957
Beobachter: Observatorium

Tag	Lufttemperatur					Luftdruck			Relative Feuchtigkeit			Windrichtung und Stärke			Bewölkung			Niederschlag	Witterung			
	7 ³⁰	13 ³⁰	21 ³⁰	Mittel	Abweich. vom Normalst	7 ³⁰	13 ³⁰	21 ³⁰	7 ³⁰	13 ³⁰	21 ³⁰	7 ³⁰	13 ³⁰	21 ³⁰	7 ³⁰	13 ³⁰	21 ³⁰					
1	-0.9	5.7	2.2	2.3	-0.1	729.4	727.6	726.9	78	47	55	NE	2	NE	3	NE	3	1	1	0		
2	-1.7	6.1	5.3	3.2	0.7	727.1	726.0	724.8	75	41	37	NE	2	ENE	3	NE	2	0	3	0		
3	-2.5	6.9	2.5	2.3	-0.4	724.8	723.2	721.7	75	48	62	NE	0	ESE	1	ESE	0	0	2	0		
4	-1.7	9.1	3.9	3.8	1.0	720.9	719.8	718.5	88	44	64	ESE	1	SE	1	ESE	1	2	1	0		
5	0.0	11.3	6.6	6.0	3.1	719.1	718.3	716.6	93	46	72	ESE	1	S	1	WSW	1	0	8	8	0.1	
6	2.2	8.2	6.2	5.5	2.4	714.6	713.4	713.4	96	69	97	SW	0	S	1	WSW	1	9	10	10	9.3	
7	6.3	10.3	7.7	8.1	4.9	714.1	714.0	716.2	96	73	78	SW	2	WSW	2	SW	1	9	9	10	1.9	
8	6.5	9.2	7.6	7.8	4.5	717.7	717.4	718.2	93	84	97	W	1	SW	0	NW	0	9	10	10	5.5	
9	6.7	10.6	9.5	8.9	5.4	718.8	719.5	720.6	99	84	84	NW	0	W	1	NE	2	10	≡	9	0	
10	7.0	9.0	7.0	7.7	4.1	721.8	722.5	723.3	90	74	85	ENE	1	NE	1	NE	1	10	10	10		
11	5.6	6.9	4.7	5.7	2.0	724.2	723.7	723.1	95	90	99	NE	1	ENE	1	SW	0	10	10	5	0.1	
12	3.6	7.1	6.0	5.6	1.7	723.9	723.2	722.2	100	82	57	NW	0	S	1	S	1	10	≡	5	0	
13	2.0	13.1	7.6	7.6	3.6	723.7	723.5	723.9	89	46	59	SE	0	SE	1	SE	1	2	0	0		
14	2.9	14.1	15.0	10.7	6.6	725.4	724.7	724.2	88	37	53	SE	0	SE	1	NW	2	0	0	0		
15	6.6	16.0	9.3	10.6	6.3	724.6	723.8	723.6	85	42	38	S	1	S	1	W	1	8	5	2		
16	4.9	17.4	13.6	12.0	7.6	723.3	722.3	721.3	84	42	46	NW	0	SW	2	NW	2	5	4	8		
17	7.3	14.2	12.0	11.2	6.7	721.1	719.4	717.7	71	50	61	N	0	SSE	1	SW	2	4	4	10		
18	9.4	11.5	11.4	10.8	6.1	718.4	718.9	719.7	74	85	76	SW	2	W	2	W	1	10	10	10	0.8	
19	6.7	18.3	13.1	12.7	7.9	719.0	718.0	717.3	96	51	56	W	0	SW	2	SW	1	4	3	0		
20	5.9	17.3	14.2	12.5	7.6	717.0	715.2	717.6	96	46	54	SW	1	SSE	1	WSW	2	4	7	4		
21	10.7	16.1	11.2	12.7	7.6	718.9	718.4	718.6	64	45	57	SW	1	S	1	NNE	1	6	8	9		
22	7.1	12.3	7.9	9.1	3.9	717.9	717.5	714.8	91	66	97	NNE	0	SSW	1	NE	0	10	10	2	2.9	
23	5.6	10.2	8.6	8.1	2.8	713.0	712.4	714.1	100	85	83	NE	0	SE	1	SW	2	10	≡	10	10	3.0
24	6.8	12.1	8.7	9.2	3.7	716.7	717.9	720.4	97	59	74	WSW	1	W	2	NW	0	10	≡	9	10	0.1
25	4.6	15.2	9.1	9.6	4.0	720.7	719.1	718.5	92	49	71	NW	0	SE	1	NE	1	2	3	0		
26	4.5	15.7	10.9	10.4	4.7	719.2	718.6	719.5	95	49	63	NE	1	S	1	S	1	2	1	0		
27	6.2	14.6	11.0	10.6	4.7	721.7	721.6	722.8	88	54	76	S	0	SSE	1	SW	2	10	9	10	0.2	
28	11.1	14.1	12.5	12.6	6.6	722.8	722.5	721.3	80	69	72	W	2	SW	2	WSW	1	10	9	10	0.2	
29	12.2	14.2	8.4	11.6	5.5	720.3	720.0	720.9	76	60	73	WNW	1	NW	2	NE	2	9	10	0		
30	3.4	13.3	7.3	8.0	1.7	720.3	719.1	719.8	83	51	67	NE	1	SE	1	NE	1	2	1	1		
31	3.4	11.5	7.1	7.3	0.9	719.4	719.0	718.6	87	56	67	NE	1	SSE	1	NE	2	7	2	0		
Mittel	4.9	12.0	8.6	8.5	—	720.6	720.0	720.2	88	59	69						6.0	5.9	4.5		Summe 24.1	

März 1957

Beobachter: Frl. H. Nager

Aldorf

λ = 8° 38', β = 46° 53'

H_b = 456.3 m, G = -0.08 mm

Table with columns: Tag, Lufttemperatur (730, 1330, 2130, Mittel, Abweich. vom Normalst), Luftdruck (730, 1330, 2130), Relative Feuchtigkeit (730, 1330, 2130), Windrichtung und Stärke (730, 1330, 2130), Bewölkung (730, 1330, 2130), Niederschlag, Witterung. Rows 1-31 and Mittel.

März 1957

Beobachter: Observatorium

Genève

λ = 6° 09', β = 46° 12'

H_b = 405.0 m, G = -0.05 mm

Table with columns: Tag, Lufttemperatur (730, 1330, 2130, Mittel, Abweich. vom Normalst), Luftdruck (730, 1330, 2130), Relative Feuchtigkeit (730, 1330, 2130), Windrichtung und Stärke (730, 1330, 2130), Bewölkung (730, 1330, 2130), Niederschlag, Witterung. Rows 1-31 and Mittel.

λ = 8° 58', β = 46° 00',
H_b = 276.2 m, G = -0.04 mm

Lugano

März 1957
Beobachter: G. Vicari

Tag	Lufttemperatur					Luftdruck			Relative Feuchtigkeit			Windrichtung und Stärke			Bewölkung			Niederschlag	Witterung		
	7 ³⁰	13 ³⁰	21 ³⁰	Mittel	Abweich. vom Normalst.	7 ³⁰	13 ³⁰	21 ³⁰	7 ³⁰	13 ³⁰	21 ³⁰	7 ³⁰	13 ³⁰	21 ³⁰	7 ³⁰	13 ³⁰	21 ³⁰				
1	0.0	10.8	3.2	4.7	-0.8	744.3	744.6	745.8	92	52	70	N	S	N	1	0	0				
2	2.4	9.8	2.6	4.9	-0.7	745.7	745.2	744.6	73	55	79	N	S	N	1	9	0				
3	-1.4	9.4	3.4	3.8	-2.0	743.5	740.7	740.2	94	54	81	NNE	SSE	N	1	0	1		L		
4	-0.8	11.4	5.2	5.3	-0.6	740.3	738.5	738.8	95	57	84	N	S	N	1	1	0		L		
5	0.8	13.4	6.4	6.9	0.9	738.4	737.7	737.5	96	56	89	N	ESE	N	1	0	8	10			
6	6.4	9.2	6.6	7.4	1.2	736.3	735.6	734.5	97	88	99	NNW	SSW	S	0	10	10	10	2.8	☉ p-n	
7	5.2	12.4	8.2	8.6	2.3	732.9	732.2	735.5	96	58	88	NNE	S	SSW	1	9	8	10			
8	4.8	14.6	10.4	9.9	3.5	735.1	734.8	737.1	96	49	81	S	SSW	N	1	9	5	10			
9	6.4	17.2	9.2	10.9	4.3	737.5	736.7	738.6	94	45	82	N	SS	N	1	10	1	0	0.1	☉ n (9./10.)	
10	7.8	8.2	7.4	7.8	1.1	741.8	743.6	744.8	95	84	85	WSW	E	E	0	10	10	10	1.2	☉ n-a mU	
11	6.8	12.4	5.4	8.2	1.4	745.9	746.9	747.1	71	40	81	NNE	S	NNW	1	10	1	0			
12	1.8	13.4	7.2	7.5	0.5	746.5	743.9	742.8	93	56	63	N	SE	NNW	1	0	0	0		L	
13	1.6	17.2	6.2	8.3	1.2	742.3	742.0	743.4	92	38	84	NNW	S	NNW	1	0	0	0		L	
14	1.8	15.6	9.2	8.9	1.7	743.4	742.4	741.2	93	50	56	NNE	SE	N	1	0	0	0		L	
15	4.8	18.8	9.4	11.0	3.6	741.0	739.9	740.2	92	41	67	N	SSE	N	1	8	1	0			
16	4.8	13.8	9.8	9.5	2.0	739.9	738.0	737.7	96	66	85	NNW	SE	N	1	4	9	2			
17	5.4	15.6	10.8	10.6	3.0	738.8	736.8	737.1	96	77	88	WNW	S	S	0	9	2	10	0.2	☉ n (17./18.)	
18	9.2	12.4	10.4	10.7	2.9	735.9	735.1	736.1	98	79	81	ENE	SE	SE	0	10	10	3			
19	8.8	17.4	10.2	12.1	4.2	738.3	737.6	738.0	97	53	88	E	SS	N	1	9	1	0			
20	7.8	13.2	11.6	10.5	2.5	738.2	737.3	737.0	95	67	77	N	SS	NNW	1	10	10	10			
21	9.2	17.8	12.4	12.8	4.6	736.7	735.9	736.7	96	53	71	NNE	S	S	1	10	1	10	7.2	☉ tr p, n (22./23.)	
22	10.2	13.4	11.8	11.8	3.5	737.4	737.6	737.1	96	74	91	WSW	SE	S	1	10	10	10	40.5	☉ n-n mU	
23	10.4	12.8	11.2	11.5	3.1	735.5	735.5	736.4	95	84	97	SSW	S	N	1	10	10	10	5.1	☉ n-a mU	
24	7.4	11.2	8.4	9.0	0.4	737.0	737.9	739.8	96	81	87	NNW	S	ENE	1	9	5		5.7	☉ tr 18%, 19-21% mU	
25	5.2	16.8	10.2	10.7	2.0	738.5	736.3	738.8	92	44	98	N	SE	SW	1	1	1	10	2.7	☉ a-n mU	
26	9.4	14.0	12.2	11.9	3.1	738.6	737.7	739.1	97	67	80	S	SSW	N	1	10	9	10			
27	9.0	11.4	9.8	10.1	1.1	742.1	742.9	744.1	91	64	79	NNE	S	N	1	10	10	10			
28	9.2	13.8	10.6	11.2	2.1	743.7	743.0	741.5	94	65	84	N	E	SS	0	10	10	10			
29	9.4	14.6	10.2	11.4	2.2	739.1	738.0	736.1	97	61	88	SSW	S	N	1	10	10	0			
30	5.4	14.8	11.4	10.5	1.1	736.7	736.4	736.5	84	66	79	ENE	S	2N	1	0	1	10			
31	9.8	14.2	10.6	11.5	2.0	737.9	737.4	738.5	61	58	82	SSW	S	N	1	9	1	10			
Mittel	5.8	13.5	8.8	9.4	—	739.6	739.0	739.4	92	61	82					6.7	4.8	5.5	65.5		

λ = 7° 35', β = 47° 33',
H_b = 317.3 m, G = 0.08 mm

Basel

März 1957
Beobachter: Astronom.-Meteorol. Anstalt

Tag	Lufttemperatur					Luftdruck			Relative Feuchtigkeit			Windrichtung und Stärke			Bewölkung			Niederschlag	Witterung		
	7 ³⁰	13 ³⁰	21 ³⁰	Mittel	Abweich. vom Normalst.	7 ³⁰	13 ³⁰	21 ³⁰	7 ³⁰	13 ³⁰	21 ³⁰	7 ³⁰	13 ³⁰	21 ³⁰	7 ³⁰	13 ³⁰	21 ³⁰				
1	-0.5	6.6	2.0	2.7	0.2	745.7	743.7	743.1	78	63	75	E	E	ESE	2	2	3	0		L	
2	-0.9	8.3	3.8	3.7	1.1	742.3	741.5	740.4	74	52	72	E	E	SE	1	0	1	0			
3	-2.0	10.5	2.9	3.8	1.1	739.5	737.9	736.7	92	56	77	E	ESE	E	0	0	7	0		L	
4	-0.5	14.2	6.2	6.6	3.8	735.5	734.3	732.9	89	52	75	ESE	E	ESE	1	1	4	0		L	
5	-0.4	13.9	7.2	6.9	3.9	733.6	733.0	731.7	89	59	94	ESE	NE	NE	0	0	6	10	0.0	L	
6	1.8	14.0	9.1	8.3	5.2	729.8	728.2	727.7	98	63	95	SW	E	ESE	1	7	10	10	4.5	☉ 18½-n	
7	7.0	10.5	7.6	8.4	5.2	728.6	729.0	730.5	95	83	87	SE	WNW	ESE	1	10	9	6	0.2	☉ n-7%, ☉ tr 13%	
8	6.9	11.6	8.5	9.0	5.7	732.5	732.4	732.8	93	84	99	SE	E	E	1	10	10	10	8.0	☉ 1%, 5-5%, ☉ tr 13%, 14-n	
9	8.9	12.2	9.2	10.1	6.6	733.4	734.4	736.0	94	89	94	S	E	E	0	10	10	10	1.5	☉ n-11%	
10	7.5	11.1	6.4	8.3	4.7	736.6	736.8	737.7	84	88	91	N	NE	ESE	1	10	2	5			
11	5.3	12.0	8.2	8.5	4.8	738.5	738.1	737.6	93	82	79	E	E	N	0	2	1	0			
12	3.0	15.9	8.8	9.2	5.3	738.3	737.2	736.6	97	69	75	E	N	E	0	0	0	0		L	
13	2.4	18.5	8.9	9.9	5.9	738.0	737.7	738.4	92	57	67	ESE	SE	SE	0	2	1	0		L	
14	3.2	20.1	10.5	11.3	7.2	739.5	738.7	738.8	92	51	88	ESE	WSW	SSW	1	0	0	0		L	
15	6.7	14.8	8.5	10.0	5.8	739.7	739.2	738.5	93	67	79	WNW	WNW	S	1	8	7	2			
16	6.6	16.4	11.8	11.6	7.2	737.7	737.1	736.6	85	67	77	S	WNW	WSW	1	8	9	8			
17	8.2	14.8	9.8	10.9	6.4	736.2	734.7	733.1	82	70	86	WNW	WNW	WNW	1	9	8	10	2.0		
18	9.8	12.4	11.0	11.1	6.5	732.7	733.3	734.3	92	82	84	SW	WNW	WSW	1	10	10	8	0.3	☉ 2%-2%, 4%-4%, 5-8%	
19	7.8	16.5	9.3	11.2	6.5	733.8	732.7	732.3	96	76	87	E	WNW	SSW	1	6	3	1	0.0		
20	5.4	19.6	13.2	12.7	7.8	731.6	730.1	731.6	97	56	65	ESE	NNW	SSW	1	8	7	8	0.0	Δ	
21	10.0	14.4	9.4	11.3	6.3	734.1	733.9	733.7	86	67	72	W	WNW	WSW	1	7	7	6			
22	4.6	15.9	9.6	10.0	4.9	733.6	731.9	730.1	92	66	89	NNE	NE	NNE	0	7	8	10	0.4	☉ 18-21, Δ	
23	6.4	18.2	10.4	11.7	6.4	728.4	727.9	728.1	97	70	81	ESE	W	WSW	2	10	9	10	3.3	☉ 23%-n, ≡ n-10%, ☉ 20%, ☉ n-9%	
24	8.0	12.2	7.5	9.2	3.8	731.1	732.7	734.9	96	77	91	SE	WNW	S	0	10	10	8	0.0	Δ	
25	4.8	16.0	9.0	9.9	4.4	735.5	734.3	733.8	91	70	82	E	E	W	1	10	7	4			
26	4.4	18.8	8.5	10.6	5.0	733.8	733.7	734.2	91	57	83	ESE	W	SSW	1	0	1	10	0.2	☉ 18-18%, L	
27	6.8	17.8	12.1	12.2	6.4	736.1	735.5	736.9	92	63	84	ESE	S	WNW	0	9	9	10	2.4	☉ 19%-21%, 22%-23, Δ	
28	11.1	13.6	11.6	12.1	6.2	736.9	736.6	736.2	95	82	93	SW	WSW	WSW	1	10	10	10	9.8	☉ 0%-1, 2-3% mU, tr 7%, 11%-13%, 18%-n	
29	11.0	10.6	6.4	9.3	3.3	735.2	735.6	736.2	90	82	87	WSW	W	SE	1	10	9	0	0.0	☉ n-0%, tr 7%, 8-10%, ≡ 9%-a	
30	0.3	12.0	7.6	6.6	0.4	736.8	735.2	736.2	97	69	85	WSW	WNW	WNW	0	1	1			L	
31	4.0	11.9	7.2	7.7	1.4	735.2	734.2	734.0	97	81	81	NW	ESE	ESE	1	3	5	0			
Mittel	5.1	14.0	8.5	9.2	—	735.5	734.9	734.9	91	69	83					5.8	6.0	5.4	32.6		

März 1957
Beobachter: Observatorium

Säntis

$\lambda = 9^\circ 21', \beta = 47^\circ 15',$
 $H_0 = 2500.1 \text{ m}, G = -0.29 \text{ mm}$

Table with columns: Tag, Lufttemperatur (7:30, 13:30, 21:30, Mittel, Abweich. vom Normalst), Luftdruck (7:30, 13:30, 21:30), Relative Feuchtigkeit (7:30, 13:30, 21:30), Windrichtung und Stärke (7:30, 13:30, 21:30), Bewölkung (7:30, 13:30, 21:30), Niederschlag, Witterung. Rows 1-31 and Mittel.

März 1957
Beobachter: E. Chiesa

St. Gotthard (Hospiz)

$\lambda = 8^\circ 34', \beta = 46^\circ 33',$
 $H_0 = 2095 \text{ m}, G = -0.27 \text{ mm}$

Table with columns: Tag, Lufttemperatur (7:30, 13:30, 21:30, Mittel, Abweich. vom Normalst), Luftdruck (7:30, 13:30, 21:30), Relative Feuchtigkeit (7:30, 13:30, 21:30), Windrichtung und Stärke (7:30, 13:30, 21:30), Bewölkung (7:30, 13:30, 21:30), Niederschlag, Witterung. Rows 1-31 and Mittel.

*) Säntis: 7. ∇ 17%-18%, \equiv n-n, ∇ n-9%, 17%-n, ∇ III 8. ∇ n-9 15. ∇ n-a 16. ∇ n-n 18. Δ 17-17%, \equiv ∇ n-n, ∇ n-p 26. * \circ 19%-21 mU, \equiv 12%-16, 16%-n, 28. \equiv n-n, ∇ n-9%, 17%-n, ∇ n-p mU 29. ∇ 16%, 17%, \equiv ∇ n-n, ∇ p

λ = 7° 26', β = 46° 57',
H_D = 572.2 m, G = -0.04 mm

Bern

April 1957
Beobachter: Meteorologisches Observatorium

Table with columns: Tag, Lufttemperatur (7³⁰, 13³⁰, 21³⁰, Mittel, Abweich. vom Normalst), Luftdruck (7³⁰, 13³⁰, 21³⁰), Relative Feuchtigkeit (7³⁰, 13³⁰, 21³⁰), Windrichtung und Stärke (7³⁰, 13³⁰, 21³⁰), Bewölkung (7³⁰, 13³⁰, 21³⁰), Niederschlag, Witterung. Rows 1-30 and Mittel.

*) 12. ≡ 6% - 7% 13. ∇ 12% - 12½, 15% - 16, 17% - 18%, ⊥ 1 14. ● 18% - 18%, ⊥ 1

λ = 6° 57', β = 47° 00',
H_D = 487.3 m, G = 0.00 mm

Neuchâtel

April 1957
Beobachter: Observatorium

Table with columns: Tag, Lufttemperatur (7³⁰, 13³⁰, 21³⁰, Mittel, Abweich. vom Normalst), Luftdruck (7³⁰, 13³⁰, 21³⁰), Relative Feuchtigkeit (7³⁰, 13³⁰, 21³⁰), Windrichtung und Stärke (7³⁰, 13³⁰, 21³⁰), Bewölkung (7³⁰, 13³⁰, 21³⁰), Niederschlag, Witterung. Rows 1-30 and Mittel.

λ = 8° 34', β = 47° 23',
H_b = 569.4 m, G = -0.01 mm

Zürich

April 1957
Beobachter: Meteorologische Zentralanstalt

Tag	Lufttemperatur					Luftdruck			Relative Feuchtigkeit			Windrichtung und Stärke			Bewölkung			Niederschlag	Witterung
	7 ³⁰	13 ³⁰	21 ³⁰	Mittel	Abweich. vom Normalist	7 ³⁰	13 ³⁰	21 ³⁰	7 ³⁰	13 ³⁰	21 ³⁰	7 ³⁰	13 ³⁰	21 ³⁰	7 ³⁰	13 ³⁰	21 ³⁰		
1	1.5	9.6	6.9	6.0	0.5	711.0	709.8	709.5	94	54	78	ENE 2	NNE 1	NE 1	10	1	9	0.0	Δ I
2	4.5	13.2	7.9	8.5	2.8	710.9	711.8	715.8	83	47	64	ENE 1	WSW 1	NE 1	9	3	10*	3.9	● tr III
3	5.3	7.8	6.1	6.4	0.6	716.1	716.7	718.3	91	69	87	SSE 1	WNW 1	E 0	10	10	0.2	● 0%–1%, ● tr a mU, Δ III	
4	6.4	14.4	9.9	10.2	4.2	717.7	716.8	716.4	87	47	79	NE 1	NE 2	NE 1	9	2	1	0.0	Δ I, III
5	8.5	17.9	13.1	13.2	7.1	715.1	713.9	712.3	89	46	65	WNW 1	SW 1	NW 1	10	4	7	0.0	Δ I, III
6	10.2	11.3	8.7	10.1	3.8	711.4	710.5	709.1	87	79	96	SW 1	WSW 1	SSE 1	9	10*	10*	15.7	● tr a-p, 15%–n
7	7.5	6.7	2.4	5.5	-0.9	708.4	709.7	712.2	93	91	91	NNW 1	NNW 1	N 1	10*	10*	9	18.6	● n-19%, 22%–24%
8	1.0	3.4	3.0	2.5	-4.1	710.5	709.7	708.5	82	60	70	NNE 1	NE 2	NE 2	10	10*	9	0.1	* fl n-p mU
9	0.9	6.0	4.2	3.7	-3.0	706.3	705.4	704.2	78	60	71	NNE 2	NE 2	NNW 1	8	6	1	0.0	
10	2.8	10.8	8.4	7.3	0.4	701.3	698.9	687.2	83	55	68	NE 1	NE 1	ENE 1	6	10	10	0.0	Δ I, III
11	3.8	5.0	2.9	3.9	-3.1	698.5	700.2	704.4	82	75	95	NNW 1	N 1	ESE 1	10	10	10	9.5	● 16%–17, 23%–n, Δ I
12	1.5	2.0	0.4	1.3	-5.9	707.6	708.8	711.2	85	90	89	NNW 1	SE 1	SSE 1	8	10*	4	0.2	● n-2, * 13–15 mU
13	0.7	2.9	0.6	1.4	-5.9	712.2	712.8	714.0	83	72	95	WSW 1	S 2	SSE 1	10*	9	8	2.9	* fl 7%, 8–14% mU, 15%–16% (☒)
14	-0.3	3.5	0.9	1.4	-6.1	713.0	713.0	714.5	95	76	92	SSW 1	NNW 1	S 0	10*	9*	10	4.0	* 7%–14, 16–16%, 19–20
15	0.3	7.2	3.8	3.8	-3.8	715.9	716.9	719.0	88	38	51	WSW 1	N 1	SE 1	9*	8	7	0.8	☐ 7%, * fl a
16	2.3	11.1	5.5	6.3	-1.5	719.0	718.0	717.3	63	30	57	ENE 1	ENE 2	NE 0	1	5	0	0.0	Δ I, Δ III
17	5.3	16.7	10.4	10.8	2.9	717.6	716.6	716.5	70	31	52	SSE 0	SSW 1	SSE 1	4	2	0	0.0	
18	7.9	12.3	7.7	9.3	1.2	716.3	716.2	716.3	76	59	96	WSW 0	W 1	S 1	10	10*	10*	5.5	● tr a-p, 20%–n, Δ I
19	7.7	10.9	9.8	9.5	1.3	714.7	714.4	715.3	97	87	92	SW 1	WSW 1	SSW 1	10	10	10*	3.8	● n-6%, 8–9% mU, 12–12%, 21–21%
20	7.1	10.6	8.4	8.7	0.3	715.1	715.6	716.1	91	62	90	NE 1	NNE 1	NE 1	10	10	10	3.8	● 3%–3%, s, 9–11, 21–21%, 23%–24%
21	6.8	14.1	8.9	9.9	1.4	716.8	716.9	716.9	92	44	52	NE 1	NNE 1	NE 1	10	3	0	0.0	Δ III
22	6.5	16.9	10.9	11.4	2.7	717.6	717.0	716.9	74	37	50	NE 1	ENE 1	NE 2	0	3	0	0.0	Δ I, III
23	8.2	19.8	13.3	13.8	5.0	716.9	716.2	716.7	67	39	58	NE 1	S 1	NE 2	2	6	0	0.0	Δ I
24	9.9	20.1	11.9	14.0	5.0	717.2	716.9	716.7	71	41	78	NE 1	N 1	S 1	3	5	10	1.9	Δ I, III
25	9.0	16.5	9.6	11.7	2.6	714.1	712.0	711.5	93	46	90	SSE 1	SSW 1	WNW 1	10*	5	10	0.6	● 5–8, ● tr p, 19–20%
26	8.1	17.5	10.9	12.2	3.0	711.9	711.3	711.0	94	47	80	NNE 1	NE 2	NNE 1	10	6	0		Δ III
27	9.3	19.6	15.2	14.7	5.3	708.1	706.1	706.5	77	35	30	NE 1	NNE 1	SE 2	6	9	0		Δ I
28	11.5	19.3	12.7	14.5	5.0	709.9	709.1	709.2	72	38	64	SW 1	NW 1	NNE 1	4	3	0		Δ I, III
29	11.4	22.2	16.3	16.6	7.0	708.7	705.9	705.5	74	31	40	ENE 1	ENE 2	S 1	6	6	10	0.0	Δ I
30	12.5	15.8	12.1	13.5	3.7	708.6	709.9	710.5	78	64	81	WNW 1	S 1	NE 1	10	10	10		
Mittel	5.9	12.2	8.1	8.7	—	712.3	711.9	712.3	83	55	73				7.8	6.8	6.2	Summe 71.5	

λ = 6° 32', β = 46° 51',
H_b = 1601 m, G = -0.16 mm

Chasseron

April 1957
Beobachter: J. Liardon

1	3.0	6.6	2.4	4.0	—	626.4	626.4	626.3	79	69	100	W 3	WSW 2	W 2	4	7	10*	2.2	● 16–n mU, ≡ 19%–n, ☐ n-a
2	1.2	3.7	0.0	1.6	—	627.4	629.1	632.1	100	53	100	NW 2	NW 3	N 2	10*	6	3		≡ n-8%, ☐ a-p
3	0.0	0.8	-2.0	-0.4	—	632.0	632.0	632.4	100	64	100	NNW 2	NW 2	E 2	10*	8	0	0.3	* 16%–18%, ≡ n-3%, 16%–19%
4	-1.0	2.0	3.4	1.5	—	632.0	633.0	632.9	100	100	90	E 3	E 2	E 2	10*	5	5		≡ n-12, √ I (☒)
5	5.2	10.0	6.4	7.2	—	632.0	632.0	631.2	54	44	57	E 2	ESE 1	N 2	5	5	8	10.4	● n (5.6.)
6	2.0	3.0	1.7	2.2	—	629.1	628.0	626.4	100	100	100	N 1	W 1	NW 2	10*	10*	10*	3.0	● n-14%, ≡ n-n
7	0.6	2.6	0.8	1.3	—	625.6	626.4	626.6	100	100	100	WNW 2	N 1	E 3	10*	10*	10*	9.0	* 7%–9%, ≡ 7-n, √ III, ☐ p-n
8	-6.3	5.8	5.4	1.6	—	624.0	623.1	622.1	100	100	100	ENE 3	ENE 3	E 4	10*	8	10*	0.8	* 7–11, ≡ n-11%, 19–n, ☐ a-n
9	-6.0	-2.0	-1.8	-3.3	—	620.6	620.7	620.3	100	100	100	E 3	E 2	E 2	10*	5	10*		≡ n-8%, 16%–n (☐ a-n)
10	3.0	3.0	1.0	2.3	—	628.0	626.5	615.4	47	55	100	E 2	E 3	E 3	7	9	10*		≡ 19–n, ☐ a-n
11	0.0	-3.0	-4.8	-2.6	—	616.0	617.5	620.2	96	100	100	E 2	N 2	WNW 3	8	10*	10*	5.0	* 17–n, ≡ 11%–n, ☐ p-n
12	-6.7	-5.0	-6.4	-6.0	—	622.7	624.3	626.3	100	100	100	WNW 3	N 2	N 3	10*	8	4	0.2	* n-11 mU, ☐ 18–18%, ≡ n-11%, (☒)
13	-7.0	-5.0	-6.2	-6.1	—	626.6	627.7	627.9	100	100	100	N 2	N 2	N 2	10*	8*	7	0.0	* fl a-p mU, ≡ n-n mU (☐ a-n mU)
14	-7.2	-4.8	-7.0	-6.3	—	626.9	627.3	628.2	100	100	100	N 2	NW 3	N 3	10	8	5	0.2	* ☐ ≡ n-p mU, ☐ a-n (☒)
15	-7.4	-3.6	-4.8	-5.3	—	629.3	631.2	632.8	100	56	56	E 3	ESE 2	E 3	4	6	2	0.0	* ☐ 10, ≡ n-a mU, ☐ n-a mU (☒)
16	-4.8	1.8	0.6	-0.8	—	631.8	633.0	633.2	66	28	56	E 3	E 3	ESE 2	2	2	2		☐ n-p
17	3.4	8.6	4.0	5.3	—	633.6	631.4	634.1	44	38	48	S 1	NW 2	S 1	4	5	3		
18	3.8	5.6	2.0	3.8	—	633.5	633.4	632.8	57	56	100	N 2	NW 3	NW 2	5	10	10	3.6	● n (18./19.), ☐ a-p
19	2.4	4.0	2.4	2.9	—	631.9	631.7	632.0	100	100	100	WNW 3	W 3	NW 2	10*	10*	10*	0.6	● n-n mU, ≡ n-n, ☐ n-p
20	1.4	4.8	2.0	2.7	—	631.4	631.9	632.5	100	66	78	N 2	W 2	WNW 2	10*	6	7		☐ 6%, ≡ 7%–9%
21	3.0	5.6	2.6	3.7	—	632.5	633.0	632.9	61	60	71	E 2	E 2	E 2	2	4	0		
22	4.4	8.4	8.0	6.9	—	633.3	634.0	633.8	55	52	53	SE 1	W 1	NNE 2	2	3	3		
23	8.0	9.7	7.4	8.4	—	634.2	634.1	634.5	55	44	55	W 1	ESE 1	E 2	5	7	5		
24	7.0	9.2	5.6	7.3	—	634.4	634.8	634.2	72	57	100	NW 1	N 1	E 2	5	7	8	7.4	● 15%–n mU, ☐ ▲ 16
25	4.3	5.0	2.4	3.9	—	630.8	629.5	628.4	98	100	100	WSW 1	NNW 1	ESE 3	7	8	10	8.4	☐ ▲ 12%, ≡ n-a mU, (☐ p-n)
26	2.4	6.0	5.0	4.5	—	628.7	629.3	628.7	100	85	80	E 2	ENE 2	ESE 2	10*	8	6		≡ n-8
27	5.6	8.6	6.6	6.9	—	625.5	624.9	625.8	44	35	69	SSE 3	E 2	SE 2	7	8	5		☐ n-a
28	3.2	6.6	5.6	5.1	—	627.2	627.5	627.5	71	72	78	WNW 2	NNW 1	E 2	6	7	3		
29	7.2	9.0	7.8	8.0	—	626.1	624.5	624.9	72	38	66	E 2	E 2	SE 2	6	8	7	0.0	● 18
30	3.0	6.6	5.4	5.0	—	626.7	627.9	627.8	100	75	90	WNW 3	NW 2	E 2	8	8	7	0.8	☐ 17–17%, ≡ n-7
Mittel	0.9	3.8	1.8	2.2	—	628.7	628.9	628.8	82	72	85				7.2	7.1	6.3	Summe 51.9	

λ = 8° 58', β = 46° 00',
H_b = 276.2 m, G = -0.04 mm

Lugano

April 1957
Beobachter: G. Vicari

Tag	Lufttemperatur					Luftdruck			Relative Feuchtigkeit			Windrichtung und Stärke			Bewölkung			Niederschlag	Witterung
	7 ³⁰	13 ³⁰	21 ³⁰	Mittel	Abweich. vom Normalst.	7 ³⁰	13 ³⁰	21 ³⁰	7 ³⁰	13 ³⁰	21 ³⁰	7 ³⁰	13 ³⁰	21 ³⁰	7 ³⁰	13 ³⁰	21 ³⁰		
1	9.2	13.2	10.2	10.9	1.2	738.6	738.0	738.7	78	67	97	SSW 1	S 2	N 1	10	6	10*	10.3	● 20-n
2	8.4	14.8	10.6	11.3	1.5	737.7	737.4	739.5	98	62	92	ENE 0	SSE 1	N 1	10*	1	6	1.4	● n-a
3	5.6	20.4	10.4	12.1	2.1	739.8	738.8	741.2	88	24	92	NE 1	N 2	S 2	1	5	0	0.5	● n (3./4.)
4	9.2	19.8	12.2	13.7	3.6	743.5	742.6	742.8	94	38	83	E 1	S 1	S 1	3	5	10	0.9	● 17½-18, n (4./5.)
5	11.2	18.8	14.4	14.8	4.6	743.4	741.3	739.6	92	46	54	NNE 1	S 1	NNE 1	9	9	8	.	.
6	10.2	13.2	12.0	11.8	1.4	737.6	735.9	734.1	84	79	69	N 0	WSW 1	N 1	9	10*	0	0.7	● 13-15½ mU
7	8.2	18.4	11.8	12.8	2.3	733.0	730.7	730.4	88	53	91	NNW 1	S 1	N 1	1	8	0	0.3	▽ 14-17 mU
8	9.6	8.8	7.4	8.6	-2.0	730.8	732.2	732.9	29	86	93	NNE 2	S 2	S 1	1	10	10	0.0	● tr p-n
9	7.2	10.8	7.4	8.5	-2.3	733.0	732.6	731.8	97	79	99	SSE 0	S 1	SSW 0	9	10	10	13.8	● tr a, 18-18½, n (9./10.)
10	6.8	9.2	7.2	7.7	-3.2	729.2	726.2	723.1	97	96	99	NE 1	W 0	N 1	10	10*	10*	15.1	● 6-7, n mU, 13½-n
11	8.4	9.6	8.2	8.7	-2.4	721.9	723.5	725.5	99	89	91	WSW 0	SSE 1	N 1	10*	10	9	15.7	● n-18½ mU, ● 18½-19½ mU
12	8.4	10.8	7.6	8.9	-2.3	727.4	729.2	732.7	36	27	28	NNE 3	NE 3	NNE 3	10	10	0	.	↙ n-n
13	5.8	13.4	8.4	9.2	-2.1	736.0	735.5	737.1	32	25	25	NNE 2	NNW 2	N 1	0	5	0	.	↙ n-p mU
14	3.2	15.8	8.2	9.1	-2.4	736.0	734.6	736.6	58	22	31	NNW 1	N 2	N 2	0	1	0	.	↙ a-p mU
15	5.2	16.2	9.2	10.2	-1.4	738.1	738.0	741.3	64	23	26	ESE 1	S 1	NNE 3	0	1	0	.	↙ p-n
16	3.8	16.8	9.6	10.1	-1.6	743.4	742.5	743.1	55	41	63	NNE 1	SSE 1	N 1	0	0	0	.	.
17	5.2	18.2	10.8	11.4	-0.5	743.0	741.4	740.2	85	47	62	NNE 1	S 1	N 1	0	0	0	.	.
18	7.4	19.8	14.4	13.9	1.8	740.3	737.3	737.4	86	53	38	S 1	S 2	N 1	3	1	0	.	.
19	9.4	20.2	12.2	13.9	1.7	737.2	736.1	737.6	88	52	68	SE 1	S 2	N 1	0	1	0	.	.
20	10.2	19.2	13.4	14.3	2.0	739.6	738.8	739.6	97	54	68	S 1	S 2	NNW 1	8	4	8	.	.
21	9.4	19.2	13.2	13.9	1.4	741.2	741.3	742.7	92	52	81	SW 1	S 2	NNW 1	4	3	9	0.0	▽ 18%
22	11.2	20.1	12.0	14.4	1.8	744.5	742.8	743.7	81	45	74	N 1	S 1	N 2	10	3	0	.	.
23	10.2	21.0	16.2	15.8	3.1	743.5	742.2	743.2	89	52	68	N 1	S 2	S 1	1	1	10	.	.
24	11.8	22.4	15.2	16.5	3.6	743.0	741.0	741.5	89	49	97	S 1	S 1	N 1	1	4	10	1.1	● 19½-n mU
25	12.2	13.4	13.2	12.9	-0.1	739.9	739.4	739.0	97	83	92	SE 1	SSW 1	SW 1	10	10	10*	14.2	● 18½-n mU
26	10.4	20.2	13.2	14.6	1.5	740.3	739.8	739.3	97	49	75	W 1	S 1	N 1	10	6	0	.	.
27	11.6	17.6	13.4	14.2	0.9	737.6	736.8	737.6	74	48	96	NW 1	SSE 1	S 1	10	10*	10*	5.9	▽ 17½, ● 19½-n
28	11.2	17.7	15.4	14.8	1.4	737.1	736.3	736.1	96	59	68	WNW 1	ESE 1	N 1	3	8	0	0.0	▽ 13%
29	11.4	12.6	11.6	11.9	-1.6	735.7	736.3	735.9	87	98	99	E 1	NNE 1	W 1	7	10*	10*	33.4	● 8½-n
30	11.4	16.4	13.4	13.7	6.0	735.5	735.1	734.6	89	68	95	SW 1	S 1	S 1	10	10	10*	2.3	● p-n mU
Mittel	8.8	16.3	11.4	12.2	-	737.6	736.8	737.3	81	55	74	.	.	.	5.3	5.7	5.0	115.6	Summe

λ = 7° 35', β = 47° 33',
H_b = 317.3 m, G = 0.08 mm

Basel

April 1957
Beobachter: Astronom.-Meteorol. Anstalt

Tag	Lufttemperatur					Luftdruck			Relative Feuchtigkeit			Windrichtung und Stärke			Bewölkung			Niederschlag	Witterung
	7 ³⁰	13 ³⁰	21 ³⁰	Mittel	Abweich. vom Normalst.	7 ³⁰	13 ³⁰	21 ³⁰	7 ³⁰	13 ³⁰	21 ³⁰	7 ³⁰	13 ³⁰	21 ³⁰	7 ³⁰	13 ³⁰	21 ³⁰		
1	4.2	12.1	9.8	8.7	2.2	734.0	732.4	731.9	96	64	63	ENE 1	E 1	NW 1	3	0	8	.	┌° I
2	2.0	13.3	8.7	8.0	1.4	734.2	735.1	738.2	96	50	84	SW 1	WNW 1	W 0	0	1	9	.	┌° I
3	3.8	9.4	7.3	6.8	0.1	738.9	739.6	740.9	100	78	93	S 1	NNW 1	NNW 1	7	9	10	0.8	● 17-17½, ┌° I
4	5.8	13.7	8.0	9.2	2.3	740.7	739.8	739.0	97	61	81	W 0	NNW 1	S 1	10	9	9	.	.
5	6.4	17.5	11.5	11.8	4.8	737.3	735.9	734.4	92	68	93	S 0	N 1	S 1	8	8	10	0.2	.
6	10.2	12.2	9.3	10.6	3.4	733.7	733.0	731.4	100	97	100	ENE 1	WSW 1	SE 1	10*	10*	10	6.7	● 6½-15½, 19, ≡ n (6./7.)
7	6.1	5.2	3.8	5.0	-2.3	732.0	733.3	734.9	97	97	100	NW 1	NW 2	NNW 0	10	10	10	4.0	● 1½-6% mU, 13½-19% mU
8	2.5	7.0	5.5	5.0	-2.4	734.0	733.2	731.7	100	57	53	N 1	E 1	NE 1	8	8	7	0.0	● * Δ 11½, ▽ 22½
9	0.3	10.9	7.5	6.2	-1.4	730.3	728.6	727.5	77	55	51	WNW 1	N 1	NE 1	9	6	7	.	.
10	2.1	12.6	7.1	7.3	-0.4	724.9	721.7	720.1	79	53	75	WNW 0	WNW 1	SSW 1	6	9	10	.	┌° I
11	3.4	7.2	2.8	4.7	-3.2	722.6	723.6	727.5	78	62	80	WNW 1	N 1	SSW 1	10	10	6	.	.
12	2.2	7.4	1.0	3.5	-4.5	731.2	732.3	734.4	78	45	72	N 1	NW 1	SSW 1	7	7	5	0.0	.
13	1.8	2.0	1.0	1.6	-6.5	735.7	736.3	736.9	82	62	83	S 0	NNW 2	S 1	10*	10*	4	4.4	* 7½-9%, 13½-14½, 16%-17%
14	0.1	5.4	0.3	1.9	-6.4	736.0	736.2	737.2	86	56	52	SE 0	WNW 1	NW 1	10*	7	2	1.2	* 7-8%, ┌° I
15	-0.5	9.1	3.2	3.9	-4.5	739.3	739.8	741.4	79	36	61	SSW 0	WNW 1	NNW 0	1	4	0	.	┌° I
16	2.0	14.5	7.9	8.1	-0.5	742.1	740.3	739.7	80	34	55	E 1	ESE 1	E 1	0	5	0	.	┌° I
17	5.3	18.3	9.5	11.0	2.3	740.0	738.9	738.6	78	34	68	ESE 1	WNW 1	SSW 1	3	2	8	.	.
18	6.4	15.0	10.5	10.6	1.7	738.9	738.5	738.2	87	51	80	E 1	WNW 1	SE 1	8	10	10	1.1	● 22%-24%
19	10.4	14.1	10.7	11.7	2.7	737.1	736.8	737.5	93	74	90	W 1	W 2	SW 0	10	10	10	1.6	● 20-23 mU
20	8.3	15.6	10.0	11.3	2.2	737.8	737.6	738.6	97	52	74	W 1	NNW 1	WSW 1	10	7	10	.	● 1½-2%, 4-4%
21	6.3	16.1	10.0	10.8	1.5	739.6	738.9	739.1	100	50	65	WSW 1	WNW 1	NE 0	7	6	1	.	.
22	6.1	19.2	11.5	12.3	2.9	740.3	738.7	738.8	95	40	50	SW 0	E 1	E 1	0	2	1	.	.
23	8.8	20.5	13.1	14.1	4.5	739.0	738.1	738.4	79	45	80	ENE 1	W 1	SW 1	5	6	0	.	.
24	10.4	20.1	12.1	14.2	4.5	739.4	739.2	739.3	78	48	98	ESE 1	NNW 1	SW 0	6	6	10	1.7	● 19%-20%
25	11.3	16.7	10.9	13.0	3.2	736.4	734.1	733.6	96	54	97	ESE 0	SE 1	ENE 1	7	9	10	0.9	● 18-19%
26	10.7	19.0	9.8	13.2	3.2	734.3	733.7	733.4	98	46	97	SSE 0	NNE 1	SSW 1	9	7	0	1.0	● 15½-16½, ▽ 15½-16, ▽ 15½
27	7.6	15.9	11.0	11.5	1.4	731.1	729.3	729.1	100	67	87	SW 0	WNW 1	SSW 1	10*	10	0	.	≡ n-10%
28	11.1	19.2	11.6	14.0	3.7	732.0	733.1	731.3	82	40	75	WSW 0	W 1	SW 1	8	2	0	0.0	.
29	10.5	21.1	15.3	15.6	5.2	731.2	728.2	727.2	80	42	60	E 1	NNW 1	ESE 0	4	9	10	.	● tr 7%
30	13.6	20.6	10.9	15.0	4.5	731.0	731.8	733.7	72	46	87	WSW 1	WNW 1	WNW 1	9	8	10	0.0	● tr 15%
Mittel	6.0	13.7	8.4	9.4	-	735.2	734.6	734.8	88	56	77	.	.	.	6.8	6.9	6.2	23.6	Summe

λ = 7° 26', β = 46° 57',
H_b = 572.2 m, G = -0.04 mm

Bern

Mai 1957
Beobachter: Meteorologisches Observatorium

Tag	Lufttemperatur					Luftdruck			Relative Feuchtigkeit			Windrichtung und Stärke			Bewölkung			Niederschlag	Witterung
	7 ³⁰	13 ³⁰	21 ³⁰	Mittel	Abweich. vom Normalst.	7 ³⁰	13 ³⁰	21 ³⁰	7 ³⁰	13 ³⁰	21 ³⁰	7 ³⁰	13 ³⁰	21 ³⁰	7 ³⁰	13 ³⁰	21 ³⁰		
1	9.1	9.1	8.5	8.9	-1.5	709.3	709.6	709.5	93	80	78	NNE 2	NNE 2	N 1	10	10	9	.	
2	7.0	9.8	8.0	8.3	-2.3	708.2	708.4	708.3	81	67	78	NE 2	NE 2	NE 1	9	7	1	.	
3	8.5	13.6	9.9	10.7	0.0	708.2	708.8	709.9	68	39	68	NE 1	NE 2	NE 1	5	6	5	.	
4	6.5	13.9	10.2	10.2	-0.7	711.1	711.6	713.4	75	48	62	SE 1	NNE 2	ENE 1	0	7	9	.	
5	6.0	13.5	4.1	7.9	-3.1	712.7	710.5	712.7	73	42	67	N 1	SW 1	WNW 1	5	3	8	.	
6	2.2	5.4	0.9	2.8	-8.3	712.6	711.0	710.7	58	49	95	—	SW 2	SW 1	3	8	4	0.1	
7	0.6	5.4	1.9	2.6	-8.7	710.8	710.0	709.8	96	44	85	SW 1	SSW 1	SE 1	10*	7	1	0.3	
8	1.0	9.0	6.4	5.5	-5.9	707.0	705.5	705.1	79	36	50	SE 1	E 1	NE 1	7	3	1	⊕ L 1	
9	4.8	14.0	10.8	9.9	-1.6	705.0	704.4	705.4	73	40	59	NE 0	NE 1	ESE 1	2	6	10	⊕ III	
10	9.2	16.2	10.6	12.0	0.3	707.3	707.9	709.3	83	50	78	SE 0	NNW 2	NNE 0	8	7	5	0.0	
11	10.3	17.8	10.7	12.9	1.1	709.7	708.6	710.5	78	51	98	SE 0	SE 1	SSW 0	9	7	10*	8.5	
12	10.4	17.0	10.7	12.7	0.8	711.5	710.3	712.1	88	46	90	SE 0	NE 1	ESE 2	6	7	10	11.3	
13	10.1	14.0	11.9	12.0	-0.1	714.5	715.1	716.1	90	60	85	SE 0	W 1	E 1	10	9*	6	1.5	
14	10.7	18.0	14.5	14.4	2.2	716.5	715.5	714.5	82	44	63	SE 1	NE 1	—	0	2	4	0	
15	11.0	20.8	15.5	15.8	3.5	714.8	713.2	713.4	79	46	78	—	SW 1	SW 1	0	3	8*	14.6	
16	9.6	10.4	7.8	9.3	-3.1	714.4	714.2	714.9	86	68	91	WSW 2	W 1	S 1	10*	10	10*	8.6	
17	6.9	13.8	10.0	10.2	-2.4	715.5	714.5	713.9	85	49	81	E 1	E 1	2 SE 1	10	8	1	.	
18	9.9	17.9	15.3	14.4	-1.7	711.7	710.0	708.8	74	47	74	—	SW 1	—	0	0	4	9	
19	9.7	7.8	6.0	7.8	-5.0	708.6	711.0	712.6	96	87	97	WSW 1	SW 2	SE 1	10*	10*	10*	7.0	
20	5.8	10.1	8.8	8.2	-4.7	713.8	714.8	716.2	99	76	85	SE 1	ESE 2	SE 2	10*	8	7	0.4	
21	7.4	16.0	10.2	11.2	-1.9	716.0	714.4	713.8	97	44	91	E 0	W 1	—	0	9	9	0.4	
22	8.3	13.8	10.3	10.8	-2.4	711.8	710.4	709.4	91	47	68	NE 1	NE 2	N 1	5	5	5	.	
23	6.5	15.3	11.2	11.0	-2.3	707.6	707.6	709.7	87	41	50	W 1	W 2	NE 1	3	8	8	.	
24	10.1	12.5	10.6	11.1	-2.3	709.7	709.2	709.0	72	50	70	E 0	NE 2	NNE 2	7	9	10*	0.0	
25	10.4	15.9	12.0	12.8	-0.7	707.4	707.5	708.6	83	65	83	NE 2	NE 2	ENE 2	10	9	10	.	
26	8.3	6.3	4.7	6.4	-7.3	708.7	710.1	710.3	73	90	98	NE 2	NE 2	NE 2	10	10*	10*	3.2	
27	3.4	5.3	6.0	4.9	-8.9	709.8	711.1	710.6	98	87	80	NNE 2	NE 2	NE 2	10*	10	9	0.1	
28	5.2	7.2	7.3	6.6	-7.3	709.2	710.3	711.4	87	70	69	NE 2	ENE 2	NE 1	10	10	10	.	
29	5.7	11.3	8.8	8.6	-5.4	712.0	712.7	713.1	83	64	76	NNE 2	NE 2	NE 1	10	10	1	.	
30	8.5	16.8	10.4	11.9	-2.2	713.1	711.8	712.9	80	50	99	—	NE 0	NE 0	0	2	9	10	19.1
31	9.8	15.8	11.0	12.2	-2.0	713.5	712.9	713.8	98	50	84	SE 0	ESE 1	E 1	10*	5	9	2.8	
Mittel	7.5	12.7	9.2	9.8	—	711.0	710.7	711.3	83	56	78				6.8	7.4	6.8	84.1	

λ = 6° 57', β = 47° 00',
H_b = 487.3 m, G = 0.00 mm

Neuchâtel

Mai 1957
Beobachter: Observatorium

1	10.7	14.0	9.6	11.4	0.3	716.8	716.9	717.0	81	61	65	NE 2	NE 2	NE 3	10	9	6	.
2	7.8	10.8	9.8	9.5	-1.8	715.7	715.8	715.7	77	64	70	NE 2	NE 2	NNE 1	10	10	0	.
3	9.6	16.0	10.7	12.1	0.7	715.8	716.4	717.3	57	43	55	NE 2	ENE 2	NE 2	3	5	9	0.3
4	8.5	17.2	10.6	12.1	0.5	718.6	719.2	720.9	77	36	65	NE 1	E 1	SE 1	0	5	9	.
5	6.8	15.8	3.4	8.7	-3.0	720.7	718.7	719.9	67	32	67	ENE 1	W 2	NNW 3	0	2	3	0.0
6	2.7	6.6	1.7	3.7	-8.1	720.6	719.3	718.8	53	48	93	E 1	NW 2	WNW 1	5	4	10*	1.5
7	2.3	3.9	2.4	2.9	-9.1	718.4	717.9	717.2	70	54	66	SW 1	NW 2	NW 1	4*	8	0	0.1
8	2.3	12.3	7.4	7.3	-4.8	714.8	713.1	712.4	76	35	41	NNE 1	SSE 1	NNE 2	9	2	1	.
9	5.5	16.1	11.4	11.0	-1.2	712.8	711.7	712.8	67	34	49	NE 1	S 2	NNE 1	2	5	10	0.2
10	9.7	16.9	10.7	12.4	0.0	714.9	715.3	716.7	83	44	66	NE 1	S 1	WNW 1	6	8	7	.
11	9.3	19.6	11.4	13.4	0.9	717.4	716.3	717.8	79	40	95	W 0	SSE 1	SW 1	9	5	10	3.1
12	10.4	17.6	10.4	12.8	0.2	719.1	718.0	719.9	83	51	86	S 1	S 1	NNE 0	2	7	8	2.7
13	9.6	13.7	11.5	11.6	-1.2	722.1	722.7	723.4	95	74	71	SW 1	SW 1	W 1	10*	10	2	0.9
14	11.4	20.7	16.3	16.1	3.2	724.2	723.1	722.1	85	48	48	E 1	SE 1	N 2	1	2	0	.
15	11.1	22.2	16.6	16.6	3.6	722.6	720.8	719.8	83	42	58	N 1	SSE 1	NW 2	0	1	6	3.1
16	8.8	12.9	9.7	10.5	-2.6	721.1	721.9	722.4	84	61	80	NW 3	SSE 1	ENE 1	10*	10	10	0.7
17	9.0	14.1	11.3	11.5	-1.8	722.9	722.2	721.4	81	59	64	NE 1	NNE 2	NNE 1	9	9	0	.
18	8.7	19.2	16.4	14.8	1.4	719.6	717.6	715.8	89	44	45	N 1	S 2	W 1	0	2	2	10.2
19	9.9	8.6	8.1	8.9	-4.6	716.1	718.5	720.2	96	92	95	WSW 1	SW 1	S 1	10*	10*	10*	8.2
20	7.8	12.7	9.7	10.1	-3.5	721.4	722.1	723.9	94	64	75	E 1	E 1	NE 1	10	9	10	.
21	8.6	17.2	10.4	12.1	-1.7	723.8	722.2	721.5	92	46	82	NE 1	S 2	NW 1	4	8	9	0.8
22	9.4	16.2	10.9	12.2	-1.7	719.5	718.2	716.4	84	42	61	N 1	ENE 2	NNE 2	4	6	0	.
23	8.1	15.9	11.8	11.9	-2.1	715.3	715.2	717.2	83	43	48	N 1	NW 1	NNW 2	3	7	9	.
24	9.6	16.6	11.7	12.6	-1.5	717.3	716.6	716.7	64	47	63	NE 1	E 2	NE 2	2	7	10	.
25	11.3	17.0	12.8	13.7	-0.5	715.0	714.9	716.4	81	64	73	NE 2	ENE 3	NE 3	10	10	10	.
26	9.1	7.7	5.2	7.3	-7.1	716.4	717.9	718.1	72	73	92	ENE 2	NE 3	NE 3	10	10*	10*	6.0
27	5.0	7.4	7.1	6.5	-8.0	717.5	718.8	718.2	80	72	72	NE 2	NE 3	NE 3	10	10	10	.
28	6.4	9.4	8.4	7.8	-6.8	717.0	718.0	719.2	77	65	62	NE 2	NE 2	ENE 2	10	10	10	.
29	7.1	14.9	10.8	10.9	-3.8	719.9	720.3	720.6	67	49	59	NE 2	ENE 2	NNE 2	10	4	0	.
30	7.7	18.4	10.4	12.2	-2.6	721.0	719.7	720.6	86	46	96	NE 1	SE 1	SW 0	1	8	10	4.9
31	10.8	18.7	12.7	14.1	-0.8	721.1	720.5	721.6	95	59	77	SW 0	SSE 1	NE 1	9	3	10	1.9
Mittel	8.2	14.5	10.0	10.9	—	718.7	718.4	718.8	79	53	69				5.9	6.6	6.5	44.6

Mai 1957

Beobachter: Frl. H. Nager

Altdorf

λ = 8° 38', β = 46° 53'

H_b = 456.3 m, G = -0.08 mm

Table with columns: Tag, Lufttemperatur (7:30, 13:30, 21:30, Mittel, Abweich. von Normalst), Luftdruck (7:30, 13:30, 21:30), Relative Feuchtigkeit (7:30, 13:30, 21:30), Windrichtung und Stärke (7:30, 13:30, 21:30), Bewölkung (7:30, 13:30, 21:30), Wiederschlag, Witterung. Rows 1-31 and Mittel.

Mai 1957

Beobachter: Observatoire

Genève

λ = 6° 09', β = 46° 12'

H_b = 405.0 m, G = -0.05 mm

Table with columns: Tag, Lufttemperatur (7:30, 13:30, 21:30, Mittel, Abweich. von Normalst), Luftdruck (7:30, 13:30, 21:30), Relative Feuchtigkeit (7:30, 13:30, 21:30), Windrichtung und Stärke (7:30, 13:30, 21:30), Bewölkung (7:30, 13:30, 21:30), Wiederschlag, Witterung. Rows 1-31 and Mittel.

λ = 8° 34', β = 47° 23',
H_b = 569.4 m, G = -0.01 mm

Zürich

Mai 1957
Beobachter: Meteorologische Zentralanstalt

Table with columns for Tag, Lufttemperatur (7:30, 13:30, 21:30, Mittel, Abweich. vom Normalist), Luftdruck (7:30, 13:30, 21:30), Relative Feuchtigkeit (7:30, 13:30, 21:30), Windrichtung und Stärke (7:30, 13:30, 21:30), Bewölkung (7:30, 13:30, 21:30), Niederschlag, and Witterung.

λ = 6° 32', β = 46° 51',
H_b = 1601 m, G = -0.16 mm

Chasseron

Mai 1957
Beobachter: J. Liardon

Table with columns for Tag, Lufttemperatur (7:30, 13:30, 21:30, Mittel, Abweich. vom Normalist), Luftdruck (7:30, 13:30, 21:30), Relative Feuchtigkeit (7:30, 13:30, 21:30), Windrichtung und Stärke (7:30, 13:30, 21:30), Bewölkung (7:30, 13:30, 21:30), Niederschlag, and Witterung.

* 6. ≡ n-9, 11½-15, 17-n, n-n, n III 11. ≡ n (11, 12), n-n mU 15. n-p-n 16. n-n mU 18. ≡ n-6, n-p-n 19. ≡ n-n, n III 20. n I 21. n a-n, n III 30. n (30, 31), ≡ 15 n

Mai 1957

Beobachter: Stationspersonal Rh. B.

Bever

λ = 9° 53', β = 46° 33'

H_b = 1711.8 m, G = -0.26 mm

Table with columns: Tag, Lufttemperatur (7:30, 13:30, 21:30, Mittel, Abweich. vom Normalst), Luftdruck (7:30, 13:30, 21:30), Relative Feuchtigkeit (7:30, 13:30, 21:30), Windrichtung und Stärke (7:30, 13:30, 21:30), Bewölkung (7:30, 13:30, 21:30), Niederschlag, Witterung. Rows 1-31 and Mittel.

Mai 1957

Beobachter: Couvent des Capucins

Sion

λ = 7° 22', β = 46° 14'

H_b = 548.6 m, G = -0.14 mm

Table with columns: Tag, Lufttemperatur (7:30, 13:30, 21:30, Mittel, Abweich. vom Normalst), Luftdruck (7:30, 13:30, 21:30), Relative Feuchtigkeit (7:30, 13:30, 21:30), Windrichtung und Stärke (7:30, 13:30, 21:30), Bewölkung (7:30, 13:30, 21:30), Niederschlag, Witterung. Rows 1-31 and Mittel.

λ = 8° 34', β = 47° 23', H_b = 569.4 m, G = -0.01 mm

Zürich

Juni 1957 Beobachter: Meteorologische Zentralanstalt

Table with columns: Tag, Lufttemperatur (7:30, 13:30, 21:30, Mittel, Abweich. vom Normalst), Luftdruck (7:30, 13:30, 21:30), Relative Feuchtigkeit (7:30, 13:30, 21:30), Windrichtung und Stärke (7:30, 13:30, 21:30), Bewölkung (7:30, 13:30, 21:30), Niederschlag, Witterung. Rows 1-30 and Mittel.

*) 21. K 18%-18%, 19%-20%, Δ I 22. K 13-13%, 17% 24. K 13, 13-13%, 14-21%

λ = 6° 32', β = 46° 51', H_b = 1601 m, G = -0.16 mm

Chasseron

Juni 1957 Beobachter: J. Liardon

Table with columns: Tag, Lufttemperatur (7:30, 13:30, 21:30, Mittel, Abweich. vom Normalst), Luftdruck (7:30, 13:30, 21:30), Relative Feuchtigkeit (7:30, 13:30, 21:30), Windrichtung und Stärke (7:30, 13:30, 21:30), Bewölkung (7:30, 13:30, 21:30), Niederschlag, Witterung. Rows 1-30 and Mittel.

*) 7. ≡ 11-13, 16-n mU, 9. ≡ 15-n, 11. ≡ 2 n-n 12. ≡ 2 n-n 20. K 12%-15%, 17%-18%, ▲ 11%-11%, 21. p-n 22. ≡ n-9%, n-n

Juni 1957

Beobachter: Stationspersonal Rh. B.

Bever

λ = 9° 53', β = 46° 33'

H_b = 1711.8 m, G = -0.26 mm

Table with columns: Tag, Lufttemperatur (7:30, 13:30, 21:30, Mittel, Abweich. vom Normal), Luftdruck (7:30, 13:30, 21:30), Relative Feuchtigkeit (7:30, 13:30, 21:30), Windrichtung und Stärke (7:30, 13:30, 21:30), Bewölkung (7:30, 13:30, 21:30), Niederschlag, Witterung. Rows 1-30 and Mittel.

Juni 1957

Beobachter: Couvent des Capucins

Sion

λ = 7° 22', β = 46° 14'

H_b = 548.6 m, G = -0.14 mm

Table with columns: Tag, Lufttemperatur (7:30, 13:30, 21:30, Mittel, Abweich. vom Normal), Luftdruck (7:30, 13:30, 21:30), Relative Feuchtigkeit (7:30, 13:30, 21:30), Windrichtung und Stärke (7:30, 13:30, 21:30), Bewölkung (7:30, 13:30, 21:30), Niederschlag, Witterung. Rows 1-30 and Mittel.

Juni 1957

Beobachter: Observatorium

Säntis

λ = 9° 21', β = 47° 15'

H_b = 2500.1 m, G = -0.29 mm

Table with columns: Tag, Lufttemperatur (7:30, 13:30, 21:30, Mittel, Abweich. vom Normalst), Luftdruck (7:30, 13:30, 21:30), Relative Feuchtigkeit (7:30, 13:30, 21:30), Windrichtung und Stärke (7:30, 13:30, 21:30), Bewölkung (7:30, 13:30, 21:30), Niederschlag, Witterung. Rows 1-30 and Mittel.

Juni 1957

Beobachter: E. Chiesa

St. Gotthard (Hospiz)

λ = 8° 34', β = 46° 33'

H_b = 2095 m, G = -0.27 mm

Table with columns: Tag, Lufttemperatur (7:30, 13:30, 21:30, Mittel, Abweich. vom Normalst), Luftdruck (7:30, 13:30, 21:30), Relative Feuchtigkeit (7:30, 13:30, 21:30), Windrichtung und Stärke (7:30, 13:30, 21:30), Bewölkung (7:30, 13:30, 21:30), Niederschlag, Witterung. Rows 1-30 and Mittel.

) Säntis: 3. Δ 18%-18%, ≡ 15%-n 4. 8-10% mU, ∇ 15-15%, 16-17. ● 20%-n, ≡ n-n, ∇ p-n 5. ∇ 17%-17%, ≡ n-n, ∇ n-p 7. ∇ 11-12. ● 15%-15%, ● 16%-19, ≡ n-7, 9%-n 8. ⊕ 16%, ∇ III 9. 17-n, ≡ n-6%, 16%-18%, 19%-n 11. ●* 18%-19%, * 19%-n, ≡ n-5%, 10%-n 12. ≡ n-18%, √ n-12 16. ● 17%-18%, ▲ 18%, K 17%-18%, ≡ 16%-17% 17. ● 14%-14%, K 14%-15% 22. K 14%-14%, 18%-18%, ▲ 14%, ≡ 13%-n, ∇ n-a 23. ≡ 9%-n 24. ●* 15%-n, K 15%, ≡ 14%-n, ∇ p-n 25. ∇ 14-17% mU, ≡ n-n St. Gotthard: 11. ≡ 2 n-a, 15%-n

Juli 1957

Beobachter: Frl. H. Nager

Altdorf

λ = 8° 38', β = 46° 53',

H₀ = 456.3 m, G = -0.08 mm

Table with columns: Tag, Lufttemperatur (7:00, 13:00, 21:00, Mittel, Abweich. vom Normalist), Luftdruck (7:00, 13:00, 21:00), Relative Feuchtigkeit (7:00, 13:00, 21:00), Windrichtung und Stärke (7:00, 13:00, 21:00), Bewölkung (7:00, 13:00, 21:00), Niederschlag, Witterung. Rows 1-31 and Mittel.

Juli 1957

Beobachter: Observatoire

Genève

λ = 6° 09', β = 46° 12',

H₀ = 405.0 m, G = -0.05 mm

Table with columns: Tag, Lufttemperatur (7:00, 13:00, 21:00, Mittel, Abweich. vom Normalist), Luftdruck (7:00, 13:00, 21:00), Relative Feuchtigkeit (7:00, 13:00, 21:00), Windrichtung und Stärke (7:00, 13:00, 21:00), Bewölkung (7:00, 13:00, 21:00), Niederschlag, Witterung. Rows 1-31 and Mittel.

*) 19. ● 22½-24, K 19% 21. ● 16½-17, 21½-n 22. ● 14½-16½, 23½-24½

λ = 8° 34', β = 47° 23',
H_b = 569.4 m, G = -0.01 mm

Zürich

Juli 1957
Beobachter: Meteorologische Zentralanstalt

Table with 21 columns: Tag, Lufttemperatur (7:30, 13:30, 21:30, Mittel, Abweich.), Luftdruck (7:30, 13:30, 21:30), Relative Feuchtigkeit (7:30, 13:30, 21:30), Windrichtung und Stärke (7:30, 13:30, 21:30), Bewölkung (7:30, 13:30, 21:30), Niederschlag, Witterung. Rows 1-31 and Mittel.

*) 20. ● 11½-12%, 13%-16, 21%-22%, ↗ 8%-11% 21. ● 17-17%, 19%-20%, 22%-n, ↗ 10%-p

λ = 6° 32', β = 46° 51',
H_b = 1601 m, G = -0.16 mm

Chasseron

Juli 1957
Beobachter: J. Liardon

Table with 21 columns: Tag, Lufttemperatur (7:30, 13:30, 21:30, Mittel, Abweich.), Luftdruck (7:30, 13:30, 21:30), Relative Feuchtigkeit (7:30, 13:30, 21:30), Windrichtung und Stärke (7:30, 13:30, 21:30), Bewölkung (7:30, 13:30, 21:30), Niederschlag, Witterung. Rows 1-31 and Mittel.

*) 10. ≡ n-9%, 11%-n, ↗ n-n, ↗ II 15. ≡ 15½-16%, 19%-n, ↗ a-n, ↗ III 16. ∇ 18½-19, n (16./U.), ≡ n-9%, ↗ n-p

Juli 1957

Beobachter: Stationspersonal Rh. B.

Bever

λ = 9° 53', β = 46° 33'

H_b = 1711.8 m, G = -0.26 mm

Table with columns: Tag, Lufttemperatur (7:30, 13:30, 21:00, Mittel, Abweich. von Normalst), Luftdruck (7:30, 13:30, 21:30), Relative Feuchtigkeit (7:30, 13:30, 21:30), Windrichtung und Stärke (7:30, 13:30, 21:30), Bewölkung (7:30, 13:30, 21:30), Niederschlag, and Witterung. Rows 1-31 and Mittel.

Juli 1957

Beobachter: Couvent des Capucins

Sion

λ = 7° 22', β = 46° 14'

H_b = 548.6 m, G = -0.14 mm

Table with columns: Tag, Lufttemperatur (7:30, 13:30, 21:00, Mittel, Abweich. von Normalst), Luftdruck (7:30, 13:30, 21:30), Relative Feuchtigkeit (7:30, 13:30, 21:30), Windrichtung und Stärke (7:30, 13:30, 21:30), Bewölkung (7:30, 13:30, 21:30), Niederschlag, and Witterung. Rows 1-31 and Mittel.

August 1957

Beobachter: Stationspersonal Rh. B.

Bever

λ = 9° 53', β = 46° 33'

H_b = 1711.8 m, G = -0.26 mm

Table with columns: Tag, Lufttemperatur (730, 1330, 2130, Mittel, Abweich. vom Normalst), Luftdruck (730, 1330, 2130), Relative Feuchtigkeit (730, 1330, 2130), Windrichtung und Stärke (730, 1330, 2130), Bewölkung (730, 1330, 2130), Niederschlag, Witterung. Rows 1-31 and Mittel.

August 1957

Beobachter: Couvent des Capucins

Sion

λ = 7° 22', β = 46° 14'

H_b = 548.6 m, G = -0.14 mm

Table with columns: Tag, Lufttemperatur (730, 1330, 2130, Mittel, Abweich. vom Normalst), Luftdruck (730, 1330, 2130), Relative Feuchtigkeit (730, 1330, 2130), Windrichtung und Stärke (730, 1330, 2130), Bewölkung (730, 1330, 2130), Niederschlag, Witterung. Rows 1-31 and Mittel.

August 1957

Beobachter: *Observatorium*

Säntis

$\lambda = 9^{\circ} 21', \beta = 47^{\circ} 15'$

$H_b = 2500.1 \text{ m}, G = -0.29 \text{ mm}$

Table with columns: Tag, Lufttemperatur (730, 1330, 2130, Mittel, Abweicht. von Normalst), Luftdruck (730, 1330, 2130), Relative Feuchtigkeit (730, 1330, 2130), Windrichtung und Stärke (730, 1330, 2130), Bewölkung (730, 1330, 2130), Niederschlag, Witterung. Rows 1-31 and Mittel.

August 1957

Beobachter: *E. Chiesa*

St. Gotthard (Hospiz)

$\lambda = 8^{\circ} 34', \beta = 46^{\circ} 33'$

$H_b = 2095 \text{ m}, G = -0.27 \text{ mm}$

Table with columns: Tag, Lufttemperatur (730, 1330, 2130, Mittel, Abweicht. von Normalst), Luftdruck (730, 1330, 2130), Relative Feuchtigkeit (730, 1330, 2130), Windrichtung und Stärke (730, 1330, 2130), Bewölkung (730, 1330, 2130), Niederschlag, Witterung. Rows 1-31 and Mittel.

*) Säntis: 6. \equiv 11-12%, 13%-14%, 19%-n 8. \equiv 9%-10%, 15%-17% mU 9. \equiv 17%-n, ∇ III 11. ∇ 18%-18%, \equiv ∇ p-n 12. \bullet 23%-n, \equiv n-7% mU, 13%-17%, ∇ n-a 13. ∇ 16%-17, \equiv 7-9 mU, 12%-19% 14. ∇ 0-1%, 5%-6, \equiv n-14%, 15-15% 15. ∇ 18, \equiv 16-n 19. * 14%-17 mU, \equiv n-n 23. ∇ 16%-18, \blacktriangle 17%-17%, \equiv 12%-19 mU 24. ∇ 15-n, \equiv n-7%, 9%-10%, 11%-n mU 28. * 14%-14%, \equiv n-n, ∇ n-11

*) St. Gotthard: 8. \equiv 11%-n 18. \equiv 17-21 mU, ∇ p n 19. \equiv n-n, ∇ n-n mU 20. ∇ n-a

λ = 7° 26', β = 46° 57',
H_b = 572.2 m, C = -0.04 mm

Bern

September 1957
Beobachter: Meteorologisches Observatorium

Table with columns for Tag, Lufttemperatur, Luftdruck, Relative Feuchtigkeit, Windrichtung und Stärke, Bewölkung, Niederschlag, and Witterung. Data rows for days 1-30 and a Mittel row.

λ = 6° 57', β = 47° 00',
H_b = 487.3 m, C = 0.00 mm

Neuchâtel

September 1957
Beobachter: Observatorium

Table with columns for Tag, Lufttemperatur, Luftdruck, Relative Feuchtigkeit, Windrichtung und Stärke, Bewölkung, Niederschlag, and Witterung. Data rows for days 1-30 and a Mittel row.

September 1957

Beobachter: Frl. H. Nager

Altdorf

λ = 8° 38', β = 46° 53'

H_b = 456.3 m, G = -0.08 mm

Table with columns: Tag, Lufttemperatur (730, 1330, 2130, Mittel, Abweich. vom Normalst), Luftdruck (730, 1330, 2130), Relative Feuchtigkeit (730, 1330, 2130), Windrichtung und Stärke (730, 1330, 2130), Bewölkung (730, 1330, 2130), Niederschlag, Witterung. Rows 1-30 and Mittel.

September 1957

Beobachter: Observatoire

Genève

λ = 6° 09', β = 46° 12'

H_b = 405.0 m, G = -0.05 mm

Table with columns: Tag, Lufttemperatur (730, 1330, 2130, Mittel, Abweich. vom Normalst), Luftdruck (730, 1330, 2130), Relative Feuchtigkeit (730, 1330, 2130), Windrichtung und Stärke (730, 1330, 2130), Bewölkung (730, 1330, 2130), Niederschlag, Witterung. Rows 1-30 and Mittel.

September 1957

Beobachter: Observatorium

Säntis

λ = 9° 21', β = 47° 15'

H_b = 2500.1 m, G = -0.29 mm

Table with columns: Tag, Lufttemperatur (7:00, 13:00, 21:00, Mittel, Abweich. vom Normalst), Luftdruck (7:00, 13:00, 21:00), Relative Feuchtigkeit (7:00, 13:00, 21:00), Windrichtung und Stärke (7:00, 13:00, 21:00), Bewölkung (7:00, 13:00, 21:00), Niederschlag, Witterung. Rows 1-30 and Mittel.

September 1957

Beobachter: E. Chiesa

St. Gotthard (Hospiz)

λ = 8° 34', β = 46° 33'

H_b = 2095 m, G = -0.27 mm

Table with columns: Tag, Lufttemperatur (7:00, 13:00, 21:00, Mittel, Abweich. vom Normalst), Luftdruck (7:00, 13:00, 21:00), Relative Feuchtigkeit (7:00, 13:00, 21:00), Windrichtung und Stärke (7:00, 13:00, 21:00), Bewölkung (7:00, 13:00, 21:00), Niederschlag, Witterung. Rows 1-30 and Mittel.

*) Säntis: 2. K 13-13%, ≡ n-n 11. ≡ 12%-18%, p-n 12. V 9-n, n-p, p-n 13. ≡ 17%-n, II, III 24. a-n, 10% 25. ≡ n-9%, n-a 26. 13%-15 mU, Δ 20%-n, ≡ 9%, 12%-n, I

λ = 7° 26', β = 46° 57',
H_b = 572.2 m, G = -0.04 mm

Oktober 1957

Bern

Beobachter: Meteorologisches Observatorium

Table with columns: Tag, Lufttemperatur (730, 1330, 2130, Mittel, Abweich. von Normal), Luftdruck (730, 1330, 2130), Relative Feuchtigkeit (730, 1330, 2130), Windrichtung und Stärke (730, 1330, 2130), Bewölkung (730, 1330, 2130), Niederschlag, Witterung. Rows 1-31 and Mittel.

λ = 6° 57', β = 47° 00',
H_b = 487.3 m, G = 0.00 mm

Oktober 1957

Neuchâtel

Beobachter: Observatorium

Table with columns: Tag, Lufttemperatur (730, 1330, 2130, Mittel, Abweich. von Normal), Luftdruck (730, 1330, 2130), Relative Feuchtigkeit (730, 1330, 2130), Windrichtung und Stärke (730, 1330, 2130), Bewölkung (730, 1330, 2130), Niederschlag, Witterung. Rows 1-31 and Mittel.

λ = 8° 34', β = 47° 23',
H_b = 569.4 m, G = -0.01 mm

Zürich

Oktober 1957
Beobachter: Meteorologische Zentralanstalt

Table with columns: Tag, Lufttemperatur (7:30, 13:30, 21:30, Mittel, Abweich. vom Normalst), Luftdruck (7:30, 13:30, 21:30), Relative Feuchtigkeit (7:30, 13:30, 21:30), Windrichtung und Stärke (7:30, 13:30, 21:30), Bewölkung (7:30, 13:30, 21:30), Niederschlag, Witterung. Rows 1-31 and Mittel.

* 20. ● 22-23%, △ III

λ = 6° 32', β = 46° 51',
H_b = 1601 m, G = -0.16 mm

Chasseron

Oktober 1957
Beobachter: J. Liardon

Table with columns: Tag, Lufttemperatur (7:30, 13:30, 21:30, Mittel), Luftdruck (7:30, 13:30, 21:30), Relative Feuchtigkeit (7:30, 13:30, 21:30), Windrichtung und Stärke (7:30, 13:30, 21:30), Bewölkung (7:30, 13:30, 21:30), Niederschlag, Witterung. Rows 1-31 and Mittel.

Oktober 1957

Beobachter: Stationspersonal Rh. B.

Bever

λ = 9° 53', β = 46° 33', H_b = 1711.8 m, G = -0.26 mm

Table with columns: Tag, Lufttemperatur (730, 1330, 2130, Mittel, Abweich. von Normalwert), Luftdruck (730, 1330, 2130), Relative Feuchtigkeit (730, 1330, 2130), Windrichtung und Stärke (730, 1330, 2130), Bewölkung (730, 1330, 2130), Niederschlag, Witterung. Rows 1-31 and Mittel.

Oktober 1957

Beobachter: Couvent des Capucins

Sion

λ = 7° 22', β = 46° 14', H_b = 548.6 m, G = -0.14 mm

Table with columns: Tag, Lufttemperatur (730, 1330, 2130, Mittel, Abweich. von Normalwert), Luftdruck (730, 1330, 2130), Relative Feuchtigkeit (730, 1330, 2130), Windrichtung und Stärke (730, 1330, 2130), Bewölkung (730, 1330, 2130), Niederschlag, Witterung. Rows 1-31 and Mittel.

Oktober 1957

Beobachter: Observatorium

Santis

λ = 9° 21', β = 47° 15'

H₀ = 2500.1 m, C = -0.29 mm

Table with columns: Tag, Lufttemperatur (730, 1330, 2130, Mittel, Abweich. vom Normalst), Luftdruck (730, 1330, 2130), Relative Feuchtigkeit (730, 1330, 2130), Windrichtung und Stärke (730, 1330, 2130), Bewölkung (730, 1330, 2130), Niederschlag, Witterung. Rows 1-31 and Mittel.

Oktober 1957

Beobachter: E. Chiesa

St. Gotthard (Hospiz)

λ = 8° 34', β = 46° 33'

H₀ = 2095 m, C = -0.27 mm

Table with columns: Tag, Lufttemperatur (730, 1330, 2130, Mittel, Abweich. vom Normalst), Luftdruck (730, 1330, 2130), Relative Feuchtigkeit (730, 1330, 2130), Windrichtung und Stärke (730, 1330, 2130), Bewölkung (730, 1330, 2130), Niederschlag, Witterung. Rows 1-31 and Mittel.

λ = 7° 26', β = 46° 57',
H_b = 572.2 m, G = -0.04 mm

Bern

November 1957
Beobachter: Meteorologisches Observatorium

Table with columns: Tag, Lufttemperatur (730, 1330, 2130, Mittel, Abweich. vom Normalst), Luftdruck (730, 1330, 2130), Relative Feuchtigkeit (730, 1330, 2130), Windrichtung und Stärke (730, 1330, 2130), Bewölkung (730, 1330, 2130), Niederschlag, Witterung. Rows 1-30 and Mittel.

λ = 6° 57', β = 47° 00',
H_b = 487.3 m, G = 0.00 mm

Neuchâtel

November 1957
Beobachter: Observatorium

Table with columns: Tag, Lufttemperatur (730, 1330, 2130, Mittel, Abweich. vom Normalst), Luftdruck (730, 1330, 2130), Relative Feuchtigkeit (730, 1330, 2130), Windrichtung und Stärke (730, 1330, 2130), Bewölkung (730, 1330, 2130), Niederschlag, Witterung. Rows 1-30 and Mittel.

λ = 8° 34', β = 47° 23',
H_b = 569.4 m, G = -0.01 mm

Zürich

November 1957
Beobachter: Meteorologische Zentralanstalt

Tag	Lufttemperatur					Luftdruck			Relative Feuchtigkeit			Windrichtung und Stärke			Bewölkung			Miederschlag	Witterung	
	7 ³⁰	13 ³⁰	21 ³⁰	Mittel	Abweich. vom Normalst	7 ³⁰	13 ³⁰	21 ³⁰	7 ³⁰	13 ³⁰	21 ³⁰	7 ³⁰	13 ³⁰	21 ³⁰	7 ³⁰	13 ³⁰	21 ³⁰			
1	6.1	12.9	8.2	9.1	4.0	708.6	708.3	709.9	81	55	70	S	1 WSW	2 SW	1	1	9	10	0.0	Δ I, III
2	6.7	8.7	4.6	6.7	1.8	709.5	709.3	709.5	86	64	94	NNE	1 NNW	1 ESE	1	9	7	2	0.0	Δ I, III
3	2.1	7.3	2.1	3.8	-1.0	708.5	708.0	708.3	98	72	98	SSW	1 SSW	1 NNE	1	10	1	1	0.2	≡ n-12, Δ I, III
4	0.9	8.9	7.3	5.7	1.1	706.7	707.3	704.9	98	77	76	NE	1 SSW	1 NNE	2	10	10	7	0.0	≡ n-11%, Δ I, III
5	5.3	13.2	6.9	8.5	4.0	701.3	701.8	704.2	82	56	86	NE	2 WSW	0 W	1	7	10	9	.	Δ I, III
6	6.5	7.7	6.9	7.0	2.7	704.3	701.1	703.7	86	85	92	NE	1 ENE	1 S	1	10	10	10	5.7	● 18%-24%
7	5.9	8.6	5.9	6.8	2.6	704.7	704.1	702.5	93	66	95	WNW	1 NW	1 N	1	7	10	10	3.2	● 16%-20%
8	4.5	5.6	5.1	5.1	1.1	702.2	702.3	702.7	98	87	94	WSW	1 WNW	1 WNW	1	10	10	10	6.0	● 16%-24%, ≡ n-9% mU
9	5.4	6.9	6.2	6.2	2.3	702.7	701.5	700.9	92	83	87	NE	1 NNE	1 NNE	2	10	10	10	0.1	Δ III
10	5.8	6.5	4.9	5.7	2.0	700.2	699.0	700.6	91	84	98	NNE	1 NNE	1 W	1	10	10	10	5.5	● 18% n
11	4.9	5.8	5.2	5.3	1.7	705.0	708.0	712.3	96	92	93	SW	1 SW	1 SSW	1	10	10	10	6.6	● 9 n-8%, 9%-13, 18%-n
12	5.4	7.3	6.5	6.4	3.0	714.0	714.1	714.1	86	87	87	ENE	1 NNE	1 NNE	1	10	10	10	0.0	● n-6, ≡ n-6%, 8%-9, Δ III
13	5.5	6.1	4.2	5.3	2.0	713.6	713.9	714.2	93	76	84	NNE	1 NNE	1 NE	1	10	10	10	.	Δ I, III
14	4.1	6.9	2.7	4.6	1.5	715.0	715.4	716.0	87	74	94	S	1 NNE	1 NE	1	10	10	0	.	Δ I, III
15	2.2	6.3	2.2	3.6	0.6	718.4	718.3	719.9	97	77	98	NE	1 NE	1 NNE	1	10	10	0	0.0	≡ n-11%, p-n, Δ I, III
16	3.5	6.2	3.9	4.5	1.7	720.5	720.9	721.9	98	85	98	S	1 SE	1 S	1	10	10	10	0.0	≡ n-12, p-n mU, Δ I, III
17	2.7	5.7	4.4	4.3	1.6	720.1	718.4	718.1	98	85	96	S	1 SW	0 NNE	1	10	10	10	4.6	● 15%-17, 18-20%, 21%-24%
18	3.9	3.3	3.0	3.4	0.9	716.3	715.9	716.5	91	90	85	N	1 NNE	1 NE	1	10	10	10	0.2	Δ III [≡ n-12, Δ I
19	1.3	2.3	1.6	1.7	-0.7	716.3	716.6	717.7	96	89	88	NE	1 NNE	1 NNE	1	10	10	10	0.2	● a, Δ III
20	0.1	1.0	-0.5	0.2	-2.0	718.4	718.6	719.4	92	82	88	NNE	1 NNW	1 NNE	1	10	10	10	.	● c p, Δ I, III
21	-0.8	1.3	1.2	0.6	-1.5	719.6	719.9	719.1	89	79	87	N	1 SW	1 SE	0	10	10	10	0.0	Δ I, III
22	0.6	-0.5	-0.6	-0.2	-2.1	715.9	713.7	713.9	87	93	78	W	1 W	1 NNW	1	10	10	10	.	Δ I, III
23	-0.7	1.5	1.5	0.8	-1.0	716.1	717.6	719.5	76	73	78	NNE	1 NNE	1 NNE	1	10	10	10	.	Δ III
24	0.8	3.7	-0.3	1.4	-0.2	719.9	719.8	720.4	71	57	86	ENE	1 ENE	1 NE	1	10	4	0	0.0	Δ III
25	-0.8	3.3	0.0	0.9	-0.6	719.9	719.5	720.0	90	68	89	ENE	1 NNE	1 ENE	1	10	3	1	.	Δ I, III
26	0.1	2.4	1.1	1.2	-0.1	719.6	719.3	720.7	98	86	95	E	1 SSW	1 S	1	10	8	10	.	≡ 7-12, Δ I
27	0.7	0.6	0.1	0.5	-0.7	720.4	720.4	720.1	98	96	97	SSE	1 NE	1 ENE	1	10	10	10	0.1	≡ n-n, Δ I, II, III
28	0.4	1.6	2.0	1.3	0.3	719.3	718.8	719.1	97	94	97	SSE	1 WSW	1 NNE	1	10	10	10	0.2	● a-p mU, ≡ n-n, Δ I
29	2.4	4.7	4.1	3.7	2.8	717.7	716.5	716.7	91	78	95	S	1 SSE	1 NE	1	10	10	10	1.9	● tr a, ● 16%-23% mU
30	-1.1	-0.7	-4.7	-2.2	-3.0	717.3	717.7	718.6	85	71	63	NE	3 NNE	2 NNE	2	10	10	1	.	✓ 3-11
Mittel	2.8	5.2	3.2	3.7	-	713.1	712.9	713.5	91	79	89					9.5	9.1	7.7	Summe	34.5

λ = 6° 32', β = 46° 51',
H_b = 1601 m, G = -0.16 mm

Chasseron

November 1957
Beobachter: J. Liardon

Tag	Lufttemperatur					Luftdruck			Relative Feuchtigkeit			Windrichtung und Stärke			Bewölkung			Miederschlag	Witterung	
	7 ³⁰	13 ³⁰	21 ³⁰	Mittel	Abweich. vom Normalst	7 ³⁰	13 ³⁰	21 ³⁰	7 ³⁰	13 ³⁰	21 ³⁰	7 ³⁰	13 ³⁰	21 ³⁰	7 ³⁰	13 ³⁰	21 ³⁰			
1	2.4	3.0	-0.5	1.6	-	626.3	626.3	626.3	100	100	100	W	4 WNW	4 NW	3	10	10	10	0.0	● 13-13%, ≡ n-n, ✓ n-n mU
2	2.8	1.6	-0.2	1.4	-	625.8	625.8	625.9	100	78	84	WNW	2 WSW	1 S	2	3	5	2	.	≡ n-9 mU, Δ I
3	0.6	5.2	3.0	2.9	-	625.1	624.9	625.5	93	67	90	S	3 S	3 S	4	4	4	3	.	Δ I, ✓ a-n mU
4	4.2	6.0	4.0	4.7	-	624.5	625.0	623.3	45	67	77	S	4 S	4 S	3	6	8	8	.	✓ n-n mU
5	7.8	7.0	-1.0	4.6	-	620.1	620.1	621.6	34	44	100	S	5 S	5 WNW	3	8	9	10	28.0	● 18-20, * 20-n, ≡ p-n, ✓ n-14%
6	-1.0	1.0	0.2	0.1	-	620.3	619.2	620.6	100	100	100	NE	3 -	0 WSW	3	10	10	10	26.0	* n-18, ≡ n-n
7	-1.4	-0.8	-1.4	-1.2	-	621.5	620.8	620.1	100	100	100	WNW	2 NNE	1 ENE	1	10	10	10	7.6	* 19%-n, ≡ n-9, 10-n
8	-2.6	-0.2	-2.4	-1.7	-	619.0	619.1	619.6	100	100	100	NNE	1 W	1 E	2	10	10	10	.	≡ n-9%, 10%-18
9	-1.0	-1.4	-0.4	-0.9	-	618.8	617.5	617.6	100	100	100	E	3 E	3 E	3	10	10	8	.	≡ n-20%
10	1.0	-0.4	-2.0	-0.5	-	617.3	616.7	617.6	75	100	100	E	2 N	2 N	2	7	10	10	8.0	● 16-19, 9-19-n, * (10./11.), ≡
11	-2.0	-1.8	-1.2	-1.7	-	621.9	625.0	627.7	100	100	100	N	2 WNW	2 NNE	2	10	10	10	0.6	* 11 a-p mU, ≡ n-n, ✓ II ¹³⁻ⁿ
12	1.0	0.8	-0.4	0.5	-	629.1	629.3	129.3	100	100	100	E	3 E	3 E	3	10	10	10	.	≡ n-n, ✓ III
13	-1.0	2.4	2.2	1.2	-	628.4	629.0	629.6	100	100	70	SE	3 WSW	2 SE	2	10	3	2	.	≡ n-13%
14	2.0	1.8	2.2	2.0	-	630.2	630.5	631.6	84	73	73	W	1 SE	2 SE	3	8	10	7	.	
15	2.8	5.8	3.8	4.1	-	634.0	634.7	635.2	59	55	62	SE	2 E	1 SE	2	7	8	8	.	
16	5.2	6.8	4.0	5.3	-	636.6	636.9	637.6	56	60	75	-	0 NW	2 NW	1	3	3	3	.	
17	2.8	2.2	0.0	1.7	-	636.0	634.0	634.4	100	100	100	W	2 W	2 WNW	2	8	10	10	3.0	● 16-18, * n (17./18.), ≡ 9%-n
18	-0.2	2.6	0.8	1.1	-	630.8	630.8	631.1	100	69	100	E	2 SSE	2 NNE	2	10	2	0	.	≡ n-7%
19	0.8	2.4	1.9	1.7	-	630.9	631.3	631.9	89	82	58	NW	2 W	2 W	2	2	3	2	.	✓ I
20	2.0	4.8	0.0	2.3	-	632.1	632.3	632.6	44	42	71	E	1 -	0 SE	1	4	4	3	.	
21	-6.0	-4.8	-4.0	-4.9	-	632.7	633.1	632.6	100	100	100	SSE	2 W	2 WSW	2	10	10	10	.	≡ n-n
22	-4.9	0.6	-3.8	-2.7	-	630.0	628.3	627.5	100	28	44	S	2 W	3 N	2	10	2	3	.	≡ √ n-8%
23	-4.8	-3.8	-6.2	-4.9	-	628.8	630.4	631.6	100	100	100	E	4 E	4 E	4	6	3	10	.	≡ √ 18%-n, ✓ n-n
24	-6.8	-4.1	-1.0	-4.0	-	631.6	632.8	633.5	100	100	38	ENE	4 E	3 E	4	10	4	2	.	≡ n-11%, ✓ n-n, ✓ n-n
25	1.0	3.6	5.6	3.4	-	632.5	633.3	633.7	30	41	34	E	3 E	4 E	4	3	3	0	.	✓ n-n mU
26	6.0	6.6	5.4	6.0	-	634.4	635.0	635.1	83	85	86	E	4 E	2 E	3	2	2	0	.	✓ n-a
27	6.8	8.0	4.4	6.4	-	636.3	635.8	634.8	64	65	55	E	2 E	2 E	2	2	2	0	.	
28	4.4	6.6	4.1	5.0	-	634.0	633.5	633.3	44	46	45	E	1 E	1 E	2	0	0	2	.	
29	0.8	4.2	1.0	2.0	-	632.1	631.8	630.7	95	85	100	E	4 E	4 E	4	5	7	10	.	≡ 15%-n, ✓ n-n
30	1.2	0.0	-3.6	-0.8	-	629.0	629.8	629.5	44	25	23	E	4 E	4 E	4	5	2	2	.	✓ n-n
Mittel	0.8	2.2	0.5	1.2	-	628.3	628.4	628.7	81	77	79					6.8	6.1	5.8	Summe	73.2

λ = 8° 58', β = 46° 00',
H_b = 276.2 m, C = -0.04 mm

Lugano

November 1957
Beobachter: G. Vicari

Tag	Lufttemperatur					Luftdruck			Relative Feuchtigkeit			Windrichtung und Stärke			Bewölkung			Niederschlag	Witterung
	7 ³⁰	13 ³⁰	21 ³⁰	Mittel	Abweich. vom Normalst	7 ³⁰	13 ³⁰	21 ³⁰	7 ³⁰	13 ³⁰	21 ³⁰	7 ³⁰	13 ³⁰	21 ³⁰	7 ³⁰	13 ³⁰	21 ³⁰		
1	6.4	17.2	12.2	11.9	2.6	736.1	734.3	734.3	98	56	98	NNE 1	SSE 1	W 0	10	4	10	15.7	● n (1./2.)
2	11.2	11.2	10.4	10.9	1.7	734.1	734.9	736.0	99	97	98	N 1	S 1	NNW 0	10	10	10	7.8	● n-13%
3	10.0	10.6	10.2	10.3	1.3	736.3	737.0	737.8	97	98	93	N 1	SSE 1	S 1	10	10	10	8.0	● n-n mU
4	9.8	12.8	9.8	10.8	1.9	738.3	738.3	737.8	95	83	98	NW 0	NNE 1	S 0	9	9	10	0.5	● p mU
5	10.2	12.4	10.8	11.1	2.4	736.8	735.8	734.7	96	94	99	SW 1	S 1	NNW 0	8	10	10	38.8	● n-n mU
6	9.8	9.6	12.2	10.5	1.9	730.9	729.9	728.8	96	97	85	W 1	N 1	NNE 1	10	10	10	63.8	● n-p mU
7	9.8	8.4	8.2	8.8	0.4	730.6	730.0	729.3	88	98	98	N 1	SSW 1	W 0	8	10	10	39.7	● 11-17%
8	6.8	9.4	7.8	8.0	-0.3	728.7	727.7	727.1	96	87	98	N 1	NNE 1	S 0	10	10	10	4.8	● 9 11-18% mU, ● n (5./9.)
9	6.8	10.4	7.2	8.1	0.0	730.2	730.3	730.2	97	76	97	W 0	S 1	W 0	9	10	10	38.6	● 12% - 18% mU, n (9./10.)
10	6.9	9.8	8.4	8.4	0.4	727.0	723.8	724.5	97	89	95	N 1	W 1	N 1	10	10	10	28.2	● p-n mU
11	6.6	13.8	8.6	9.7	1.9	728.5	729.7	733.5	96	65	93	N 1	SE 1	N 1	3	5	9	.	.
12	6.4	17.6	9.6	11.2	3.5	734.0	734.3	736.9	95	43	89	N 1	ESE 1	N 1	2	1	0	.	.
13	7.4	11.2	9.8	9.5	2.0	740.7	740.7	741.1	96	84	96	ESE 1	S 0	NNW 0	10	10	10	0.1	● n (13./14.)
14	8.8	8.4	8.4	8.5	1.1	742.9	744.2	745.0	97	98	96	S 1	SW 1	S 0	10	10	10	1.9	● n-14%
15	8.2	11.4	8.8	9.5	2.3	747.0	747.1	747.4	96	63	81	NNW 0	S 1	N 1	10	9	8	.	.
16	3.8	13.4	6.4	7.9	0.8	747.5	746.3	747.5	97	55	92	N 1	SSE 1	N 1	0	0	0	.	.
17	3.6	14.2	5.6	7.8	0.8	747.1	745.0	744.2	96	43	81	N 1	S 1	N 1	0	0	3	.	.
18	5.2	12.4	8.4	8.7	1.9	743.0	742.8	743.6	87	58	91	N 1	SSW 2	W 0	6	1	10	.	.
19	6.8	8.2	4.6	6.5	-0.2	743.6	743.2	744.2	86	66	89	NE 1	S 1	NNW 1	10	9	2	.	.
20	4.2	5.6	4.4	4.7	-1.8	745.5	746.0	747.9	96	68	82	NNE 1	SSW 1	S 1	10	10	10	.	.
21	1.6	10.4	2.2	4.7	-1.7	748.7	747.8	746.7	94	48	83	N 1	SE 1	N 1	0	1	0	.	.
22	0.2	9.8	2.4	4.1	-2.1	743.7	740.8	740.1	96	54	93	NNW 1	E 1	N 1	0	0	0	.	.
23	3.4	10.2	4.4	6.0	-0.1	740.3	740.1	741.9	93	59	89	NNW 1	S 1	NNE 1	9	5	0	.	.
24	4.8	12.8	4.8	7.5	1.5	743.5	744.2	744.6	93	53	89	NNW 1	SE 1	N 1	9	1	0	.	.
25	1.8	11.4	4.8	6.0	0.2	744.7	744.1	744.0	97	55	89	N 1	E 1	N 1	5	3	0	.	.
26	3.8	13.8	5.6	7.7	2.0	745.1	744.6	745.0	92	51	82	NNE 1	SSW 1	N 1	9	0	0	.	.
27	3.6	13.8	6.2	7.9	2.4	743.7	741.8	741.0	89	51	87	NNW 1	S 1	N 1	0	0	0	.	.
28	3.0	13.2	5.8	7.3	1.9	742.1	741.1	740.9	93	56	91	N 1	SSW 1	N 1	0	0	0	.	.
29	3.4	21.4	13.2	12.7	7.5	737.3	735.3	734.6	92	26	35	N 1	NNE 2	NNE 2	3	2	3	.	.
30	9.2	8.6	5.2	7.7	2.6	737.2	739.2	741.9	81	85	81	S 1	SW 1	SW 1	1	9	10	.	.
Mittel	6.1	11.8	7.6	8.5	—	739.2	738.7	739.1	94	69	89				6.4	5.6	5.8	Summe 247.9	

λ = 7° 35', β = 47° 33',
H_b = 317.3 m, C = 0.08 mm

Basel

November 1957
Beobachter: Astronom.-Meteorol. Anstalt

1	4.6	13.1	7.2	8.3	2.5	731.1	731.1	732.3	96	69	74	E 0	WNW 2	WNW 1	4	10	8	.	.
2	2.3	11.6	2.8	5.6	0.0	732.3	732.1	732.5	95	57	91	SW 0	W 1	S 0	5	7	0	.	.
3	1.7	10.8	5.4	6.0	0.5	731.5	729.8	729.7	92	72	84	ESE 1	E 1	ESE 1	2	1	0	.	┌
4	3.3	14.6	8.1	8.7	3.3	729.0	728.9	726.7	95	40	74	ESE 1	SW 2	ENE 1	9	9	8	.	≡ 7% - 8%
5	4.8	9.0	8.2	7.3	2.1	723.8	723.8	727.2	87	73	86	ENE 1	ESE 1	WNW 0	8	10	10	5.4	≡ 22% - n
6	6.4	7.4	7.0	6.9	1.8	727.1	724.6	725.8	93	84	96	E 1	NW 1	ESE 1	10	10	10	11.3	● n-21% mU
7	5.8	8.5	6.3	6.9	1.9	727.7	727.5	726.5	91	81	96	E 0	N 0	NW 0	10	10	10	11.4	● 18% - n
8	5.2	6.2	6.0	5.8	0.9	725.7	725.6	725.6	97	96	94	WSW 1	WNW 1	ENE 0	10	10	10	3.2	● n-10, 22% - n
9	6.2	6.4	5.7	6.1	1.4	725.7	724.8	724.6	96	97	96	NW 1	NNW 1	NW 1	10	10	10	.	● n-2%, ≡ 8% - 9%
10	4.9	5.2	5.5	5.2	0.6	723.9	723.0	723.6	97	97	99	NNW 1	NNW 1	WNW 1	10	10	10	6.7	● 17% - n
11	5.6	6.5	6.3	6.1	1.6	727.9	730.7	734.8	96	92	93	WSW 1	WSW 1	WSW 1	10	10	10	2.5	● n-7%, 8% - 17 mU, 19 - 20%
12	6.4	8.1	4.0	6.1	1.8	736.8	736.8	736.9	96	95	94	WSW 0	WNW 0	NNE 0	10	10	3	.	≡ 8% - 9%
13	4.6	8.0	3.0	5.2	1.0	736.2	736.4	736.4	99	73	86	NNW 0	ESE 1	ENE 1	10	10	0	.	.
14	3.3	8.3	5.0	5.5	1.4	737.4	737.5	738.2	92	74	85	E 0	E 1	ENE 1	10	9	3	.	.
15	3.2	8.5	5.6	5.8	1.8	740.3	740.4	741.6	89	76	87	E 1	E 1	E 1	4	10	7	.	.
16	4.4	10.0	4.2	6.2	2.4	742.3	742.6	743.3	93	74	93	E 1	E 1	E 1	8	7	0	.	.
17	4.2	5.4	4.6	4.7	1.0	742.5	741.4	741.0	93	94	97	E 1	WNW 1	WNW 1	10	10	10	1.2	● 13-16%, 20% - n, ≡ 13-n
18	4.2	5.9	4.4	4.8	1.2	739.5	738.5	739.1	97	80	88	N 1	ESE 1	ENE 1	10	10	10	.	● n-5%, ≡ 8% - 9% mU
19	3.5	4.4	3.4	3.8	0.3	739.0	739.4	740.6	86	80	81	ENE 1	E 1	ENE 1	10	10	10	.	.
20	2.2	2.6	1.6	2.1	-1.2	741.4	741.8	742.5	87	76	78	ESE 1	E 1	ENE 1	10	10	10	.	.
21	0.5	1.8	1.3	1.2	-2.0	742.8	743.1	741.9	83	85	87	ENE 0	W 0	NW 0	10	10	10	.	.
22	0.2	1.2	0.4	0.6	-2.5	739.7	737.4	736.8	89	78	77	NW 1	WNW 1	NW 0	10	10	10	.	.
23	-0.4	2.4	2.0	1.3	-1.6	739.4	740.8	742.3	87	79	88	NW 1	WNW 0	SSW 0	10	10	10	.	.
24	1.6	6.0	0.5	2.7	-0.1	742.8	742.8	743.7	92	63	84	NW 1	NNE 1	ESE 0	10	8	0	.	.
25	-2.9	0.8	-0.4	-0.8	-3.5	743.1	742.6	742.8	100	98	93	ESE 0	NNW 1	S 0	10	1	0	.	≡ 16% - 11%, ┌ └
26	-2.0	5.9	-0.1	1.3	-1.3	742.6	742.2	743.5	100	77	95	E 0	S 0	SW 0	10	0	0	0.0	≡ 4-11%, 23% - 24%
27	0.2	1.8	1.6	1.2	-1.2	743.5	743.5	743.5	98	98	92	SE 0	WSW 0	E 1	10	10	10	.	≡ 5-12
28	1.8	4.1	3.5	3.1	0.8	742.3	741.7	741.5	95	90	92	N 0	SSE 0	SE 0	10	10	10	.	.
29	2.4	7.0	5.6	5.0	2.8	740.3	739.3	739.4	95	78	87	ESE 1	E 0	E 0	10	9	10	.	.
30	-0.8	3.2	-2.1	0.1	-2.0	740.2	740.6	741.4	94	57	57	NW 1	NE 1	E 1	2	1	0	.	● 9%
Mittel	2.9	6.5	3.9	4.4	—	735.9	735.7	736.2	94	79	88				8.7	8.4	6.6	Summe 41.7	

November 1957
Beobachter: *Observatorium*

Säntis

$\lambda = 9^{\circ} 21'$, $\beta = 47^{\circ} 15'$,
 $H_b = 2500.1$ m, $G = -0.29$ mm

Table with columns: Tag, Lufttemperatur (730, 1330, 2130, Mittel, Abweich. vom Normalst.), Luftdruck (730, 1330, 2130), Relative Feuchtigkeit (730, 1330, 2130), Windrichtung und Stärke (730, 1330, 2130), Bewölkung (730, 1330, 2130), Niederschlag, Witterung. Rows 1-30 and Mittel.

November 1957
Beobachter: *E. Chiesa*

St. Gotthard (Hospiz)

$\lambda = 8^{\circ} 34'$, $\beta = 46^{\circ} 33'$,
 $H_b = 2095$ m, $G = -0.27$ mm

Table with columns: Tag, Lufttemperatur (730, 1330, 2130, Mittel, Abweich. vom Normalst.), Luftdruck (730, 1330, 2130), Relative Feuchtigkeit (730, 1330, 2130), Windrichtung und Stärke (730, 1330, 2130), Bewölkung (730, 1330, 2130), Niederschlag, Witterung. Rows 1-30 and Mittel.

$\lambda = 7^\circ 26'$, $\beta = 46^\circ 57'$,
 $H_0 = 572.2 \text{ m}$, $G = -0.04 \text{ mm}$

Bern

Dezember 1957
Beobachter: Meteorologisches Observatorium

Table with columns: Tag, Lufttemperatur, Luftdruck, Relative Feuchtigkeit, Windrichtung und Stärke, Bewölkung, Niederschlag, Witterung. Rows 1-31 and Mittel. Includes summary statistics like 7.9, 7.2, 6.3 for cloud cover.

*) 8. ∇ 12% - 13%, 17-17%, \surd 23-24 9. \bullet 23% - n, ∇ 11% - 11% 19. \star 7% - 9% mU, 11% - 13%, \bullet 13% - 16% \equiv 22-n

$\lambda = 6^\circ 57'$, $\beta = 47^\circ 00'$,
 $H_0 = 487.3 \text{ m}$, $G = 0.00 \text{ mm}$

Neuchâtel

Dezember 1957
Beobachter: Observatorium

Table with columns: Tag, Lufttemperatur, Luftdruck, Relative Feuchtigkeit, Windrichtung und Stärke, Bewölkung, Niederschlag, Witterung. Rows 1-31 and Mittel. Includes summary statistics like 8.9, 8.0, 7.5 for cloud cover.

$\lambda = 8^{\circ} 58'$, $\beta = 46^{\circ} 00'$,
 $H_0 = 276.2 \text{ m}$, $G = -0.04 \text{ mm}$

Lugano

Dezember 1957
Beobachter: G. Vicari

Table with columns for Tag, Lufttemperatur (730, 1330, 2130, Mittel, Abweich. vom Normalist), Luftdruck (730, 1330, 2130), Relative Feuchtigkeit (730, 1330, 2130), Windrichtung und Stärke (730, 1330, 2130), Bewölkung (730, 1330, 2130), Niederschlag, and Witterung. It contains daily weather data for Lugano from Dec 1 to Dec 31, 1957.

$\lambda = 7^{\circ} 35'$, $\beta = 47^{\circ} 33'$,
 $H_0 = 317.3 \text{ m}$, $G = 0.08 \text{ mm}$

Basel

Dezember 1957
Beobachter: Astronom-Meteorol. Anstalt

Table with columns for Tag, Lufttemperatur (730, 1330, 2130, Mittel, Abweich. vom Normalist), Luftdruck (730, 1330, 2130), Relative Feuchtigkeit (730, 1330, 2130), Windrichtung und Stärke (730, 1330, 2130), Bewölkung (730, 1330, 2130), Niederschlag, and Witterung. It contains daily weather data for Basel from Dec 1 to Dec 31, 1957.

Säntis

Table with columns for Tag (Day), Lufttemperatur (Air Temperature), Luftdruck (Air Pressure), Relative Feuchtigkeit (Relative Humidity), Windrichtung und Stärke (Wind Direction and Force), Bewölkung (Cloudiness), Niederschlag (Precipitation), and Witterung (Weather). Rows include daily data from Dec 1 to 31 and a Mittel (Average) row.

*) 7. a-p, III 8. a-p, 9% n, a-n 11. n-p

St. Gotthard (Hospitz)

Table with columns for Tag (Day), Lufttemperatur (Air Temperature), Luftdruck (Air Pressure), Relative Feuchtigkeit (Relative Humidity), Windrichtung und Stärke (Wind Direction and Force), Bewölkung (Cloudiness), Niederschlag (Precipitation), and Witterung (Weather). Rows include daily data from Dec 1 to 31 and a Mittel (Average) row, with weather codes in the final column.

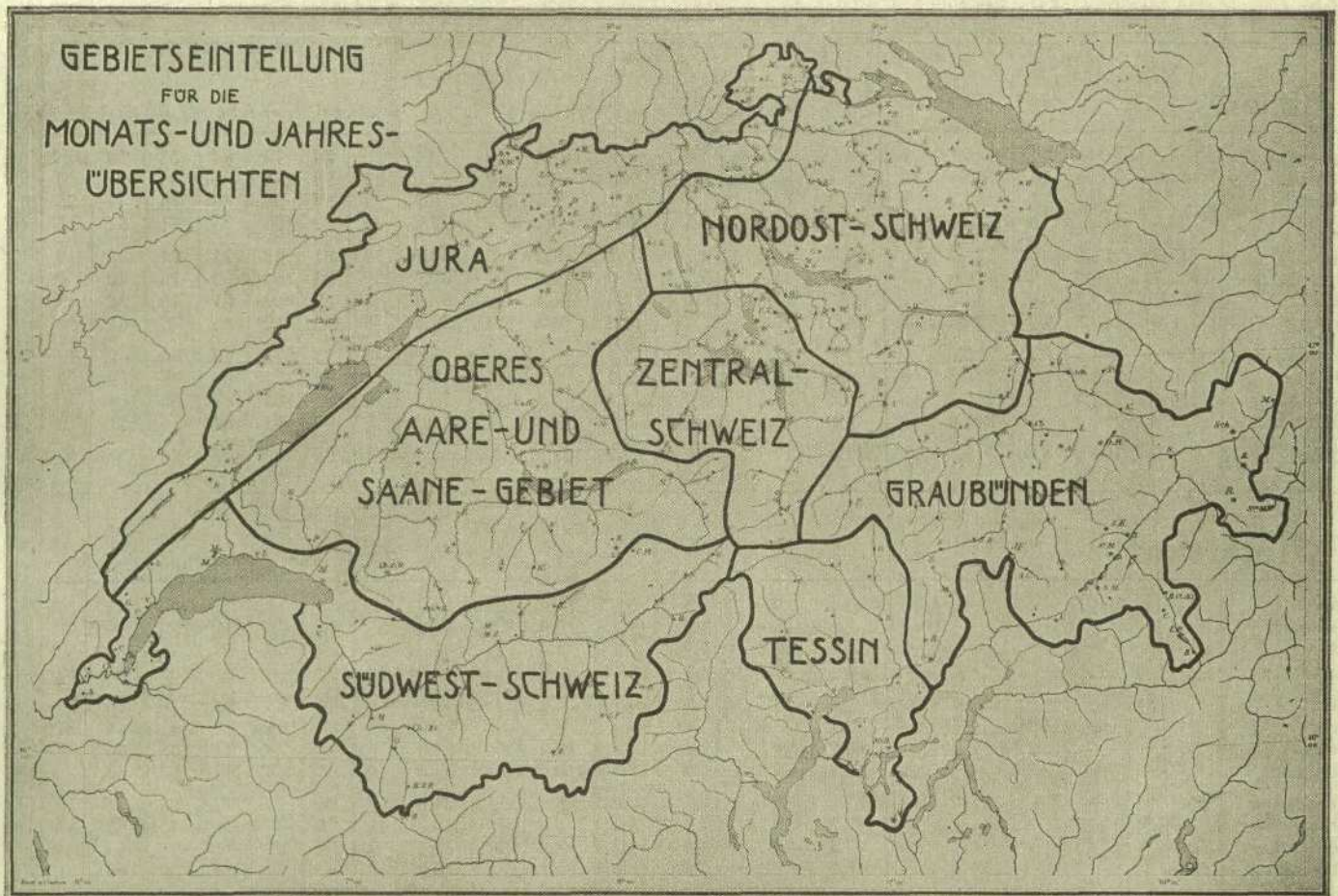
Monats- und Jahresübersichten

sämtlicher schweizerischen meteorologischen Stationen

In die hier folgenden Übersichten werden die Beobachtungsergebnisse aller schweizerischen Stationen, soweit es die Zuverlässigkeit und Vollständigkeit derselben gestatten, aufgenommen. Zu beachten ist:

1. Die Minima und Maxima bei Luftdruck, Temperatur und die Minima bei der relativen Feuchtigkeit sind stets den üblichen Terminbeobachtungen entnommen (7^{30} 13^{30} 21^{30} , resp. 7^{30} 13^{30} 20^{30}).
2. Die Monatsmittel der Temperatur werden aus den 3 Terminbeobachtungen in der Weise abgeleitet, daß der Abendbeobachtung (21^{30}) das doppelte Gewicht beigelegt ist [$m = \frac{1}{3} (7^{30} + 13^{30} + 2 \cdot 21^{30})$]. Bei den wenigen Stationen, die eine andere Kombination der Beobachtungsstunden haben, wird eine nach den stündlichen Werten von Bern und Säntis berechnete Reduktion angebracht.
3. Als Tage mit Niederschlag werden diejenigen gezählt, an denen wenigstens 0,3 mm gemessen wurden. Eine zweite Rubrik enthält die Zahl der Tage mit Niederschlagsmengen von mindestens 1,0 mm.
4. Für die Zählung der Tage mit Gewittern werden nur die Gewitter berücksichtigt, welche über der Beobachtungsstation selbst niedergehen oder in höchstens 3 km Distanz an ihr vorüberziehen. (Nahgewitter). Tage mit mehreren Gewittern werden als «Gewittertage» nur einfach gezählt.
5. Als heitere (trübe) Tage werden solche bezeichnet, deren mittlere Bewölkung < 2 (> 8) Zehntel ist.
6. Bei der Übersicht der Windverteilung wird nur die Häufigkeit der verschiedenen Windrichtungen mit Index > 0 berücksichtigt.
7. λ bezeichnet die geographische Länge in Graden von Greenwich, β die geographische Breite, H_b die Höhe des Stationsbarometers über dem Meer in Metern, H die Höhe der Station (des Regenmessers) über Meer, G ist die Korrektur, welche an den Luftdruckdaten für deren Reduktion auf die Normalschwere (Konventioneller Standardwert $g_0 = 980,665 \text{ cm/sec}^2$) noch anzubringen ist, h , die Höhe des oberen Randes des Regenmessers über dem Erdboden. Die Stationen, bei denen die Höhe (des Barometergefäßes) bis auf den Dezimeter angegeben ist, sind an das schweizerische Präzisionsnivelement angeschlossen. Alle Höhen sind auf Pierre du Niton 373,6 m bezogen.

NB. Die den Schwerekorrekturen zugrundeliegenden Schwerewerte sind für die einzelnen meteorologischen Stationen aus den Schwerebestimmungen von Th. Niethammer (Astronomisch-geodätische Arbeiten in der Schweiz, Bände 12, 13, 15 und 16) berechnet worden.



Reihenfolge der Gebiete: Nordostschweiz, Zentralschweiz, Jura, Oberes Aare- und Saanegebiet, Südwestschweiz, Graubünden, Tessin.

Beobachter: Meteorolog. Zentralanstalt

Zürich-MZA

Table with columns: Bewölkung, Termine mit Nebel, Niederschlag, Zahl der Tage, Windverteilung, 1957. Rows for months Jan to Dec and annual totals.

Beobachter: Botanischer Garten.

Zürich-BG

Table with columns: Temperature, Humidity, Wind, etc. Rows for months Jan to Dec and annual totals.

Beobachter: Nordostschweiz, Kraftwerke AG

Baden

Table with columns: Temperature, Humidity, Wind, etc. Rows for months Jan to Dec and annual totals.

Beobachter: A. Meyer

Winterthur

Table with columns: Temperature, Humidity, Wind, etc. Rows for months Jan to Dec and annual totals.

Frauenfeld

Beobachter: S. Dannacher

Table for Frauenfeld with columns: Bewölkung, Termine mit Nebel, Niederschlag, Zahl der Tage, Windverteilung, 1957. Includes monthly data from Jan to Dec and annual totals.

Kreuzlingen

Beobachter: Fam. Zwick

Table for Kreuzlingen with columns: Bewölkung, Termine mit Nebel, Niederschlag, Zahl der Tage, Windverteilung, 1957. Includes monthly data from Jan to Dec and annual totals.

Haidenhaus

Beobachter: A. Bauer

Table for Haidenhaus with columns: Bewölkung, Termine mit Nebel, Niederschlag, Zahl der Tage, Windverteilung, 1957. Includes monthly data from Jan to Dec and annual totals.

St. Gallen

Beobachter: Botanischer Garten

Table for St. Gallen with columns: Bewölkung, Termine mit Nebel, Niederschlag, Zahl der Tage, Windverteilung, 1957. Includes monthly data from Jan to Dec and annual totals.

Beobachter: Frl. M. Wermelinger

Bad-Ragaz

Table with columns: Bewölkung, Termine mit Nebel, Niederschlag, Zahl der Tage, Windverteilung, 1957. Rows include months from January to December and a yearly total.

Beobachter: F. Friedan

Glarus

Table with columns: Bewölkung, Termine mit Nebel, Niederschlag, Zahl der Tage, Windverteilung, 1957. Rows include months from January to December and a yearly total.

Beobachter: E. Frei-Altherr

Elm

Table with columns: Bewölkung, Termine mit Nebel, Niederschlag, Zahl der Tage, Windverteilung, 1957. Rows include months from January to December and a yearly total.

Beobachter: J. Zweifel

Auen (Linthal)

Table with columns: Bewölkung, Termine mit Nebel, Niederschlag, Zahl der Tage, Windverteilung, 1957. Rows include months from January to December and a yearly total.

Beobachter: Pilatusbahn

Pilatus-Kulm

Table with columns: Bewölkung, Termine mit Nebel, Niederschlag, Zahl der Tage, Windverteilung, 1957. Rows include monthly data from January to December and a yearly total.

Beobachter: P. Ch. Durrer

Sarnen

Table with columns: Bewölkung, Termine mit Nebel, Niederschlag, Zahl der Tage, Windverteilung, 1957. Rows include monthly data from January to December and a yearly total.

Beobachter: P. A. Jenny

Engelberg

Table with columns: Bewölkung, Termine mit Nebel, Niederschlag, Zahl der Tage, Windverteilung, 1957. Rows include monthly data from January to December and a yearly total.

Beobachter: Frl. H. Nager

Altdorf I

Table with columns: Bewölkung, Termine mit Nebel, Niederschlag, Zahl der Tage, Windverteilung, 1957. Rows include monthly data from January to December and a yearly total.

Altdorf II

$\lambda = 8^{\circ} 38', \beta = 46^{\circ} 52', H_b = 450.7^m, G = -0.08 \text{‰}, h_r = 1.5^m$

Table with columns for 1957, Luftdruck, Luft-Temperatur, and Relative Feuchtigkeit. Rows include months from January to December and a yearly summary.

Göschenen

$\lambda = 8^{\circ} 35', \beta = 46^{\circ} 40', H_b = 1124.6^m, G = -0.19 \text{‰}, h_r = 1.5^m$

Table with columns for months and weather data for Göschenen. Rows include months from January to December and a yearly summary.

St. Gotthard

$\lambda = 8^{\circ} 34', \beta = 46^{\circ} 33', H_b = 2095^m, G = -0.27 \text{‰}, h_r = 1.8^m$

Table with columns for months and weather data for St. Gotthard. Rows include months from January to December and a yearly summary.

Jura

Basel (Binningen)

$\lambda = 7^{\circ} 35', \beta = 47^{\circ} 33', H_b = 317.3^m, G = 0.08 \text{‰}, h_r = 1.5^m$

Table with columns for months and weather data for Basel (Binningen). Rows include months from January to December and a yearly summary.

Lohn (Schaffhausen)

$\lambda = 8^{\circ} 40'$, $\beta = 47^{\circ} 45'$, $H_b = 643^m$, $G = -0.03 \text{ }^m/m$, $h_r = 1.5^m$

Table with columns for month (1957), Luftdruck (Mittel, Minimum Tag, Maximum Tag), Luft-Temperatur (7:00, 13:00, 21:00, Mittel, Minimum Tag, Maximum Tag), and Relative Feuchtigkeit (7:00, 13:00, 21:00, Mittel, Minimum Tag). Rows include months from Jan to Dec and a yearly summary.

Oberes Aare- und Saanegebiet
Bern
 $\lambda = 7^{\circ} 26'$, $\beta = 46^{\circ} 57'$, $H_b = 572.2^m$, $G = -0.04 \text{ }^m/m$, $h_r = 1.5^m$

Januar	716.5	703.3	14	728.7	7	-4.7	0.1	-2.8	-2.6	-13.7	23	10.6	6	91	75	89	85	43	30
Februar	710.0	690.3	15	722.2	28	2.0	5.9	3.0	3.5	-3.4	22	13.2	25	89	70	86	82	51	21
März	712.6	705.0	23	721.3	1	4.0	12.5	7.9	8.1	-3.7	2	19.3	20	91	55	75	74	33	15
April	711.9	697.3	10	718.5	15. 16	5.6	11.7	8.4	8.5	-0.4	14	19.4	23	88	58	73	73	32	17
Mai	711.0	704.4	9	716.5	14	7.5	12.7	9.2	9.6	0.6	7	20.8	15	83	56	78	72	36	8
Juni	713.1	705.6	24	721.1	27	13.8	19.0	15.8	16.1	8.3	12	28.0	30	86	65	82	78	34	27
Juli	713.2	706.5	19	718.0	31	15.3	20.8	17.1	17.6	9.9	21	30.8	6	84	58	80	74	40	12
August	713.1	703.3	9	718.1	1. 20	13.7	19.2	15.9	16.2	9.4	20. 31	25.8	7	85	62	78	75	41	2
September	713.5	707.7	14	720.0	9	10.4	16.6	12.7	13.1	5.3	15	24.5	8	92	61	87	80	37	5. 28
Oktober	714.5	704.7	22	718.0	15	4.6	12.6	8.0	8.3	-0.6	24	18.7	18	97	64	90	84	48	30
November	712.8	699.7	10	721.6	16	2.5	5.2	3.4	3.6	-2.4	30	11.5	1	93	80	91	88	51	2
Dezember	711.6	688.6	12	724.9	20	-1.8	1.1	-0.4	-0.4	-6.8	2	9.4	8	90	76	86	84	44	7
Jahr	712.8	688.6	XII	728.7	I	6.1	11.5	8.2	8.5	-13.7	I	30.8	VII	89	65	83	79	32	IV

Fribourg
 $\lambda = 7^{\circ} 09'$, $\beta = 46^{\circ} 48'$, $H_b = ca 677^m$, $G = - \text{ }^m/m$, $h_r = 1.5^m$

Januar	---	---	---	---	---	-4.0	0.6	-2.4	-2.1	-15.2	19	9.7	6	82	67	82	77	40	30
Februar	---	---	---	---	---	2.2	6.0	2.8	3.5	-5.1	22	12.3	25	82	65	84	77	46	8
März	---	---	---	---	---	4.2	11.7	7.0	7.5	-4.6	2	17.9	20	82	55	76	71	39	4. 14.
April	---	---	---	---	---	5.3	12.0	7.3	8.0	-1.7	16	19.8	24	83	51	76	70	34	16
Mai	---	---	---	---	---	7.3	12.9	8.2	9.2	0.2	7	20.7	15	80	53	76	70	30	8
Juni	---	---	---	---	---	13.9	19.2	14.9	15.7	7.8	12	26.9	30	80	60	80	73	43	1
Juli	---	---	---	---	---	15.4	20.9	16.4	17.3	9.9	22	30.3	6. 7	80	57	76	71	42	8
August	---	---	---	---	---	13.8*	19.1*	15.1*	15.8*	---	---	26.8	7	81*	58*	75*	71*	?	---
September	---	---	---	---	---	10.7	16.5	12.1	12.9	4.6	30	23.4	8	84	59	79	74	40	28
Oktober	---	---	---	---	---	4.9	12.1	7.7	8.1	-0.9	24	18.3	19	91	65	87	81	51	19. 24.
November	---	---	---	---	---	2.3	5.4	3.1	3.5	-3.2	30	13.1	4	91	76	89	85	46	4
Dezember	---	---	---	---	---	-1.9	1.2	-0.4	-0.4	-8.6	2	8.8	8	86	73	82	80	38	7
Jahr	---	---	---	---	---	6.2	11.5	7.6	8.2	-15.2	I	30.3	VII	83	62	80	75	30	V

Langnau i. E.
 $\lambda = 7^{\circ} 47'$, $\beta = 46^{\circ} 56'$, $H_b = 692^m$, $G = - \text{ }^m/m$, $h_r = 1.5^m$

Januar	---	---	---	---	---	-4.4	0.9	-3.2	-2.5	-17.5	19	9.2	6	84	67	86	79	41	10
Februar	---	---	---	---	---	1.7	6.1	2.3	3.1	-5.7	22	12.6	25	88	69	91	83	50	9
März	---	---	---	---	---	3.7	12.4	6.4	7.2	-4.5	2	18.7	20	92	54	84	77	32	15
April	---	---	---	---	---	5.3	11.4	6.6	7.5	-1.4	14	18.6	23	88	59	85	77	41	16. 23.
Mai	---	---	---	---	---	7.6	12.6	7.8	8.9	-0.5	7	20.6	15	84	59	86	76	41	8. 10. *
Juni	---	---	---	---	---	14.3	19.1	14.2	15.5	3.5	12	28.8	30	81	63	90	78	40	27
Juli	---	---	---	---	---	15.1	20.7	15.1	16.5	9.3	22	32.0	6	84	58	90	77	38	6
August	---	---	---	---	---	13.3	19.3	14.1	15.2	7.6	29	26.0	7	86	59	89	78	45	2
September	---	---	---	---	---	9.9	16.3	11.1	12.1	4.0	15	23.8	8	92	60	93	82	41	28
Oktober	---	---	---	---	---	4.6	13.0	6.8	7.8	-0.8	24	18.9	12	97	63	91	84	40	6
November	---	---	---	---	---	2.6	6.1	3.2	3.8	-2.5	26	12.6	4	92	75	90	86	51	4
Dezember	---	---	---	---	---	-2.2	1.8	-1.3	-0.8	-9.2	22	10.0	8	88	74	87	83	48	7
Jahr	---	---	---	---	---	5.9	11.6	6.9	7.8	-17.5	I	32.0	VII	88	63	88	80	32	III

Beobachter: Grimselwarter

Grimsel (Hospiz)

Table with columns: Bewölkung, Termine mit Nebel, Niederschlag, Zahl der Tage, Windverteilung, 1957. Rows for months Jan to Dec and annual totals.

Beobachter: Jungfraubahn

Jungfrauoch (Sphinx)

Table with columns: Bewölkung, Termine mit Nebel, Niederschlag, Zahl der Tage, Windverteilung, 1957. Rows for months Jan to Dec and annual totals.

Südwestschweiz

Beobachter: Observatoire

Genève

Table with columns: Bewölkung, Termine mit Nebel, Niederschlag, Zahl der Tage, Windverteilung, 1957. Rows for months Jan to Dec and annual totals.

Beobachter: A. George

Lausanne

Table with columns: Bewölkung, Termine mit Nebel, Niederschlag, Zahl der Tage, Windverteilung, 1957. Rows for months Jan to Dec and annual totals.

Beobachter: A. Thétaz

Montreux-Clarens

Table with columns: Bewölkung, Termine mit Nebel, Niederschlag, Zahl der Tage, Windverteilung, 1957. Rows for months Jan to Dec and annual totals.

Beobachter: M. Baud

Leysin

Table with columns: Bewölkung, Termine mit Nebel, Niederschlag, Zahl der Tage, Windverteilung, 1957. Rows for months Jan to Dec and annual totals.

Beobachter: Hospitec

Grand-St-Bernard

Table with columns: Bewölkung, Termine mit Nebel, Niederschlag, Zahl der Tage, Windverteilung, 1957. Rows for months Jan to Dec and annual totals.

Beobachter: Convent des Capucins

Sion

Table with columns: Bewölkung, Termine mit Nebel, Niederschlag, Zahl der Tage, Windverteilung, 1957. Rows for months Jan to Dec and annual totals.

Beobachter: Aluminium-Industrie-AG

Chippis

Table for Chippis weather data. Columns include Bewölkung, Termine mit Nebel, Niederschlag, Zahl der Tage, Windverteilung, and 1957. Rows list months from January to December and an annual total.

Beobachter: Sanatorium «La Moubra»

Montana

Table for Montana weather data. Columns include monthly weather data and 1957 annual total. Rows list months from January to December.

Beobachter: Th. Weissen

Reckingen

Table for Reckingen weather data. Columns include monthly weather data and 1957 annual total. Rows list months from January to December.

Beobachter: Kantonsschule

Graubünden

Chur I

Table for Chur I weather data. Columns include monthly weather data and 1957 annual total. Rows list months from January to December.

Disentis

Beobachter: P. Fl. Maissen

Table with columns: Bewölkung, Termine mit Nebel, Niederschlag, Zahl der Tage, Windverteilung, 1957. Rows for months Jan to Dec and annual totals.

Beobachter: C. Huonder

Platta-Medels

Table with columns: Bewölkung, Termine mit Nebel, Niederschlag, Zahl der Tage, Windverteilung, 1957. Rows for months Jan to Dec and annual totals.

Beobachter: Lichtklimatisches Observatorium, Frl. G. Perl, Florentinum

Arosa

Table with columns: Bewölkung, Termine mit Nebel, Niederschlag, Zahl der Tage, Windverteilung, 1957. Rows for months Jan to Dec and annual totals.

Beobachter: Kärverein

Davos-Platz

Table with columns: Bewölkung, Termine mit Nebel, Niederschlag, Zahl der Tage, Windverteilung, 1957. Rows for months Jan to Dec and annual totals.

Weißfluhjoch

Beobachter: Eidg. Institut für Schnee- und Lawinenforschung

Table with columns: Bewölkung, Termine mit Nebel, Niederschlag, Zahl der Tage, Windverteilung, 1957. Rows for months Jan to Dec and a yearly total.

Beobachter: J. Stocker

Schuls

Table with columns: monthly weather data, 1957. Rows for months Jan to Dec and a yearly total.

Beobachter: R. Cadisch

Buffalora (Ofenpaß)

Table with columns: monthly weather data, 1957. Rows for months Jan to Dec and a yearly total.

Beobachter: Stationspersonal Rh. B.

Bever

Table with columns: monthly weather data, 1957. Rows for months Jan to Dec and a yearly total.

St. Moritz

$\lambda = 9^\circ 51', \beta = 46^\circ 30', H_b = 1833^m, G = -0.27 \text{‰}, h_r = 1.5^m$

Table with 18 columns: 1957, Luftdruck (Mittel, Minimum Tag, Maximum Tag), Luft-Temperatur (7.00, 13.00, 21.00, Mittel, Minimum Tag, Maximum Tag), Relative Feuchtigkeit (7.00, 13.00, 21.00, Mittel, Minimum Tag). Rows for months Jan to Dec and annual summary.

Splügen-Dorf

$\lambda = 9^\circ 19', \beta = 46^\circ 33', H_b = 1504^m, G = -0.24 \text{‰}, h_r = 2.2^m$

Table with 18 columns: 1957, Luftdruck (Mittel, Minimum Tag, Maximum Tag), Luft-Temperatur (7.00, 13.00, 21.00, Mittel, Minimum Tag, Maximum Tag), Relative Feuchtigkeit (7.00, 13.00, 21.00, Mittel, Minimum Tag). Rows for months Jan to Dec and annual summary.

Braggio

$\lambda = 9^\circ 07', \beta = 46^\circ 18', H_b = 1332.1^m, G = -0.21 \text{‰}, h_r = 1.5^m$

Table with 18 columns: 1957, Luftdruck (Mittel, Minimum Tag, Maximum Tag), Luft-Temperatur (7.00, 13.00, 21.00, Mittel, Minimum Tag, Maximum Tag), Relative Feuchtigkeit (7.00, 13.00, 21.00, Mittel, Minimum Tag). Rows for months Jan to Dec and annual summary.

Iessin

Bosco-Gurin

$\lambda = 8^\circ 30', \beta = 46^\circ 19', H_b = ca 1510^m, G = - \text{‰}, h_r = 1.5^m$

Table with 18 columns: 1957, Luftdruck (Mittel, Minimum Tag, Maximum Tag), Luft-Temperatur (7.00, 13.00, 21.00, Mittel, Minimum Tag, Maximum Tag), Relative Feuchtigkeit (7.00, 13.00, 21.00, Mittel, Minimum Tag). Rows for months Jan to Dec and annual summary.

Bellinzona

λ = 9° 02', β = 46° 12', H_b = 229.8^m, G = -0.05^{mm}, h_r = 1.5^m

Table with 17 columns (1957, Luftdruck, Luft-Temperatur, Relative Feuchtigkeit) and 12 rows (months and yearly average).

Locarno-Muralto

λ = 8° 48', β = 46° 11', H_b = 244.4^m, G = -0.01^{mm}, h_r = 1.2^m

Table with 17 columns (months, Luftdruck, Luft-Temperatur, Relative Feuchtigkeit) and 12 rows (months and yearly average).

Locarno-Monti

λ = 8° 47', β = 46° 10', H_b = 378.9^m, G = -0.03^{mm}, h_r = 1.2^m

Table with 17 columns (months, Luftdruck, Luft-Temperatur, Relative Feuchtigkeit) and 12 rows (months and yearly average).

Lugano

λ = 8° 58', β = 46° 00', H_b = 276.2^m, G = -0.04^{mm}, h_r = 1.5^m

Table with 17 columns (months, Luftdruck, Luft-Temperatur, Relative Feuchtigkeit) and 12 rows (months and yearly average).

Bellinzona

Beobachter: A. Casari-Lienhard

Table with columns: Bewölkung, Termine mit Nebel, Niederschlag, Zahl der Tage, Windverteilung, 1957. Rows for months Jan to Dec and annual totals.

Beobachter: Frau A. Mariani

Locarno-Muralto

Table with columns: Bewölkung, Termine mit Nebel, Niederschlag, Zahl der Tage, Windverteilung, 1957. Rows for months Jan to Dec and annual totals.

Beobachter: Osservatorio Meteorologico Ticinese

Locarno-Monti

Table with columns: Bewölkung, Termine mit Nebel, Niederschlag, Zahl der Tage, Windverteilung, 1957. Rows for months Jan to Dec and annual totals.

Beobachter: G. Vicari

Lugano

Table with columns: Bewölkung, Termine mit Nebel, Niederschlag, Zahl der Tage, Windverteilung, 1957. Rows for months Jan to Dec and annual totals.

$\lambda = 8^{\circ} 21'$, $\beta = 47^{\circ} 16'$, $H_b = 473$ m, $h_r = 1.5$ m

Muri (Aargau)

Beobachter: E. Hunzinger, Frau A. Weber-Arni

Table with columns for month, temperature, humidity, cloudiness, fog, precipitation, and number of days with various weather symbols.

Stationsverlegung und Beobachterwechsel am 1. Mai 1957. Neues H_b = 469 m

$\lambda = 9^{\circ} 30'$, $\beta = 47^{\circ} 28'$, $H = 445$ m, $h_r = 1.5$ m

Rorschach

Beobachter: Seminar: J. Schenk, J. Bawidamann

Table with columns for month, temperature, humidity, cloudiness, fog, precipitation, and number of days with various weather symbols.

Rorschach: Beobachterwechsel am 1. April

$\lambda = 9^{\circ} 29'$, $\beta = 47^{\circ} 23'$, $H_b = 1156$ m, $h_r = 1.5$ m

Schwäbrig (ob Gais)

Beobachter: A. Golas

Table with columns for month, temperature, humidity, cloudiness, fog, precipitation, and number of days with various weather symbols.

$\lambda = 9^{\circ} 08'$, $\beta = 47^{\circ} 16'$, $H_b = 649$ m, $h_r = 1.5$ m

Ebnat

Beobachter: Frl. M. Kurstle

Table with columns for month, temperature, humidity, cloudiness, fog, precipitation, and number of days with various weather symbols.

$\lambda = 7^\circ 13', \beta = 46^\circ 29', H = 1003^m, h_r = 1.5^m$

Rougemont

Beobachter: Frau L. Saugy

Table with columns: 1957, Luft-Temperatur (730, 1330, 2130, Mittel, Minimum Tag, Maximum Tag), Relative Feuchtigkeit (730, 1330, 2130, Mittel, Minimum Tag), Bewölkung (730, 1330, 2130, Mittel), Nebel (Zahl der Termine), Niederschlag (Summe, Maximum Tag), and Zahl der Tage (various symbols).

$\lambda = 7^\circ 08', \beta = 46^\circ 29', H_b = 993.5^m, h_r = 1.5^m$

Château d'Oex

Beobachter: E. Jaccard

Table with columns: Jan., Feb., März, Apr., Mai, Juni, Juli, Aug., Sept., Okt., Nov., Dez., and Jahr. Columns contain monthly and annual data for temperature, humidity, cloud cover, and precipitation.

$\lambda = 7^\circ 04', \beta = 46^\circ 39', H = 721^m, h_r = 1.5^m$

Marsens

Beobachter: E. Baeriswyl

Table with columns: Jan., Feb., März, Apr., Mai, Juni, Juli, Aug., Sept., Okt., Nov., Dez., and Jahr. Columns contain monthly and annual data for temperature, humidity, cloud cover, and precipitation.

$\lambda = 6^\circ 55', \beta = 46^\circ 42', H_b = 764^m, h_r = 1.5^m$

Romont

Beobachter: Couvent des Capucins

Table with columns: Jan., Feb., März, Apr., Mai, Juni, Juli, Aug., Sept., Okt., Nov., Dez., and Jahr. Columns contain monthly and annual data for temperature, humidity, cloud cover, and precipitation.

Die Abendbeobachtung erfolgt um 20.30

$\lambda = 6^\circ 59', \beta = 46^\circ 26', H_b = 1981.6^m, h_r = 2.3^m$ **Rochers-de-Naye**

Beobachter: Direction de l'Hôtel

Table with columns for 1957, Luft-Temperatur, Relative Feuchtigkeit, Bewölkung, Nebel, Niederschlag, and Zahl der Tage. Rows include months from Jan to Dec and a yearly summary.

$\lambda = 7^\circ 38', \beta = 46^\circ 23', H_b = 1391.4^m, h_r = 1.5^m$

Leukerbad

Beobachter: Spitalbad: Schw. M. A. Humpert

Table with columns for months (Jan to Dec) and yearly summary, including temperature, humidity, cloud cover, fog, precipitation, and number of days.

$\lambda = 7^\circ 50', \beta = 46^\circ 12', H = 1617^m, h_r = 1.5^m$

Grächen

Beobachter: P. Heinzmann

Table with columns for months (Jan to Dec) and yearly summary, including temperature, humidity, cloud cover, fog, precipitation, and number of days.

Die Abendbeobachtung erfolgt um 20.30

$\lambda = 7^\circ 45', \beta = 46^\circ 01', H_b = ca 1610^m, h_r = 1.5^m$

Zermatt

Beobachter: G. Brantschen

Table with columns for months (Jan to Dec) and yearly summary, including temperature, humidity, cloud cover, fog, precipitation, and number of days.

$\lambda = 7^{\circ} 56', \beta = 46^{\circ} 06', H = \text{ca } 1785^m, h_r = 1.5^m$

Saas-Fee

Beobachter: Familie Imseug

Table with columns for month (1957), Luft-Temperatur (730, 1330, 2130, Mittel, Minimum Tag, Maximum Tag), Relative Feuchtigkeit (730, 1330, 2130, Mittel, Minimum Tag), Bewölkung (730, 1330, 2130, Mittel), Nebel (Zahl der Termine: 730, 1330, 2130, Total), Niederschlag (Summe, Maximum Tag), and Zahl der Tage (heiter, trüb).

Graubünden

$\lambda = 9^{\circ} 32', \beta = 46^{\circ} 51', H = \text{ca } 582^m, h_r = 1.5^m$

Chur II (Daleustrasse)

Beobachter: W. Kreis

Table with columns for month (Jan. to Dez., Jahr), Luft-Temperatur, Relative Feuchtigkeit, Bewölkung, Nebel, Niederschlag, and Zahl der Tage.

$\lambda = 9^{\circ} 38', \beta = 46^{\circ} 59', H = 953^m, h_r = 1.5^m$

Seewis

Beobachter: Frau B. Janett

Table with columns for month (Jan. to Dez., Jahr), Luft-Temperatur, Relative Feuchtigkeit, Bewölkung, Nebel, Niederschlag, and Zahl der Tage.

$\lambda = 9^{\circ} 42', \beta = 46^{\circ} 58', H = \text{ca } 682^m, h_r = 1.5^m$

Schiers

Beobachter: Chr. Lötcher

Table with columns for month (Jan. to Dez., Jahr), Luft-Temperatur, Relative Feuchtigkeit, Bewölkung, Nebel, Niederschlag, and Zahl der Tage.

λ = 9° 36', β = 46° 49', H = 1360m, h_r = 1.5m

Tschiertschen

Beobachter: G. Meister

Table with columns for month (1957), Luft-Temperatur (730, 1330, 2130, Mittel, Minimum, Maximum), Relative Feuchtigkeit (730, 1330, 2130, Mittel, Minimum), Bewölkung (730, 1330, 2130, Mittel), Nebel (Zahl der Termine: 730, 1330, 2130, Total), Niederschlag (Summe, Maximum), and Zahl der Tage (various weather symbols and counts).

λ = 9° 39', β = 46° 28', H = ca 1770m, h_r = 1.5m

Bivio

Beobachter: U. Grisch

Table with columns for month (Jan. to Dez., Jahr), Luft-Temperatur (730, 1330, 2130, Mittel, Minimum, Maximum), Relative Feuchtigkeit (730, 1330, 2130, Mittel, Minimum), Bewölkung (730, 1330, 2130, Mittel), Nebel (Zahl der Termine: 730, 1330, 2130, Total), Niederschlag (Summe, Maximum), and Zahl der Tage (various weather symbols and counts).

λ = 9° 46', β = 46° 26', H = 1802m, h_r = 1.8m

Sils-Maria

Beobachter: K. Bren-Seinchetti

Table with columns for month (Jan. to Dez., Jahr), Luft-Temperatur (730, 1330, 2130, Mittel, Minimum, Maximum), Relative Feuchtigkeit (730, 1330, 2130, Mittel, Minimum), Bewölkung (730, 1330, 2130, Mittel), Nebel (Zahl der Termine: 730, 1330, 2130, Total), Niederschlag (Summe, Maximum), and Zahl der Tage (various weather symbols and counts).

λ = 10° 26', β = 46° 36', H_b = 1411m, h_r = 1.8m

Sta. Maria (Münstertal)

Beobachter: Frau B. Graber

Table with columns for month (Jan. to Dez., Jahr), Luft-Temperatur (730, 1330, 2130, Mittel, Minimum, Maximum), Relative Feuchtigkeit (730, 1330, 2130, Mittel, Minimum), Bewölkung (730, 1330, 2130, Mittel), Nebel (Zahl der Termine: 730, 1330, 2130, Total), Niederschlag (Summe, Maximum), and Zahl der Tage (various weather symbols and counts).

Monats- und Jahresübersichten des synoptischen Stationsnetzes

Auf den nachfolgenden Seiten werden Jahresübersichten der Beobachtungen von sechs schweizerischen Stationen des synoptischen Netzes veröffentlicht. Dazu kommen die Beobachtungen der beiden in der Nähe der Schweizer Grenze gelegenen Stationen Aéroport Bâle-Mulhouse und Plateau Rosà (beim Theodulpaß), welche uns vom französischen bzw. italienischen meteorologischen Dienst freundlicherweise zur Verfügung gestellt werden. Die acht internationalen Beobachtungstermine sind in MEZ in die Tabellenüberschriften eingesetzt. Die tatsächlichen Beobachtungszeiten liegen in der Regel etwas früher, und zwar

	Lufttemperatur	Luftdruck
Schweizerische Stationen	30 Min.	20 Min.
Aéroport Bâle-Mulhouse	10 Min.	0 Min.
Plateau Rosà	20 Min.	20 Min.

Für die Umrechnung der Barometerablesungen von Millimeter Quecksilbersäule auf Millibar wurde in der Schweiz, da die Abweichungen der Schwerebeschleunigung vom Normalwert bei 45° geogr. Breite auf Meeressniveau $g_0 = 980,626 \text{ cm/sec}^2$ im allgemeinen gering sind, einheitlich der Faktor 1,3332 verwendet, was für einzelne, besonders für hochgelegene Stationen kleine Fehler bei der Druckangabe in mb bedingt, wenn die Luftdrucke den geometrischen Barometerhöhen des Ortes zugordnet werden. Um diese Fehler zu eliminieren, werden als Höhenangaben der Stationen nicht die Höhen H_b des Barometers aufgeführt, sondern die Höhen H_p , auf welche sich die so berechneten Luftdruckangaben beziehen, indem die Schwerekorrektur G in Form einer Höhenkorrektur ΔH berücksichtigt wird. Im vergangenen Jahr wurden, wie im Vorwort erwähnt ist, die Schwerekorrekturen G neu berechnet und ferner statt des bisher verwendeten Wertes $g_0 = 980,626 \text{ cm/sec}^2$ der von der meteorologischen Weltorganisation (OMM) vorgeschriebene Normalwert $g_0 = 980,665 \text{ cm/sec}^2$ eingesetzt, so daß die G -Werte gegenüber dem vergangenen Jahr etwas verändert sind. Die nachfolgende Tabelle gibt eine Übersicht der Werte von H_b , H_p sowie der Korrektur der Barometerstände infolge des von der normalen Schwerebeschleunigung g_0 abweichenden Wertes g am betreffenden Ort. Für Kloten ist die Differenz zwischen H_b und H_p größer als der Schwere-Korrekturbetrag ΔH , da entsprechend den internationalen Vorschriften eine Reduktion

des abgelesenen Barometerstandes auf Pistenhöhe vorgenommen wird. Auf dem Gütsch wurde das Barometer 3 m tiefer gehängt, wodurch sich auch H_p gegenüber dem Vorjahr entsprechend ändert.

	H_b g (cm/sec ²)	G	ΔH	H_p	
Flughafen Zürich-Kloten	440,3 m	980,69	0,03 mb	0,2 m	431 m
Gütsch ob Andernatt	2288 m	980,17	-0,39 mb	-4,0 m	2284 m
Aéroport Bâle-Mulhouse	268 m	980,79	0,13 mb	—	268 m
Meteorolog. Obs. Bern	572,2 m	980,61	-0,05 mb	-0,4 m	572 m
Aéroport Genève-Cointrin	430 m	980,60	-0,06 mb	-0,6 m	429 m
Sion Aérodrôme	482,6 m	980,48	-0,18 mb	-1,5 m	481 m
Plateau Rosà	3488 m	979,91	-0,51 mb	—	3488 m
Locarno-Aeroporto	198,5 m	980,66	-0,01 mb	-0,1 m	198 m

Mit Ausnahme der Station Plateau Rosà, wo die Thermometerhütte auf der Nordseite des Hauses etwa 9 Meter über Boden befestigt ist, sind alle Stationen mit englischen Hütten (Stevenson Screen) ausgerüstet, wobei die Temperaturmessung rund 2 m über der Bodenoberfläche erfolgt.

Die relative Feuchtigkeit wird auf Plateau Rosà mit einem Haarhygrometer, in Bâle-Mulhouse mit einem unventilierten Standpsychrometer, auf den übrigen Stationen mit ventilierten Standpsychrometern bestimmt. Die Niederschläge werden im schweizerischen Netz mit Hellmannschen Regenmessern von 200 cm² Öffnung gemessen. Die Station Gütsch besitzt einen Regenschirm mit Niphertrichter. In Bâle-Mulhouse wird der im französischen Wetterdienst gebräuchliche Regenschirm (pluviomètre association) von 400 cm² Öffnung verwendet.

Als Zahl der Gewittertage wird, wie in der Schweiz bisher allgemein üblich, die Zahl der Tage mit Nahgewitter (innerhalb eines Umkreises von 3 km) angegeben, Ferngewitter sind nicht berücksichtigt. Als heitere Tage gelten solche mit einer Bewölkungssumme von höchstens 12 Okta aus allen 8 Beobachtungsterminen, als trübe Tage solche mit einer Summe von mindestens 52 Okta.

Die Windgeschwindigkeiten werden mit verschiedenartigen Schalenkreuzanemometern bestimmt, in Bern mit Hilfe einer Staudruckdüse, welche aber wahrscheinlich etwas zu niedrige Werte liefert. Auf eine Korrektur muß vorläufig verzichtet werden.

λ = 7° 20', β = 46° 13', H_p = 481 m, h_r = 1.5

Table with columns: 1957, 900 mb, Pression en millibars (1h-22h, Moyenne, Minima, Maxima), Thermomètre à minima (Moyenne, Minima), Thermomètre à maxima (Moyenne, Maxima). Rows include months from Janvier to Décembre and Année.

Table with columns: Température de l'air (1h-22h, Moyenne, Minima, Maxima), Humidité relative (1h-22h, Mittel, Minima). Rows include months from Janvier to Décembre and Année.

Table with columns: Nébulosité en huitièmes (octas) (1h-22h, Moy.), Brouillard (Fréquence aux heures d'observation: 1h-22h, Total), Précipitations (Somme, Maxima), Nombre de jours (various weather symbols, Nébulosité < 2/10 > 8/10). Rows include months from Janvier to Décembre and Année.

Table with columns: Répartition des vents (350°-100°), Vitesse du vent en noeuds (1h-22h, Moyenne). Rows include months from Janvier to Décembre and Année.

λ = 7° 42', β = 45° 56', H_p = 3488 m, h_r = - m

Table with columns: 1957, 600 mb + Pressione atmosferica in millibar, Termometro minima, Termometro massima. Rows: Gennaio, Febbraio, Marzo, Aprile, Maggio, Giugno, Luglio, Agosto, Settembre, Ottobre, Novembre, Dicembre, Anno.

Table with columns: Temperatura dell'aria, Umidità relativa. Rows: Gennaio, Febbraio, Marzo, Aprile, Maggio, Giugno, Luglio, Agosto, Settembre, Ottobre, Novembre, Dicembre, Anno.

Table with columns: Nuvolosità in ottavi (Okta), Nebbia (Numero dei termini di osservazione), Precipitazioni, Numero dei giorni. Rows: Gennaio, Febbraio, Marzo, Aprile, Maggio, Giugno, Luglio, Agosto, Settembre, Ottobre, Novembre, Dicembre, Anno.

Table with columns: Direzione del vento, Velocità del vento in nodi. Rows: Gennaio, Febbraio, Marzo, Aprile, Maggio, Giugno, Luglio, Agosto, Settembre, Ottobre, Novembre, Dicembre, Anno.

$\lambda = 8^{\circ} 53'$, $\beta = 46^{\circ} 10'$, $H_p = 198\text{ m}$, $h_r = 1.5\text{ m}$

Locarno-Aeroporto

Table with columns: 1957, 900 mb +, Pressione atmosferica in millibar, Termometro minima, Termometro massima. Rows include months from Gennaio to Dicembre and Anno.

Table with columns: Temperatura dell'aria, Umidità relativa. Rows include months from Gennaio to Dicembre and Anno.

Table with columns: Nuvolosità in ottavi (Okta), Nebbia, Precipitazioni, Numero dei giorni. Rows include months from Gennaio to Dicembre and Anno.

Table with columns: Direzione del vento, Velocità del vento in nodi. Rows include months from Gennaio to Dicembre and Anno.

Anhang

zum Jahrgang 1957 der Annalen der
Schweizerischen Meteorologischen Zentralanstalt



Ergänzende Beobachtungen und Abhandlungen

Übersicht über den Witterungsverlauf in der Schweiz im Jahre 1957

Im Gegensatz zum Vorjahr lag die mittlere Temperatur im Jahre 1957 im größten Teil der Schweiz über dem Normalwert. Die Abweichungen betrugen im allgemeinen $\frac{1}{2}$ —1 Grad. Wesentlich zu tiefe Temperaturen brachte nur der Monat Mai, während Februar und März viel zu warm waren. Der Alpensüdfuß wies im Jahresdurchschnitt ungefähr normale Verhältnisse oder sogar etwas zu tiefe Temperaturen auf. Auch hier zeichnete sich der Mai durch Kälte aus, während sich die Februar- und Märzwärme weniger bemerkbar machte. Den Frühjahrsfrösten ist untenstehend ein eigener Abschnitt gewidmet.

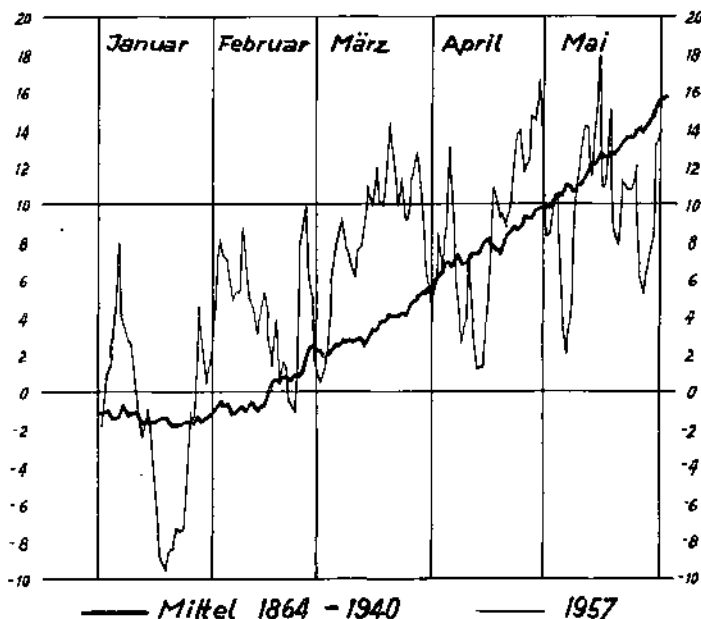
Auch bei den Niederschlägen zeigen sich Unterschiede zwischen Nord- und Südseite der Alpen. Im größten Teil des Landes, besonders in den westlichen Partien des Mittellandes, wurden die normalen Mengen nicht erreicht. Im allgemeinen lagen die Prozentzahlen in bezug auf das Mittel der Jahre 1864—1940 zwischen 85 und 90%, am westlichen Genfersee zwischen 70 und 80%. Überdurchschnittliche Beträge fielen dagegen im mittleren und oberen Wallis sowie besonders im Tessin, wo strichweise 115—120% erreicht wurden. Während sich nördlich der Alpen und im Wallis besonders der Februar durch große Niederschläge auszeichnete, waren am Alpensüdfuß der Juni, in etwas geringerem Maße auch Dezember und November niederschlagsreich. Auf der Alpennordseite waren die letzten drei Monate des Jahres dagegen trocken. Das Tessin wies im September—Oktober die geringsten Niederschlagsmengen auf. Die südwestlichen Landesteile, besonders das Wallis, zeigen eine Trockenzeit im März und April.

Die Sonnenscheindauer erreichte in den südwestlichen Landesteilen (Wallis und Genferseegebiet) sowie in den höheren Bündnertälern ungefähr normale Werte, während sie in den übrigen Landesteilen im allgemeinen 5—10% unter dem langjährigen Durchschnitt blieb. Große Überschüsse in bezug auf die durchschnittlichen Summen brachte der Oktober, nördlich der Alpen auch der März. Die Sommermonate von Mai bis August schlossen dagegen allgemein mit einem Defizit ab und auch der Februar war allgemein ziemlich sonnenarm.

Die Fröste im April und Mai

Fig. 1 gibt ein Bild vom Verlauf der Temperatur (Tagesmittel) Januar—Mai 1957. Als Beispiel wurde Zürich gewählt, weil von dieser Station langjährige Mittelwerte für die Temperatur der einzelnen Kalendertage vorliegen und weil die Ostschweiz ziemlich extreme Verhältnisse aufweist. Die dickere Linie entspricht dem langjährigen Mittel (1864—1940), die dünnere dem Temperaturverlauf des Jahres 1957. Der Januar zeigt eine kalte Periode eingrahmt von zwei warmen. Im Februar und März lag die Temperatur fast ausnahmslos über dem Mittel. Dabei wurden einige ungewöhnlich hohe Spitzenwerte erreicht. So betrug z. B. das Tagesmittel am 8. Februar 8,9 Grad (normal -0,8), am 25. Februar 10,0 (normal 1,8), am 20. März 14,3 (normal 4,1). Bildet man die sogenannten

Fig. 1. Temperaturverlauf in Zürich (Tagesmittel)



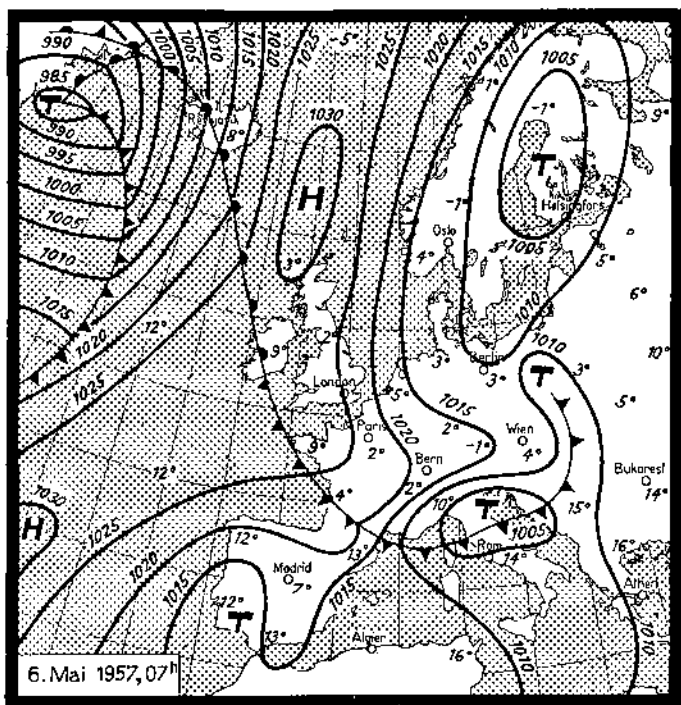
Temperatursummen (Summe der positiven Tagesmittel) fortlaufend vom 1. Februar an, so erhält man auf Ende März 395, einen Betrag, der normalerweise erst Anfangs Mai erreicht wird! Im Lichte dieser Zahlen hat der frühe Austrieb der Kulturen nichts Erstaunliches an sich.

Im April und Mai ist der Temperaturverlauf durch große Schwankungen gekennzeichnet. Im ganzen sind diese beiden Monate weder besonders kalt noch besonders warm. Die Abweichungen nach unten sind aber größer als diejenigen nach oben. So finden wir z. B. an drei aufeinanderfolgenden Frosttagen 12.—14. April Tagesmittel von 1,3, 1,4, 1,4 (statt normal 7,4, 7,5, 8,0), am 7. Mai 2,0 (statt 10,9) und am 27. Mai 5,1 (statt 13,9), während zwischen den einzelnen Frostperioden folgende Wärmewellen zu verzeichnen sind: 29. April 16,6 (normal 9,8), 15. Mai 17,9 (normal 12,8). Der Kontrast zwischen warmen und kalten Tagen tritt besonders deutlich in Erscheinung, wenn wir den obigen Angaben entnehmen, daß das Tagesmittel der Temperatur am 7. Mai 12,3 Grad unter demjenigen vom 20. März lag, während normalerweise der 7. Mai 6,8 Grad wärmer ist als der 20. März.

Wetterentwicklung zur Zeit der Fröste

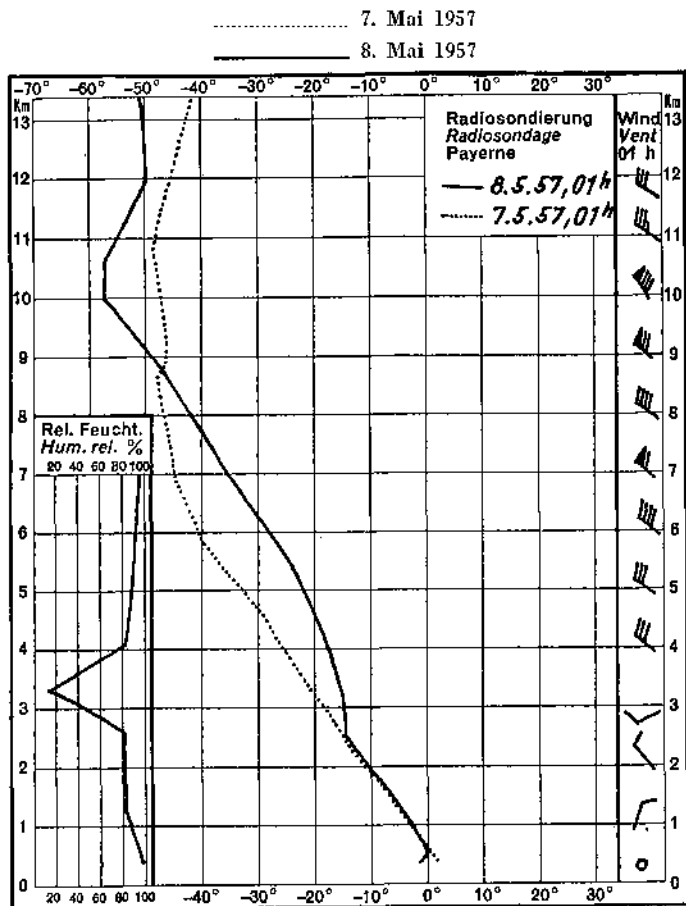
Ohne auf meteorologische Feinheiten einzugehen, soll der Wetterablauf während der Frostperioden im April und Mai 1957 auf Grund der Wetterkarten und Radiosondierungen kurz charakterisiert werden. Schon der 1. April brachte weitherum Frost. Obgleich die folgenden Tage etwas wärmer waren, steuerte alsbald ein nordwestlich von Schottland zentriertes Hochdruckgebiet arktische Kaltluft nach Mitteleuropa; diese wurde von einem Tief über Oberitalien angesogen und erreichte unser Land in zwei Schüben am 8. und 12. April. Dies war der Auftakt zu einer längeren Frostperiode (12.—18. April), während der die Temperatur in Vétroz-Sion

Fig. 2. Wetterkarte vom 6. Mai 1957, 07 h



zweimal — 10,5 Grad, (!) in Orbe, Payerne und Koppigen rund — 7 Grad, in Flaach und Benken (BL) — 6 Grad erreichte. Im Wallis, wo die Kulturen schon weit vorgerückt waren, entstanden erhebliche Schäden. In der letzten Aprildekade wurden nicht so tiefe Temperaturen erreicht, obschon die Niederungen keineswegs frostfrei waren.

Fig. 3. Radiosondierungen von Payerne



Gegen Ende April stellte sich eine Föhnlage mit relativ hoher Temperatur ein. Diese eigenartige Föhnlage, bei der das Tief nicht wie üblich bei den Britischen Inseln, sondern über Spanien lag, steht am Ausgangspunkt der Wetterentwicklung, welche zu den katastrophalen Frösten vom 6.—9. Mai führte. Am 28. April hatte sich nämlich ein Hochdruckgebiet von West- und Nordeuropa auf den Ostatlantik zurückgezogen, wodurch der über dem Nordmeer angehäufte Kaltluftvorrat freie Bahn nach Mitteleuropa erhielt. Beim Monatswechsel drang eine feuchtere Luftmasse in die Schweiz ein; sie kam zwar noch aus Südwesten, stand also mit der Arktikluft in keiner Verbindung; doch wurde die Atmosphäre dadurch labilisiert und auf den Einbruch polarer Luftmassen vorbereitet. Die Südströmung in der Höhe flaute ab und wurde vom 4. Mai an zuerst durch Nordostwind, dann durch Nord- bis Nordwestwind abgelöst. Nachdem inzwischen einige Störungen aus der Gegend von Island nach Mitteleuropa vorgedrungen waren, dehnte sich am 3. Mai das ostatlantische Hoch über Island und Nordmeer aus. Damit stellte sich eine für Arktiklufteinbrüche typische Druckverteilung ein, die am 6. Mai ihren Höhepunkt erreichte (Fig. 2). Die Temperatur nimmt nicht etwa gleichmäßig von Süden nach Norden ab, sondern weist längs der gezackten Linie (Kaltfront) einen deutlichen Sprung auf (Vgl. etwa Wien 4°, München — 1°, Genf 2°, Bordeaux 4° mit Belgrad 15°, Rom 14°, Perpignan 13°!) Die Kaltfront drang rasch südwärts vor; sie hatte die Alpen am Abend des 5. Mai erreicht, lag am 6. Mai um 7 h (Fig. 2) auf der Linie Krakau — Budapest — Zara — Florenz — Perpignan — Bordeaux — Brest — Südirland und stieß am 7. Mai bis Nordafrika vor. Die mit Schuppen belegte Linie Südirland—Reykjavik bezeichnet eine in der Fortsetzung der Kaltfront liegende Warmfront, längs welcher warme Luft über den Atlantischen Ozean gegen Nordosten vor-

drang. Der Kaltlufteinbruch machte sich bei uns durch Schneefälle bis in die Niederung bemerkbar. Er bildete sozusagen den ersten Akt des Frostdramas. Für den zweiten (nächtliche Ausstrahlung) brauchte es bloß noch ein kleines Hochdruckgebiet in der Nähe der Schweiz, das auf unserer Karte bereits im Keim angedeutet ist (Ausbuchtung der Isobaren über Nordfrankreich und Süddeutschland), am folgenden Tag über Frankreich selbständig wurde und sich bis zum 8. Mai nach Süddeutschland verlagerte. Im Bereich dieses Hochdruckgebietes begann übrigens die Temperatur in der Höhe wieder zu

Tab. 1. Minimaletemperaturen einiger Frostbeobachtungsposten 3.—9. Mai 1957

(Ungeschützte Minimumthermometer 50 cm über Grund)

Mai 1957	3.	4.	5.	6.	7.	8.	9.
Vétroz/Sion VS	+7,0	-4,5	-1,0	0,0	-1,5	-7,0	-4,0
Changins/Nyon VD	+7,3	+8,7	+2,0	-3,0	-0,6	-2,6	-1,4
Orbe VD	0,0	-1,5	-2,0	-4,5	-3,0	-6,0	-5,0
Payerne VD	-1,2	-1,0	-0,7	-2,2	-2,2	-7,2	-4,6
Öschberg/ Koppigen BE	-1,9	-2,0	+2,9	-2,3	-0,4	-6,3	-4,3
Benken BL	+0,9	+2,0	+0,2	+0,4	+0,4	-5,5	-4,5
Andelfingen ZH	-0,5	-0,1	+3,9	-1,0	0,0	-4,7	-3,7
Flaach ZH	-2,7	-2,0	+2,9	-2,9	-0,4	-5,9	-5,7

steigen, was die in Fig. 3 dargestellten Radiosondierungen von Payerne deutlich zum Ausdruck bringen: Vom 7. zum 8. Mai sank die Temperatur nur noch (infolge nächtlicher Ausstrahlung) in den alleruntersten Luftschichten, während oberhalb von 2600 m eine Erwärmung eintrat. Dies ist eine typische Begleiterscheinung der meisten starken Nachtfröste.

Das verhängnisvolle Ergebnis dieser Wetterlage können wir aus den Tabellen 1 und 2 (Minimaltemperaturen) herauslesen. Der Morgen des 8. Mai brachte sozusagen überall die tiefsten Temperaturen. In Orbe, Öschberg/Koppigen und Flaach sank die Temperatur 50 cm über Grund auf -6, in Payerne und Vétroz/Sion sogar auf -7 Grad. Unter den meteorologischen Stationen

Tab. 2. Minimaltemperaturen einiger meteorologischer Stationen, 3.—9. Mai 1957

(Minimumthermometer in Instrumentenhütte, 2 m über Grund)

Mai 1957	3.	4.	5.	6.	7.	8.	9.
Sion (Aérodrôme)	9,3	0,4	3,2	2,4	0,0	-2,3	2,0
Genève-Cointrin	3,9	5,9	1,6	0,2	0,8	-2,0	-0,8
Neuchâtel	6,5	6,3	3,4	1,0	0,4	-1,2	3,2
Bern	4,0	3,1	4,3	0,6	0,0	-2,0	1,0
Basel/Binningen	2,6	3,1	1,8	1,0	0,6	-1,3	-2,0
Luzern	3,5	3,0	5,8	-0,1	0,7	-2,0	1,1
Zürich-Kloten	1,0	0,5	3,9	-0,7	0,6	-4,2	-2,6
Schaffhausen	4,5	3,5	3,5	0,5	0,5	-3,0	0,0
St. Gallen	2,3	1,6	3,3	-1,7	-0,8	-5,0	-1,0
Chur	6,9	4,2	5,4	-1,4	-1,0	-1,4	2,5

Tab. 3. Tiefste Temperaturen innerhalb der Beobachtungsperioden April/Mai 1951—1957 (Ungeschützte Minimumthermometer 50 cm über Grund)

Hinter jedem Betrag in Klammern das Datum
In jeder Kolonne sind das tiefste April- und Mai-Minimum in Kursivziffern gesetzt

Jahr	Beobachtungszeitraum	Vétroz/Sion VS	Orbe VD	Öschberg/Koppigen BE	Benken BL	Flaach ZH
1951	April 2—30	-4,9 (13)	—	-4,8 (12)	-4,5 (4)	-4,5 (13)
	Mai 1—19	-2,8* (1)	—	-3,0 (1)	-1,5 (1)	-2,4 (1)
1952	April 15—30	+0,1 (29)	+0,5 (28)	-0,6 (29)	0,0 (28)	+1,9 (30)
	Mai 1—21 (23)	+0,7 (6/19)	+2,0 (6)	+0,4 (6)	-2,5 (22)	-2,8 (22)
1953	April 8—30	-3,2 (18)	-3,5 (30)	-3,1 (18)	-2,5 (30)	-1,0 (18/22)
	Mai 1—22	-4,9 (8/11)	-4,0 (11)	-7,4 (11)	-6,1 (11)	-6,6 (11)
1954	April 12—30	-5,9 (22)	-4,5 (12/13)	-7,0 (12)	-5,0 (12)	-6,1 (12)
	Mai 1—21	-1,6 (6)	-2,0 (6)	-2,2 (6)	-1,7 (6)	-1,9 (6)
1955	April 13—30	-10,3 (17)	-7,0 (21)	-5,9 (18)	-6,5 (20)	-6,7 (20)
	Mai 1—25	-3,3 (23)	-3,0 (23)	-3,4 (23)	-2,7 (21)	-3,7 (23)
1956	April 16—30	-7,5 (20)	-3,8 (20)	-3,9 (21)	-4,5 (21)	-4,6 (21)
	Mai 1—25	-3,5 (3)	-2,8 (2)	-2,6 (1)	-1,8 (21)	-2,2 (21)
1957	April 1—30	-10,5 (14/15)	-7,5 (14)	-6,7 (15)	-6,0 (15)	-6,1 (16)
	Mai 1—24	-7,0 (8)	-6,0 (8)	-6,3 (8)	-5,5 (8)	-5,9 (8)

ragt St. Gallen mit -5,0 Grad in (2 m Höhe über Grund) hervor. Während die meisten Frostbeobachtungsposten vom 6. Mai an, einzelne schon früher, Frost meldeten, blieb der Nordabhang des Juras (Benken BL) bis und mit 7. Mai frostfrei; dafür war dort der 9. Mai fast ebenso kalt wie der 8., in Basel/Binningen sogar noch etwas kälter. Auch in der Ostschweiz durfte man den Kampf gegen den Frost in der Nacht vom 8. zum 9. Mai noch nicht einstellen.

Vergleich mit früheren Jahren

Genaue Vergleichszahlen liegen erst seit 1951 vor (Tab. 3). Die Beobachtungen erstrecken sich in den einzelnen Jahren auf den größten Teil der Monate April und Mai. Die tiefsten im Verlauf dieser 7 Beobachtungsperioden gemessenen Temperaturen sind für April und Mai getrennt aufgeführt. Im April brachte das Jahr 1955 (teilweise schon 1954) ähnlich niedrige Werte. Im Mai stehen die Jahre 1953 und 1957 schon an der Spitze. Der 8. Mai 1957 hält den Rekord in der Westschweiz und im Wallis, während er in den übrigen Gebieten — nach den Aufzeichnungen der Frostbeobachtungsposten — vom 11. Mai 1953 übertroffen wird. Diesen beiden schwersten

Tab. 4. Zahl der Frosttage innerhalb der Beobachtungsperioden April/Mai 1951—1957

(Ungeschützte Minimumthermometer 50 cm über Grund)

Jahr	Beobachtungszeitraum	Vétroz/Sion VS	Orbe VD	Öschberg/Koppigen BE	Benken BL	Flaach ZH
1951	April 2—30	16	—	8	11	8
	Mai 1—19	3	—	3	2	1
1952	April 15—30	0	0	0	0	0
	Mai 1—21	0	0	0	0	1
1953	April 8—20	10	5	9	2	5
	Mai 1—22	6	7	6	6	6
1954	April 12—30	10	9	14	12	12
	Mai 1—21	3	1	3	1	3
1955	April 13—30	15	13	14	12	13
	Mai 1—25	8	9	11	4	5
1956	April 16—30	8	6	8	6	8
	Mai 1—25	5	2	7	5	3
1957	April 1—30	15	11	15	11	12
	Mai 1—24	7	10	7	2	7
Tot. Anzahl der Beob.-Tage						
April 150		74	—	68	54	58
Mai 157		32	—	37	20	26

Frösten müßte noch derjenige vom 1. Mai 1945, der den Frostbeobachtungsdienst ins Leben gerufen hat, zur Seite gestellt werden. Die Daten der meteorologischen Stationen sprechen dafür, daß die jüngste Frostkatastrophe die beiden früheren an vielen Orten (z. B. in den Kantonen Schaffhausen, Thurgau und St. Gallen) temperaturmäßig übertroffen hat.

Ungewöhnlich war nicht nur das Ausmaß des Frostes, sondern auch die Häufigkeit der Frosttage im Frühjahr 1957. Tab. 4 zeigt, daß nur 1955 eine gleiche oder noch etwas größere Zahl von Frosttagen aufweist, wenn man die Ergebnisse der Monate April und Mai zusammenzählt.

Wenn man schließlich bedenkt, daß seit der Gründung des meteorologischen Beobachtungsnetzes in der Schweiz (1864) kein einziges Jahr im Februar und März (zusammengenommen) auch nur annähernd so warm war wie 1957, versteht man allein auf Grund der Temperaturverhältnisse die katastrophalen Auswirkungen des Frostes vom Mai 1957. In manchen Gegenden dürfte der Frost seit Menschengedenken keine so großen Schäden an der Vegetation angerichtet haben.

Literatur: W. Kuhn, Die Fröste des Frühjahres 1957. Schweiz. Landwirtschaftl. Monatshefte, Heft 8, S. 402—412, 1957.

Januar

Wie die beiden Vormonate November und Dezember war der Januar 1957 im größten Teil der Schweiz trocken. Zugleich war er reich an Sonnenschein.

Die Temperaturen zeigen im allgemeinen keine großen Abweichungen vom Normalwert. Die größten Überschüsse wies das nördliche Graubünden und das Gotthardgebiet mit etwa einem Grad auf, während die Abweichungen im Nordosten nur einige Zehntelgrade betragen und der Süden und Westen eher etwas zu kalt waren.

Einzig der Alpensüdfuß wies übernormale Niederschläge auf. Im mittleren Tessin wurden etwa 150—180% des langjährigen Mittelwertes gemessen, auf der Alpen-nordseite dagegen nur etwa 40—70%. Noch trockener war das mittlere Wallis mit 15—25%. Auch die Zahl der Niederschlagstage lag meist etwas unter dem Durchschnitt, doch sind die Abweichungen nicht bedeutend. Auch das Tessin wies trotz der großen Regenmenge eine unternormale Zahl von Niederschlagstagen auf, da beinahe die gesamte Monatsmenge an den zwei ersten Tagen fiel.

Die Sonnenscheindauer überstieg allgemein das langjährige Mittel. Meist wurden 110—130% erreicht, strichweise in den nördlichen Teilen des Mittellandes und am Juranordfuß sogar 160—175%. In Basel wurde die diesjährige Januarsumme von 110 Std. seit dem Beginn der Messungen im Jahr 1886 erst ein Mal (im Jahr 1909) mit 124 Stunden übertroffen.

Entsprechend der großen Sonnenscheindauer war die Bewölkungsmenge im größten Teil der Schweiz zu gering, besonders am Juranordfuß, im Tessin und im Wallis, wo sie etwa 80—85% des Normalwertes erreichte. Im östlichen Mittelland finden wir 90—95%, im Genferscegebiet, am Alpennordhang und in Graubünden strichweise um 100%.

Witterungsablauf:

Die über den ganzen Monat verteilten Schönwetterlagen waren nur von kürzeren Schlechtwetterperioden unterbrochen. In bezug auf die Temperatur traten dagegen große Unterschiede auf, indem das erste Monatsdrittel vorwiegend warm war, das zweite jedoch kalte Witterung brachte. Gegen das Monatsende trat wieder allmähliche Erwärmung ein.

- 1.—2. *Föhnlage:* Bedeutende Niederschläge am Alpensüdfuß (in Brissago z. B. 111 mm an beiden Tagen zusammen). In der Zeit nach dem 3. blieb die Südseite der Alpen dagegen fast niederschlagsfrei. Kräftiger Föhn in den Alpentälern (Temperatur am 1. morgens in Altdorf + 9 Grad, in Luzern — 3 Grad!).
- 3.—6. *Nördlich der Alpen vorbeiziehende Störungen:* Zeitweise Niederschläge besonders im Nordosten (Säntis z. B. 74 mm). Nur zeitweise sonnig, jedoch rasche Erwärmung (vergl. Temperaturmaxima des 6.!).
- 7.—10. *Hochdruck über Mitteleuropa:* Mildes, meist sonniges und trockenes Wetter. Am 10. scharfer Kälteeinbruch mit Schneefall aus Nordwesten, aus dem Eismeer. (Temperatur auf dem Jungfrau-joch am 9. morgens — 5°, am 11. — 23°!).
- 11.—16. *Kaltluftzufuhr aus Norden, ab 14. Bisenlage:* Zeitweise Niederschläge nördlich der Alpen, besonders am 12. und 13. Bildung einer Schneedecke bis in die Niederung herunter.
- 17.—22. *Abflauende Bise, Übergang zu Hochdrucklage:* Mittelland vorwiegend unter Hochnebel, Obergrenze anfangs um 1600 m, dann bis auf 700 m absinkend. Übrige Landesteile sonnig. Niederungen kalt (vergl. Temperaturminima!).
- 23.—27. *Allmähliches Eindringen der atlantischen Störungen in den Kontinent.* Bewölkungszunahme in der Höhe, zeitweise etwas Neuschnee nördlich der Alpen. Langsame Erwärmung, am 27. Temp. in der Niederung wieder über Null Grad.
- 28.—30. *Wieder Hochdrucklage:* Sonniges Wetter. Temperaturen in den Niederungen nachts einige Grad über Null.

Februar

Im Gegensatz zum außergewöhnlich kalten Februar 1956 war derjenige des Jahres 1957 sehr warm, lag doch die Temperatur in den Niederungen der Alpensüdseite sowie in den Alpentälern $3\frac{1}{2}$ — $4\frac{1}{2}$ ° über dem langjährigen Mittel, wie es nur in etwa 3% aller Jahre vorkommt, das letzte Mal anno 1926. Geringere positive Abweichungen weisen die Alpengipfel auf (etwa 2°) ferner der Alpensüdfuß (etwa 1°).

Ebenso bedeutend wie bei den Temperaturen waren die Abweichungen bei den Niederschlägen, wo nur in einzelnen Gebieten der Südostschweiz, zwischen Berninapass und Oberengadin, ungefähr normale Mengen festgestellt wurden. In den übrigen Landesteilen sind sehr bedeutende Überschüsse zu verzeichnen, welche das Defizit der drei vorangehenden Monate zum mindesten teilweise, in einzelnen Gebieten sogar vollständig ausglich.

Die Prozentzahlen in bezug auf das langjährige Mittel liegen im Februar im Tessin um 150%, in einzelnen Teilen der Zentralschweiz sowie am Juranordfuß zwischen 150 und 250%, im Mittelland dagegen meist zwischen 250 und 350, strichweise sogar um 400%. Im Wallis, wo meist etwa 350% registriert wurden, meldet Sion sogar ungefähr die 5½fache Normalmenge, was bisher (seit dem Jahr 1864) im Februar noch nie erreicht wurde (bisher höchste Menge 1955: 188 mm). Die Zahl der Tage mit Niederschlag lag allgemein weit über dem langjährigen Durchschnitt.

Die *Sonnenscheindauer* zeigt zwar nicht so große Abweichungen wie die andern beiden Wetterelemente, doch wurden immerhin auf den Berggipfeln nur etwa ⅔, im Tessin, im Wallis und am oberen Genfersee etwa ¾ bis ⅘ des Normalwertes, erreicht. In Graubünden, im Jura und im westlichen Mittelland liegen die Werte um 85—90% und im Gebiet Zürich—Luzern wurde das langjährige Mittel ungefähr erreicht.

Die *Bewölkung* war dementsprechend größtenteils überdurchschnittlich, wobei die Werte in bezug auf das langjährige Mittel nördlich der Alpen zwischen 100 und 125% schwanken, im Wallis und auf der Alpensüdseite um 135% liegen.

Die häufigen Westwinde, welche dem Monat das Gepräge gaben, verursachten eine geringe *Nebelhäufigkeit* in den Tallagen der Alpennordseite, dagegen eine erhöhte Zahl von Nebeltagen in den Bergen sowie auf der Alpensüdseite.

Witterungsablauf:

- 31. I.—8. II. *Hochdruck über Südosteuropa, in der Schweiz häufig Südwestströmung.*
Hohe Temperaturen, im Mittelland vielfach 5—9° über dem Normalwert. Temperaturmaxima Säntis am 3., in Altdorf am 6. Föhn. Keine oder geringe Niederschläge, außer am 6. Ziemlich sonnig, besonders am 2.
- 9.—12. *Veränderliches, noch ziemlich warmes Westwindwetter.*
Zeitweise windig, auch in den Niederungen der Alpennordseite. Häufige Niederschläge, besonders in der Nordostschweiz (Säntis total 68 mm). Im Tessin am 11. Nordföhn und sehr warm.
- 13.—20. *Westwindwetter mit allmählich sinkenden Temperaturen.*
Häufige Niederschläge. (Vom 17. an zeitweise etwas Schnee bis in die Niederungen beidseits der Alpen.) Wenig Sonne, außer am 17. und 19. Am 14./15. (beim Vorüberziehen eines kräftigen Wirbels vom Atlantik über Deutschland nach der Ostsee) stürmische Winde.
- 21.—23. *Kaltlufteinbruch und vorübergehend Bildung eines kleinen Hochdruckgebietes über Mitteleuropa.*
Temperaturen etwas unter dem Normalwert. Am 21. ziemlich sonnig, dann Schneefälle.

24.—25.

Starker Warmlufteinbruch mit großen Niederschlägen nördlich der Alpen.
(Überschwemmungen, Lawinen-Niedergänge). Regenmengen am 24. in der Nordostschweiz strichweise 105—115 mm (Braunwald, Ebnet). Nullgradgrenze vorübergehend auf etwa 2000 m steigend. In der Höhe sehr starke Westnordwestströmung. (Über Payerne in 8—10 km Höhe 150—200 km/Std.)

26. II.—5. III. *Hochdruckgebiet über Mitteleuropa.*

Anfangs Kaltluftzufuhr aus Nordwest bis Nord, ab 28. niederschlagsfrei mit Bise, welche vom 1. März an abflaut und zu einer Schönwetterlage mit allmählicher Erwärmung überleitet. In den Niederungen der Alpennordseite jedoch noch Nachtfrost.

März

Wie in ganz Westeuropa war die *Temperatur* ungewöhnlich hoch, betrogen doch die Abweichungen vom Normalwert in den nördlichen Landesteilen teilweise mehr als 5 Grad. Das bisher in diesen Gebieten höchste Märzmittel von 1948 wurde um mehrere Zehntelsgrade übertroffen. Der März war somit dort wärmer als ein normaler Aprilmonat. Da auch der Februar stark übernormale Temperaturen gebracht hatte, war die Entwicklung der Vegetation außergewöhnlich weit fortgeschritten. Auch die Westschweiz und das innere Alpengebiet wiesen mit 3½ bis 4½ Grad Abweichung sehr große Wärmeüberschüsse auf, während am Alpensüdfuß nur etwa 2 Grad verzeichnet wurden.

Die *Niederschlagsmengen* lagen im größten Teil der Schweiz stark unter dem langjährigen Mittel, nur im nordöstlichen Voralpengebiet sowie im westlichen Tessin wurden die normalen Beträge etwas überschritten. Im Mittelland westlich der Linie Olten-Luzern, im Wallis unterhalb von Visp sowie teilweise in den mittleren Bündnertälern im Raum Disentis—Schams—Berninapass sowie im östlichen Tessin wurde weniger als die Hälfte des Normalwertes gemessen, im Südwestzipfel des Landes zwischen Freiburg und Genf sowie im mittleren Wallis sogar nur etwa ¼ des Normalbetrages. Auch die Zahl der *Niederschlagstage* blieb vor allem in der Westschweiz unter dem langjährigen Mittelwert, sind doch im März im Gebiet des Genfer- und Neuenburgersees sonst 12 bis 13 Tage üblich, statt der 4 bis 8 Tage des Jahres 1957.

Bei der *Bewölkung* und der *Sonnenscheindauer* verhalten sich beide Seiten der Alpen verschiedenartig, indem nördlich der Gebirgskette sowie in den inneren Alpentälern die Bewölkung größtenteils etwa 85—90%, die Sonnenscheindauer dagegen 120—125% des langjährigen Mittelwertes erreichte, während in bezug auf diesen Normalwert der Alpensüdfuß etwa 120% Bewölkung und nur 85% Sonnenscheindauer aufwies.

Witterungsablauf:

- 6.—9. *Durchgang schwacher Störungen von Südwesten her.*

Warmes Wetter mit meist starker Bewölkung und zeitweisen Niederschlägen, am 6. hauptsächlich in der Westschweiz, am 8. vor allem im Nordosten des Landes.

- 10.—16. *Hochdruckwetter über Mitteleuropa.* Am 10. im Osten und Süden nur mäßig warm und Hochnebel, dann schönes, zunehmend wärmeres Wetter mit Temperaturmitteln 5—9° über dem Normalwert in den Niederungen der Nordostschweiz.
- 17.—18. *Im Norden vorüberziehende Störungen* streifen die nördlichen Landesteile und bringen dort starke Bewölkung sowie einige Niederschläge, jedoch keine wesentliche Abkühlung.
- 19.—21. *Kleines Hoch von Südwesteuropa bis zu den Alpen* bringt am 20. das Temperaturmaximum des Monats und sonniges Wetter.
- 22.—27. *Störungen greifen erneut von Südwesten her* auf Mitteleuropa über. Am 23. Föhnlage mit bedeutenden Niederschlägen im Tessin (im Centovalli ungefähr 110 mm). Allgemein veränderliches, immer noch warmes Wetter.
- 28.—31. *Ein von Dänemark nach Ungarn ziehendes Tiefdruckgebiet* bringt Kaltluftzufuhr aus Nordwesten. Am 28./29. erhalten die nordöstlichen Landesteile bedeutende Niederschlagsmengen (Säntis 102 mm). Der 30. ist wieder allgemein sonnig, während am 31. im Osten und Süden Hochnebel auftritt. Strichweise Nachtfrost 31. III. / 1. IV.

April

Mit Ausnahme eines kleinen Gebietes in der Zentralschweiz, in welchem ungefähr normale Temperaturen herrschten, lag das Monatsmittel etwas über dem langjährigen Mittelwert. Die positiven Abweichungen waren jedoch wesentlich kleiner als in den beiden vorangehenden Monaten. Die Beträge liegen meist zwischen $\frac{1}{2}$ und 1 Grad. In den nordöstlichen Landesteilen wurde im April nur knapp das Märzmittel erreicht, teilweise lag sogar die Apriltemperatur um einige Zehntelsgrade tiefer.

Die *Niederschlagsmengen* zeigen eine ähnliche Verteilung wie im März. Im Appenzellerland fiel annähernd die Normalmenge. Die übrigen Gebiete der Nordost- und Zentralschweiz melden etwa $\frac{2}{3}$ bis $\frac{4}{5}$ des langjährigen Mittelwertes, das Rheingebiet unterhalb Schaffhausen sowie das Mittelland westlich der Linie Olten—Napf dagegen nur $\frac{1}{3}$ bis $\frac{1}{2}$ dieses Betrages. Noch geringer waren die Mengen im Wallis sowie in Graubünden im Rheingebiet südlich von Chur. Dort wurde strichweise kaum $\frac{1}{5}$ des Sollbetrages erreicht. Das Südtessin und die südlichen Bündnertäler erhielten dagegen etwas mehr als die Hälfte des Normalwertes. Die Zahl der *Niederschlagstage* nahm wie die Niederschlagsmenge von Nordosten nach Südwesten ab.

Die *Sonnenscheindauer* wies mit Ausnahme der Zentralschweiz keine wesentlichen Abweichungen vom langjährigen Mittelwert auf. In der Genferseegegend wurden

etwas übernormale Werte registriert (105—110 %), im Juragebiet etwa normale Werte, im Mittelland etwas unternormalc Beträge (90—95%), ebenso in Graubünden und im Tessin (90%), während die Zentralschweiz mit etwa $\frac{3}{4}$ des Normalbetrages vorlieb nehmen mußte.

Dementsprechend war die *Bewölkung* besonders in der Zentralschweiz und im Tessin zu groß (110—115 %), im südwestlichen Mittelland und im Wallis dagegen zu klein (90—95 %). Zusammenfassend können wir feststellen, daß mit Ausnahme der geringen Niederschlagsmengen in den inneren Alpentälern sich die Abweichungen vom Normalwert in mäßigen Grenzen hielten, im Gegensatz zu den großen Beträgen der beiden Vormonatc.

Witterungsablauf:

- 1.—5. *Hochdruckgebiet von Nordwesteuropa nach Rußland.*
In der Schweiz bei meist schwachen Winden warmes, im allgemeinen ziemlich sonniges Wetter, jedoch mit strichweisen leichten bis mäßigen Niederschlägen sowie einzelnen Gewittern.
- 6.—11. *Kaltluftausbruch vom Polargebiet bis ins Mittelmeer.*
Tiefste Temperaturen am 8. (Jungfraujoch —20°.) Am 6. und 7. nördlich der Alpen Niederschläge besonders im Nordosten. Vom 9.—11. anderseits Regenwetter im Tessin (Bildung eines Mittelmeertiefs mit Aufgleiten von Warmluft in der Höhe aus Südosten).
- 12.—15. *Bisenlage.*
Erneute Kaltluftzufuhr von Skandinavien her. In den Niederungen der Alpennordseite verbreitete Nachtfroste (Temperaturminimum in 50 cm Höhe am 13. und 15. in Sion—Vétroz —10,5°) mit bedeutenden Schäden (Vegetation infolge der hohen Märztemperaturen weit übernormal entwickelt!) Westschweiz und Alpensüdseite sonniges Wetter, im Nordosten und in der Zentralschweiz noch Niederschläge.
- 16.—20. *Zeitweiser Vorstoß des Azorenhochs nach Mitteleuropa.*
16. und 17. schönes, in der Höhe wieder warmes Wetter. 18.—20. streifen die Störungslinien eines von den britischen Inseln nach der Ostsee ziehenden Tiefdruckgebietes die Schweiz und bringen dem Nordosten bedeutende Niederschläge (Säntis 94 mm!).
- 21.—25. *Hochdruck über Nordeuropa.*
Warmes, bis zum 24. sonniges Wetter bei schwachen Winden. Am 24. und 25. von Westen und Süden her gewittrige Niederschläge.
- 26.—30. *Tief über Frankreich und Spanien.*
Föhniges, warmes Wetter, im allgemeinen ziemlich sonnig, besonders am 28. Am Alpensüdfuß am 27. und 29. meist bedeckt mit Niederschlägen, vor allem am 29. (Föhnlage). Am 30. Kaltfrontdurchgang mit Niederschlägen im Nordosten.

Mai

Wie allgemein in Mittel- und Südeuropa fiel das Monatsmittel der *Temperatur* in der Schweiz stark unternormal aus. Das *Wärmedefizit* betrug infolge der zwei kräftigen Kälteeinbrüche im ersten und letzten Monatsdrittel im allgemeinen 2—2½ Grad, in der Zentralschweiz sogar 3°, Werte die im Mai seit den Jahren 1939 und 1941 nicht mehr aufgetreten waren.

Auch die *Niederschläge* waren in den meisten Gebieten der Schweiz unternormal, doch zeigen sich ziemlich große Unterschiede in den einzelnen Regionen. Das Genferseegebiet, das schon im März und April trocken gewesen war, erhielt im Westen weniger als die Hälfte, im Osten etwa ⅔ der normalen Regenmengen. Auch der Norden des Landes, nördlich der Linie Biel—Zürich mußte sich mit 40—50% der Normalmengen begnügen. In den übrigen Teilen des Mittellandes, in Graubünden und im Tessin liegen die Werte meist zwischen 70 und 90%. Etwas mehr als 100% fielen dagegen am Alpenordhang (meist 110—130%) sowie im Wallis. In den südlichen Wallisertälern wurden sogar teilweise 160—180% erreicht. Im Alpengebiet war auch die Zahl der Tage mit *Niederschlag* übernormal (z. B. Gotthard 25 statt 18, Gr. St. Bernhard 21 statt 14). In den übrigen Landesteilen fiel jedoch die Zahl der Regentage fast überall kleiner aus als im langjährigen Durchschnitt (z. B. Genf 9 statt 12, Zürich 12 statt 15). Nur das Tessin weist mit 16 Tagen eine verhältnismäßig hohe Zahl auf, sind doch sonst dort 13 bis 14 Tage die Regel.

Die *Sonnenscheindauer* erreichte nirgends völlig den üblichen Wert, doch blieb sie in einzelnen Gegenden, so besonders im Westen und Nordwesten des Landes, nur 5—10% unter dem Sollbetrag. Die Nordostschweiz mußte mit etwa 80% des Normalwertes vorlieb nehmen, das Tessin und das Oberengadin mit 80—90%, während die übrigen Teile Graubündens mit 70—80% und die Zentralschweiz mit ungefähr 70% am schlechtesten davorkamen.

Die *Bewölkungsmenge* war allgemein größer als im langjährigen Durchschnitt, wobei die Werte meist zwischen 110 und 120% liegen, stellenweise, vor allem in Graubünden und im Tessin, jedoch 130% erreichen. In den Bergen wurden infolge des häufigen trüben Wetters auch mehr als sonst *Nebeltage* verzeichnet und die Zahl der *heiteren Tage* war allgemein recht bescheiden. In großen Gebieten trat sogar kein einziger heiterer Tag (*Bewölkungsmittel* ⅔) auf, während sonst in der Zentral- und Nordostschweiz immerhin 4—5 Tage, im Westen und Süden des Landes sogar etwa 7 Tage die Regel bilden.

Witterungsablauf:

- 1.— 4. *Hochdruckgebiet auf dem Atlantik*. Kühles Wetter mit Bisc. Im Tessin bis zum 3. zeitweise Regen, sonst meist trocken.
- 5.—10. *Starker Kaltlufteinbruch* aus dem Polargebiet auf der Ostflanke des sich allmählich abbauenden und nach Mitteleuropa verlagernden Hochs. In den Niederungen des Mittellandes am 8. starke Schadenfröste (Minimaltemperaturen in 50 cm

Höhe — 6 bis — 7 Grad). Am 5./6. in der Nordost- und Zentralschweiz Schneefall bis ins Flachland, ab 8. allgemein sonnig und trocken. Allmähliche Erwärmung.

- 11.—13. *Bei westlichen Winden Durchgang von einzelnen Störungslinien vom Ozean her*. Wieder etwas übernormale Temperaturen.
- 14.—15. *Hochdruck über Mitteleuropa*. Sonniges, warmes Wetter.
- 16.—20. *Erneuter Einbruch von Störungslinien vom Ozean her*. Abkühlung. Niederschläge vor allem am 16. und 19. (z. B. Heiden 16 und 48 mm). Zeitweise Bisc. Am 18. vorübergehend sonnig.
- 21.—28. *Hochdruck über Nord- und Nordwesteuropa, Tief im Mittelmeerraum*. Anfangs ziemlich kühles, ab 26. in den Niederungen der Alpennordseite sehr kaltes Wetter mit meist starker Bewölkung (*Temperaturtagesmittel* in Zürich am 27. 5. 1°!). Häufige Niederschläge südlich der Alpen sowie im innern Alpengebiet. (Tessin vom 23.—30. größtenteils bedeckt, Lugano total nur 0,7 Std. Sonne, jedoch 85 mm Regen).
- 29.—31. *Bei flacher Druckverteilung* wieder wärmeres, veränderlich bewölktes Wetter mit verbreiteten Gewittern am 30. und 31.

Juni

Im Gegensatz zum sehr kalten Mai brachte der Juni im größten Teil der Schweiz übernormale *Temperaturen*. Besonders groß war der Wärmeüberschuß in den nordöstlichen Landesteilen, wo er in Berglagen 1½ bis 2 Grad erreichte. Im westlichen Mittelland und im Wallis weichen dagegen die Werte nur wenig vom langjährigen Durchschnitt ab. Unternormale Temperaturen finden wir am Alpensüdfuß, wo das Defizit 1—1½ Grad betrug.

Auch bei den *Niederschlägen* nimmt die Südseite der Alpen eine besondere Stellung ein, fiel doch im Tessin mehr als die doppelte, strichweise die dreifache Normalmenge. Auch das schweizerische Gebiet hat somit zu den Hochwassern des Po beigetragen. Nach Norden nehmen die Niederschlagsmengen ab. Das Wallis, die Gegend von Genf und die Täler von Mittelbünden verzeichnen noch mehr als das 1½fache des Normalbetrages, das Jura-gebiet etwa 120—170%, das Mittelland im allgemeinen 110—130%, im Gebiet der Kantone Bern, Zürich, Thurgau und St. Gallen, sowie in einzelnen Alpentälern strichweise nur 80—100%. Während somit die Regenmenge im Mittelland nur wenig von der Regel abwich und zum Teil sogar etwas darunter lag, war die Zahl der *Tage mit Niederschlag* allgemein zu hoch. Meist liegen die Werte 2—5 Tage über dem langjährigen Durchschnitt, im Tessin sogar 6—7 Tage, indem statt 12—13 19 Tage Regen brachten. Nur das Alpengebiet der Nordostschweiz, das allgemein häufig beregnet wird, verzeichnet mit einem Tag Überschuß verhältnismäßig kleine Zahlen.

Dem Niederschlagsreichtum im größten Teil der Schweiz steht ein Defizit an *Sonnenscheindauer* gegenüber. Nur die Nordostschweiz und Mittelbünden wiesen etwa normale Werte auf, teilweise sogar etwas mehr als

100% des langjährigen Mittels, während im Westen und Nordwesten sowie im Engadin 75—95%, südlich der Alpen sogar nur etwa 70% der normalen Sonnenstunden registriert wurden. Die *Bewölkungsmenge* schwankt dementsprechend zwischen 95% in der Nordostschweiz und 130—150% im Tessin. Während in den nordöstlichen Teilen der Schweiz die *Zahl der trüben Tage* den Normalwert nur wenig überstieg oder sogar teilweise darunter lag, hatten die Stationen in der Süd- und Westschweiz häufig trübes Wetter. Die *Zahl der heiteren Tage* war dagegen im Süden und Westen unternormal, besonders im Tessin. Der Monat war charakterisiert durch einen großen *Gewitterreichtum*. Mit Ausnahme der Westschweiz lag die Zahl der Tage mit Gewittern allgemein über dem Durchschnitt und besonders die Voralpenzonen wurden vielfach von schweren *Hagelschlägen* heimgesucht.

Witterungsablauf:

- 1.—10. *Bei meist südwestlichen Höhenwinden veränderliches Wetter.* Durchgang einzelner Störungslinien vom Atlantik her mit häufigen Niederschlägen beidseits der Alpen. Dazwischen Vorstöße von Ausläufern des Azorenhochs nach Mitteleuropa mit schönem Wetter (2., 6.). Mittlere Temperaturen.
- 11.—13. *Hochdruckaufbau über Westeuropa. Kälteeinbruch* in den unteren 3000 m der Alpennordseite. In der Höhe Südwind, im Mittelland ab 12. Bise. Vom 10.—12. bedeutende Niederschläge in der ganzen Schweiz, besonders jedoch südlich der Alpen (Lugano 124 mm, Locarno 129 mm).
- 14.—20. *Bei flacher Druckverteilung wieder warmes, ziemlich sonniges Wetter.* Anfangs unter Hochdruckeinfluß meist niederschlagsfrei, nur lokale Gewitterstörungen, zum Teil mit Hagel. Dann zunehmend gewitterhaft mit Niederschlägen, besonders am 16. und 20., am 16. vielfach mit Hagel.
- 21.—26. *Kaltluftzufuhr vom nördlichen Atlantik nach Westeuropa.* Allmähliche Abkühlung. Häufige Gewitter-Niederschläge, besonders vom 21.—24. (im Centovalli etwa 240 mm!). Am 21. sehr verbreitet Hagel im Voralpengebiet beidseits der Alpen.
- 27.—30. *Hochdruck über Mitteleuropa.* Heiteres, mit Ausnahme einzelner Lokalgewitter in der Südwestschweiz niederschlagsfreies Wetter mit rascher Erwärmung zu hochsommerlichen Temperaturen (Vergl. z. B. Bever: Temperaturminimum 27. Maximum 29.!) In den Niederungen ab 29. vielfach Temperaturmaxima über 30 Grad (sog. Tropentage).

Juli

Das ungewöhnlich warme erste Monatsdrittel und die nachfolgende kühle Periode bis gegen das Monatsende ergeben einen *Temperatur-Durchschnitt*, welcher in der ganzen Schweiz nur wenig vom langjährigen Normalwert abweicht. Der Norden der Schweiz sowie die Stationen auf den Berggipfeln und Pässen wiesen etwas übernor-

malc Werte auf, während in den Tälern der Zentralschweiz, im Tessin und Engadin das langjährige Mittel nicht erreicht wurde. Auch bei den *Niederschlägen* kompensieren sich die trockenen Perioden des Monatsanfangs und -Endes mit der dazwischenliegenden Regenperiode in vielen Landesgegenden, so daß die Monatssummen im allgemeinen zwischen 90 und 130% des Sollwertes liegen. Trocken waren einzelne Walliser- und Tessinertäler (Visp-Zermatt Saas-Fee, Maggital, Bleniotal), wo nur 50—70% des Normalwertes fielen. Auch das Gotthardgebiet und das oberste Vorderrheintal erhielten nur $\frac{2}{3}$ bis $\frac{3}{4}$ des normalen Betrages. Dagegen waren die nordöstlichen Landesteile niederschlagsreich, wurden noch im Voralpengebiet teilweise 150—170% des Normalbetrages gemessen, da sich in den letzten zwei Monatsdritteln die vom nördlichen Atlantik nach Mitteleuropa einströmende kühle Luft dort häufig an den Alpen staute. Die *Zahl der Tage mit Niederschlag* war nördlich der Alpen allgemein überdurchschnittlich, so weisen z. B. im langjährigen Durchschnitt La Chaux-de-Fonds und St. Gallen im Juli nur 15—16 Niederschlagstage auf, während die Zahl in diesem Jahr auf über 20 stieg. In der Kälteperiode zu Beginn des letzten Monatsdrittels fiel teilweise Schnee bis gegen 2000 m hinunter, im Oberengadin sogar bis ins Tal. Der Säntis erhielt die doppelte Zahl der normalen Schneetage. Nur im Tessin entsprach die Zahl der Tage mit Niederschlag ungefähr dem normalen Wert.

Die *Bewölkung* war südlich der Alpen ebenfalls annähernd normal, während in den übrigen Landesteilen überdurchschnittliche Beträge festzustellen sind. Im allgemeinen betrug die Menge 110—120% des langjährigen Mittelwertes. Dementsprechend trat mit Ausnahme des Tessins auch ein beträchtliches Defizit der *Sonnenscheindauer* auf. In bezug auf den Normalwert wurden im Wallis Beträge zwischen 90 und 95%, in der Westschweiz um 90%, im übrigen Mittelland, nördlich des Juras und in Graubünden meist 80—85% und in der Zentralschweiz sogar nur etwa 75% registriert.

Charakteristisch für den Monat waren, wie aus dem nachfolgenden Witterungsablauf hervorgeht, die beiden gegensätzlichen Perioden zu Beginn und im zweiten Teil des Monats.

Witterungsablauf:

- 1.—8. *Hochdruck über Mittel- und Osteuropa.* Warmes, in der Mitte der Periode vom 4.—7. sogar außerordentlich warmes, sonniges Wetter. Im allgemeinen trocken, nur lokale Gewitterniederschläge. In den Niederungen vor allem am 6. sehr hohe Maximaltemperaturen, jedoch meist nicht höher als in früheren Jahren (z. B. 29. Juli 1947), auf dem Säntis wurde dagegen der bisher höchste Wert aus dem Jahr 1952 (19,4°) überboten.
- 9.—24. *West- bis Nordwestströmung.* Zug der Tiefdruckgebiete vom Atlantik über die britischen Inseln hinweg nach Mitteleuropa. Nördlich der Alpen mit Ausnahme des 12. sonnenarm. Häufige Störungslinien mit bedeutenden Niederschlägen in der ganzen Schweiz, besonders am 9./10. sowie

in der Zeit zwischen dem 17. und 22. (Säntis z. B. Niederschlagsmenge 9.—11. zusammen 133 mm, 21. und 22. 93 mm). Temperaturen mit Ausnahme von wenigen Tagen unter dem jahreszeitlichen Durchschnitt; besonders große Kälte am 22. infolge eines kräftigen Einbruchs von Polarluft von Nordwesten her. Tessin am 19. sonnenlos, sonst häufig sonnig zwischen den Störungslinien.

- 25.—26. *Leichter Vorstoß des Azorenhochs nach Frankreich.* Vorübergehendes Nachlassen der Niederschläge und etwas wärmer.
- 27.—29. *Neuer, abschließender Kaltlufteinbruch* auf der Westseite eines vom Ozean nach Skandinavien ziehenden kräftigen Tiefdruckwirbels. Am 27. allgemein Niederschläge, besonders in der Nordostschweiz (Säntis 68 mm). Immer noch sonnenarm nördlich der Alpen, am 27. auch am Alpen-südfuß.
- 30.—31. *Aufbau eines Hochdruckgebietes über West- und Mitteleuropa.* Rasche Erwärmung, trockenes und sonniges Wetter.

August

Auf ein warmes erstes Monatsdrittel folgte — ähnlich wie im Juli — eine kühle Periode bis gegen das Monatsende, so daß das Augustmittel der Temperatur sowohl nördlich als auch südlich der Alpen etwas unter dem Normalwert lag. Die Abweichungen sind jedoch im allgemeinen nicht bedeutend, sie liegen meist in der Größenordnung von etwa $\frac{1}{2}$ Grad, so daß das Monatsmittel im allgemeinen noch im normalen Bereich liegt, in welchem sich mehr als die Hälfte aller im Zeitraum 1864—1940 gemessenen Augustmittel befinden. Etwas größere negative Abweichungen weisen die südöstlichen Landesteile auf, wo die Abweichungen teilweise bei etwa -1° liegen.

Bei den *Niederschlägen* finden wir Überschüsse vor allem in den südöstlichen Landesteilen, etwa südlich der Linie Leysin—Engelberg—Heiden, allerdings mit einer «Trockeninsel» im Wallis oberhalb von Leuk sowie im oberen Maggiatal, wo nur etwa 70—90% der Normalmengen erreicht wurden. Im mittleren Tessin, im Rheingebiet oberhalb von Landquart sowie im Misox und Bergell finden wir dagegen Werte von mehr als 130% des langjährigen Mittels, teilweise sogar 170—180%, wie z. B. in Chur und Locarno. Die übrigen Gebiete der Südostschweiz erhielten meist 110—130%. Unternormale Beträge fielen im Mittelland und im Juragebiet (meist etwa 80—90% des Normalwertes), nordwestlich des Juras dagegen annähernd 100%. Verhältnismäßig trocken blieb das Gebiet Genf—Lausanne—Romont mit etwa 60—70%, d. h. etwa $\frac{2}{3}$ der normalen Mengen.

Die Zahl der *Niederschlagstage* war jedoch auch in den Gebieten, in welchen die Regenmengen den Sollwert nicht erreichten, übernormal, so weist z. B. Genf durchschnittlich nur 10,3 Regentage auf, während 1957 12 verzeichnet wurden. Besonders ungünstig waren die Verhältnisse im Vergleich zum Normalwert im Tessin (14 statt $9\frac{1}{2}$ Tage) sowie in Chur (17 statt 12,6 Tage).

Die *Sonnenscheindauer* wich im allgemeinen nicht stark vom Normalwert ab, immerhin wiesen die meisten Gegenden etwas zu geringe Beträge auf, in bezug auf den Mittelwert der Periode 1921—1950 liegen sie vorwiegend zwischen 90 und 100%. Südlich der Alpen trat ein größeres Defizit auf, dort wurden nur etwa 85% erreicht, doch sind die absoluten Werte, wie die Tabelle zeigt, mit etwa 220 Sonnenstunden immer noch beträchtlich. Die Zahl der *trüben Tage* (Bewölkung über $\frac{8}{10}$) war zwar in der Zentral- und Nordwestschweiz sowie strichweise im Tessin zu hoch, in den anderen Gegenden dagegen normal oder sogar unternormal. Die *heiteren Tage* (Bewölkung unter $\frac{2}{10}$) waren allerdings durchgehend spärlich gesät (im Tessin 2—5 statt 12—13!).

Die durchschnittliche *Bewölkungsmenge* überschritt durchgehend den Sollwert, teilweise sogar erheblich, im Tessin wurden etwa 120—140%, in den übrigen Landesteilen meist 110—120% beobachtet, so daß der Monat, der mit Ausnahme der ersten 5 Tage keine längeren Schönwetterperioden aufwies, als «trübe Zeit» in der Erinnerung geblieben ist.

Witterungsablauf:

- 1.—5. *Hochdruck über Nordwest- und Mitteleuropa.* Warmes, trockenes und sonniges Wetter in der ganzen Schweiz.
- 6.—10. *Zunehmendes Übergreifen der atlantischen Tiefdruckwirbel auf Mitteleuropa.* Warm bis sehr warm (vergl. Temp. Max. 7.—9. in der Tabelle). Nur noch teilweise sonnig, gewitterhaft, am 9. föhnig, nachfolgend allgemein Niederschläge, zum Teil maximale Tagesmengen des Monats. (Kaltlufteinbruch aus Westen). Am 10. wieder trocken und sonnig, jedoch kühler.
- 11.—15. *Südwestströmung in den höheren Luftschichten* (Höhentrog über Westeuropa). Veränderliches, sonnenarmes und zunehmend kühleres Wetter mit häufigen Niederschlägen besonders in den südöstlichen Landesteilen (z. B. Locarno-Monti 11.—15. total 242 mm. Chur 135 mm, Basel dagegen nur 26 mm). Temperaturen anfangs übernormal dann unternormal.
- 16.—25. *Veränderliches Westwindwetter*, vom 19.—22. unterbrochen von einer Periode mit Nordströmung. Vorwiegend unternormale Temperaturen, vor allem auf der Alpennordseite. Sonnige Tage (17., 20., 22.) abwechselnd mit Niederschlägen, besonders in der Nordostschweiz (Säntis 161 mm). Am 19./20. und 22. in der Westschweiz Bise, im Tessin Nordföhn. Dabei in beiden Gebieten sonnig, im Tessin verhältnismäßig warm.
- 26.—28. *Kaltluftzufuhr aus Nordwesten.* Besonders in der Nordostschweiz am 27. und 28. Niederschläge, sowie sehr kaltes und trübes Wetter (vergl. Temp. Min. 29.). Im Tessin am 26. und 28. sonnig. In der West- und Südschweiz wenig Niederschlag.
- 29.—31. *West-östliches Hochdruckband über Mitteleuropa.* Immer noch kühles, aber wieder größtenteils trockenes und im allgemeinen sonniges Wetter.

September

Wie im August blieben die mittleren Temperaturen im größten Teil der Schweiz etwas unter dem Normalwert, doch waren die Abweichungen noch etwas geringer als im Vormonat. Im Genferseegebiet waren sie annähernd Null und in der Nordostschweiz wurden sogar geringfügige Überschüsse verzeichnet. Das größte Defizit wiesen die Zentralschweiz und das östliche Alpengebiet auf, wo die Temperaturen im allgemeinen $\frac{3}{4}^{\circ}$, auf dem Säntis sogar $1\frac{1}{4}^{\circ}$ unter dem langjährigen Mittelwert lagen.

Nördlich der Alpen lagen die Niederschlagssummen größtenteils über dem Normalwert. Wir finden nur kleinere «Trockeninseln», vor allem im Gebiet des Genfersees sowie im Kanton Schaffhausen, wo die Beträge auf das Mittel der Jahre 1901—1940 zwischen 80 und 100% liegen, in Genf sogar zwischen 40 und 50%. In den übrigen Landesteilen nördlich der Alpen schwanken die Werte meist zwischen 100 und 150%, und in vielen kleinen, weit verstreuten Gebieten wurden sogar 160—170% erreicht. — Ganz anders waren die Verhältnisse südlich des Alpenkammes. In Nord- und Mittelbünden sowie im Wallis (mit Ausnahme der stark berechneten Seitentäler) wurden noch Werte zwischen 50 und 100% des üblichen Betrages erreicht, sobald wir jedoch weiter nach Süden gehen, in das Tessin und das Oberengadin liegen die prozentualen Werte tief (Tessin um 5—30%). Während im langjährigen Durchschnitt der September südlich der Alpen nicht viel weniger, teilweise sogar etwas mehr Regen zu bringen pflegt als der August, waren in diesem Jahr die Verhältnisse sehr ungleich (Locarno z. B. August 356 mm, September 21 mm!)

Die Zahl der Niederschlagstage war nördlich der Alpen meist etwas größer, südlich der Alpen dagegen kleiner als der Sollwert. Im südlichen Tessin traten nur 6 statt der sonst üblichen 10 Niederschlagstage auf.

Die Sonnenscheindauer erreichte nur im westlichen Genferseegebiet ungefähr die normalen Beträge, während in den übrigen Landesteilen allgemein ein Defizit verzeichnet wurde. Wir finden meist Werte zwischen 85 und 93% in bezug auf den Durchschnitt der Jahre 1921—1950. Es fehlen größtenteils etwa 10—12 Stunden zum Normalwert, im östlichen Alpengebiet sogar vielfach 30—40 Stunden.

Auch in bezug auf die Bewölkungsmenge zeigt sich wie bei der Sonnenscheindauer ein ungünstiges Bild, liegen doch die Prozentzahlen in bezug auf den Mittelwert 1921—1950 vorwiegend zwischen 105 und 115%, trotzdem die Zahl der trüben Tage den Normalwert meist nicht wesentlich überstieg und vielfach, besonders im Tessin, noch darunter lag.

Gesamthaft ergibt sich das Bild eines südlich der Alpen zu trockenem, allgemein ziemlich sonnenscheinarmen, sonst aber wenig vom Durchschnitt abweichenden Monats.

Witterungsablauf:

1.—3. Westwindwetter. Veränderliche Witterung. Besonders im Nordosten ziemlich sonnenscheinarm mit zeitweisen Niederschlägen, vor allem am 2.

- 4.—10. Hochdruckband von den Azoren bis nach Rußland. Warmes, meist sonniges und trockenes Wetter in der ganzen Schweiz (vergl. Temperaturmaxima vom 8.), am 8./9. jedoch Durchgang einer Störungslinie von Westen nach Osten mit leichten Niederschlägen nördlich der Alpen, nachfolgend Abkühlung.
- 11.—15. Sturmtief über Skandinavien. Kräftige West- bis Nordwestwinde auf der Alpennordseite, am 13. für kurze Zeit Nordföhn im Tessin. Rasch absinkende Temperaturen infolge von Kaltluftzufuhr aus dem Polargebiet (vergl. Temperaturminima vom 14.—16.). Häufige Niederschläge, vor allem nördlich der Alpen, am 14. jedoch in allen Landesteilen. Sonnenarme Periode.
- 16.—20. Hochdruck über Mitteleuropa. Trockenes und vor allem vom 18.—20. allgemein sonniges Wetter mit rascher und starker Erwärmung. In der Höhe Westwind, sonst meist windschwach.
- 21.—26. Unbeständiges Westwindwetter. Im Norden vorbeiziehende Störungen bringen auf der Alpennordseite häufige, besonders am 23. in der Nordostschweiz ergiebige Niederschläge (vergl. Maxima!). In der Höhe starke, sonst nördlich der Alpen mäßige westliche Winde. Temperaturen noch verhältnismäßig hoch, jedoch vorwiegend starke Bewölkung und wenig Sonnenschein.
- 27.—30. Kaltluftzufuhr aus Nordwest bis Nord. Am 27. und 28. Wetterbesserung, meist trocken und vor allem am 28. sonnig jedoch kühler. Am 29./30. von Nordwesten her Durchgang einer Störungslinie mit Niederschlägen, nachfolgend weitere kräftige Abkühlung.

Oktober

Der Monat Oktober zeichnet sich aus durch seinen Sonnenscheinreichtum und die Niederschlagsarmut. Bei den Temperaturen finden wir fast allgemein einen leichten Überschuß im Vergleich zum langjährigen Mittelwert, doch sind die Abweichungen meist nicht bedeutend und erreichen nur $\frac{1}{2}$ bis 1 Grad. Die höheren Alpentäler und die Jurahöhen waren teilweise 1 bis $1\frac{1}{2}$ Grad zu warm und wenn wir die Beobachtungen der Gipfelstationen Rigi und Säntis betrachten, zeigt es sich, daß die Abweichungen mit zunehmender Meereshöhe wachsen. Das höhere Alpengebiet war somit wärmemäßig besonders begünstigt, da sich dort bei den im Oktober 1957 sehr häufig auftretenden ruhigen Schönwetterlagen keine herbstlichen Morgennebel bildeten. Überschüsse von beinahe 3 Grad, wie wir sie beim Säntis antreffen, treten im Durchschnitt nur etwa alle 5 Jahre auf in dieser Jahreszeit.

Die Niederschlagsmengen, welche sonst vielfach regional sehr verschieden sind, zeigen im ganzen Land ein ungewöhnlich einheitliches Bild, lagen sie doch durchwegs unter dem langjährigen Mittel. Die höchsten Prozentsätze im Vergleich zum Mittel der Jahre 1901—1940 finden wir im oberen Genferseegebiet, wo meist 60—70% des Normalwertes fielen. Auch das Tessin südlich des

Monte Ceneri weist mit 50—60% noch verhältnismäßig hohe Prozentzahlen auf. In den übrigen Gebieten wurden hingegen meist nicht einmal die Hälfte, im oberen Wallis sogar nur knapp ein Zehntel des sonst üblichen Betrages erreicht, im allgemeinen etwa 20—40%, also ein Drittel des Normalwertes. Die Zahl der Niederschlagstage war ebenfalls stark unternormal, sind doch sonst in den Niederungen der Alpennordseite 12—13 Tage die Regel, statt der jetzt beobachteten 3—5 Tage.

Bei der Sonnenscheindauer und der Bewölkungsmenge finden wir bedeutende Abweichungen vom Sollwert, besonders in der Nordwestschweiz. Die diesjährige Oktobersumme der Sonnenscheindauer wurde in Basel bisher erst zweimal, in den Jahren 1908 und 1921 überschritten. Auch in den übrigen Gebieten der Alpennordseite war der Überschuss beträchtlich. In bezug auf das Mittel der Jahre 1921—1950 finden wir folgende Prozentzahlen: Basel 170%, Mittelland 130—160%, Alpengebiet 125—140%, Tessin 110—120%. Die Alpensüdseite weist somit die geringsten Abweichungen vom Sollwert auf, da sie auch in normalen Jahren verhältnismäßig sonnenreich ist. Die Bewölkungsmengen erreichten nirgends den sonst üblichen Betrag. Im Tessin wurden 85—95%, nördlich der Alpen 60—80% beobachtet. Viel zu groß war dagegen in den Niederungen nördlich der Alpen die Zahl der Nebeltage, betrug sie doch vielfach etwa das Doppelte des üblichen Wertes, dagegen war die Zahl der trüben Tage weit geringer als sonst.

Witterungsablauf:

- 1.—7. Hochdruck über dem östlichen Atlantik, ab 5. auch in Mitteleuropa.
Trockenes, anfangs kaltes, vom 5. an rasch wärmeres Wetter, mit heiterm Himmel in der Höhe vom 2. an, jedoch strichweise Hochnebel (Obergrenze 1000—1500 m) im Mittelland.
- 8.—16. Hochdruck über Ost- und Mitteleuropa. Trockenes, in den Niederungen der Alpennordseite vielfach nebliges Wetter (Obergrenze 600—1200 m), in der Höhe dagegen größtenteils sonnig. Allgemein mild.
- 17.—22. Vorübergehender Einbruch der atlantischen Störungen nach Mitteleuropa.
Anfangs bei südwestlichen Winden föhnig und sehr warm (Temperaturmaxima 17.—19.!), am 19. und 22. (im Tessin auch am 20.) größere Niederschläge mit Abkühlung. 18. sonnig (Westschweiz auch 21.), sonst sonnenarm.
- 23.—30. Hochdruckbrücke Azoren—Rußland über Mitteleuropa. Wieder trockenes, in den Niederungen bis 600—700 m morgens vielfach nebliges Wetter, sonst sonnig. Anfangs kalt, vom 25. an besonders in der Höhe wieder verhältnismäßig warmes Wetter.

November

Das Temperaturmittel des Novembers lag allgemein etwas über dem langjährigen Durchschnitt. Die größten Abweichungen vom Normalwert wurden auf den Berggipfeln und -Pässen erreicht. So war z. B. auf dem Jungfraujoch der November 1957 um beinahe 3 Grad wärmer

als im langjährigen Durchschnitt, und auch der Gotthard wies um etwa 2 Grad zu hohe Werte auf. In den Alpentälern sind die Überschüsse unregelmäßig, teilweise betragen sie nur etwa $\frac{1}{2}$ Grad, teilweise über $1\frac{1}{2}$ Grad. In absteigender Linie folgen der Alpensüdfuß mit etwa 1 Grad, das Mittelland mit etwa $\frac{1}{2}$ Grad und zuletzt der Juranordfuß, wo in Basel nur noch 0,1 Grad Überschuss verzeichnet wurde.

Die Niederschläge, welche zum überwiegenden Teil während der Föhnlage vom 5.—10. fielen, zeigen die typische Verteilung, die bei dieser Wetterlage auftritt: Große Beträge (teilweise bis über 200% des Normalwertes) am Alpensüdfuß, übernormalc Mengen in den südlichen Walliscertälern und im Oberengadin, sonst allgemein viel zu kleine Mengen. Noch etwas mehr als 50% des langjährigen Mittels finden wir im westlichen Jura und einem Teil des Genferseegebietes, ferner im nordöstlichen Jura, während im Mittelland die Werte meist zwischen 30 und 50% schwanken. Im Voralpengebiet, wo der Föhn besonders wirksam war, vor allem im Nordosten der Schweiz, fielen teilweise nur 10—20% des Normalwertes! Während im langjährigen Durchschnitt in den Niederungen der Alpennordseite 10—12 Tage mit Niederschlag auftreten, brachte der November 1957 nur an 5—7 Tagen Regen. Südlich der Alpen war die Zahl der Niederschlagstage dagegen etwas zu groß.

Bei der Sonnenscheindauer finden wir sehr große Unterschiede zwischen den Niederungen und den Gipfel- und Alpenstationen. Im Mittelland wurden nur etwa $\frac{1}{2}$ bis $\frac{2}{3}$ der normalen Summen erreicht, im Gebiet von Luzern sogar nur 25%. Etwas besser stellten sich der Juranordfuß mit etwa 75% und der Alpensüdfuß mit 80% bis 90%.

Die Nebelhäufigkeit war zwar an den meisten Orten nicht stark überdurchschnittlich, doch waren in den beiden letzten Monatsdritteln häufige Hochnebeldecken vorhanden, welche das Sonnenlicht abschirmten. Im Gegensatz dazu waren die Alpentäler mit etwa 125—130% überdurchschnittlich sonnig, ebenso die hochliegenden Gipfel der Alpennordseite, welche das Nebelmeer überragten. Umgekehrt war dort die Bewölkungsmenge kleiner als üblich, sie erreichte z. B. auf dem Säntis nur 75% des Normalwertes, in den Bergtälern 80—95%. Der Juranordfuß wies eine beinahe normale Bewölkungsmenge auf, während im Mittelland 110—120%, im Tessin sogar teilweise etwas über 120% verzeichnet wurden.

Witterungsablauf:

- 1.—6. Tiefdruckgebiete über Nordwesteuropa. Anfangs föhniges, auf der Alpennordseite noch trockenes Wetter mit nur wenig übernormalen Temperaturen, ab 4. Föhnlage: sehr warm im Alpengebiet (vergl. Maxima in der Tabelle), Alpennordseite trocken bis zum Föhnzusammenbruch am 5./6., Alpensüdseite schon vom Beginn des Monats an häufige Niederschläge, besonders am 6. (vergl. Maxima i. d. Tabelle).
- 7.—11. Tiefdruckgebiet über Mittel- und Südwesteuropa. Infolge südlicher Höhenströmung Fortdauer der Niederschläge auf der Alpensüdseite. Alpennordseite bei wieder wenig übernormalen

Temperaturen ebenfalls zeitweise Niederschläge. Sonnenarmes Wetter beidseitig der Alpen.

- 12.—21. *Hochdruck über Nord- und Osteuropa.* Vom 12. an (bis zum Monatsende) beidseits der Alpen trocken und vor allem in der Höhe meist übernormale Temperaturen. Mittelland bei östlichen Strömungen größtenteils unter Hochnebel, Obergrenze anfangs über 2000 m, dann absinkend, am 17. in 700 m. 17./18. kurze, leichte Störung mit etwas Niederschlag nördlich der Alpen, dann wieder Hochnebel bis etwa 1500 m.
- 22.—30. *Verlagerung des Hochdrucks nach Westeuropa.* Häufig nordöstliche Strömung mit Bise vor allem in der Westschweiz. Niederungen der Alpennordseite meist unter Hochnebel, ungefähr normale Temperaturen. In den Alpen und an deren Südfuß meist sonnig und mild. Am 29. in der Nordostschweiz etwas Niederschlag, anschließend kräftiger Kälteeinbruch von Nordwestrußland her.

Dezember

Das Monatsmittel der Temperatur lag in den meisten Teilen des Landes, besonders in der Nordostschweiz, etwas über dem langjährigen Durchschnitt, teilweise sogar mehr als 1°, wie die Werte von St. Gallen, Zürich und Chur zeigen. In den übrigen Landesteilen finden wir meist positive Abweichungen von etwa ½ Grad, am Juranordfuß normale Werte, südlich der Alpen und im Engadin jedoch etwa ½ Grad zu tiefe Temperaturen.

In bezug auf die Niederschläge verhielten sich Nord- und Südseite der Alpen entgegengesetzt, wenigstens was die Menge betrifft. Große Teile des Mittellandes, Nordbündens und des mittleren Juras erhielten kaum die Hälfte des langjährigen Mittelwertes, strichweise nur einen Drittel. Die übrigen Teile der Alpennordseite melden Beträge zwischen 50 und 90%, während die südöstlichen Gebiete des Wallis, das Oberengadin und die Alpensüdseite wesentlich übernormale Beträge aufwiesen. Im Mittel- und Südtessin wurde der doppelte Normalbetrag überschritten, im Centovalli sogar das 2½fache jenes Betrages. Trotzdem entsprach die Zahl der Niederschlagstage südlich der Alpen dem Sollwert (8—9 Tage). Es waren somit nur verhältnismäßig wenige, aber dafür sehr niederschlagsreiche Tage in den Monat eingestreut (Föhnlage vom 11.—13.). Nördlich der Alpen brachten meist nur 7—9 Tage Niederschlag, was etwa der Hälfte bis zwei Drittel der sonst üblichen Tage entspricht.

Die Sonnenscheindauer erreichte vor allem im zentralen und nordöstlichen Mittelland sowie am Juranord-

fuß, mit strichweise 150—170% des Normalwertes, ungewöhnlich hohe Beträge. Auch in den übrigen Landesteilen war sie allgemein überdurchschnittlich. Meist schwankten die Prozentzahlen zwischen 115 und 135%, nur in Genf wurde der sonst übliche Betrag nicht erreicht, sondern nur 85% davon.

Dementsprechend war die Bewölkung nur am westlichen Genfersee etwas stärker als sonst, im übrigen Gebiet liegen die Beträge zwischen 75 und 95% des Normalwertes.

Die Zahl der Nebeltage lag meist etwas unter dem langjährigen Durchschnitt.

Witterungsablauf:

Drei Hauptperioden: 1.—6. sowie 15.—31. trocken, dazwischen unbeständig mit häufigen Niederschlägen vom 7.—14.

- 1.—6. *Hochdruck über Mittel- und Westeuropa.* Trockenenes, anfänglich noch ziemlich kaltes, dann mildes Wetter. Bise. Ziemlich sonnig, besonders südlich der Alpen.
- 7.—10. *Unbeständiges Westwindwetter.* Bei kräftig fallendem Luftdruck (sehr tiefe Werte am 13.). Einbruch der atlantischen Tiefdruckwirbel nach Europa. Kräftige Westströmung. Niederschläge und meist starke Bewölkung nördlich der Alpen.
- 11.—14. *Tief über West-, ab 13. auch Mitteleuropa. Föhnlage.* Große Niederschläge am Alpensüdfuß, dort sonnenlos. Auch nördlich der Alpen besonders am 12./13. regnerisch. Mild, Temperaturen in den Niederungen einige Grade über Null.
- 15.—22. *West-östliches Hochdruckband über Mitteleuropa.* In der ganzen Periode trockenenes Wetter, mit Ausnahme einer leichten Störungslinie nördlich der Alpen am 19. Niederungen der Alpennordseite vielfach unter Hochnebel, anfangs bis 1600—1800 m, später 700—900 m. Darüber sowie südlich der Alpen meist sonnig.
- 23.—25. *Tiefdruckrinne über Westeuropa. Schwache Föhnlage.* Südlich der Alpen sonnenlos und etwas Niederschlag. Sonst weiterhin trockenenes, im nördlichen Alpengebiet sonniges Wetter mit anfänglich normaler, dann steigender Temperatur.
- 26.—31. *Hochdruck W—E über Mitteleuropa* ähnlich wie vom 15.—22. Trocken. Niederungen nördlich der Alpen teilweise Nebel und Hochnebel, sonst wechselnd wolkig. Am 31. leichte Störungslinie in der Nordostschweiz.

Dr. Max Schüepp

Monatswerte der wichtigsten meteorologischen Elemente 1957

	Höhe m	Januar	Febr.	März	April	Mai	Juni	Juli	August	Sept.	Okt.	Nov.	Dez.	Jahr
Temperatur in ° C														
Basel	317	-0.6	5.4	9.0	9.1	11.0	17.2	18.7	16.5	13.9	9.0	4.3	0.6	9.5
La Chaux-de-Fonds	990	-2.5	2.6	6.5	6.4	7.3	14.1	15.5	13.7	10.8	7.4	3.0	-0.6	7.0
Zürich	569	-1.3	4.3	8.5	8.6	9.8	16.5	17.5	15.9	13.0	8.9	3.6	0.5	8.8
Bern	572	-2.6	3.5	8.1	8.5	9.6	16.1	17.6	16.2	13.1	8.3	3.6	-0.4	8.5
Lausanne	553	-0.5	4.8	8.8	9.6	11.0	16.5	18.3	17.4	14.5	9.9	5.3	1.6	9.8
Genève	405	-0.2	5.8	9.0	9.9	11.9	17.3	19.5	18.0	15.2	9.8	6.4	2.0	10.4
Davos-Platz	1561	-6.1	-1.7	1.6	2.9	4.7	11.7	12.0	10.8	7.7	4.6	0.5	-4.9	3.6
Säntis	2500	-8.3	-6.9	-2.8	-4.0	-2.3	4.8	5.4	4.0	1.5	1.6	-2.3	-7.3	-1.4
Lugano	276	1.9	5.2	9.2	12.0	13.7	18.4	21.6	20.0	17.3	12.9	8.3	2.7	11.9
Abweichungen von den normalen Mitteln														
Basel	317	-0.5	3.9	4.4	0.4	-2.0	0.8	0.5	-0.8	-0.2	0.2	0.1	0.0	0.6
La Chaux-de-Fonds	990	0.1	4.2	5.4	1.4	-2.3	1.1	0.5	-0.5	-0.5	1.0	1.1	1.1	1.0
Zürich	569	0.2	4.3	5.1	0.9	-2.3	1.0	0.2	-0.5	-0.3	1.0	0.6	1.2	0.9
Bern	572	-1.0	3.3	4.7	0.5	-2.7	0.5	-0.1	-0.5	-0.6	0.4	0.6	0.4	0.5
Lausanne	553	-0.5	3.3	4.3	1.1	-1.9	0.2	0.0	-0.1	0.0	0.7	0.7	0.6	0.7
Genève	405	-0.8	3.8	3.7	0.5	-1.9	-0.1	-0.1	-0.6	0.0	0.1	1.3	0.5	0.5
Davos-Platz	1561	0.9	3.7	3.9	0.8	-2.3	1.4	-0.1	-0.5	-0.6	1.2	1.8	0.8	0.9
Säntis	2500	0.4	1.9	5.1	0.8	-1.9	2.0	0.4	-0.8	-1.3	2.9	2.7	0.6	1.0
Lugano	276	-0.4	1.2	1.7	0.3	-2.1	-1.1	0.0	-0.9	-0.4	0.7	1.1	-0.5	-0.1
Niederschlag in mm														
Basel	317	17	70	33	24	39	134	98	89	74	34	42	49	703
La Chaux-de-Fonds	990	58	250	44	50	72	203	175	115	176	39	44	58	1284
Zürich	569	37	156	58	72	58	118	178	107	148	41	35	40	1048
Bern	572	30	153	25	33	84	149	117	87	140	33	31	43	925
Lausanne	553	40	174	18	34	54	113	101	73	89	57	43	38	834
Genève	405	15	125	8	19	35	139	65	58	47	41	57	26	635
Davos-Platz	1561	47	82	45	37	65	139	210	137	82	14	39	29	926
Säntis	2500	165	309	230	185	198	224	546	382	287	48	12	106	2692
Lugano	276	74	120	66	116	166	426	190	219	33	96	248	212	1966
Abweichungen von den normalen Summen														
Basel	317	-24	29	-20	-41	-42	36	8	3	-4	-40	-17	-3	-115
La Chaux-de-Fonds	990	-48	155	-63	-76	-58	61	40	-15	59	-98	-74	-72	-189
Zürich	569	-17	104	-14	-20	-52	-13	45	-20	44	-51	-31	-32	-57
Bern	572	-18	102	-41	-43	-10	36	5	-21	51	-55	-37	-21	-52
Lausanne	553	-18	115	-57	-42	-38	14	1	-37	-10	-51	-42	-41	-206
Genève	405	-32	75	-55	-50	-41	60	-13	-38	-38	-58	-22	-42	-254
Davos-Platz	1561	-12	29	-9	-23	-5	32	75	6	-10	-56	-23	-37	-33
Säntis	2500	-65	128	39	-66	-25	-56	239	94	64	-145	-168	-132	-93
Lugano	276	14	59	-49	-46	-26	241	16	32	-142	-102	112	132	241
Sonnenscheindauer in Stunden														
Basel	317	110	81	178	164	180	207	202	198	149	175	46	74	1764
La Chaux-de-Fonds	990	103	81	180	141	136	176	195	192	154	232	92	104	1786
Zürich	569	75	86	185	156	158	200	198	217	154	147	28	55	1639
Bern	572	97	84	182	150	171	204	217	235	162	188	31	62	1783
Lausanne	553	85	84	201	196	227	214	242	246	190	200	48	71	1998
Genève	405	60	89	219	208	225	224	281	265	214	175	33	38	2031
Davos-Platz	1561	89	94	182	142	119	171	166	186	150	172	120	122	1713
Säntis	2500	136	80	201	144	134	216	164	162	136	249	179	159	1960
Lugano	276	141	114	148	170	148	169	278	213	212	171	96	134	1994
Abweichungen von den normalen Summen														
Basel	317	46	-13	51	17	-15	-7	-31	-25	-9	66	-19	20	81
La Chaux-de-Fonds *	990	28	-15	58	13	-33	-10	-16	-19	0	113	7	42	168
Zürich	569	27	-2	51	-1	-44	-23	-46	-13	-8	44	-25	19	-21
Bern	572	39	-13	50	-3	-29	-19	-32	-4	-10	73	-32	19	39
Lausanne	553	11	-30	49	20	-4	-37	-24	-9	2	74	-27	11	36
Genève	405	-1	-16	63	18	-19	-49	-12	-10	14	49	-34	-9	-6
Davos-Platz	1561	-5	-15	34	-9	-53	-5	-35	-17	-16	38	22	39	-22
Säntis *	2500	24	-41	63	17	-18	75	3	-9	-17	105	58	53	313
Lugano	276	16	-32	-24	-5	-58	-73	-2	-53	16	25	-13	28	-175

* Sonnenscheindauer Säntis und La Chaux-de-Fonds wegen Apparatewechsels nicht ohne weiteres mit den langjährigen Mittelwerten vergleichbar.

Statistique de la grêle

par Jean Rieker

La tradition voulait que nous présentions une liste des chutes de grêle basée, d'une part, sur les renseignements mis à disposition par la Société Suisse d'Assurance contre la grêle (SSAG), à Zurich, et d'autre part, sur ceux fournis par l'Institut Suisse de Météorologie (ISM), à Zurich.

Rompant avec cette tradition, nous nous sommes permis de recourir, pour l'année 1957, à une nouvelle formule fondée uniquement sur des observations visuelles.

La première étude «Liste des chutes de grêle» est restée dans la ligne admise ces dernières années; elle n'en diffère qu'en ceci que, pour 1957, seules les données fournies par la SSAG ont été considérées. L'apport des renseignements fournis jusqu'à présent par l'ISM était d'ailleurs négligeable et ne modifiait que peu les résultats, surtout ceux figurant dans les listes des années 1950 à 1956.

Rappelons sommairement en quoi consiste cette liste, précision nécessaire pour ceux qui se proposent de l'utiliser: Supposons qu'une région soit touchée un certain jour par une chute de grêle. Les dégâts seront signalés à la SSAG, pour autant que celle-ci ait des assurés dans la région affectée. Nous définissons par «une journée de grêle» un jour déterminé pendant lequel, dans une région donnée, des chutes de grêle ont été observées, le domaine pris comme unité étant la «commune». Il suffira donc qu'un seul assuré déclare des dégâts à la Société Suisse d'Assurance contre la grêle pour que cette dernière inscrive dans sa liste: une journée de grêle, pour la commune de l'intéressé. Si plusieurs assurés habitant la même commune déclarent des dégâts, nous aurons encore et toujours une journée de grêle pour la commune considérée.

En additionnant le nombre des communes d'un canton touchées par la grêle un jour donné, nous obtenons pour ce jour-là un certain nombre ou, d'après la définition établie ci-avant, «un certain nombre de jours de grêle». C'est la signification exacte des nombres figurant dans la première liste.

Nous remarquons d'emblée l'importance des défauts d'une liste basée sur une telle définition. En effet, pour que des listes soient comparables entre elles, d'année en année, il faudrait que:

1. les communes accusent toutes la même superficie;
2. les assurés soient répartis dans toutes les communes de la Suisse, ce qui n'est probablement pas le cas;
3. ceux qui sont assurés continuent à l'être d'une année à l'autre;
4. leur nombre reste inchangé (pas de nouvelle admission d'assuré), autrement dit, que les communes où habitent ces assurés restent les mêmes d'une année à l'autre;

5. toutes les chutes de grêle causent des dégâts, ce qui n'est certainement pas toujours le cas; elles peuvent être bénignes, ou se produire pendant les mois d'hiver, ou lorsque les récoltes sont déjà rentrées;
6. l'assuré indique toujours la date exacte du jour où se sont produits les dégâts. Des confusions sont possibles lorsque les chutes de grêle ont lieu par exemple pendant la nuit.

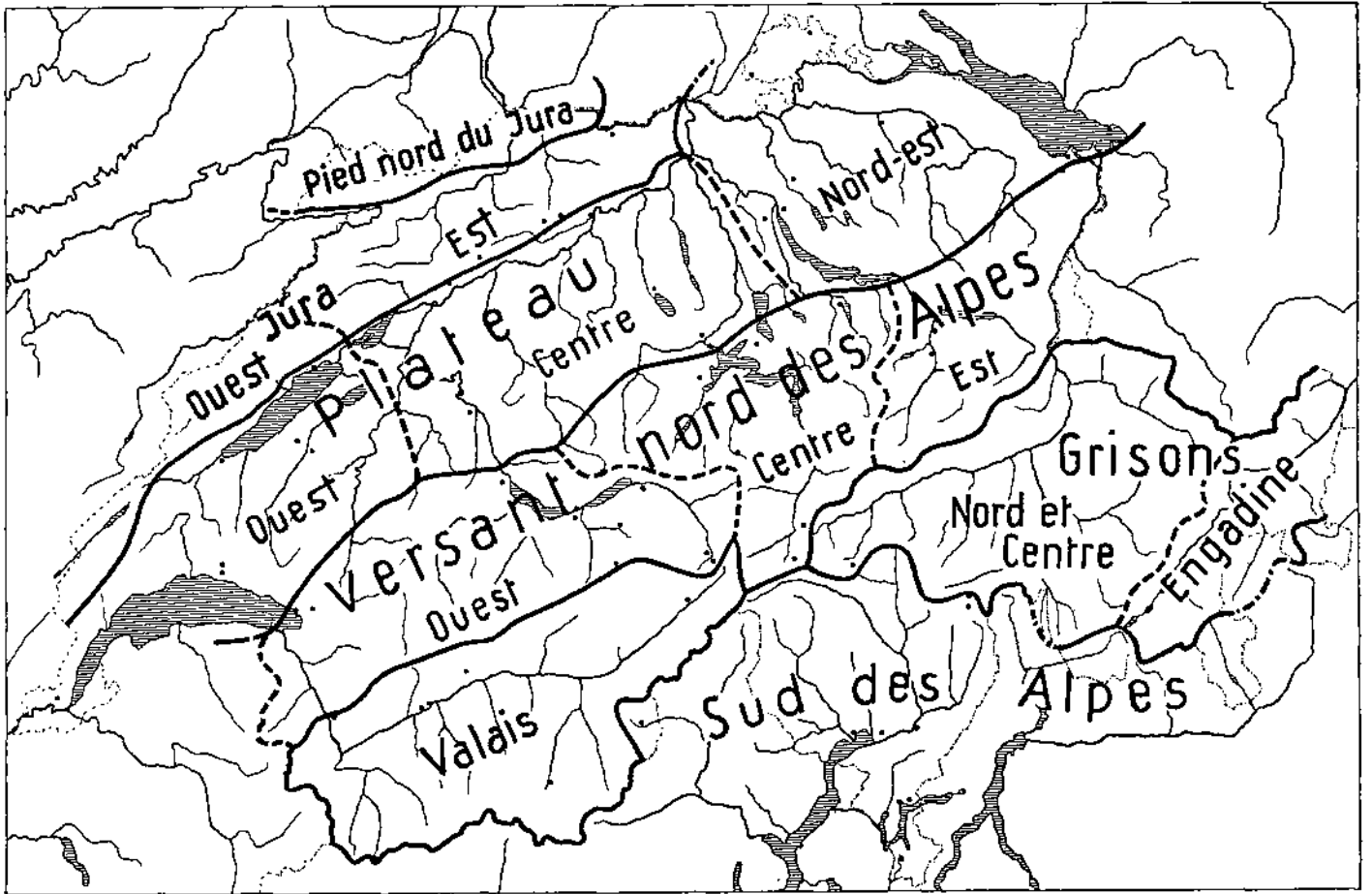
Ces quelques considérations nous montrent combien nombreuses et fondamentales sont les lacunes que présente une telle liste. On comprendra par exemple, ainsi, pourquoi il est difficile, voire impossible, de comparer entre elles les listes de diverses années.

Vu ces inconvénients, nous nous sommes demandé s'il n'était pas possible d'établir, sur la base des renseignements fournis par les observateurs du réseau des stations pluviométriques et météorologiques de l'ISM et par quelques observateurs bénévoles, une liste donnant non plus des «journées de grêle par commune», mais le nombre des chutes de grêle observées. Il va de soi qu'ici aussi la répartition des stations d'observations, qui n'est pas homogène, sera un handicap sérieux dans la comparaison directe du nombre des chutes de grêle, d'une région à l'autre et pour un jour donné. Mais le nombre des stations d'observations étant très sensiblement le même d'une année à l'autre, cette nouvelle façon de faire permettra de comparer année après année le nombre des chutes de grêle observées dans une région. Les inconvénients signalés ci-dessus, et affectant la liste établie jusqu'à ce jour au moyen des données de la SSAG, seront donc en grande partie éliminés.

A titre indicatif, nous donnons approximativement le nombre de stations d'observations figurant dans chacune des régions mentionnées dans la nouvelle liste (voir figure ci-après).

Nombre des stations du réseau d'observations d'orages par région:			
Pied nord du Jura			= 15
Jura	{ ouest	= 16	
	{ est	= 29	
	total		= 45
Plateau	{ ouest	= 27	
	{ centre	= 33	
	{ nord-est	= 76	
	total		= 136
Versant nord des Alpes	{ ouest	= 40	
	{ centre	= 27	
	{ est	= 25	
	total		= 92
Valais			= 27
Grisons	{ nord et centre	= 38	
	{ Engadine	= 8	
	total		= 46
Sud des Alpes			= 40
			<hr/>
			Total = 401

Régions utilisées dans la table 2 de la statistique de la grêle



2. Chutes de grêle observées en Suisse pendant l'année 1957

par les observateurs des stations météorologiques et pluviométriques
de l'Institut Suisse de Météorologie à Zurich et par quelques observateurs bénévoles

Région	Févr.		Mars				Avril					Mai						Juin																
	15	16	7	23	26	29	3	6	7	21	25	26	3	5	10	11	12	16	18	22	30	31	1	2	4	6	7	8	9	14	15	16	17	19
Pied nord du Jura	1	.	1	1
Jura					I		I	3		3	2		I				I														4	I	I	
<i>total</i>	.	.	.	1	.	.	1	3	.	3	3	.	1	.	.	1	1	.	1	.	.	.	4	1	3	2	.	
Plateau											I						I													3	3	.	.	
<i>total</i>	2	7	2	2	I	2	I	.	I	.	2	I	I	I	2	.	.	
Versant nord des Alpes						I											2						2	.	I	.					I	.	.	
<i>total</i>	3	.	.		I	I	I	.	I	.	6	.			3	I	.	
Valais	.	.	.	1
Grisons																																I	.	
<i>total</i>	1	1	.	.
Sud des Alpes	.	.	1	6	1	1	.	.	2	9	3	.	1	2	1	.	1	3	10	.	2	
totaux	2	1	1	1	1	5	1	3	6	6	6	1	2	1	1	5	2	9	1	4	1	7	1	3	1	2	8	12	12	9	28	3	2	
par mois	3		8				23					27						88																

Suite de la dite statistique

Région	Juin						Juillet						Août						Septembre					Oct.	Sommes								
	20	21	22	23	24	25	26	30	1	5	9	10	15	18	19	21	8	11	12	13	14	16	23			28	1	2	3	14	15	21	22
Pied nord du Jura	.	7	1	6	1	.	18
Jura							3		2						I																		31
<i>total</i>	2	6	3	2	4	5	1	22
Plateau						I					I		I		I																		24
<i>total</i>	3	8	.	.	4	I	.	3	3	I	.	I	.	I	I	4	2	.	.	.	69	
Versant nord des Alpes																																	29
<i>total</i>	1	11	.	.	I	.	.	I	6	2	I	25	
Valais	.	1	3	1	1	7
Grisons																																	8
<i>total</i>	.	.	I	I	.	I	I	I	I	.	.	I	7
Sud des Alpes	1	9	10	5	3	1	.	4	6	5	2	8	.	2	3	1	7	4	32	15	1	1	1	.	.	1	15	2	.	2	184		
totaux	8	78	17	5	11	4	17	10	17	26	6	5	9	2	10	4	4	7	5	34	16	1	2	3	1	7	3	15	3	1	2	482	
par mois	88 + 150 = 238						79						72						30					2	482								

Während des hydrologischen Jahres 1956/57 wurden die Beobachtungen an den Niederschlags-Totalisatoren im Alpengebiet im gewohnten Umfang weitergeführt.

Im Herbst 1956 wurden von der Société d'Énergie de l'Ouest-Suisse (EOS) im *Wildstrubelgebiet* (Lämmern zwischen Wildstrubel und Gemmipass) sieben neue Hochgebirgs-Totalisatoren (Normalmodell MZA) aufgestellt. Die EOS hat sich in verdankenswerter Weise bereit erklärt, uns die Meßergebnisse dieser Apparate bekanntzugeben, die in der umstehenden Tabelle nun erstmals enthalten sind.

Für die Ermittlung der insgesamt 74 Resultate des Berichtsjahres haben uns die fünf nachfolgend aufgeführten Institutionen ihre Meßergebnisse zur Verfügung gestellt (siehe Kolonne Meßresultat — Herkunft):

A Versuchsanstalt für Wasserbau und Erdbau an der ETH, Abteilung für Hydrologie.
16 Meßergebnisse.

B Rhätische Werke für Elektrizität AG, Thusis.
13 Meßergebnisse.

C Kraftwerke Oberhasli AG, Innertkirchen.
5 Meßergebnisse.

D Baudepartement des Kantons Tessin (Herr Prof. Dr. F. Gygax, Bern).
4 Meßergebnisse.

E Société Anonyme l'Énergie de l'Ouest-Suisse, Sion/Lausanne.
7 Meßergebnisse.

Die 29 Totalisatoren der MZA wurden von unsern Beobachtern betreut, wobei die freundliche Mithilfe des Schweiz. Institutes für Schnee- und Lawinenforschung, Weißfluhjoch-Davos noch besonders erwähnt sei. Allen unsern Beobachtern sowie den obgenannten Institutionen, sei auch an dieser Stelle für ihre wertvolle Mitarbeit bestens gedankt.

H. Bernhard

Ergebnisse der Vergleichsstationen (Regenmeßstationen mit täglicher Beobachtung) für das hydrologische Jahr 1956/1957

Station	m ü.M.	Mittel 1901-1940	1. 10. 56- 30. 9. 57	%
Suchetgebiet (Jura)				
		mm	mm	
Vallorbe-Reposoir	920	1510	1388	92
L'Abergement	645	1194	1087	91
Baulmes	660	1377	1247	91
L'Anberon	1102	1481	1444	100
Chasseron	1601	—	1922	—
Diableretsgebiet				
Les Diablerets	1180	1131	1369	96
Gsteig b. Saanen	1188	1330	1359	102
Mont-Blanc-, Monte-Rosa- und Simplongebiet				
Grand-St-Bernard	2479	2140	1758	82
Bourg-St-Pierre	1620	849	865	102
Zermatt	1610	701	690	98
Saas-Fee	1785	858	752	88
Grächen	1617	568	554	98
Visp	650	696	500	79
Jungfrau- und Grimsetgebiet				
Grimmel-Hospiz	1959	2070	2179	105
Guttannen	1058	1719	1622	94
Grindelwald	1040	1265	1179	93
Lauterbrunnen	790	1184	1101	93
Engstligenalp	1955	—	1755	—
Kandersteg	1176	1149	1159	101
Oberwald	1370	1503	1382	92
Rockingen	1332	1091	927	85
Fiesch	1060	945	796	84
Kippel	1376	936	958	102
Leukerbad	1391	1047	1190	114
Titlisgebiet				
Egelberg	1018	1568	1487	95
Gotthard-, Cristallina- und Maggiagebiet				
St. Gotthard	2095	2285	1949	85
Airolo	1170	1717	1263	74
Lago di Tremorgio	1819	1851	1166	79
Fusio	1280	1719	1287	75
Cevio	418	1776	1257	71
Bosco-Gurin	1510	1879	1480	79

Station	m ü.M.	Mittel 1901-1940	1. 10. 56- 30. 9. 57	%
Greinagebiet				
		mm	mm	
Platta (Mofels)	1378	1291	1021	79
Disentis	1173	1260	1058	84
Val	1203	1209	956	79
Surrhein	899	1137	878	77
Vrin	1452	1280	1058	86
Olivone	920	1467	1160	79
Rhätisches Alpengebiet, Engadin und Silvretta				
Hinterrhein	1620	1732	1276	74
Splügen	1504	1456	1113	76
Avers am Bach	1960	1009	994	99
Audeer	980	1012	826	82
Bivio	1770	1369	1062	84
Savognin	1205	961	870	91
Preda	1796	1010	1007	100
Soglio	1100	1394	1122	80
Sils-Maria	1802	1037	884	85
St. Moritz	1833	995	688	74
Bever	1712	879	714	81
Buffalora	1968	923	829	90
Susch	1420	813	720	89
Sta. Maria	1411	770	708	91
Klosters	1200	1232	1281	100
St. Antönien	1460	1376	1418	103
Davos-Platz	1561	999	987	99
Taminagebiet				
Vättis	956	1092	995	91
Bad Ragaz	510	1165	1020	94
Tödiagebiet				
Auen (Linthal)	815	1650	1823	110
Urnerboden	1350	1750	1832	105
Braunwald	1190	1870	1951	104
Säntis				
Säntis (Observatorium)	2500	2904	3084	106
Gebiet des Hohen Randen				
Merishausen	524	941	872	93
Schleitheim	490	846	759	90
John	643	873	782	90

Die Niederschläge des Jahres 1957

Die Jahressummen der Niederschläge waren im Jahre 1957 auf der Alpennordseite im allgemeinen kleiner, auf der Südseite und teilweise auch im Wallis größer als die langjährigen Mittelwerte. Über die prozentualen Mengen gibt die letzte Seite der Tabelle: Monats- und Jahressummen des Jahres 1957, Seite 224, sowie die Karte Nr. 1, Tafel I, Auskunft. Der Tabelle liegen die Mittelwerte der Periode 1864 bis 1940 zu Grunde. Die Karte stützt sich auf die Mittelwerte der bedeutend mehr Stationen umfassenden Periode 1901 bis 1940, die jedoch auf die Periode 1864 bis 1940 reduziert wurden mittelst des Faktors 102, der für alle Stationen als ungefähr gleichmäßig gültig angesehen werden kann.

Die Abweichungen vom Mittelwert sind nicht sehr bedeutend. Immerhin erreicht das Defizit im unteren

Genferseegebiet Werte von 25 bis 30%. In ausgesprochenen Trockenjahren kann dasselbe hier 50% betragen. Die Überschüsse im Tessin, Misox und Puschlav erreichen strichweise 20% des langjährigen Mittels.

Während sich nördlich der Alpen besonders der *Februar* durch große Niederschläge auszeichnete, waren am Alpensüdfuß der *Juni*, in etwas geringem Maße auch der *Dezember* und *November* niederschlagsreich. Auf der Alpennordseite waren die drei Monate *Oktober*, *November* und *Dezember* besonders trocken; südlich der Alpen fiel die Trockenzeit auf den Herbst (*September—Oktober*). Den südwestlichen Landesteilen, besonders dem Wallis brachten *März* und *April* nur geringe Niederschläge.

Einzelne bemerkenswerte Niederschläge

24. Februar

Anhaltende Niederschläge, die verbreitete Hochwasser- und Murgangschäden sowohl im Jura wie in den Alpen zur Folge hatten, fielen am 24. Februar. Die Ergebnisse der Messungen um 07.30 h des 25. sind in der Niederschlagskarte Nr. 2, Tafel I, wiedergegeben. Die Niederschläge dauerten in Zürich ununterbrochen von 20 h des 23. bis um 11 h des 25. (die am 24. früh gemessenen Beträge zeigen dieselbe Verteilung, betragen aber höchstens ein Drittel der obigen).

Die allgemeine Wetterlage war um 07 h des 24. die folgende: auf dem Atlantik etwa 15 Grad westlich von Nordirland ist ein ausgedehntes Tiefdruckgebiet zentriert, von dem aus sich ein Ausläufer in ost-südöstlicher Richtung über Großbritannien bis nach Deutschland erstreckt. Es handelt sich um eine Randstörung, die sich am 23. in der Gegend des St. Georgskanals von der Hauptdepression abgespalten hatte und nun rasch ostwärts zog. Sie stand im Zusammenhang mit einem starken Einbruch warmer Luft, die am 24. um 07 h bereits ganz Frankreich und Westdeutschland überschwemmt hatte. Die Warmfront lag bereits östlich der Schweiz und kann am 24. um 07 h etwa über: West- und Zentralalpen—Nürnberg—Kassel lokalisiert werden. Sie hatte Zürich um 00 h des 24. passiert und in der ganzen Schweiz eine Erwärmung von etwa 4 Grad verursacht. Im Warmluftgebiet wehten starke Winde, vorwiegend aus WSW, in der Höhe (5500 m) aus WNW. Der Hauptanteil der obigen größten Niederschläge fiel also innerhalb des sogenannten warmen Sektors. Doch ist auch in diesem Gebiet noch ein Temperaturgradient (Anstieg) gegen Westen vorhanden, man hatte es also immer noch mit einem Vorstoß noch wärmerer Luft aus Westen zu tun. Unsere Hochstationen zeigen denn auch während der Dauer der obigen Niederschläge einen langsamen Temperaturanstieg, der bis um 07 h des 25. weitere 4 Grad erreichte. Dementsprechend waren die Niederschläge im Warmsektorgebiet über ganz Westeuropa verbreitet, wenn sie auch im Flachland nur mäßige Beträge erreichten.

Die größte Menge an Niederschlägen im Jura und

Alpengebiet ist demnach durch Vertikalbewegungen im schweizerischen Gelände verursacht. Dies erkennt man ohne weiteres aus der starken Bevorzugung der Westseite des Jura und des Alpennordhangs. Versucht man nun allerdings, Einzelheiten des Reliefs auf ihre orographische Wirkung hin zu untersuchen, so stößt man namentlich für die von Süd nach Nord orientierten Täler auf erhebliche Schwierigkeiten, die hauptsächlich dadurch verursacht sind, daß unsere Meßstationen begreiflicherweise meistens im Talgrund liegen. Die gezeichneten Regenkarten sind daher ohne Zweifel mit sehr großen Fehlern und Ungenauigkeiten behaftet und geben über die wirkliche Verteilung, wie sie das Gelände erzeugt, nur mangelhaften Aufschluß. Das gilt ganz besonders für das Reußtal und das Toggenburg. Im übrigen herrschen in den Talgründen während des Niederschlagsfalls sehr schwache Winde aus allen möglichen Richtungen. Es ist anzunehmen, daß die Strömungsverhältnisse sehr kompliziert sind. Immerhin kann man doch einige orographische Einflüsse erkennen:

Auffallend ist die Maximalzone im Rhoneknie des Wallis bei Martigny (Marécottes [Trient] 71 mm, Diablerets 61 mm, Gsteig 84 mm). Hier erhebt sich zwar auf der Ostseite des Tales der Riegel des Dent de Morcles und der Diablerets zu 3000 m Höhe, doch hat auch die dahinter liegende Talstation Sion noch 68 mm erhalten. Das Maximum in Boltigen (87 mm) liegt wohl nicht zufällig im Gebiet der Krümmung des Simmentals. Das Niederschlagsgebiet auf der Westseite des Aaretals oberhalb Brienz bis zur Grimsel und Furka dürfte hauptsächlich eine Folge der Kanalisierung der Westwinde durch das Tal des Thuner- und Brienersees und das Wallis sein. Ebenso bezüglich des Vierwaldstättersees liegt die entsprechende Maximalzone im Gebiet des Kantons Schwyz (Oberiberg 84 mm). Merkwürdig erscheint jedoch der hohe Betrag von Braunwald (106 mm), liegt doch diese Station eher im Windschatten. Daß die Südtäler des Wallis weniger Niederschlag erhalten haben als die Nordtäler, ist verständlich, ebenso die relative Trockenheit der Nordabdachung der Berner Alpen. Auffallend sind besonders die niederschlagsarmen Gebiete «hin-

ter» den Maximalzonen, so besonders im Thuner- und Vierwaldstätterseegebiet, wo weniger als 10 mm gefallen sind. Doch fällt hier auf, daß auch die Hochstationen sehr wenig Niederschlag gemessen haben, einerseits wohl, weil es sich um verwehten Schnee handelte, andererseits weil das Kondensationsniveau niedrig lag. Die Schneefallgrenze bewegte sich zwischen 1500 und 1800 m.

Fälle mit sehr ähnlicher Niederschlagsverteilung sind häufig. Wesentlich ist starker Westsüdwest- bis Westwind, relativ warme Luft oder langsame Warmlufteinbrüche. Anhaltende Warmsektoren sind selten. Eine nachfolgende Kaltfront vermag die Niederschlagsverteilung nicht wesentlich zu ändern.

28. März

An diesem Tage wurde fast ausschließlich die Nordostschweiz überregnet (vgl. Tafel I, Karte Nr. 3). Das Gebiet mit Niederschlagsmengen von 40 bis etwa 70 mm umfaßt die Kantone St. Gallen, Appenzell, Schwyz und Glarus sowie das Zürcher Oberland (St. Gallen 40 mm, Appenzell 57 mm, Ebnat 52 mm, Rapperswil 49 mm, Wesen 66 mm, Einsiedeln 66 mm, Glarus 46 mm, Sargans 44 mm). Gegen Südwesten und Süden hin nehmen die Beträge rasch ab. Im niederschlagsfreien Gebiet sind auch am vorhergehenden Tag nur strichweise einige Niederschläge gefallen. In Zürich regnete es am 28. von 14 h bis 17 h und dann hauptsächlich von 19.30 h bis um 6 h des 29. Es folgte ein mäßiger Schauer zwischen 11 und 12 h. Die Schneefallgrenze befand sich in etwa 1800 m Höhe.

Es handelt sich um einen jener Fälle, bei denen eine Kaltfront aus Nordwest bis Nord zwar nur die Ostalpen erreicht, aber auch in der Nordostschweiz noch bedeutende Niederschläge verursacht. Am 27. März war eine schwache Warmfront über Westeuropa hinweggegangen. Am Morgen des 28. zeigt die Bodenwetterkarte folgendes Bild: Der Atlantik wird von einer tiefen, ausgedehnten, stationären Depression beherrscht. Ein Hoch liegt über der Ukraine. Wetterbestimmend war für uns eine Depression, deren Zentrum am 28. um 07 h über Dänemark, am 29. über Nordpolen lag. Ihre Warmfront hatte am 28. Mitteleuropa bereits erreicht. Die Kaltfront verläuft um diese Zeit etwa über (Dublin)—Paris—Straßburg, hier nordwärts umbiegend nach Berlin, wo sie in eine Okklusion übergeht. Der Temperaturunterschied quer zur Front beträgt etwa 6 Grad. Ihre südliche Umbiegungsstelle erreichte nun in der Folge zwar die Ostalpen, nicht aber die Schweiz, jedenfalls nicht bis zum Mittag des 29. Vielmehr bildet sie während der ganzen Dauer der Niederschläge mit den Alpen einen nach Westen offenen Winkel, in welchem eine starke Warmluftströmung aus Westen andauert. Die Temperaturänderungen sind auf allen Schweizerstationen gering. Die Niederschläge waren somit hauptsächlich orographischen Ursprungs und fielen innerhalb des Warmluftgebiets. Gewitterstörungen wurden keine gemeldet.

Die 500-Millibarhöhenkarte zeigt am 28. um 04 h einerseits einen Hochdruckkeil von Süden her über Spanien und ein Tief über der Nordsee; dieses wandert gleichmäßig gegen Südosten und liegt am 29. über Nord-

westdeutschland, am 30. um 04 h zwischen München und Wien. Dementsprechend dringt die kalte Luft, bei zunehmendem Druckgefälle gegen Süden, erst um etwa 16 h des 29. in die Nordostschweiz ein und verursacht hier einen Temperaturrückgang von 5 bis 7 Grad aber nur wenige neu einsetzende Niederschläge. Die Niederschlagszone vom 29. war allerdings etwas weiter in südlicher Richtung ausgedehnt als die vom 28. Am späten Nachmittag dieses Tages sind in den Alpen einige Gewitterstörungen zu verzeichnen, die sich offensichtlich an den Kaltlufteinbruch knüpfen. Die größte Niederschlagsmenge des 29. wurde mit 33 mm in Muotatal gemessen. Hinter der Front bildete sich am 29./30. ein Ausläufer eines über Südschweden entstehenden Hochs. Damit vermochte die kalte Luft nur noch in den unteren Luftschichten bis 1600 m vorübergehend bis in die Westschweiz vorzudringen.

Weitere Fälle großer Niederschläge, die sowohl hinsichtlich der Verteilung, wie deren typischer Verursachung mit dem obigen übereinstimmen, sind diejenigen vom 12. Januar 1936, 1. Dezember 1952, 4. Februar 1955, 21. Januar 1954, 3. März 1956. Die Warmluft, die sich im erwähnten Winkel verfängt, stammt in allen Fällen von der Vorderseite einer atlantischen Depression. Im übrigen kann die Druckverteilung sowie die Herkunft der mehr oder weniger stationären Front noch recht verschieden sein. Es gibt jedoch noch eine andere Serie von Fällen, die zwar dieselbe Niederschlagsverteilung aufweisen, jedoch eine ganz andere Ursache haben, jene «Staulagen» nämlich, bei denen ein starker meridionalgerichteter Hochdruckrücken im Westen zusammen mit einer Depression im Osten oder Südosten der Alpen zu einer Aufstauung labiler Schauer Kaltluft polaren Ursprungs am Alpennordhang führt.

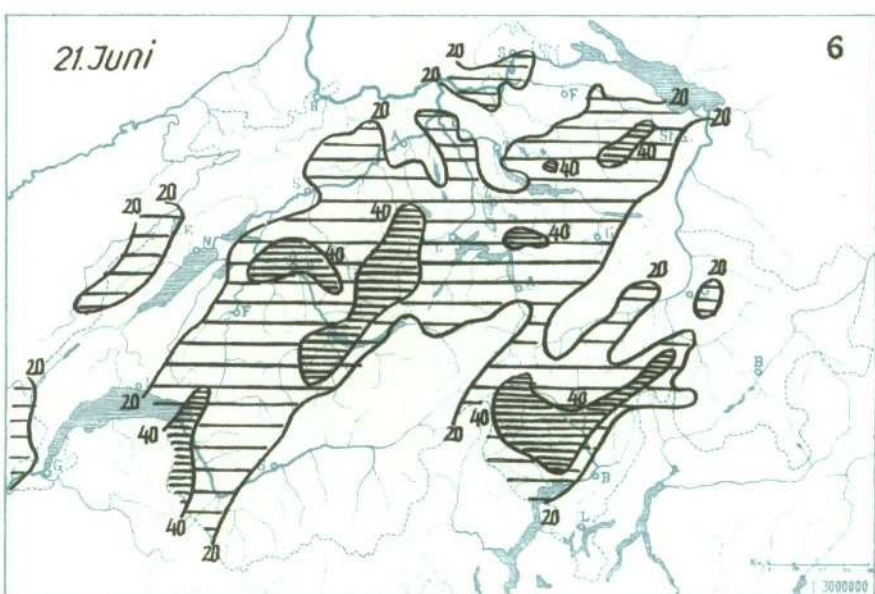
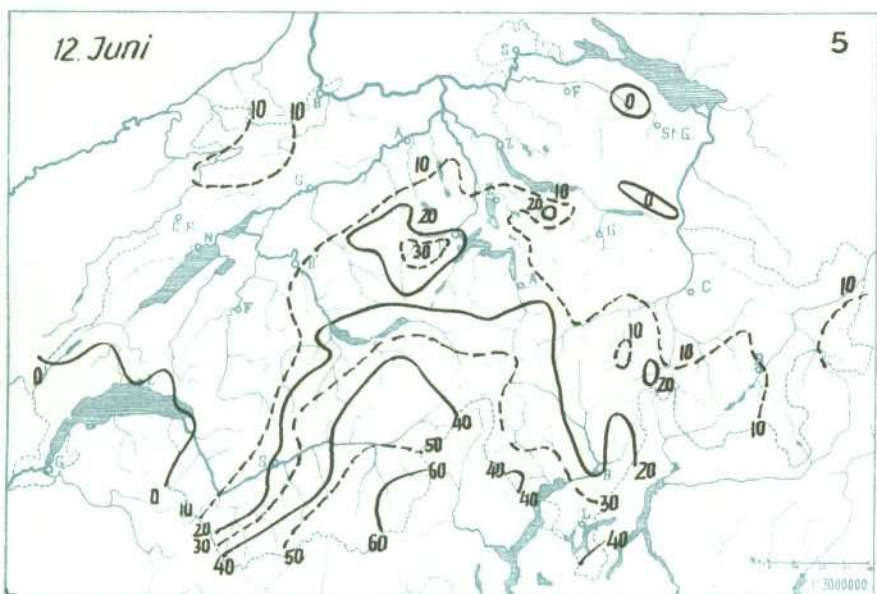
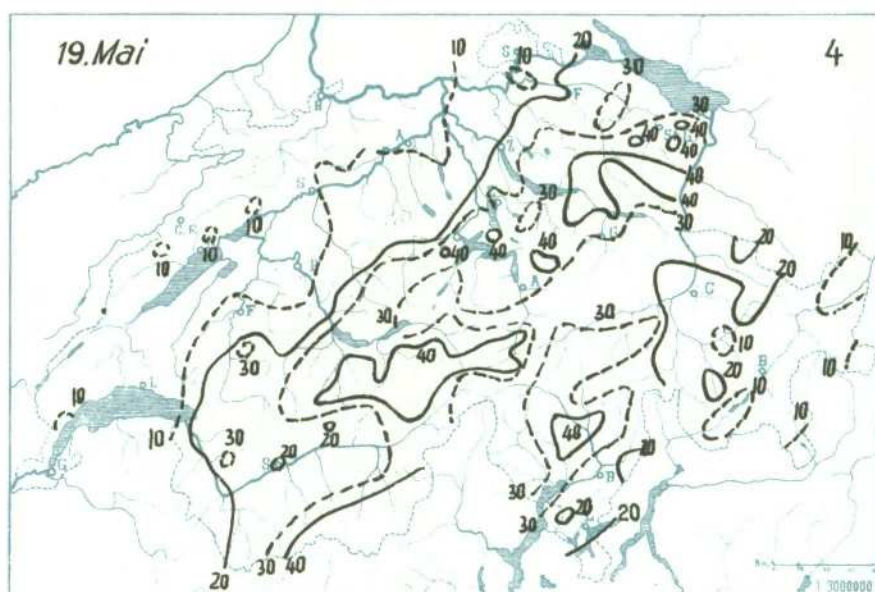
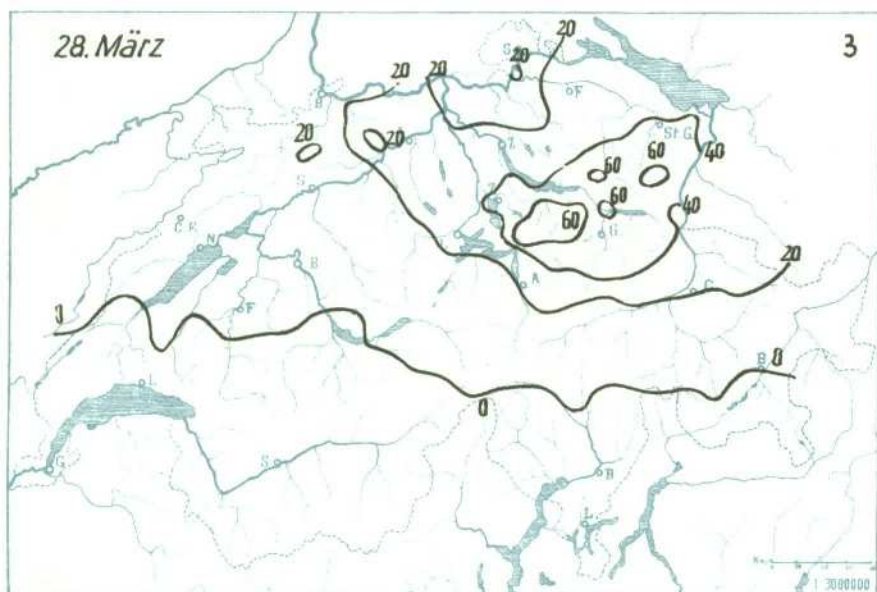
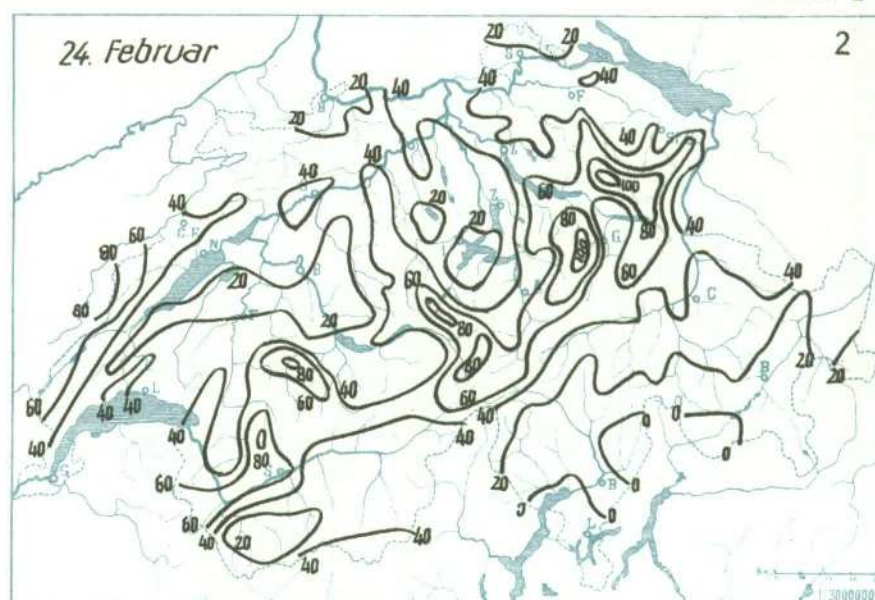
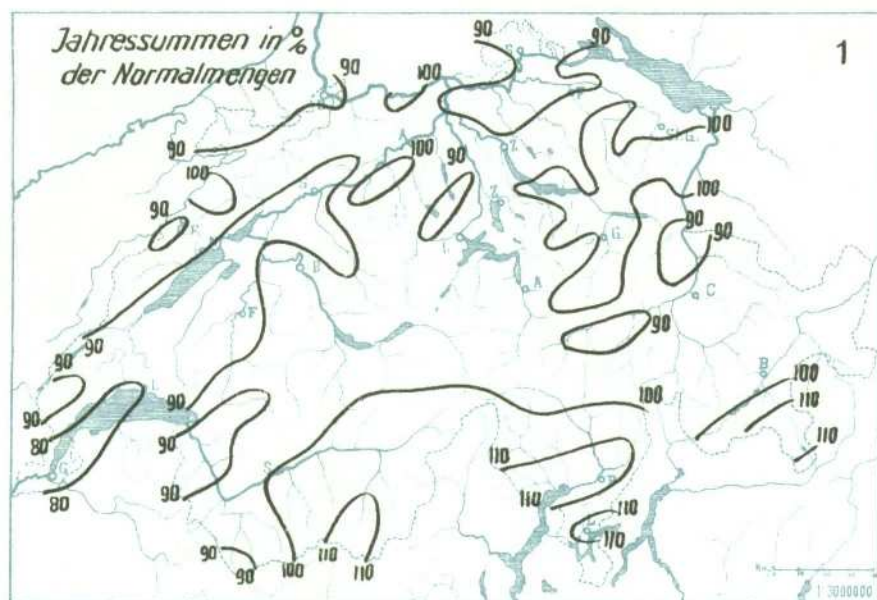
19. Mai

Am 19. Mai sind im Wallis, im Bereich des Alpennordhangs, im Tessin, in West- und Nordgraubünden Niederschläge im Betrag von 20 bis 60 mm gefallen (Karte Nr. 4). Das Gebiet mit mehr als 35 mm umfaßt das Nicolai- und das Saastal (Zermatt 49 mm, Saas-Fee 52 mm), das Oberwallis (Fiesch 42 mm), das Berner Oberland (Kandersteg 43 mm), Grindelwald 54 mm, Guttannen 37 mm), das obere Reußtal (Göschenen 44 mm), den Kanton Schwyz (Muotatal 40 mm, Vorderthal 41 mm), das Zürcher Oberland (Wald [Faltigberg] 41 mm), das Toggenburg und das Quellgebiet der Sitter (Starkenbach 39 mm, Urnäsch 46 mm).

Diese Niederschläge knüpfen sich an den Einbruch der Rückseite Kaltluft einer Tiefdruckrinne, die sich am Morgen (07 h) des 19. Juni von Spitzbergen, dann der norwegischen Küste folgend über Nordsee und Westdeutschland nach dem Balkan erstreckte. Sie war ursprünglich aus einer atlantischen Depression entstanden, die unter Verstärkung der meridionalen Zirkulation langsam ost- bis südostwärts wanderte. Die Höhendepression in V-Form lag am Morgen des 19. noch über England und Westfrankreich. Die Bodenrinne wanderte bis zum Nachmittag nach Polen, der Höhentrog erweiterte sich stark gegen Süden, wo er ein selbständiges Tief abspaltete. Er lag am 20. morgens noch über den Westalpen.

Einzelne bemerkenswerte Niederschläge 1957
 Quelques précipitations importantes en 1957

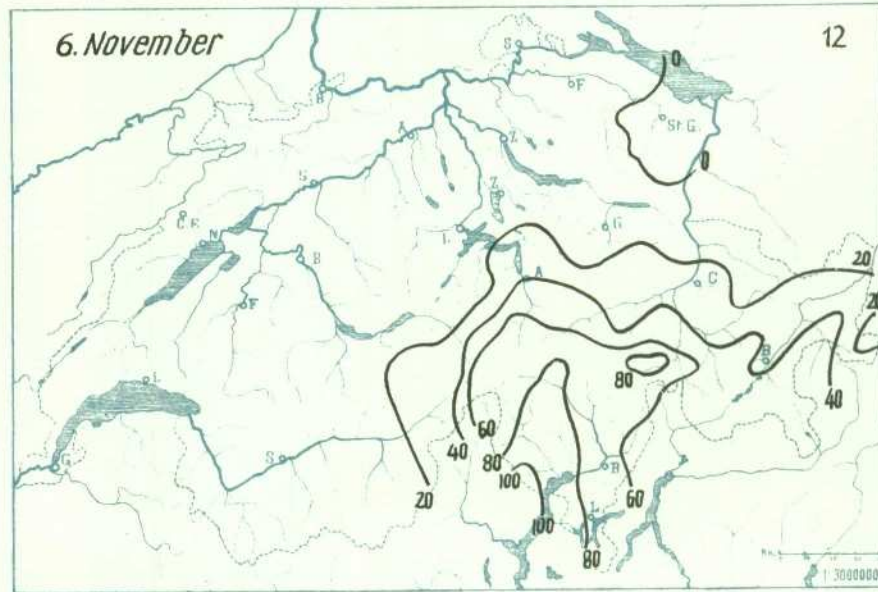
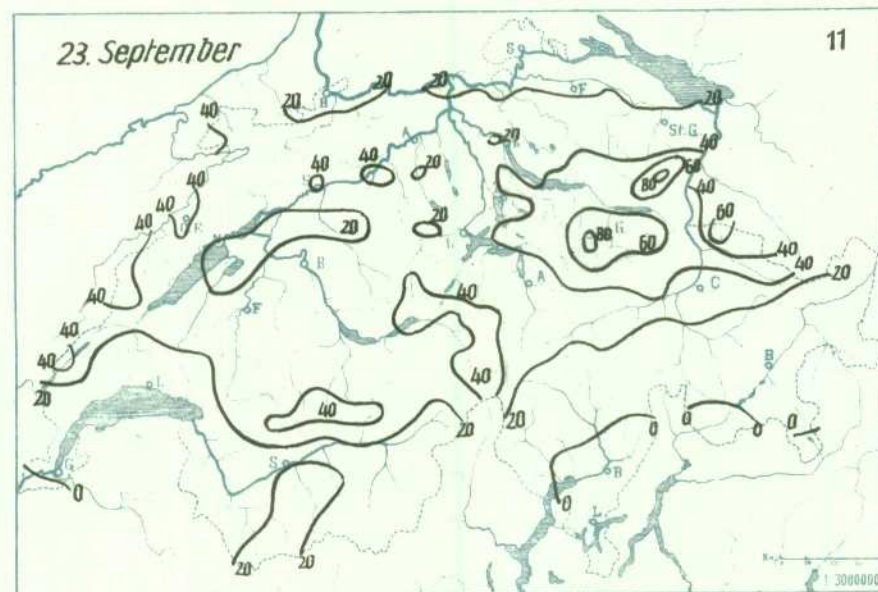
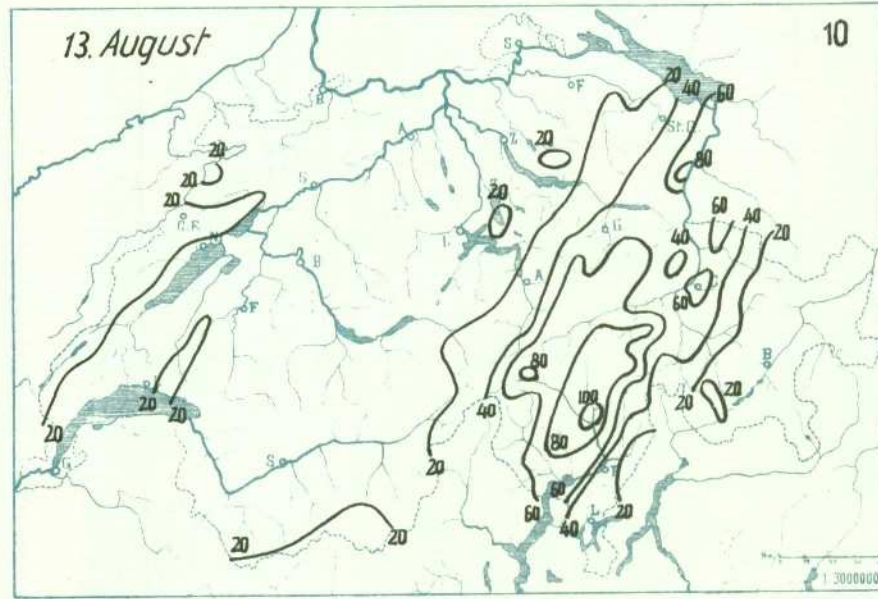
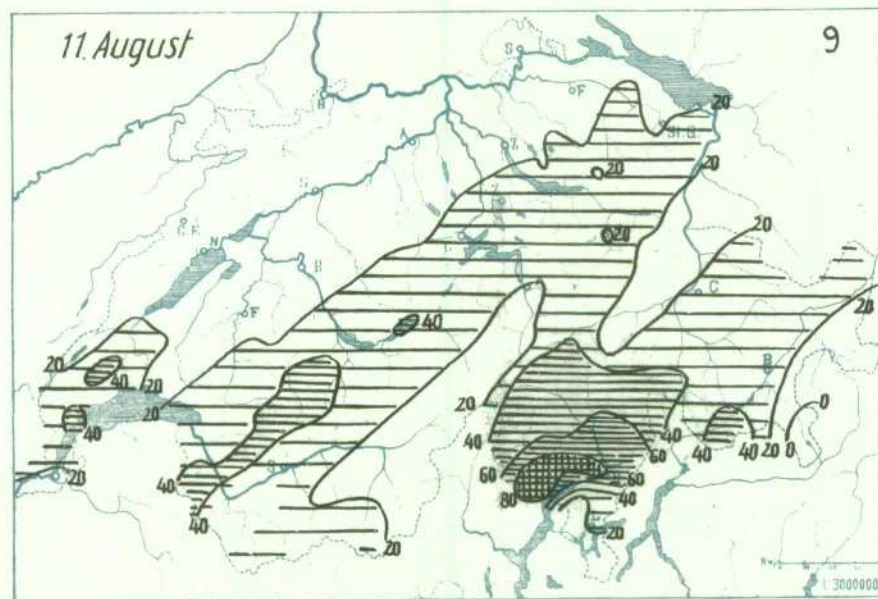
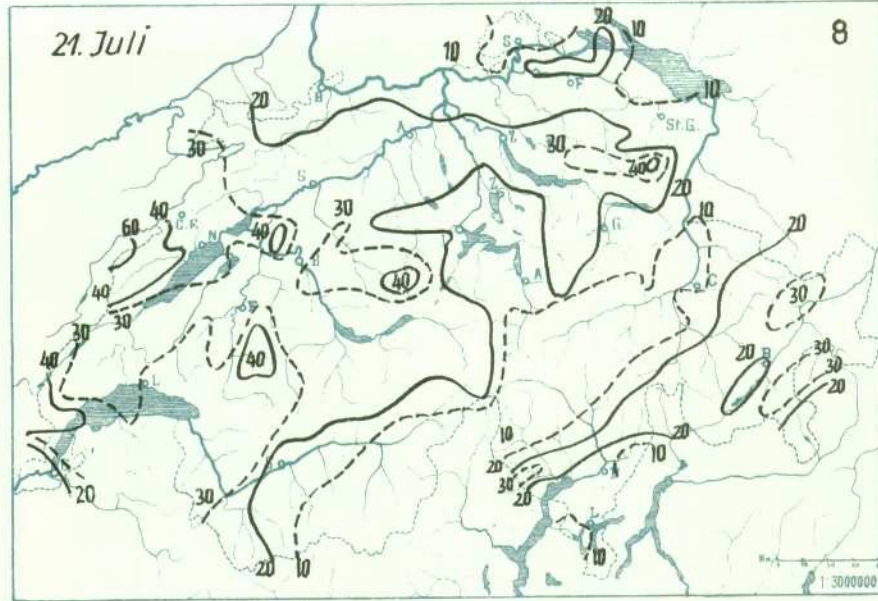
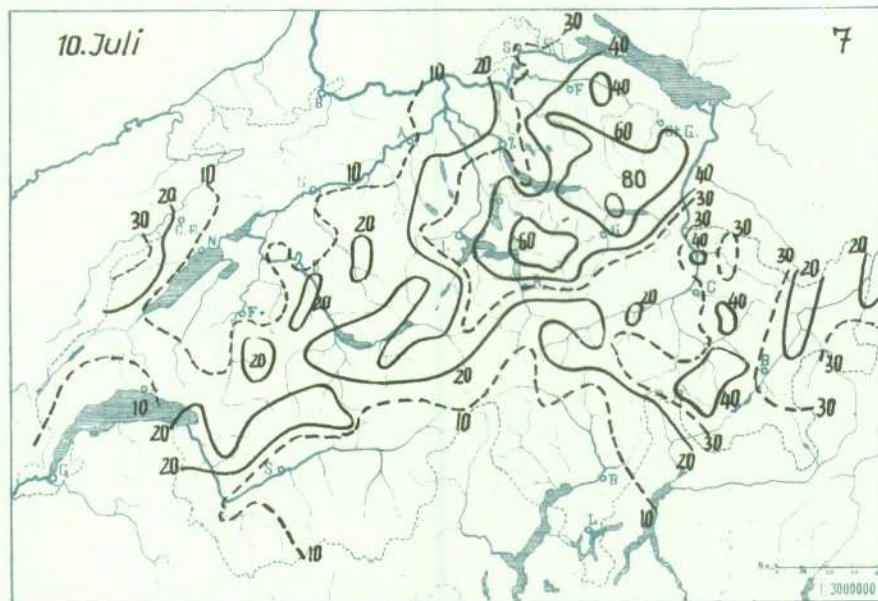
Tafel I



Einzelne bemerkenswerte Niederschläge 1957

Quelques précipitations importantes en 1957

Tafel II



In Zürich setzte der Druckanstieg um 04 h ein, die Niederschläge etwa um 7 h, ebenso in Altdorf. Der Säntis wurde von der Rückseitekaltluft um 10 h erreicht. Die Temperatur ging hier in der Folge bis 20 h gleichmäßig um 5 Grad zurück. Um 20 h drehte hier der Wind nach Nordost bis Nord. Die Niederschläge dauerten noch bis um 10 h des 20. Die kalte Luft hat das 500-Millibar-niveau kaum erreicht. Bereits von 08 h des 20. an macht sich auf unseren Höhenstationen Erwärmung bemerkbar. Die Rückseite des Höhentrog zeigt Abtrocknung durch Absinken. Tatsächlich erscheint auf der Morgenwetterkarte des 20. bereits eine neue Störung über Irland.

Ähnliche Niederschlagsverteilungen bei großer Menge kommen nicht selten vor. Für die meisten scheint, abgesehen von höherem Luftdruck im Westen, ein ausgeprägter Höhentrog über Frankreich, der sich südwärts ausweitet, wesentlich zu sein. Im übrigen kann jedoch die Bodenkarte recht unterschiedliche Druckverteilung in der weiteren Umgebung aufweisen, von einer ausgedehnten Depression im Osten bis zur kaum sichtbaren Rinne. Als Vergleichsfälle können dienen: der 26. September 1936 mit gleicher Vorgeschichte, aber weniger ausgeprägtem Höhentrog und der 29. Mai 1940 (Höhenkarte leider nicht vorhanden). Vereinzelt Situationen fallen ganz aus dem obigen Rahmen, indem sie einfach eine starke WNW-Strömung ohne ausgeprägten Höhentrog aufweisen.

12. Juni

Der 12. Juni brachte dem Oberwallis ungewöhnlich große Niederschläge (Karte Nr. 5), die bedeutendsten dem Nicolai- und Saastal: Zermatt 53 mm, Grächen 56 mm, Saas-Fee 66 mm, Kippel 45 mm, Fiesch 46 mm. Katastrophale Überschwemmungen verursachte besonders der Täschbach unterhalb Zermatt. Sie erklären sich durch folgende Wetterentwicklung:

Um 01 h des 12. Juni lag ein Höhentrog über der Schweiz. Er erstreckte sich im Niveau 5600 m als schmale Rinne von der Nordsee über Belgien und Ostfrankreich bis ins westliche Mittelmeer. Auf der Bodenkarte erscheint der Trog um 15 Grad ostwärts verschoben. Über Südengland und Nordwestfrankreich liegt ein sehr kräftiges Hochdruckgebiet, das sich vom Atlantik her ziemlich rasch nach Osten verschiebt, wobei es sich erheblich verstärkt. Dies hatte in den nächsten 24 Stunden eine vollständige Änderung der Höhenströmung über der Schweiz zur Folge, indem der Höhentrog bis zum Nachtag durch das sich nun auch in der Höhe durchsetzende Hochdruckgebiet in zwei Teile zerschnitten wurde, so daß sich am 13. um 01 h eine sehr ausgeprägte selbständige Höhendepression südwestlich von Sardinien entwickelt hat. Dies bedeutet eine Drehung der Höhenwinde nach Südosten, die sich auch auf unseren Höhenstationen bemerkbar machte. Am Boden lag die Rinne am 12. vormittags bereits östlich der Zentralalpen. Damit entstand ein Vorstoß warmer Luft aus Südosten. Die obigen Niederschläge, die in Zermatt von 13.30 h bis nachts niedergingen, sind als Aufgleitregen der warmen Südluft aufzufassen. Zermatt und Saas-Fee verzeichnen bis zum Nachtag einen an die Niederschläge anschließenden Temperaturanstieg von 10 Grad.

21. Juni

Eine eigenartige Verteilung (Karte Nr. 6) zeigen die Niederschläge vom 21. Juni. Die größten Beträge fielen im Voralpengebiet der Alpennordseite. Die Hauptniederschlagszonen mit mehr als 40 mm sind bezeichnet durch die Stationen: Val d'Illiez 52 mm, Chessel 49 mm, Frutigen 64 mm, Beatenberg 70 mm, Escholzmatt 51 mm, Flühli 59 mm, Stans 39 mm, Herisau 59 mm, St. Gallen 53 mm. Die Beträge fallen gegen das Hochalpengebiet hin stark ab. Ein weiteres Gebiet mit mehr als 40 mm liegt über dem oberen Tessin (Fusio 53 mm, Biasca 54 mm).

Diese Niederschläge wurden durch einen überraschenden, maskierten Kaltlufteinbruch aus SW hervorgerufen und waren im Jura, Mittelland, Voralpengebiet und auf der Alpensüdseite von verbreiteten, mehrfachen Gewitterstörungen begleitet. In Zürich fielen die Niederschläge von 18.30 h des 21. bis 04.10 h des 22. Im Südwesten des Landes scheinen die Störungen nicht viel früher (höchstens eine Stunde) eingesetzt zu haben. Es ist keine deutliche wandernde Front erkennbar. Eine solche müßte vermutlich mehr oder weniger parallel zu den Alpen angenommen werden.

Die Bodenwetterkarte vom 21., 01 h, zeigt lediglich ein flaches Tiefdruckgebiet über Frankreich, ohne Anzeichen eines bevorstehenden Wetterumschlags. Außerdem liegt noch ein Tief über Nordrußland, das, im Verein mit einem östlich von Grönland liegenden Hoch, über Skandinavien einen Vorstoß kalter Luft aus Norden verursacht. Diese biegt in der Gegend von Dänemark teilweise westwärts ab, dürfte aber später ebenfalls nach Mitteleuropa vorgedrungen sein, was die kräftigen Rückseiteabkühlungen erklären würde. Nach der aerologischen Sondierung von Madrid, die vielleicht nicht sehr zuverlässig ist, soll daselbst ein kräftiger Kaltlufttropfen gelegen haben. Payerne zeigt am Morgen einen auffallend großen Temperaturgradienten in den unteren Luftschichten und somit stark labile Luftmassen. Am Nachtag (22.) um 01 h liegt ein Höhentief über Westeuropa und zeigt an, daß hier kalte Luftmassen eingedrungen sind. Die Abkühlung beträgt hier seit dem Vortag 4 bis 6 Grad. Auf dem Säntis betrug die Abkühlung etwa 7 Grad. Am Boden hat sich die Depression sehr rasch unter Vertiefung nordostwärts nach Norddeutschland und Südschweden verlagert. Über Westeuropa ist keinerlei Druckanstieg zu erkennen, im Gegenteil ist der Luftdruck dort sogar niedriger als am Vortag.

Ähnliche Niederschlagsverteilungen sind ziemlich häufig, jedoch bei wesentlich anderen Situationen (Nordströmung über Westeuropa, Tief über der Schweiz, Druckanstieg von Westen her). Eine gewisse Ähnlichkeit auch im Hinblick auf die Wetterlage zeigt der Fall vom 25. Juni 1934.

23. Juni

Am 23. Juni lag ein flaches Gewittertief über Spanien, Frankreich und Westdeutschland. Es verursachte von zahlreichen Gewittern begleitete Niederschläge besonders auf der Südseite der Alpen. Im unteren Tessin (Riviera) zwischen Biasca und Bellinzona sowie im

unteren Calancatal sind Beträge von 100 bis 120 mm gemessen worden. Der ganze Kanton Tessin, das Misox, das Quellgebiet des Hinterrheins und das Berninagebiet haben mehr als 40 mm erhalten (Fusio 67 mm, Biasca 94 mm, Braggio 107 mm, Frasco 112 mm, Bellinzona 118 mm, Locarno-Muralto 87 mm, Mosogno 83 mm, Splügen 58 mm, Avers 62 mm, Bernina 67 mm).

10. Juli

Am 10. Juli sind in der Nordostschweiz bedeutende Niederschlagsmengen, meist mehr als 40 mm gefallen (Karte Nr. 7 auf Tafel II). Das Gebiet mit mehr als 60 mm (bis zu 80 mm) umfaßt den Kanton Appenzell, das Toggenburg, ferner die Gegend am oberen Zürichsee bis Walensee, außerdem das Quellgebiet der Sihl und das Muotatal (Urnäsch 72 mm, Weesen 91 mm, Muotatal 84 mm).

Die Wetterlage war verhältnismäßig einfach. Nach der Bodenkarte vom 10. Juli um 07 h liegt auf dem Atlantik südlich des 50. Breitengrades ein Hochdruckgebiet und mehr oder weniger flache Tiefdruckgebiete über dem nördlichen Atlantik, Skandinavien, Norditalien und der Adria. Die Veränderungen bis zum Nachtag sind hier wenig auffällig. Die 500-Millibarfläche zeigt um 01 h des 10. einen ausgeprägten Höhentrog über Großbritannien und dem Golf von Biscaya, einen zweiten über der Adria. Ersterer verlagerte sich bis um 01 h des 11. nach der Schweiz.

Die Niederschläge beginnen in Zürich um 13.40 h des 10. kurz vor einem Kaltlufteinbruch, der besonders in der Westschweiz aber auch im Tessin von präfrontalen Gewittern begleitet war. Solche fehlen jedoch im obigen Hauptniederschlagsgebiet. Der Temperaturrückgang erfolgte innert weniger Stunden und betrug 4 bis 6 Grad. Er kompensierte zunächst während einiger Zeit den Höhentrog, der sich somit nur noch im Süden durch Vertiefung der oben erwähnten Adriadepression auswirkte. Die Niederschläge dauerten auch nach Passage des Höhentrogens noch fort bis um 10 h des 11.

Am 11. zeigt die 13 h-Sonde in Payerne bereits eine kräftige Absinkinversion in 3500 m Höhe, die an die Warmfront einer neuen Störung, die von Westen her kam, geknüpft ist.

Diese Art von Niederschlagsverteilung ist nicht gerade selten und kommt bei verschiedenen Situationen vor, meist wenn im Südosten der Alpen sich ein Tief entwickelt (Staulage). Als ziemlich gut vergleichbar (auch in meteorologischer Hinsicht) mit dem vorliegenden Fall kann derjenige vom 1. Juli 1954 gelten. Damals war allerdings der Höhentrog stärker ausgeprägt und die Niederschlagsmengen waren größer.

21. Juli

Die Niederschlagsverteilung dieses Tages ist in Karte Nr. 8 dargestellt. Auffallend ist die relative Bevorzugung des Mittellandes gegenüber den Alpen. Gebiete mit über 40 mm Niederschlag finden sich besonders im westschweizerischen Jura (La Brévine 61 mm, La Cure 53 mm) und auch in den Freiburger Alpen (Jaun 49 mm).

Es handelt sich um die Rückseiteschauerniederschläge einer Depression über der Kanal- und Nordseegegend, die in Frankreich eine starke Rückseiteströmung

aus West bis Nordwest erzeugte. Die Temperaturänderungen waren unbedeutend. Die Depression war besonders in der Höhe ausgeprägt. Ihr Zentrum wanderte (in der Höhe) vom 21. zum 22. (01 h) von der Kanalgegend nach Süddeutschland.

11. August

Die Niederschlagsverteilung dieses Tages ist in der Karte Nr. 9 dargestellt. Wir unterscheiden drei Hauptniederschlagsgebiete. Ein erstes liegt im westlichen Waadtland zwischen Jura und Genfersee (Nyon 46 mm, Longirod 37 mm, Cossonay 42 mm). Ein zweites erstreckt sich handartig über das ganze Voralpengebiet. Die Zone mit 40 bis 60 mm liegt im Südwesten und wird bezeichnet durch die Stationen: Val d'Iliez (51 mm), Les Plans (51 mm), Gsteig (44 mm), Zweisimmen (43 mm), Frutigen (41 mm). Ein drittes Maximum liegt im Tessin bei Locarno-Monti (96 mm), Bellinzona (86 mm). Dagegen notiert Mezzana im Süden nur 11 mm, Brusio (Puschlav) gar keine Niederschläge.

Die Mittagswetterkarte vom 11. August zeigt ein langgestrecktes Tiefdruckgebiet im Norden, das sich von Großbritannien über die nördliche Nordsee, wo das Druckminimum (990 Millibar) liegt, nach Südwestnorwegen erstreckt. Es war aus einer sehr kräftigen Depression entstanden, die vom Atlantik her kommend schon am 9. über Südengland erschienen war und dann unter langsamer Ausfüllung nordostwärts wanderte. In Frankreich und Nordwestdeutschland herrschte eine starke, in der Schweiz mäßige Strömung aus Westsüdwest. Frankreich ist bereits von den kalten Rückseiteilmassen überschwemmt worden. Die Kaltfront läßt sich vom Tiefdruckzentrum aus über Jütland—Frankfurt—Lyon—Madrid verfolgen. Sie passierte Zürich um 17.30 h in Gestalt einer leichten, von Gewitterstörungen begleiteten Böenlinie. Damit setzten auf der Alpennordseite die Niederschläge ein. In Sion begannen sie um 19 h, in Locarno-Monti um 19.45 h. Sie dauerten bis in die Morgenstunden des Nachtages, so daß die erwähnten Niederschläge den ganzen dieser Phase zugehörigen Betrag umfassen. Die Niederschläge sind durch den Kaltlufteinbruch verursacht. In Zürich stieg der Luftdruck bis um 20 h um etwa 2.5 Millibar, und nachher besteht auf der Alpennordseite ein leichter Überdruck gegen die Südseite, womit auch der Wind abflaut.

Die Höhenkarte (5500 m) zeigt während der ganzen Periode einen Höhentrog, der ungefähr mit der Depression am Boden zusammenfällt. Seine Troglinie folgt etwa dem fünften westlichen Meridian. Er verlagert sich bis zum Nachtag nur sehr wenig, weitet sich etwas gegen Süden und Südwesten hin aus. Die Höhenwinde wehen dementsprechend über der Schweiz anfangs aus WSW, später aus SW. Was die Temperaturänderungen anbelangt, so kann folgendes festgestellt werden: Vergleichen wir zunächst die aerologischen Sondierungen in Payerne vom 11. und 12. um 01 h, so stellt man eine Abkühlung fest, die in den unteren Schichten 3 Grad, in den höheren 1 Grad beträgt. Es ist jedoch zu beachten, daß der Kaltfront eine erhebliche vorübergehende Erwärmung vorausging, die in den Niederungen zwar teilweise durch Einstrahlung hervorgerufen wurde, aber auch auf den Hochstationen festzustellen ist. Sie betrug zwischen 07

und 16 h in Kloten 12 Grad, Magadino 8 Grad, Säntis 6 Grad, Testa Grigia 2.5 Grad. Über die Temperaturverhältnisse der Alpensüdseite ist leider immer nur sehr wenig bekannt. Der Vergleich der Sondierungen vom 11. und 12. um 01 h in Mailand zeigt in 1500 m Höhe eine Erwärmung um 1 Grad, in 5500 m Höhe eine Abkühlung um 5 Grad. Erstere bleibt auch später aufrecht. Dies bedeutet eine erhebliche Labilisierung der Luftmassen, was die häufigen Gewitter und großen Niederschläge auf der Alpensüdseite verständlich macht. Das sogenannte Übertreten der Kaltluft auf die Alpensüdseite, das hier vorliegt, darf nicht einfach als ein advektives Überfließen der Luft über den Alpenkamm aufgefaßt werden. Die erhebliche anhaltende Südkomponente der Winde auf unseren Kammstationen schließt etwas derartiges mindestens im vorliegenden Fall aus. Vielmehr breitet sich der durch Wanderung oder Ausweitung der Depression bedingte Temperaturrückgang über der Alpensüdseite zunächst nur in der Höhe ungehindert aus. Soweit sie advektiv bedingt ist, erfolgt die Zufuhr kälterer Luft jedenfalls aus Südwesten. Erst durch die gewittrige Umlagerung greift die Abkühlung dann auf die unteren Schichten über. Der Temperaturrückgang beträgt jedoch in den Niederungen der Alpensüdseite vom 11. zum 12. um 07 h nur etwa 1 Grad.

13. August

Am 12. August sind auf der Alpennordseite nur geringe, auf der Südseite und in Graubünden etwas kleinere Niederschlagsmengen gefallen als am 11. Dagegen nehmen dieselben am 13. wieder bedeutend zu, ganz besonders in Graubünden, so daß sich für den 13. die in der Karte Nr. 10 dargestellte Verteilung ergibt. Die Kernzone erscheint nordostwärts verschoben. Im Centovallgebiet sind am 13. nur 50 bis 70 mm Niederschlag gefallen, dagegen ergeben sich für Biasca 116 mm, Airolo 88 mm. Ferner hat nun auch das Gebiet des Vorderrheins oberhalb Ilanz Beträge von über 60 mm aufzuweisen. Die Zone mit mehr als 40 mm umfaßt das Gotthardgebiet bis Göschenen, den ganzen Kanton Glarus und das Rheintal bis an den Bodensee hinunter. Im Hauptniederschlagsgebiet fielen die Niederschläge am Abend und in der Nacht vom 13. zum 14., und zwar in Gestalt von einzelnen Starkregen, die von verbreiteten Gewitterstörungen begleitet waren. Auf der Alpennordseite und im Wallis setzten sie einige Stunden früher ein, doch ist wie gesagt auch am Vortag Niederschlag gefallen.

Die Wetterkarten zeigen nur geringe Veränderungen. Über Südfrankreich und der Schweiz hatte sich ein Ausläufer des Azorenhochs entwickelt, während auf dem Atlantik bereits eine neue junge Zyklone in Richtung auf Großbritannien heranrückte. Das alte Kaltluftgebiet zeichnet sich aber in der Höhe immer noch als ausgesprochener Höhentrog ab, der sich nun aber infolge eines neuen kräftigen Warmluftvorstoßes aus Nordwesten verengert, ausfüllt und nach Osten verschiebt. Er liegt aber in den kommenden 24 Stunden immer noch westlich der Schweiz. Der Luftdruckrückgang betrug auf Jungfrauoch nur 2 Millibar in den 24 Stunden nach 07 h des 13. In den Niederungen der Alpennordseite erscheint er durch eine neue Kaltluftstaffel der alten

Rückseite kompensiert. Dagegen fällt der Luftdruck auch am Alpensüdfuß um 3 Millibar (zwischen 13 und 16 h), so daß sich hier ein kleines Tiefdruckgebiet abzeichnet, das auch am 14. noch mindestens bis am Nachmittag erhalten bleibt. Auf dem Säntis erfolgte zwischen 09 und 10.30 h ein vorübergehender Temperaturanstieg um 3 Grad, der der obigen Kaltluftstaffel vorangeht. Der anschließende langsame Rückgang der Temperatur um 4.5 Grad, der bis um 20 h anhält, hängt mit der Verlagerung des Höhentrogs nach Osten bzw. dem Eindringen der Kaltluft zusammen. Magadino zeigt ebenfalls einen den Gewittern vorangehenden Temperaturanstieg. In Mailand ist vom 12. zum 14. (01 h) eine leichte Erwärmung und Abtrocknung festzustellen, wenigstens in den untern Schichten bis 3000 m Höhe, während oberhalb Abkühlung mit Feuchtezunahme erfolgt. Die Erwärmung könnte daher als Warmsektor der Südseitedepression aufgefaßt werden.

Die Höhenkarte des Nachtages (14. August 01 h) zeigt eine erhebliche Verstärkung der Höhenwinde nebst einer Drehung derselben von SW nach SSW. Der Trog, bzw. also das Kaltluftgebiet, rückt somit von WNW heran. Um 13 h liegt die Troglinie immer noch über den Westalpen. Die Niederschläge hatten aber schon um 01.30 h im Tessin wieder aufgehört. Die Gewitterniederschläge auf der Alpensüdseite gehen also dem eigentlichen Kaltlufteinbruch in dieses Gebiet deutlich voraus. Erst die Höhenkarte von 01 h des 15. zeigt, daß die Kaltluft sich nun durchgesetzt hat. Die Höhenwinde haben nach West gedreht und übrigens ist nun bereits das Höhentief der neuen Depression maßgebend.

Als Fälle mit ähnlicher Niederschlagsverteilung seien erwähnt: der 19. Juni 1948 und der 15. September 1950. Im übrigen zeigt eine Untersuchung aller Tage der Monate Juli, August und September der Jahre 1950 bis 1957, daß einerseits das Heranrücken eines Höhentrogs von Westen her an die Alpen stets von sehr großen Niederschlägen im Tessin begleitet ist und daß umgekehrt fast alle Fälle von großen Niederschlägen daselbst daran geknüpft sind. Nur 5 von 64 Fällen (alle im September) weisen eine wesentlich andere Höhendruckverteilung auf. Die Bodenkarten können allerdings sehr verschieden aussehen. Meistens passiert der Trog und somit das Kaltluftgebiet anschließend die Alpen von West nach Ost, was sich durch erheblichen Temperaturrückgang anzeigt. Die hierbei fallenden Niederschläge sind aber wahrscheinlich kleiner als diejenigen, die innerhalb der noch warmen aber labilen Südwestströmung fallen. Diese dauern vor allem länger. Für sie kann der obige Fall als typisch gelten. Die Vorgänge, die sich bei solchen Passagen im Bereich des Alpensüdhangs abspielen, sind zweifellos sehr verwickelt und bei dem derzeitigen Mangel an Registrierstationen im Süden und Osten unseres Landes kaum befriedigend aufzuklären.

23. September

Am 23. September ist die ganze Alpennordseite stark überregnet worden (Karte Nr. 11). Abgesehen von einer mäßigen Bevorzugung der Nordostschweiz entspricht die Verteilung ungefähr der normalen. Beträge von 40 bis etwa 85 mm wurden erreicht einerseits im Gebiet der

Kantone Schwyz und Glarus, im Zürcher Oberland, im oberen Toggenburg, im Rheintal und Prätigau, sodann im Quellgebiet der Aare und schließlich im Jura. Im nordöstlichen Mittelland wurden noch 30 bis 40 mm gemessen. Ein Anteil der vorliegenden Niederschlagsperiode entfällt auf den 22., nämlich etwa 10 bis 20 mm im nordöstlichen Jura und bis zu 10 mm auf der übrigen Alpennordseite.

Diese Niederschläge fielen in Zürich von 00 h bis 16 h des 23. gleichmäßig und anhaltend, später noch schwach mit einigen Unterbrechungen bis um 01 h des 24. Die großen Mengen stehen in merkwürdigem Gegensatz zu der fast unveränderlichen Temperatur und der Abwesenheit von Gewitterstörungen. Solche sind lediglich am Vorabend vereinzelt im Nordosten aufgetreten. Die Temperaturschwankungen betrug den ganzen Tag höchstens 1.5 Grad in Zürich wie auf dem Säntis. In Zürich läßt sich eine vorübergehende Abkühlung um 11.30 h feststellen, auf dem Säntis etwas erhöhte Temperaturen zwischen 08 und 17 h. Dagegen herrschte während der Dauer der Niederschläge besonders in der Höhe starker Wind. Der Säntis registrierte meist Südwestwind. Sein Stundenmittel erreichte um 09 h das Maximum von 82 km/h. In Zürich herrschte Westwind mit einem Maximum von 31 km/h um 07 h.

Die Wetterkarte vom 23. um 07 h zeigt ein Tiefdruckgebiet, das sich von den Azoren über Großbritannien nach der Ostsee erstreckt und mehrere Zentren aufweist. Längs seiner Südostflanke wanderten Wellenstörungen rasch nordostwärts, deren Fronten ziemlich rasch über Frankreich und Deutschland hinwegziehen. Die ersten Niederschläge der Periode können auf eine von Westen her vordringende schwache Warmfront zurückgeführt werden. Die nächste Kaltfront biegt aber über Mittelfrankreich bereits wieder in die Warmfront des nächsten Randtiefs um, das noch über dem Atlantik liegt. Diese Umbiegungsstelle erreichte die Schweiz anscheinend um etwa 13 h, die Kaltluft dürfte aber nur in den untersten Schichten ins Mittelland eingedrungen sein. Um 24 h erstreckte sich die Front von den Ostalpen (München) über Straßburg bis nach London. Es hatte sich somit vor den Alpen der bekannte, nach Westen offene Winkel gebildet, in welchem sich die Warmluft «verfängt». In Deutschland herrschten am Nachmittag Westnordwest-, im Mittelland Westsüdwestwinde. Das Warmluftzentrum lag über Spanien und stieß in der Folge nur über dem Mittelmeer kräftig nach Osten vor. Dementsprechend herrschte über den Alpen in der Höhe eine starke Westnordwestströmung, welche wahrscheinlich eine Labilisierung der Luftmassen auf der Alpennordseite bewirkte. Diese Verhältnisse liegen erfahrungsgemäß bei starken orographisch bedingten Niederschlägen auf der Alpennordseite ohne Frontpassage sehr häufig vor, jedoch ereignen sie sich gewöhnlich im Winterhalbjahr.

Ein verwandter Fall mit allerdings weit ausgesprochenerer Nordwestströmung in der Höhe war am 6. Oktober des vergangenen Jahres (1956) zu verzeichnen.

6. November

Die großen Niederschläge, die am 6. November während einer zusammenbrechenden Föhnlage auf der Süd-

seite der Alpen gefallen sind, weisen ein Niederschlagsmaximum über dem Centovallgebiet auf (Karte Nr. 12) (Mosogno 98 mm, Camedo 166 mm). Im übrigen hat der ganze Kanton Tessin mehr als 60 mm erhalten, ebenso das Misox (Mesocco 70 mm) und das obere Hinterrheintal (Hinterrhein 82 mm, Splügen 85 mm). Die großen Niederschläge griffen auch über den Gotthard hinüber (Andermatt 64 mm, Gurtellen 51 mm, Altdorf 38 mm).

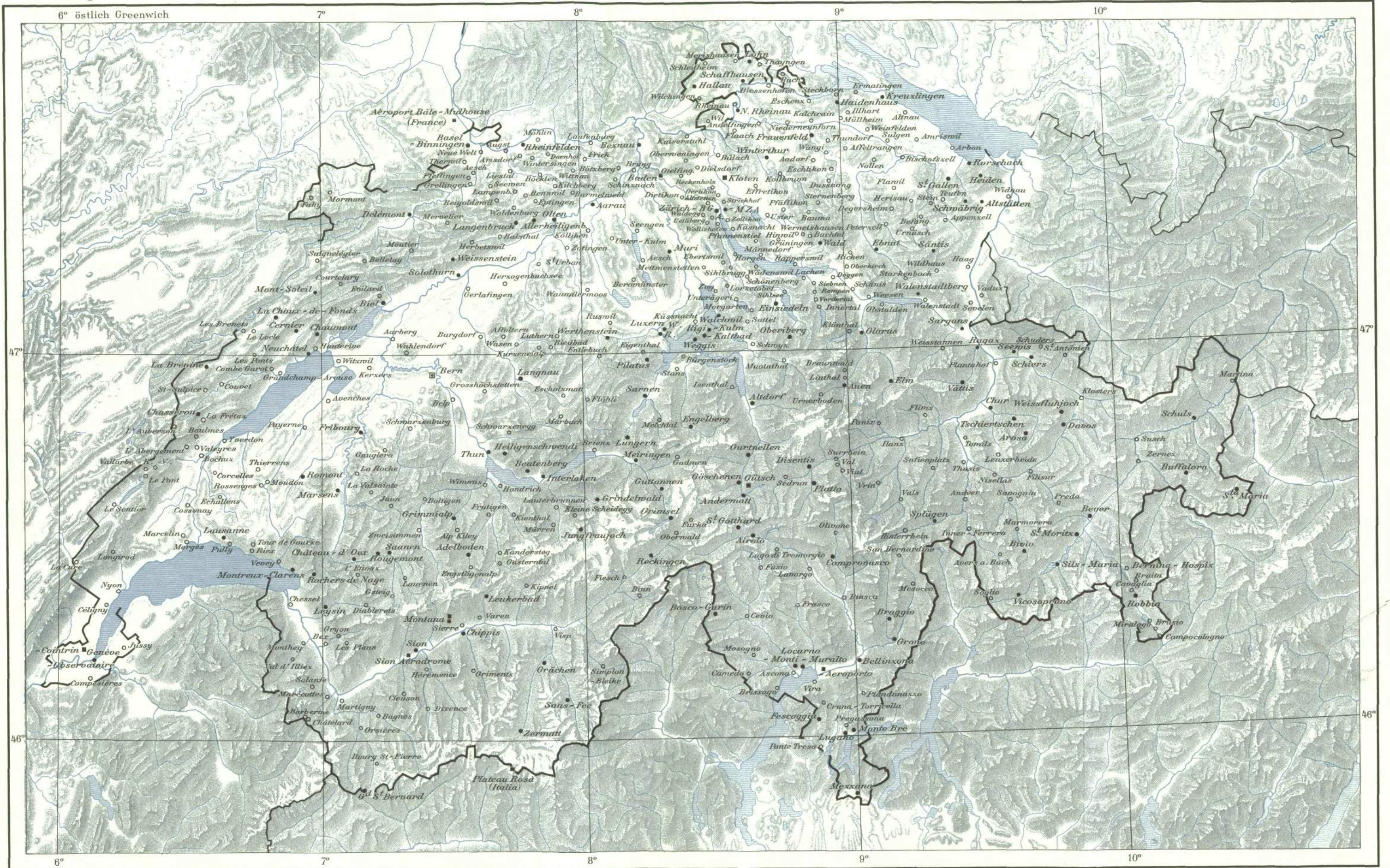
Die Wetterkarte vom 6. November um 13 h zeigt einen Tiefdrucktrog, der sich vom Golfe du Lion über Frankreich und die Nordsee bis zur tiefen Hauptdepression westlich der norwegischen Küste erstreckt. Letztere lag am Vortag noch über Großbritannien, war also sehr rasch nordwärts gewandert, auch hatte die Kaltfront die Alpen schon am Vorabend erreicht. Die vorliegenden Niederschläge, die im Tessin von Gewittern begleitet waren, knüpfen sich an eine Wellenstörung der quasi stationären Kaltfront, die von Süden nach Norden über die Alpen zog, wobei die Kaltluft von Südsüdwest bis Süd gegen den Alpensüdhang vorstieß. Im übrigen waren hier (ebenso in der Westschweiz) schon am 5. Niederschläge gefallen.

12. und 13. Dezember

Das Hauptniederschlagsgebiet liegt am 12. im Südwesten des Tessins und im Oberwallis (Ponte Tresa 101 mm, Brissago 102 mm, Mosogno 129 mm, Bosco-Gurin 117 mm, Reckingen 76 mm, Binn 108 mm, Visp 66 mm). Nach Nordwesten und Nordosten nehmen die Beträge rasch ab. Im Quellgebiet der Aare, der Reuß, des Vorderrheins, im Misox und Bergell sind noch 40 bis 55 mm gefallen (Guttannen 43 mm, Göschenen 52 mm, Comprovasco 50 mm, Mesocco 41 mm, Grono 56 mm, Vicosoprano 44 mm). Am 13. ist die Verteilung eine ähnliche. Doch erreichen die Beträge im Maximalgebiet nur noch die Hälfte, während der Osten und Norden nochmals ungefähr die gleichen Mengen zu verzeichnen haben. Die Niederschläge hatten schon am 11. früh eingesetzt und dauerten fast ohne Unterbrechung am 11. und 12. den ganzen Tag und am 13. noch bis um 18.30 h.

Bei den Niederschlägen vom 12. handelt es sich um ausgesprochenen Föhnregen verursacht durch eine sehr tiefe Depression, deren Hauptminimum (970 Millibar) um 07 h des 12. nördlich von La Corunna lag. Eine Teildepression, die von Südwesten heraufgezogen war (973 Millibar), befand sich um diese Zeit über Südwestfrankreich und zog in der Folge im Norden der Alpen vorbei. Das Druckminimum wurde in Zürich um 15 h erreicht. Um diese Zeit betrug der Druckunterschied zwischen der Süd- und der Nordseite der Alpen etwa 15 Millibar. In Altdorf herrschte starker Föhn vom 11. um 00 h bis zum 12. um 24 h. Der Föhnüberdruck verschwand in der Nacht vom 12. zum 13. einerseits durch Druckanstieg auf der Alpennordseite andererseits durch das Heranrücken eines neuen Teiltiefs aus Südwesten gegen die Südflanke der Alpen. Die Niederschläge vom 13. knüpfen sich also im wesentlichen an dieses neue Tief. Es lag am 13. um 13 h noch über dem nördlichen Italien, um 24 h bereits über der Slowakei. Die Nordostschweiz hat erst am 13. einige Niederschläge erhalten.

M. Grütter



Eidg. Landestopographie Bern
Service topographique fédéral Berne

○ Meteorologische Station
Klimatologisches Netz
● Station météorologique
Réseau climatologique

○ Regenmess-Station
Station pluviométrique

■ Meteorologische Station
Synoptisches Netz
■ Station météorologique
Réseau synoptique

Schweizerische Meteorologische Zentralanstalt
Institut Suisse de Météorologie

Ergebnisse der Registrierungen der Sonnenscheinautographen im Jahre 1957

U = Stationen mit Sonnenscheinautographen «Usteri»
 N = Stationen mit Sonnenscheinautographen «Negretti & Zambra» (N* = neues Modell)
 F = Stationen mit Sonnenscheinautographen «Fuess»
 C* = Stationen mit Sonnenscheinautographen Casella (neues Modell)
 L = Stationen mit Sonnenscheinautographen «Lambrecht»

Monats- und Jahressummen der Sonnenscheindauer in Stunden

1957	Apparat	Januar	Februar	März	April	Mai	Juni	Juli	August	September	Oktober	November	Dezember	Jahr
Zürich	N*	75	86	185	156	158	200	198	217	154	147	28	55	1659
St. Gallen	L	64	70	170	147	128	197	173	182	137	138	26	55	1487
Säntis	N*	136	80	201	144	134	216	164	162	136	249	179	159	1960
Hallau	U	66	56	146	152	151	197	172	200	142	124	32	47	1485
Wald	U	90	66	180	120	106	176	156	160	119	180	52	97	1502
Walenstadtberg	U	87	76	174	109	96	163	146	154	110	182	76	101	1474
Braunwald	F	83	78	175	122	124	188	154	164	117	167	80	92	1544
Oberiberg	N*	77	76	181	100	99	188	162	174	135	189	59	79	1519
Unterägeri	U	72	73	156	120	124	180	150	173	129	155	35	84	1451
Altdorf	N*	44	76	158	137	123	188	152	176	117	116	26	48	1361
Luzern	N	58	80	166	116	126	190	177	188	138	125	13	42	1419
Jungfrau-joch	N													
Grimmialp	N	102	69	173	122	101	145	158	189	137	171	86	111	1564
Beatenberg	F	107	92	215	132	128	187	179	206	158	203	71	127	1805
Heiligenschwendl	U	104	71	184	114	93	144	153	175	128	175	46	103	1490
Bern	L	97	84	182	150	171	204	217	235	162	188	31	62	1783
Basel	N	110	81	178	164	180	207	202	198	149	175	46	74	1764
Barmelweid	U	85	59	160	119	122	160	174	160	110	154	30	41	1374
Allerheiligenberg	U	94	66	152	129	137	176	169	179	122	159	39	53	1475
Mt-Soleil s. St-Imer	U	104	68	170	126	128	149	158	179	143	222	74	98	1619
La Chaux-de-Fonds	F	103	81	180	141	136	176	195	192	154	232	92	104	1786
Chasseron	N*	123	69	200	135	145	166	186	195	162	241	118	116	1856
Neuchâtel	U	43	74	172	156	180	176	209	219	143	135	22	33	1562
Payerne	N*	68	87	187	160	191	190	224	239	173	148	28	60	1755
Genf-Observatorium	N	60	89	219	208	225	224	281	265	214	175	33	38	2031
Genf-Cointrin	N*	59	87	203	196	209	204	274	254	201	178	41	40	1946
Lausanne	N	85	84	201	196	221	214	242	246	190	200	48	71	1998
Montreux-Clarens	U	73	74	165	158	150	184	197	192	156	160	52	66	1627
Château-d'Œx	F	123	86	196	160	139	181	192	214	166	217	95	115	1884
Leysin	U	146	80	202	149	125	171	188	188	160	196	120	126	1851
Monthey	L	64	67	179	164	113	177	216	196	160	170	78	93	1677
Sitten	U	126	94	218	196	191	191	246	220	183	226	124	128	2143
Montana s. Sierre	U	156	102	227	195	160	188	237	215	186	241	156	149	2212
Disentis	N*	101	98	205	162	124	170	191	193	178	178	90	95	1785
Plantahof b. Landquart	U	65	86	180	140	139	188	181	180	133	173	82	88	1635
Bad Ragaz	F	60	90	189	144	128	172	178	185	143	167	81	82	1619
Arosa	C*	102	102	189	141	115	190	175	189	142	181	130	122	1778
Weißfluhjoch	F	133	114	208	150	138	182	160	199	159	235	182	172	2032
Davos Platz	F	89	94	182	142	119	171	166	186	150	172	120	122	1713
Bivio	N	85	98	176	134	107	147	168	159	149	173	100	109	1605
St. Moritz	F	117	109	201	188	137	170	210	209	182	196	126	119	1964
Schuls	N	86	95	190	161	135	182	181	206	165	167	111	92	1771
Lugano	N	141	114	148	170	148	169	278	213	212	171	96	134	1994
Monte Brè	U	146	121	153	177	156	177	302	220	214	166	102	139	2073
Locarno-Monti	N	158	117	172	197	178	188	304	225	238	182	106	139	2204

Genf-Cointrin: Verlegung des Sonnenscheinautographen am 7. März

Dates limites pour les semailles de blé d'hiver

par B. Primault, D^r Ing., Chargé des Travaux de météorologie agricole

I. Situation du problème

Dans un climat très variable, comme celui de l'Europe centrale par exemple, il peut arriver que les travaux des champs ne puissent s'effectuer normalement. Nous pensons ici avant tout aux labours et semailles d'automne. Ainsi, en 1952, les pluies abondantes et persistantes de l'automne — on recueillait en septembre des précipitations représentant le 150 %, en octobre le 200 % et en novembre le 200 à 250 % de la normale — n'ont pas permis aux paysans de faire les labours. En outre, le grain aurait vraisemblablement pourri dans cette terre détrempée. Il fallut donc surseoir aux travaux d'ensemencement. Mais la question s'est alors posée de savoir si le gain mis en terre très tard aurait le temps de germer et surtout trouverait encore les conditions indispensables à sa vernalisation (action du froid qui seule permet au blé de monter).

C'est pour répondre en partie à cette question que nous avons cherché à fixer statistiquement une date limite pour des semailles tardives en décembre, janvier, ou éventuellement février. La présente étude se rapporte avant tout au Plateau suisse.

D'après les données fournies par la Station fédérale de chimie agricole de Liebfeld, le blé d'hiver a besoin pour monter en chaume de 45 à 50 jours durant lesquels la température reste inférieure à 3° C, avant le 1^{er} ou le 15 avril.

Cependant, Hänsel [1951] nous rappelle que la vernalisation ne peut se produire que si la plante a joui, avant l'action du froid, de suffisamment de chaud pour avoir pu se développer normalement. D'autre part Geslin [1954] nous enseigne qu'une action prolongée du froid sur les gains augmentera le nombre d'épis et, par tant, la récolte.

Dans la présente étude, nous avons considéré deux stations extrêmes du Plateau à savoir Lausanne et Frauenfeld. Ces deux stations sont absolument homogènes au point de vue des observations météorologiques.

Pour nous rapprocher le plus possible des essais effectués en laboratoire, nous n'avons pas considéré seulement le minimum de la nuit mais aussi la moyenne journalière et le maximum de chaque jour et cela en considérant 4 possibilités: 45 jours en partant du 1^{er} avril, 50 jours en partant de cette date, 45 jours en partant du 15 avril et 50 jours dès le 15 avril. Nous nous tenons ainsi dans les limites découlant des indications reçues.

Afin de donner à notre recherche une base statistique aussi exacte et aussi étendue que possible, nous avons utilisé les tables originales des deux stations mentionnées et cela pour la période de 50 ans s'étendant de 1901 à 1950.

2. Quelques réflexions préliminaires

Au cours de notre compilation nous avons trouvé que les 45, respectivement 50 jours ne se rencontraient que dans un seul cas sans solution de continuité à savoir en 1917 et cela uniquement pour les minimums. Dans les autres années, les périodes sont interrompues par des hausses passagères de la température et dépassent, par conséquent, le chiffre fatidique de 3° C. Renseignement pris, ce détail importe peu, car le nombre de jours est primordial et des périodes intermédiaires de réchauffement ne tirent pas à conséquence.

Nous avons tout d'abord pensé à établir une date moyenne. Cependant, une telle indication serait peu représentative. Nous le voyons aisément dans les courbes de répartitions des fréquences (cf. fig. 1). Il s'agit donc plutôt de déterminer une date limite. Celle-ci n'est pas, elle non plus, utilisable directement, car nous y incluerions les années exceptionnelles. Nous considérons donc 10 % comme étant, à chaque extrémité de la courbe, des années exceptionnelles et laisserons par conséquent tomber 5 ans. Nous obtiendrons ainsi une date limite «utile».

Pour ne pas allonger, nous ne donnerons ici que le résumé de cette fastidieuse compilation et non sa totalité.

Tableau 1

Résumé des extraits des tables originales

	Extrêmes précoces			Extrêmes tardifs			Date moyenne			Date limite «utile»	
	Min. 1	Moyenne 2	Max. 3	Min. 4	Moyenne 5	Max. 6	Min. 7	Moyenne 8	Max. 9	Min. 10	Moyenne 11
<i>Lausanne</i>											
1. IV, 45 jours	9. I	28. XI*	50	14. II	1. II	7	1. II	7. I*	25.46	23. I	13. XII
1. IV, 50 jours	30. XII	18. XI*	51	9. II	27. I	7	27. I	1. I*	25.46	18. I	8. XI
15. IV, 45 jours	13. I	28. XI*	50	25. II	3. II	7	7. II	8. I*	25.52	27. I	13. XII
15. IV, 50 jours	9. I	18. XI*	51	20. II	29. I	7	1. II	2. I*	25.52	21. I	8. XII
<i>Frauenfeld</i>											
1. IV, 45 jours	31. I	16. XII	60	15. II	12. II	13	9. II	18. I	34.18	5. I	3. I
1. IV, 50 jours	19. I	11. XII	60	10. II	5. II	13	3. II	11. I	34.18	30. I	25. XII
15. IV, 45 jours	6. II	16. XII	60	1. II	14. II	13	18. II	20. I	34.38	13. II	4. I
15. IV, 50 jours	27. I	11. XII	60	25. II	9. II	13	12. II	13. I	34.38	6. II	30. XII

* voir explications dans le texte

* moyenne de 49 ans seulement

Nombre d'années

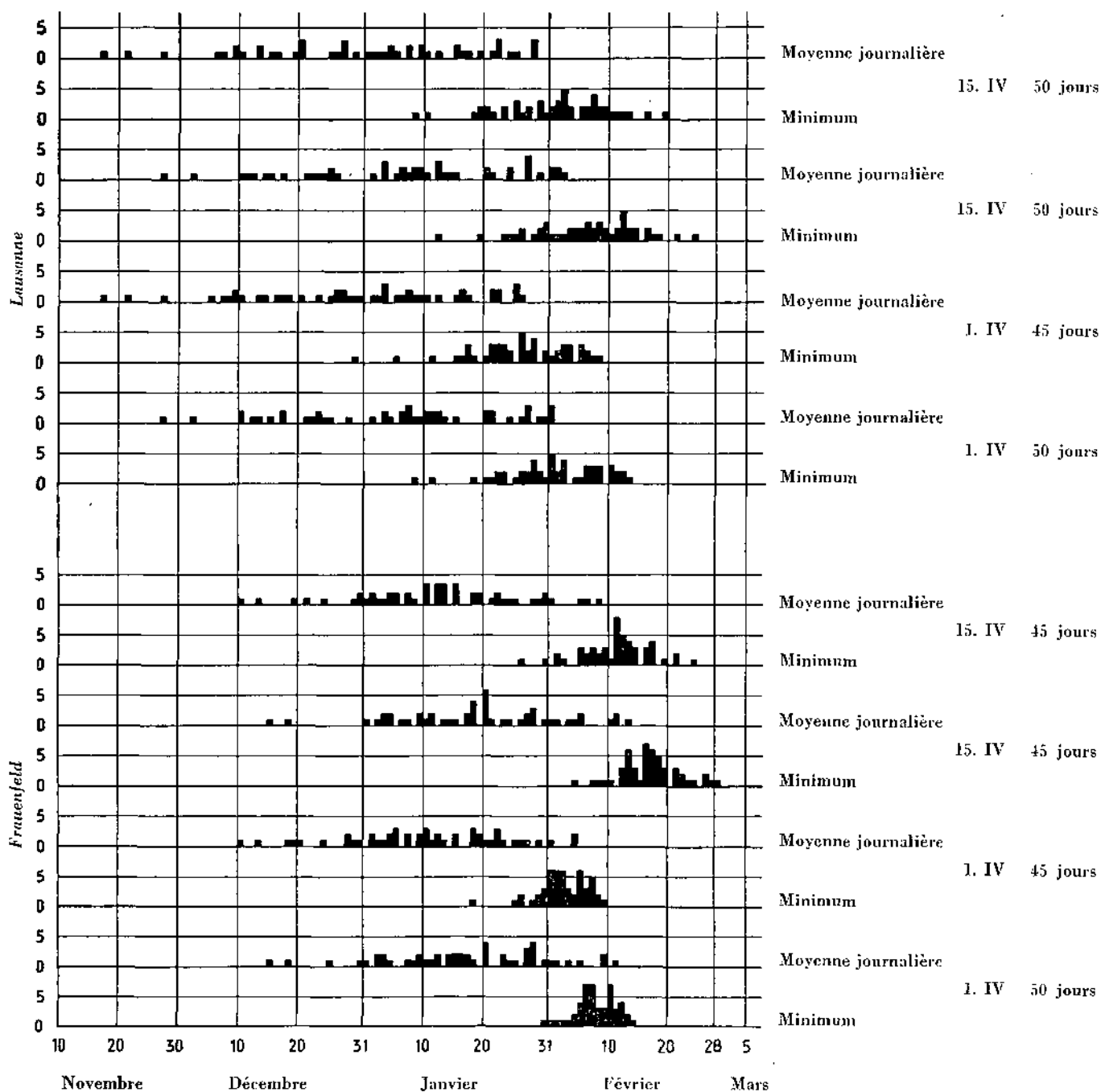


Fig. 1 Répartition des fréquences

3. Extraits

Nous donnerons d'abord, pour chacune des quatre possibilités indiquées, la date limite à laquelle il y aura encore 45 jours respectivement 50 jours jusqu'au 1^{er} avril (respectivement 15 avril) où le *minimum de la nuit* sera inférieur ou égal à 3° C (col. 1 et 4, tableau 1).

Nous donnons aux colonnes 2 et 5 du tableau 1 les chiffres correspondants pour les jours où la *moyenne thermique* fut inférieure ou égale à 3° C. Nous remarquons dans ce cas qu'à Lausanne il n'y a pas eu durant l'hiver 1911—1912 45 jours au-dessous de 3° C. Une date limite ne peut donc être indiquée dans ce cas particulier. La date mentionnée à la colonne 2 se rapporte donc à 49 et non à 50 ans d'observations.

En procédant aux extraits, nous avons constaté que seules quelques années présentaient 45 jours où le *maximum de la journée* restait au-dessous de 3,0° C entre le 1^{er} janvier et le 1^{er} respectivement 15 avril. Nous donnerons aux colonnes 3 et 6 non plus la date extrême mais le nombre de jours froids relevés au cours de cette période.

4. Répartition des fréquences (fig. 1)

Nous voyons, à la figure 1, que si les courbes de répartition des fréquences des dates limites correspondant au minima se rapprochent sensiblement de la courbe normale de Gauss, celles des moyennes s'étendent sur une longue période sans présenter de maximum saillant. La

moyenne de la courbe (Tab. 1, col. 8) n'est par conséquent pas du tout représentative dans ce cas. Elle ne donne qu'un ordre de grandeur tout à fait approximatif.

5. Date limite «utile»

Comme nous l'avons dit plus haut nous considérons que le 10 % des cas à chaque extrémité de la courbe correspond à des années exceptionnelles. Ce chiffre de 10 % est arbitraire mais correspond cependant à ce qui est habituellement utilisé lors de recherches de climatologie statistique. D'autre part, les années les plus froides n'ont, dans les cas qui nous occupent, pas de signification particulière. Elles permettraient en effet de semer beaucoup plus tardivement le blé d'hiver, et lui garantiraient une période de vernalisation suffisante. Nous ne considérerons donc comme date limite que l'extrémité formée par les années les plus chaudes. Nous obtenons alors les dates limites «utiles» figurant aux colonnes 10 et 11 du tableau.

6. Extension des résultats à tout le Plateau

Les chiffres ainsi obtenus ne concernent que deux stations du Plateau et leurs lieux circonvoisins. Pourtant, les semailles ne purent être effectuées, en 1952, non seu-

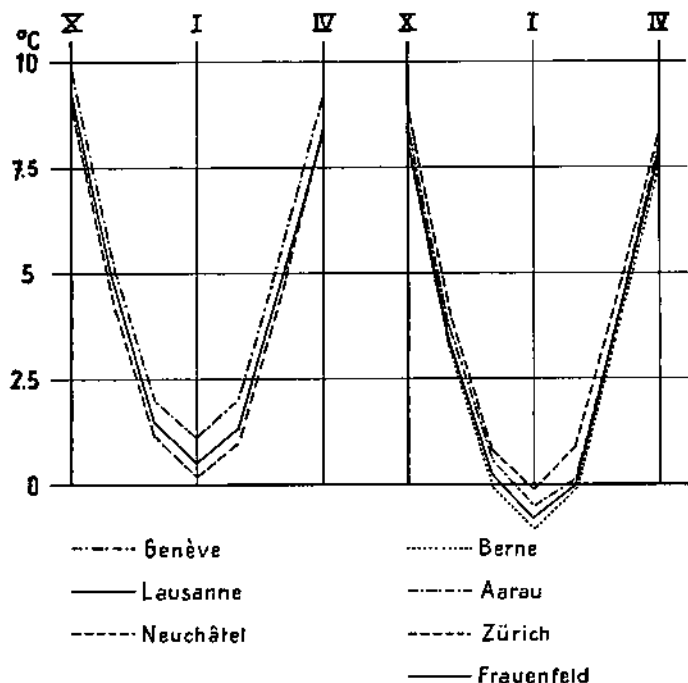


Fig. 2

Moyennes mensuelles de la température

lement dans ces deux régions extrêmes mais sur toute l'étendue du Plateau c'est à dire la région qui les sépare. Comme les dates limites «utiles» de l'une des 2 stations

considérées ne se sont pas du tout identiques à celles de l'autre, il était nécessaire d'examiner encore les corrections à leur apporter afin d'obtenir la dite date pour toute l'étendue qui les sépare. Pour ce faire, nous nous sommes basés sur les moyennes climatologiques de température de stations typiques du Plateau. Nous avons reproduit sur un même diagramme la courbe hivernale de température de Genève, Lausanne, Neuchâtel, Berne, Aarau, Zurich et Frauenfeld. (fig. 2).

Nous constatons que ces courbes peuvent très bien se réunir en 2 groupes. Le premier, qui comprend Genève, Lausanne et Neuchâtel est fait de stations dont les courbes ne sont pas similaires mais dont le passage de l'une à l'autre est régulier. Le deuxième contient les 4 autres stations c'est à dire celles dont les courbes sont très voisines l'une de l'autre.

Nous en tirons donc la conclusion que les chiffres de Frauenfeld peuvent s'appliquer à tout le Plateau situé à l'est de la Sarine. On calculera pour la région de Fribourg du Seeland et de Neuchâtel la moyenne entre les données de Frauenfeld et Lausanne. Pour le Gros de Vaud on appliquera sans autre les données de Lausanne. Pour le Genevois enfin, il faudra avancer la date limite «utile» de quelques jours par rapport aux indications de Lausanne.

7. Reflexions finales

Les résultats de la présente recherche ne nous semblent avoir qu'un caractère informateur car il nous paraît peu probable que les données de la station de Liebefeld (45—50 jours, 1^{er}—15 avril) puissent s'appliquer sans autre à toutes les variétés de blé d'hiver. Nous savons en effet que certaines variétés sont très résistantes d'autres moins (cf. Pascale et Damario [1954]). D'autre part, certaines variétés ne montent pas en chaume si on les sème après le 15 décembre et cela quelle que soit la répartition des températures de l'hiver.

Ajoutons, pour être complet, que la couverture du sol, au cours de l'hiver, joue également un rôle très important. Une couche de neige persistant sur le sol, agit comme un isolant si bien que ni les fluctuations de la température extérieure ni l'isolation ne pourront y parvenir (Koblet [1942]).

Dans la présente étude, nous avons tenu uniquement compte des températures relevées dans l'abri météorologique, soit à 2 m du sol. Donc, avant d'utiliser en pratique les chiffres que nous présentons ici, il est nécessaire de considérer la variété et l'état du sol à la date limite «utile» car ce dernier joue également un rôle de premier plan dans la germination et le développement des plantes (Primault [1956]).

Littérature:

Fuss Franz: Zur Lage des Wachstumspunktes der Temperatur bei Winterweizen unter Freilandbedingungen. — Wissenschaftliche Zeitschrift der Martin-Luther-Universität, Halle-Wittenberg. Jahrgang V. Heft 3. Februar 1956. pp. 513—522.
 Geslin H.: Influence de la température sur le tallage des blés. — La Météorologie, N° 36. Octobre—Décembre 1954. pp. 301—308.
 Gisiger L.: Beobachtungen an späten Winterweizensaaten. — Schweizer Bauer Nr. 145, 1952.
 Hünzel H.: Über die Wirkung wechselnder Temperaturen auf Wachstum und Entwicklung einiger Pflanzen (Übersicht). — Wetter und Leben. Jahrgang 3. Heft 8, August 1951, pp. 161—166.
 Koblet R.: Der Temperaturverlauf unter Schnee und die Bedeutung

der Schneedecke für die Überwinterung von Getreide- und Futterpflanzen. — Die Grüne. 70. Jahrgang, Heft 40, 2. Oktober 1942. p. 1054—1061.
 Pascale A. J. & Damario E. A.: El indice helietermico aplicado a los trigos argentinos Meteoros Año. IV. N° 3. Julio—Septiembre 1954, pp. 129—157.
 Primault B.: Ce que nous enseignent les bilans hydriques successifs. — Annales der Schweizerischen Meteorologischen Zentralanstalt. Année 1956. pp. 5/6—5/10.
 Schüepp W.: Phänometrisches Experiment über die «Winterruhe» einiger Pflanzen. — Wetter und Leben. Jahrgang 2. Heft 9/10. März 1950, pp. 205—211.

Aerologische Station Payerne Radiosondierungen 1957

Die Aerologische Station Payerne (Koordination $\lambda = 6^{\circ}57'$ $\beta = 46^{\circ}49'$ $H_b = 491$ m) führte die Radiosondierungen im Jahre 1957 in gleicher Weise durch wie im Vorjahr, nur wurden die Aufstiegszeiten vom April an von 03.00 h und 15.00 h entsprechend den internationalen Beschlüssen auf 00.00 h und ~~15.00~~ h verlegt. Die nachfolgende Publikation der Ergebnisse erfolgt ebenfalls in der bisherigen Art, nur wurde im ersten Teil (Seite 4—27) in den «Donées synoptiques en surface» der Code AERO durch den Code SYNOP ersetzt, welcher nachfolgend auf den Seiten 1—3 erläutert ist. Ferner wurden die jähr-

lichen Zusammenstellungen und die Frequenzstatistiken, welche in den Jahren 1954—56 auf den Seiten 38 ff. enthalten waren, weggelassen. Sie sollen später, nach Einführung des Lochkartenverfahrens, im Rahmen einer Gesamtbearbeitung veröffentlicht werden.

Die Höhen der Standardflächen sind wie bisher in geopotentiellen Metern (gpm), die Temperaturen in $^{\circ}$ C, die relativen Feuchtigkeiten in $\%$, die Windrichtungen in 10er-Graden der 360-Grad-Skala und die Windgeschwindigkeiten in Knoten angegeben (1 Knoten = 0,5148 m/sec = 1,853 km/Std.).

Inhaltsverzeichnis | Table des matières

	Page
Observations aux niveaux standards 00.00/03.00 h et 12.00/15.00 h (HEC)	4—29
Moyennes mensuelles aux niveaux standards:	
Hauteur de la surface de pression standard, température, humidité relative	30—32
Vecteur du vent moyen	33
Vitesse du vent pour les 12 secteurs principaux	34—39

Code SYNOP

N VV_{ww}W N_hCl_hC_MC_U

N = Couverture totale du ciel (nébulosité), en huitièmes

N_h = Couverture du ciel par les nuages dont la hauteur est donnée sous h, en huitièmes

N et N_h se chiffrent comme suit:

0 = pas de nuages	0/10	6 = 6 octants = 6/8 du ciel couvert	7/10 à 8/10
1 = 1 octant = 1/8 du ciel couvert		7 = 7 octants = 7/8 du ciel couvert	9/10
2 = 2 octants = 2/8 du ciel couvert	2/10 à 3/10	8 = 8 octants = 8/8 du ciel couvert	10/10
3 = 3 octants = 3/8 du ciel couvert	4/10	9 = Ciel invisible par suite de brouillard, de chasse-neige ou d'autres phénomènes, ou observation impossible à cause de l'obscurité	
4 = 4 octants = 4/8 du ciel couvert	5/10		
5 = 5 octants = 5/8 du ciel couvert	6/10		

VV = Visibilité horizontale

Code	Visibilité km	Code	Visibilité						
00	< 0.1	10	1.0	20	2.0	30	3.0	40	4.0
01	0.1	11	1.1	21	2.1	31	3.1	41	4.1
02	0.2	12	1.2	22	2.2	32	3.2	42	4.2
03	0.3	13	1.3	23	2.3	33	3.3	43	4.3
04	0.4	14	1.4	24	2.4	34	3.4	44	4.4
05	0.5	15	1.5	25	2.5	35	3.5	45	4.5
06	0.6	16	1.6	26	2.6	36	3.6	46	4.6
07	0.7	17	1.7	27	2.7	37	3.7	47	4.7
08	0.8	18	1.8	28	2.8	38	3.8	48	4.8
09	0.9	19	1.9	29	2.9	39	3.9	49	4.9

Code	Visibilité km	Echelle réduite							
50	5.0	60	10	70	20	80	30	90	0— 50 m
51	}	61	11	71	21	81	35	91	50— 200 m
52		62	12	72	22	82	40	92	200— 500 m
53		63	13	73	23	83	45	93	500—1000 m
54		64	14	74	24	84	50	94	1000—2000 m
55		65	15	75	25	85	55	95	2000—4000 m
56	6	66	16	76	26	86	60	96	4—10 km
57	7	67	17	77	27	87	65	97	10—20 km
58	8	68	18	78	28	88	70	98	20—50 km
59	9	69	19	79	29	89	< 70	99	50 km ou plus

ww = Temps au moment de l'observation ou pendant l'heure précédente

ww 00 à 19 = Pas de précipitations, ni de brouillard, ni de tempête de poussière ou de sable, ni de chasse-neige à la station (station terrestre, bateau, avion) au moment de l'observation ou pendant l'heure précédente (exception sous 09)

Nuages seuls sans hydro-météores	}	00 Evolution des nuages nulle ou inconnue	}	Changement caractéristique de l'état du ciel pendant l'heure précédente
		01 Nuages en dissolution ou devenant plus minces		
		02 Etat du ciel inchangé dans l'ensemble		
		03 Nuages en formation ou en augmentation		
Brume sèche, poussière, sable ou fumées	}	04 Visibilité réduite par fumée, feu de broussailles ou de forêt, fumées industrielles ou cendres volcaniques		
		05 Brume sèche		
		06 Poussières flottant dans l'air, non entraînées par le vent, ni à la station ni dans ses environs		
		07 Poussières ou sable entraînés par le vent au moment de l'observation, à la station ou dans son voisinage, mais pas de tourbillons caractéristiques de sable ou de poussière et pas de tempête de poussière ou de sable observée		
		08 Tourbillons typique de poussière ou de sable à la station ou dans son voisinage pendant l'heure précédente, mais pas de tempête de poussière ou de sable		
		09 Tempête de poussière ou de sable en vue ou à la station, même pendant l'heure précédente		
		10 Brume		
		11 { Mince couche de brouillard à la station (terrestre ou maritime),	{ en bancs	
		12 { d'une épaisseur ne dépassant pas 2 m sur terre, 10 m sur mer	{ plus ou moins compacte	
		13 Eclairs de chaleur; le tonnerre n'est pas audible		
14 Précipitations en vue, mais n'atteignant pas le sol				
15 Précipitations en vue, atteignant le sol, mais à plus de 5 km de la station à l'estime				
16 Précipitations en vue, atteignant le sol, à moins de 5 km de la station, mais pas à la station même				
17 Tonnerre audible, mais pas de précipitations à la station				
18 Averses	}	observées pendant l'heure précédente		
19 Trombe(s)				

ww 20 à 29 = Précipitations, brouillard ou orage à la station pendant l'heure précédente, mais pas au moment de l'observation

ww		
20 Bruine (ne se congelant pas)	}	Pas sous forme d'averses
21 Pluie (ne se congelant pas)		
22 Neige		
23 Pluie et neige mêlées		
24 Bruine ou pluie se congelant		
25 Averses de pluie		
26 Averses de neige, ou de pluie et de neige ¹		
27 Averses de grêle, ou de pluie et de grêle ²		
28 Brouillard		
29 Orage (avec ou sans précipitations)		

¹ également grésil ou neige roulée
² également averses de grésil ou de neige roulée

42 Brouillard, ciel visible	}	a diminué au cours de l'heure précédente
43 Brouillard, ciel invisible		
44 Brouillard, ciel visible	}	sans changement notable au cours de l'heure précédente
45 Brouillard, ciel invisible		
46 Brouillard, ciel visible	}	est apparu ou s'est épaissi au cours de l'heure précédente
47 Brouillard, ciel invisible		
48 Brouillard avec givre, ciel visible		
49 Brouillard avec givre, ciel invisible		

ww 50 à 59 = Bruine

ww		
50 Bruine	}	faible au moment de l'observation
51 Bruine, sans congélation		
52 sans congélation	}	modérée au moment de l'observation
53 congélation		
54	}	forte au moment de l'observation
55		
56 Bruine congelante, faible		
57 Bruine congelante, modérée ou forte		
58 Bruine et pluie, faibles		
59 Bruine et pluie, modérées ou fortes		

ww 60 à 69 = Pluie

ww		
60 Pluie, sans congélation	}	faible au moment de l'observation
61 Pluie, sans congélation		
62 Pluie, sans congélation	}	modérée au moment de l'observation
63 congélation		
64	}	forte au moment de l'observation
65		
66 Pluie se congelant, faible		
67 Pluie se congelant, modérée ou forte		
68 Pluie ou bruine et neige, faibles		
69 Pluie ou bruine et neige, modérées ou fortes		

ww 30 à 39 = Tempête de poussière ou de sable, chasse-neige

ww			
30 Tempête de poussière ou de sable, faible ou modérée	}	a diminué sans changement	au cours de l'heure précédente
31			
32 Forte tempête de poussière ou de sable	}	a augmenté sans changement	au cours de l'heure précédente
33			
34 Chasse-neige faible ou modéré	}	de peu d'épaisseur (neige soufflée)	
35			
36 Fort chasse-neige	}	de grande épaisseur	
37			
38 Chasse-neige faible ou modéré			
39 Fort chasse-neige			

ww 40 à 49 = Brouillard au moment de l'observation

ww	
40 Brouillard au moment de l'observation à quelque distance, mais pas à la station pendant l'heure précédente; la limite supérieure du brouillard est au-dessus de la station	
41 Brouillard en bancs	

ww 70 à 79 = Précipitations solides, non sous forme d'averses

ww		
70 Neige en flocons	}	faible au moment de l'observation
71		
72 Neige en flocons	}	modérée au moment de l'observation
73		
74	}	forte au moment de l'observation
75		
76 Aiguilles de glace (avec ou sans brouillard)		
77 Neige en grains (avec ou sans brouillard)		
78 Etoiles de neige isolées (avec ou sans brouillard)		
79 Grains de glace		

ww 80—99 = Précipitations sous forme d'averses, ou précipitations accompagnées de phénomènes orageux au moment de l'observation ou pendant l'heure précédente

ww

- | | | |
|--|-----------------------------------|--|
| 80 Averses de pluie faibles | | |
| 81 Averses de pluie modérées ou fortes | | |
| 82 Averses de pluie violentes | | |
| 83 Averses de pluie et neige mêlées, faibles | | |
| 84 Averses de pluie et neige mêlées, modérées ou fortes | | |
| 85 Averses de neige faibles | | |
| 86 Averses de neige modérées ou fortes | | |
| 87 } Averses de grésil ou de neige roulée avec ou sans | } faibles
} modérés ou fortes | |
| 88 } pluie, ou pluie et neige mêlées | | |
| 89 } Averses de grêle avec ou sans pluie, | } faibles
} modérées ou fortes | |
| 90 } ou pluie et neige mêlées, sans tonnerre | | |
| 91 Pluie faible au moment de l'observation | | } Orage durant l'heure précédente, mais non au moment de l'observation |
| 92 Pluie modérée ou forte au moment de l'observation | | |
| 93 Faible chute de neige, ou de pluie et de neige mêlées, ou de grêle (grésil ou neige roulée) au moment de l'observation | | } Orage au moment de l'observation |
| 94 Chute modérée ou forte de neige, ou de neige et de pluie mêlées, ou de grêle (grésil ou neige) au moment de l'observation | | |
| 95 Orage faible ou modéré, sans grêle mais avec pluie, ou pluie et neige, ou neige, au moment de l'observation | | |
| 96 Orage faible ou modéré, avec grêle, grésil ou neige roulée, au moment de l'observation | | |
| 97 Orage fort, sans grêle ni grésil ou neige roulée, mais avec pluie, pluie et neige ou neige au moment de l'observation | | |
| 98 Orage avec tempête de poussière ou de sable au moment de l'observation | | |
| 99 Orage fort avec grêle, grésil ou neige roulée au moment de l'observation | | |

W = Temps passé

- | | |
|---|---------------------------------------|
| 0 = Ciel à demi-couvert ou plus clair pendant toute la période | 5 = Bruine |
| 1 = Ciel par moments plus qu'à demi-couvert, par moments à demi-couvert ou plus clair | 6 = Pluie |
| 2 = Ciel plus qu'à demi-couvert pendant toute la période | 7 = Neige ou pluie et neige mêlées |
| 3 = Chasse-neige, tempête de poussière ou de sable | 8 = Averses |
| 4 = Brouillard ou brume épaisse | 9 = Orage avec ou sans précipitations |

C_L = Nuages des genres Sc, St, Cu, Cb

- | | |
|--|--|
| 0 = Pas de nuages du type C _L | 5 = Stratocumulus ordinaire |
| 1 = Cumulus humilis | 6 = Stratus et/ou fractostratus |
| 2 = Cumulus congestus | 7 = Fractostratus et/ou fractocumulus de mauvais temps |
| 3 = Cumulonimbus calvus | 8 = Cumulus et stratocumulus ordinaire |
| 4 = Stratocumulus cumulogenitus ou vespertinus | 9 = Cumulonimbus capillatus |

h = Hauteur de la base des nuages au-dessus de la station

- | | |
|----------------|--|
| 0 = 0— 50 m | 6 = 1000—1500 m |
| 1 = 50— 100 m | 7 = 1500—2000 m |
| 2 = 100— 200 m | 8 = 2000—2500 m |
| 3 = 200— 300 m | 9 = 2500 m et plus, ou pas de nuages |
| 4 = 300— 600 m | / = La hauteur ne peut être déterminée, ou la base des nuages se trouve au-dessous et la face supérieure au-dessus de la station |
| 5 = 600—1000 m | |

C_M = Nuages des genres Ac, As et Ns

- | | |
|--|--|
| 0 = Pas de nuages du type C _M | 6 = Altocumulus cumulogenitus |
| 1 = Altostratus translucidus | 7 = Altocumulus duplicatus (altocumulus opacus, altostratus associé à l'altocumulus) |
| 2 = Altostratus opacus ou nimbostratus | 8 = Altocumulus cumuliformis |
| 3 = Altocumulus translucidus | 9 = Altocumulus associé à des bancs de cirrus denses ou de voiles |
| 4 = Altocumulus translucidus | |
| 5 = Altocumulus translucidus | |

C_H = Nuages des genres Ci, Cs et Cc

- | | |
|--|-------------------------------|
| 0 = Pas de nuages du type C _H | 5 = Cirrus et/ou cirrostratus |
| 1 = Cirrus filosus | 6 = Cirrus et/ou cirrostratus |
| 2 = Cirrus densus | 7 = Voile de cirrostratus |
| 3 = Cirrus nothus | 8 = Voile de cirrostratus |
| 4 = Cirrus | 9 = Cirrocumulus |

Observations aux

Janvier 1957

Table of meteorological observations for January 1957, including columns for 'Données synoptiques en surface (Code SYNOP)', 'Surface 491 m', '1000 mb', '850 mb', '700 mb', and '500 mb'. Rows are numbered 1 to 31, with a 'Moyan' (Average) row at the bottom.

Janvier 1957

Table of meteorological observations for January 1957, including columns for 'Données synoptiques en surface (Code SYNOP)', 'Surface 491 m', '1000 mb', '850 mb', '700 mb', and '500 mb'. Rows are numbered 1 to 31, with a 'Moyan' (Average) row at the bottom.

niveaux standard

03.00 h

Table with columns for pressure levels (400 mb, 300 mb, 200 mb, 150 mb, 100 mb, Tropopause) and various meteorological parameters (H, t, Hum, dd, ff, p, r). Rows represent different observation stations and times.

15.00 h

Table with columns for pressure levels (400 mb, 300 mb, 200 mb, 150 mb, 100 mb, Tropopause) and various meteorological parameters (H, t, Hum, dd, ff, p, r). Rows represent different observation stations and times.

Février 1957

Observations aux

Table with 24 columns: Jour, Donnees synoptiques en surface (Code SYNOP), Surface 491 m, 1000 mb, 850 mb, 700 mb, 500 mb. Rows include daily data from 1 to 28 and a 'Moyen' (Average) row.

Février 1957

Table with 24 columns: Jour, Donnees synoptiques en surface (Code SYNOP), Surface 491 m, 1000 mb, 850 mb, 700 mb, 500 mb. Rows include daily data from 1 to 28 and a 'Moyen' (Average) row.

niveaux standard

00.00 h

Table with 6 main columns for pressure levels: 400 mb, 300 mb, 200 mb, 150 mb, 100 mb, and Tropopause. Each column contains sub-columns for variables like H, t, Hum, dd, ff. Data rows include station numbers and values.

12.00 h

Table with 6 main columns for pressure levels: 400 mb, 300 mb, 200 mb, 150 mb, 100 mb, and Tropopause. Each column contains sub-columns for variables like H, t, Hum, dd, ff. Data rows include station numbers and values.

Septembre 1957

Table with columns: Jour, Données synoptiques en surface (Code SYNOP), Surface 491 m, 1000 mb, 850 mb, 700 mb, 500 mb. Rows include daily data from 1 to 30, plus a 'Moyan' row at the bottom.

Septembre 1957

Table with columns: Jour, Données synoptiques en surface (Code SYNOP), Surface 491 m, 1000 mb, 850 mb, 700 mb, 500 mb. Rows include daily data from 1 to 30, plus a 'Moyan' row at the bottom.

niveaux standard

00.00 h

Table with columns for pressure levels (400 mb, 300 mb, 200 mb, 150 mb, 100 mb) and Tropopause. Each level includes height (H), temperature (t), humidity (Hum), and other parameters (dd, ff). The Tropopause section includes height (H), pressure (p), and temperature (t).

12.00 h

Table with columns for pressure levels (400 mb, 300 mb, 200 mb, 150 mb, 100 mb) and Tropopause. Each level includes height (H), temperature (t), humidity (Hum), and other parameters (dd, ff). The Tropopause section includes height (H), pressure (p), and temperature (t).

niveaux standard

00.00 h

Table with 6 main columns: 400 mb, 300 mb, 200 mb, 150 mb, 100 mb, Tropopause. Each column contains sub-columns for H, t, Hum, dd, ff. Data rows include station numbers and values for temperature, humidity, and cloud cover.

12.00 h

Table with 6 main columns: 400 mb, 300 mb, 200 mb, 150 mb, 100 mb, Tropopause. Each column contains sub-columns for H, t, Hum, dd, ff. Data rows include station numbers and values for temperature, humidity, and cloud cover.

niveaux standard

00.00 h

Table with columns for pressure levels (400 mb, 300 mb, 200 mb, 150 mb, 100 mb, Tropopause) and various meteorological parameters (H, t, Hum, dd, ff, H, p, t). Rows contain specific data points for each parameter and level.

12.00 h

Observations aux

Août 1957

Septembre 1957

Octobre 1957

Table with 5 columns: 70 mb, 50 mb, 70 mb, 50 mb, 70 mb. Each column has sub-columns for H, t, dd, ff. Rows are numbered 1-31 and a 'Moyen' (Mean) row.

Août 1957

Septembre 1957

Octobre 1957

Table with 5 columns: 70 mb, 50 mb, 70 mb, 50 mb, 70 mb. Each column has sub-columns for H, t, dd, ff. Rows are numbered 1-31 and a 'Moyen' (Mean) row.

Janvier 1957

Table for January 1957 showing Surface de pression standard (mb), Hauteur de la surface de pression standard (en gpm), Température °C, and Humidité relative % for various altitudes and days.

Février 1957

Table for February 1957 showing Surface de pression standard (mb), Hauteur de la surface de pression standard (en gpm), Température °C, and Humidité relative % for various altitudes and days.

Mars 1957

Table for March 1957 showing Surface de pression standard (mb), Hauteur de la surface de pression standard (en gpm), Température °C, and Humidité relative % for various altitudes and days.

Avril 1957

Table for April 1957 showing Surface de pression standard (mb), Hauteur de la surface de pression standard (en gpm), Température °C, and Humidité relative % for various altitudes and days.

mensuelles

Janvier 1957

Table for Janvier 1957 showing wind vector data for pressures 1000, 850, 700, 500, 400, 300, 200, 150, 100, 70, 50 mb.

Février 1957

Table for Février 1957 showing wind vector data for pressures 1000, 850, 700, 500, 400, 300, 200, 150, 100, 70, 50 mb.

Mars 1957

Table for Mars 1957 showing wind vector data for pressures 1000, 850, 700, 500, 400, 300, 200, 150, 100, 70, 50 mb.

Avril 1957

Table for Avril 1957 showing wind vector data for pressures 1000, 850, 700, 500, 400, 300, 200, 150, 100, 70, 50 mb.

Mai 1957

Table for Mai 1957 showing wind vector data for pressures 1000, 850, 700, 500, 400, 300, 200, 150, 100, 70, 50 mb.

Juin 1957

Table for Juin 1957 showing wind vector data for pressures 1000, 850, 700, 500, 400, 300, 200, 150, 100, 70, 50 mb.

Juillet 1957

Table for Juillet 1957 showing wind vector data for pressures 1000, 850, 700, 500, 400, 300, 200, 150, 100, 70, 50 mb.

Août 1957

Table for Août 1957 showing wind vector data for pressures 1000, 850, 700, 500, 400, 300, 200, 150, 100, 70, 50 mb.

Septembre 1957

Table for Septembre 1957 showing wind vector data for pressures 1000, 850, 700, 500, 400, 300, 200, 150, 100, 70, 50 mb.

Octobre 1957

Table for Octobre 1957 showing wind vector data for pressures 1000, 850, 700, 500, 400, 300, 200, 150, 100, 70, 50 mb.

Novembre 1957

Table for Novembre 1957 showing wind vector data for pressures 1000, 850, 700, 500, 400, 300, 200, 150, 100, 70, 50 mb.

Décembre 1957

Table for Décembre 1957 showing wind vector data for pressures 1000, 850, 700, 500, 400, 300, 200, 150, 100, 70, 50 mb.

Moyennes

Mai 1957

Vitesse du vent (ff) m

00.00 h

Surface de pression standard (mb)	Vent ndd, (ff) m 00													C n					
	N n	30° n	60° n	E n	120° n	150° n	S n	210° n	240° n	W n	300° n	330° n							
Surface	—	—	2	10	6	8	1	5	—	—	—	—	—	—	—	—	1	12	19
1000	—	—	—	—	—	—	—	—	—	—	—	—	—	—	—	—	—	—	—
850	2	12	4	7	12	15	2	12	—	—	—	—	—	—	—	—	1	3	—
700	1	11	2	24	6	13	1	15	1	33	1	6	1	5	5	12	8	11	—
500	2	15	1	60	—	—	4	15	1	33	—	—	3	9	4	21	2	28	—
400	4	26	1	36	—	—	1	25	1	17	3	15	1	6	4	20	3	17	—
300	2	44	1	83	—	—	2	19	2	23	1	8	1	5	4	25	5	22	—
200	2	37	1	7	1	14	3	8	1	25	—	—	—	—	4	15	5	20	—
150	2	19	1	10	1	3	3	3	—	—	—	—	—	—	4	10	6	15	—
100	2	9	1	3	—	—	2	6	—	—	—	—	—	—	4	10	6	15	—
70	—	—	—	—	—	—	—	—	—	—	—	—	—	—	—	—	—	—	—
50	—	—	—	—	—	—	—	—	—	—	—	—	—	—	—	—	—	—	—

Juin 1957

Surface de pression standard (mb)	Vent ndd, (ff) m 00													C n					
	N n	30° n	60° n	E n	120° n	150° n	S n	210° n	240° n	W n	300° n	330° n							
Surface	—	—	1	13	—	—	—	—	—	—	—	—	1	12	—	—	2	6	26
1000	—	—	—	—	—	—	—	—	—	—	—	—	—	—	—	—	—	—	—
850	1	5	—	—	5	10	4	6	—	—	1	6	3	8	3	13	8	11	—
700	—	—	1	15	2	9	1	1	4	14	1	8	1	15	4	19	10	17	—
500	1	17	—	—	—	—	1	17	3	26	2	30	2	31	5	26	6	28	—
400	1	15	—	—	1	38	2	29	1	28	2	22	3	35	4	39	7	31	—
300	2	17	1	22	1	15	2	40	1	35	2	38	3	51	4	59	6	43	—
200	2	25	1	17	—	—	2	30	2	55	1	39	1	11	4	47	7	44	—
150	2	15	2	6	—	—	—	—	4	20	—	—	—	—	6	35	8	31	—
100	1	17	—	—	1	17	3	18	3	10	2	9	—	—	5	26	8	20	—
70	—	—	—	—	—	—	—	—	—	—	—	—	—	—	—	—	—	—	—
50	—	—	—	—	—	—	—	—	—	—	—	—	—	—	—	—	—	—	—

Juillet 1957

Surface de pression standard (mb)	Vent ndd, (ff) m 00													C n					
	N n	30° n	60° n	E n	120° n	150° n	S n	210° n	240° n	W n	300° n	330° n							
Surface	—	—	—	—	—	—	—	—	—	—	—	—	4	7	6	7	—	—	21
1000	—	—	—	—	—	—	—	—	—	—	—	—	—	—	—	—	—	—	—
850	—	—	1	8	2	5	—	—	1	6	—	—	—	—	6	7	10	19	—
700	2	6	—	—	2	10	—	—	—	—	—	—	3	16	3	22	12	20	—
500	3	26	1	33	—	—	—	—	—	—	—	—	1	17	3	21	5	24	—
400	3	35	1	33	—	—	—	—	—	—	—	—	—	—	5	27	7	27	—
300	3	43	1	28	—	—	—	—	—	—	1	71	2	17	3	23	9	36	—
200	3	59	1	24	—	—	—	—	—	—	—	—	1	19	4	39	7	39	—
150	1	31	—	—	—	—	—	—	—	—	—	—	—	—	3	45	4	59	—
100	2	14	—	—	1	7	—	—	—	—	—	—	1	28	1	40	7	21	—
70	—	—	—	—	—	—	—	—	—	—	—	—	—	—	—	—	—	—	—
50	—	—	—	—	—	—	—	—	—	—	—	—	—	—	—	—	—	—	—

Août 1957

Surface de pression standard (mb)	Vent ndd, (ff) m 00													C n					
	N n	30° n	60° n	E n	120° n	150° n	S n	210° n	240° n	W n	300° n	330° n							
Surface	—	—	—	—	—	—	—	—	—	—	—	—	3	6	4	9	—	—	24
1000	—	—	—	—	—	—	—	—	—	—	—	—	—	—	—	—	—	—	—
850	1	4	1	6	3	13	1	2	—	—	—	—	—	—	2	12	15	17	—
700	3	10	2	13	—	—	—	—	—	—	—	—	—	—	3	26	14	24	—
500	2	18	1	48	—	—	—	—	—	—	—	—	—	—	1	35	8	35	—
400	3	25	1	48	—	—	—	—	—	—	—	—	—	—	1	45	7	40	—
300	3	36	1	80	—	—	—	—	—	—	—	—	—	—	1	110	4	76	—
200	2	34	1	60	—	—	—	—	—	—	—	—	—	—	2	70	2	73	—
150	2	30	1	38	—	—	—	—	—	—	—	—	—	—	—	—	4	27	—
100	1	17	2	20	—	—	—	—	—	—	—	—	—	—	—	—	4	20	—
70	—	—	2	18	1	6	1	12	1	15	—	—	—	—	—	—	3	7	—
50	2	8	3	8	—	—	1	7	1	11	—	—	—	—	—	—	3	6	—

Moyennes

Septembre 1957

Vitesse du vent (ff) m

00.00 h

Surface de pression standard (mb)	Vent ndd, (ff) m 00													C n				
	N n	30° n	60° n	E n	120° n	150° n	S n	210° n	240° n	W n	300° n	330° n						
Surface	—	—	1	4	—	—	—	—	—	—	—	—	—	—	—	—	—	20
1000	—	—	—	—	—	—	—	—	—	—	—	—	—	—	—	—	—	—
850	1	8	3	6	2	4	—	—	—	—	—	—	—	—	—	—	—	1
700	2	8	1	17	—	—	—	—	—	—	—	—	—	—	—	—	—	—
500	—	—	1	27	—	—	—	—	—	—	—	—	—	—	—	—	—	—
400	—	—	1	44	—	—	—	—	—	—	—	—	—	—	—	—	—	—
300	1	135	1	63	—	—	—	—	—	—	—	—	—	—	—	—	—	—
200	2	24	1	66	—	—	—	—	—	—	—	—	—	—	—	—	—	—
150	—	—	1	56	—	—	—	—	—	—	—	—	—	—	—	—	—	—
100	1	22	—	—	—	—	—	—	—	—	—	—	—	—	—	—	—	—
70	—	—	1	38	—	—	—	—	—	—	—	—	—	—	—	—	—	—
50	—	—	1	30	—	—	—	—	—	—	—	—	—	—	—	—	—	—

Octobre 1957

Surface de pression standard (mb)	Vent ndd, (ff) m 00													C n											
	N n	30° n	60° n	E n	120° n	150° n	S n	210° n	240° n	W n	300° n	330° n													
Surface	—	—	2	7	—	—	—	—	—	—	—	—	—	—	—	—	—	—	27						
1000	—	—	—	—	—	—	—	—	—	—	—	—	—	—	—	—	—	—	—						
850	1	7	2	9	10	12	1	25	—	—	—	—	—	—	—	—	—	—	5						
700	4	9	3	10	3	10	—	—	2	8	—	—	—	—	—	—	—	—	3						
500	4	13	3	35	—	—	1	26	1	9	—	—	—	—	—	—	—	—	—						
400	4	19	2	41	1	33	—	—	1	17	1	15	3	27	1	25	5	50	6	21	3	13	3	53	
300	2	36	3	51	1	50	—	—	1	20	2	10	2	28	—	—	4	54	8	21	2	28	4	24	—
200	3	28	3	50	—	—	1	67	1	28	2	30	1	13	1	38	3	57	8	30	2	39	4	23	—
150	4	19	1	28	1	11	2	41	1	17	1	15	—	—	1	17	4	33	5	19	4	21	4	21	—
100	2	13	1	17	1	7	1	27	1	9	—	—	—	—	—	—	4	25	5	18	10	16	2	15	—
70	1	17	1	11	—	—	1	11	1	10	—	—	—	—	—	—	3	25	6	10	10	14	3	8	—
50	1	5	1	5	—	—	1	7	—	—	—	—	—	—	—	—	4	22	3	10	9	12	3	8	—

Novembre 1957

Surface de pression standard (mb)	Vent ndd, (ff) m 00													C n													
	N n	30° n	60° n	E n	120° n	150° n	S n	210° n	240° n	W n	300° n	330° n															
Surface	—	—	2	8	2	11	—	—	—	—	—	—	—	—	—	—	—	—	—	—	—	—	—	—	—	21	
1000	—	—	—	—	—	—	—	—	—	—	—	—	—	—	—	—	—	—	—	—	—	—	—	—	—	—	—
850	—	—	1	8	7	14	4	9	1	7	2	6	—	—	—	—	—	—	—	—	—	—	—	—	—	—	—
700	1	12	2	18	5	13	2	11	2	8	—	—	2	17	7	23	4	17	—	—	2	3	—	—	—	—	2
500	2	5	2	25	5	29	2	27	—	—	1	15	4	29	6	30	4	30	2	12	1	16	—	—	—	—	
400	1	3	2	22	5	30	2	31	—	—	2	30	3	40	5	33	3	42	3	22	1	8	2	22	—	—	
300	—	—	2	35	5	45	2	44	1	2	—	—	3	38	5	66	5	42	3	25	1	38	2	42	—	—	
200	2	37	2	26	5	47	2	30	—	—	—	—	5	24	5	38	3	45	—	—	3	24	2	32	—	—	
150	5	20	4	25	3	27	2	12	—	—	1	3	2	35	2	67	6	30	1	8	1	12	1	16	1	—	
100	2	30	7	13	1	4	—	—	—	—	—	—	—	—	5	33	6	23	1	7	1	23	4	13	2	—	
70	7	14	3	8	1	5	—	—	—	—	—	—	—	—	1	17	7	20	2	12	1	5	1	10	3	—	
50	8	11	4	9	—	—	—	—	—	—	—	—	—	—	—	—	6	17	3	10	—	—	1	11	3	—	

Décembre 1957

Surface de pression standard (mb)	Vent ndd, (ff) m 00													C n													
	N n	30° n	60° n	E n	120° n	150° n	S n	210° n	240° n	W n	300° n	330° n															
Surface	—	—	2	10	3	6	—	—	—	—	—	—	—	—	—	—	—	—	—	—	—	—	—	—	—	—	19
1000	—	—	—	—	—	—	—	—	—	—	—	—	—	—	—	—	—	—	—	—	—	—	—	—	—	—	—
850	—	—	—	—	8	18	2	12	—	—	1	9	—	—	4	20	5	21	4	17	—	—	—	—	—	—	6
700	—	—	5	16	5	19	3	9	1	6	—	—	2	17	2	24	4	34	2	30	3	24	1	7	2	—	
500	—	—	4	32	5	21	3	16	1	5	1	12	2	34	3	41	2	47	4	36	—	—	—	—	4	28	1
400	1	57	5	34	8	26	1	12	—	—	1	4	2	44	2	23	5	38	2	66	—	—	—	3	27	—	—
300	4	35	1	66	9	32	1	38	1	4	—	—	2	60	4	28	2	69	2	57	1	22	3	26	—	—	
200	1	28	6	57	7	26	2	19	—	—	—	—	—	—	2	47	5	48	2	45	3	28	1	25	—	—	
150	4	20	8	22	2	11	—	—	—	—	—	—	—	—	3	47	4	35	3	23	3	28	1	17	—	—	
100	4	15	5	26	—	—	—	—	—	—	—	—	—	—	—	—	2	33	9	27	5	21	1	11	1	—	
70	3	16	5	16	1	14	—	—	—	—	—	—	—	—	1	55	1	43	9	27	5	20	1	15	—	—	
50	3	12	3	8	1	17	—	—	—	—	—	—	—	—	—	—	5	38	6	29	3	22	3	11	—	—	

mensuelles

Vitesse du vent (ff) m

Septembre 1957

12.00 h

Table for September 1957 showing wind speed data by direction and pressure level. Columns include N, 30°, 60°, E, 120°, 150°, S, 210°, 240°, W, 300°, 330°, and C. Rows list pressure levels from Surface down to 50 mb.

Octobre 1957

Table for October 1957 showing wind speed data by direction and pressure level. Columns include N, 30°, 60°, E, 120°, 150°, S, 210°, 240°, W, 300°, 330°, and C. Rows list pressure levels from Surface down to 50 mb.

Novembre 1957

Table for November 1957 showing wind speed data by direction and pressure level. Columns include N, 30°, 60°, E, 120°, 150°, S, 210°, 240°, W, 300°, 330°, and C. Rows list pressure levels from Surface down to 50 mb.

Décembre 1957

Table for December 1957 showing wind speed data by direction and pressure level. Columns include N, 30°, 60°, E, 120°, 150°, S, 210°, 240°, W, 300°, 330°, and C. Rows list pressure levels from Surface down to 50 mb.

Wetterlagen und Fronten im Jahr 1957

1. Wetterlage im Alpengebiet

Strömung (Anströmrichtung) Jan.-März nachmittags 15.00 h, ab April 12.00 h im 1000-mb- und 500-mb-Niveau im Umkreis von 2 Breitengraden, d. h. in einem Gebiet von etwa 225 km Durchmesser um den Zentralpunkt 46° 30' n. B. 9° ö. L. im Rheinwaldgebiet, sowie Luftdruckunterschied Nordseite — Südseite der Alpen zwischen den Punkten 47° 30' und 45° 30' n. B. auf dem 9. östl. Längengrad

D Druckgefälle in der Bodenkarte	0	1	2	3	4	5	6	7	8	9	x
	Hoch	NW→SE	N→S	NE→SW	E→W	SE→NW	S→N	SW→NE	W→E	Tief	flach
	< 5 mb (bzw. < 3.3 mb)	Druckgradient innerhalb des 2°-Umkreises mindestens 5 mb (bei einheitlicher Strömung innerhalb des 6°-Umkreises mindestens 3.3 mb)									< 5 mb (bzw. < 3.3 mb)
d Strömungsrichtung im 500-mb-Niveau (etwa 5500 m)	antizyklonal (Hoch)	NE	E	SE	S	SW	W	NW	N	zyklonal (Tief)	unbestimmt
	$\frac{1}{2}$ 15 kts (bzw. $\frac{1}{2}$ 10 kts)	Windgeschwindigkeit mehr als 15 Knoten (kts), (bei einheitlicher Strömungsrichtung innerhalb des 6°-Umkreises mehr als 10 Knoten)									\leq 15 kts (bzw. \leq 10 kts)
f Windgeschwindigkeit im 500-mb-Niveau	0—9	10—19	20—29	30—39	40—49	50—59	60—69	70—79	80—89	\geq 90	
	Knoten (1 Knoten = 1.85 km/Std.)										
g Luftdruckunterschied Nordseite — Südseite der Alpen		1	2	3	4	5	6	7	8	9	
		-10.5	-7.5	-4.5	-1.5	1.5	4.5	7.5	10.5		
		tieferer Druck auf der Alpennordseite (Föhn)			Millibar ausgeglichene Druckverteilung			höherer Druck auf der Alpennordseite (Stau)			

rr Relative Topographie 1000—500 mb in geopotentiellen Dekametern — 500 (große bzw. kleine Werte der relat. Topographie entsprechen hoher bzw. tiefer Mitteltemperatur der Schicht zwischen Meeresniveau und etwa 5500 m. 1 Dekameter Änderung von rr entspricht etwa $\frac{1}{2}$ ° C Temperaturänderung)

In der Zeile «Mittel» sind links die Mittelwerte der Windgeschwindigkeit f in Knoten, rechts die Mittelwerte der relativen Topographie in Dekametern — 500 angegeben

2. Frontdurchgänge auf der Alpennordseite (im Gebiet von Zürich)

A Art der Front	W = Warmfront K = Kaltfront w = Warmfrontokklusion k = Kaltfrontokklusion o = Okklusion	ein zugesetzter Index h bedeutet Höhenfront
I Intensität der Front	0 = schwach 1 = mäßig 2 = stark	
Z Zeit des Frontdurchgangs	sv = am vorangehenden Abend 17.30 h — 21.30 h nv = in der vorangehenden Nacht 21.30 h — 03.30 h f = frühmorgens 03.30 h — 07.30 h a = vormittags 07.30 h — 11.30 h m = mittags 11.30 h — 13.30 h p = nachmittags 13.30 h — 17.30 h s = abends 17.30 h — 21.30 h n = in der nachfolgenden Nacht 21.30 h — 03.30 h fn = am nachfolgenden frühen Morgen 03.30 h — 07.30 h	Durch das Zeichen ∞ werden unsichere Angaben gekennzeichnet
L _v Luftmassen vor Frontdurchgang	A = Arktische Polarluft P = Polarluft p = gealterte Polarluft t = gemäßigte Tropikluft T = Tropikluft m = maritime Luftmasse c = kontinentale Luftmasse	Bezeichnung nach Scherhag P _a P P _t T _p T
L _n Luftmassen nach Frontdurchgang		

Errata 1956

- Seite 7 / 1 1. Wetterlage im Alpengebiet Zentralpunkt 46° 30' n. B.
 Seite 7 / 2 22. Mai Fronten L_n: mT (statt mp)
 Seite 7 / 3 1. September Fronten L_v: mt (statt mT)
 3. September Fronten L_n: mT (statt mP)
 5.—18. Oktober allmählicher Übergang mP → mp

Relative Feuchtigkeit, Wasserdampfgehalt und Wärmeinhalt der Luft an warmen Tagen in Zürich

von H. Uttinger

Mit dieser Arbeit wollen wir versuchen, einmal das Problem abzuklären, wie mit einem angemessenen Arbeitsaufwand ein gutes Grundlagenmaterial für die Projektierung von Klimaanlage bereitgestellt werden kann. Dabei beschränken wir uns auf die Frage nach der notwendigen Leistungsfähigkeit einer solchen Anlage nach der kühltechnischen Seite hin. Die immer wieder von der Meteorologischen Zentralanstalt verlangten Auskünfte gehen in ihrer überwiegenden Zahl in dieser Richtung. Seltener wird nach Grundlagen für eine Betriebskostenberechnung gefragt. Diese würden eine Gesamtbearbeitung des Temperatur-Feuchtigkeitsproblems erfordern, wovon wir im gegenwärtigen Zeitpunkt aus verschiedenen, hier nicht zu erörternden Gründen noch absehen müssen.

Die Grundlage unserer Untersuchungen bilden Temperatur und relative Feuchtigkeit der Luft um 13.30 h für alle Tage, an denen im Zeitraum 1891—1950 in Zürich die Temperatur am genannten Beobachtungstermin mindestens 20° betrug. Die Messungen erfolgten durchwegs in einer offenen Wildschen Hütte. Der Standort war für die Temperatur während der ganzen Periode beim Eidgenössischen Physikgebäude an der Gloriosastraße 35 auf 475 m ü. M. Für die relative Feuchtigkeit mußten von Mitte August 1949 an die Messungen am neuen Platz der MZA an der Krähbühlstraße (556 m ü. M.) verwendet werden, ein kleiner Schönheitsfehler, der aber verantwortet werden kann. Bis 1906 stammen die Feuchtigkeitswerte von Auswertungen eines Standpsychrometers, später von Haarhygrometern nach Koppe (etwa bis 1930) und Lambrecht.

Beide Beobachtungsmethoden haben ihre Mängel, sie sind allgemein bekannt, weshalb wir nicht näher auf sie eingehen wollen. Festgehalten sei hier nur das: Beim Psychrometer besteht eine einseitige Fehlertendenz nach oben, da jede ungenügende Befeuchtung oder Belüftung eine zu kleine psychrometrische Differenz bewirkt. Bei den Hygrometern kommen Fehler in beiden Richtungen vor. Es liegt in der Natur der Fehlerquellen, daß die Abweichungen vom wahren Wert in größeren Gruppen mit der gleichen Tendenz auftreten.

Man kann ihren fälschenden Einfluß auf das Resultat einer Untersuchung nur dadurch zurückdämmen, daß man diese über einen möglichst langen Zeitraum erstreckt. Eine kritische Sichtung der Beobachtungen mit allfälliger Korrektur unwahrscheinlicher Werte ist objektiv kaum möglich. Wir haben daher in unsere Grundagentabellen alle Beobachtungswerte so eingesetzt, wie

sie in den Annalen der MZA veröffentlicht sind. Rückschauend müssen wir an unserem Material die zunächst deprimierende Feststellung machen, daß gerade die uns interessierenden Spitzenwerte, also die Fälle mit den größten Wärmegehalten, sich als ziemlich zweifelhaft entpuppen, sie dürften größtenteils zu hoch sein. Vom praktischen Standpunkt aus können wir uns aber damit trösten, daß wohl selten eine Klimaanlage nach vereinzelt vorkommenden Extremwerten geplant werden muß. Wo es auf die Einhaltung bestimmter Bedingungen um jeden Preis ankommt, wird ohnehin ein Sicherheitszuschlag nötig sein, denn es gibt wie andernorts auch in der Meteorologie keinen Höchstwert, der nicht irgendwann einmal überschritten werden könnte.

Es stellte sich zunächst die Frage nach der Aufteilung des Materials. Daß die Auszählung nach Monaten zu trennen war, stand aus klimatologischen Gründen außer Frage. Für die Temperatur wurde eine Unterteilung in Stufen von 1° Umfang gewählt, ihre Abgrenzungen wurden in Anlehnung an die Definitionen für Sommer- und Tropentage wie folgt festgesetzt: 20—20.9°, 21—21.9° usw. Für die relative Feuchtigkeit wäre im Hinblick auf die Meßgenauigkeit eine Zusammenfassung mehrerer Prozente zu einer Zählfklasse zu verantworten gewesen. Da aber später für die Tabellen des Wasserdampfgehaltes und des Wärmeinhaltes ebenfalls Zusammenfassungen mit wechselnden Abgrenzungen notwendig wurden und weil wir auch die Kontrolle über das Material nicht verlieren wollten, behandelten wir jeden Prozentwert als eigene Zählfklasse.

Bevor wir die statistische Bearbeitung des Materials weiterverfolgen, mögen hier zuerst die auftretenden Zustandsgrößen feuchter Luft und ihre gegenseitigen Beziehungen rekapituliert werden. Wir verwenden folgende Bezeichnungen und Konstanten [1, 2, 3, 4]:

- p = Luftdruck in mm Hg
- t = Lufttemperatur in °C
- e = Dampfdruck in mm Hg
- E = Dampfdruck wasserdampfgesättigter Luft
- φ = Sättigungsverhältnis $\frac{e}{E}$
- U = Relative Feuchtigkeit = 100φ
- m = Mischungsverhältnis = Wasserdampfgehalt in g, bezogen auf 1 g trockener Luft (vgl. Bemerkungen im folgenden Abschnitt)
- M = Mischungsverhältnis wasserdampfgesättigter Luft
- ψ = Sättigungsgrad $\frac{m}{M}$

- h = Enthalpie = Wärmeinhalt über 0° in cal, bezogen auf 1 g trockener Luft
- ε = Dichte des Wasserdampfes (trockene Luft = 1) = 0.62197
- c_p = Spezifische Wärme trockener Luft = 0.240 cal/g grad
- c_d = Spezifische Wärme des Wasserdampfes = 0.441 cal/g grad
- r₀ = Verdampfungswärme des Wassers bei 0° = 597.3 cal/g

Obige Definitionen beziehen sich in erster Linie auf die in die Beziehungsgleichungen einzusetzenden Werte. In tabellarischen Zusammenstellungen wird — und wir befolgen diese Regel ebenfalls — das Mischungsverhältnis gewöhnlich als Wasserdampfgehalt in g pro kg trockener Luft, also als 1000 m wiedergegeben. Da andererseits in der Technik als Wärmeeinheit die Kilogrammkalorie (Cal) verwendet wird, bleiben beim Übergang in ihr Maßsystem die Zahlenwerte für die Enthalpie in Cal/kg und die Konstanten c_p, c_d und r₀ unverändert.

Ein besonderer Hinweis scheint uns auf den Unterschied zwischen Sättigungsverhältnis (φ) und Sättigungsgrad (ψ) [4] nötig. In [1] und [2] wird nämlich entgegen der traditionellen Gepflogenheit die relative Feuchtigkeit U = 100 ψ definiert, wobei jedoch in [2] (S. 348) bereits auf einen Beschluß des International Joint Committee on Psychrometric Data (1950) hingewiesen wird, der den ursprünglichen Begriff wieder herstellt. Diesem Beschluß entsprechen schließlich auch die Vorschriften in [3].

Die entscheidenden Beziehungsgleichungen lauten bekanntlich

$$1) m = \frac{\epsilon e}{p - e} = \frac{0.62197 e}{p - e}$$

$$2) h = c_p t + m (r_0 + c_d t) = 0.240 t + m (597.3 + 0.441 t)$$

Von je einer Korrektur für (1) und (2), die in [2] begründet werden (S. 334 und 340), können wir ohne Schaden absehen. Beide Gleichungen können so umgeformt werden, daß sowohl Mischungsverhältnis als auch Wärmeinhalt als Funktionen von Luftdruck, Temperatur und relativer Feuchtigkeit erscheinen:

$$3) m = \frac{0.62197 E \varphi}{p - E \varphi}$$

$$4) h = 0.240 t + (597.3 + 0.441 t) \frac{0.62197 E \varphi}{p - E \varphi}$$

Da E selber eine Funktion von t ist, ist die vorstehende Forderung erfüllt.

Für die Ermittlung von m und h aus den genannten Ausgangsgrößen bestehen verschiedene Diagramme, von denen das I-x-Diagramm von *Mollier* [4, 5] das verbreitetste sein dürfte (I ist dort der Wärmeinhalt, x das Mischungsverhältnis). Es versieht namentlich gute Dienste im Tiefland, wo mit Luftdrücken um 760 mm gerechnet werden kann. Für unsere schweizerischen Verhältnisse mit ihren höheren Lagen ist es weniger bequem, was *M. Hottinger* [6] zur Ausarbeitung neuer Diagramme veranlaßt hat, getrennt für Wasserdampfgehalt und Wärmeinhalt und für folgende Höhen bzw. mittlere Luftdrucke:

Höhe über Meer	0	500	1000	2000 m
Luftdruck	760	716	674	598 mm

Alle diese Diagramme sind vielseitig verwendbar für die Umrechnung der verschiedenen Zustandsgrößen feuchter Luft, selbst als Psychrometertafeln sind sie zu gebrauchen. Für unsere Zwecke suchten wir aber nach einem Diagramm, in das wir die Häufigkeit des Auftretens jeder der beobachteten Temperatur-Feuchtigkeitsstufen direkt eintragen konnten, um dann durch geeignete Zusammenfassungen für Wasserdampfgehalt und Wärmeinhalt Häufigkeitstabellen erstellen zu können. Das Ganze sollte äußerlich die Form eines Tabellenformulars erhalten, durch welches die Kurven gleicher m- und h-Werte zu legen waren.

Wir haben ein solches Diagramm für einen mittleren Luftdruck von 720 mm entworfen, es ist in der Größe eines Arbeitsblattes dieser Arbeit beigegeben. Der Luftdruck von 720 mm entspricht einer Höhe von 480 m über Meer, das Diagramm kann aber ohne Bedenken für einen Höhenbereich von 350—600 m benützt werden, also praktisch im größten Teil des schweizerischen Mittellandes. Wir möchten hier seinen Aufbau noch im wesentlichen besprechen.

Die Berechnung der Kurven für Mischungsverhältnis und Enthalpie wäre in einem rechtwinkligen Koordinatensystem mit Temperatur und relativer Feuchtigkeit als Koordinaten recht langwierig gewesen. Die Arbeit wird wesentlich erleichtert, wenn man die relative Feuchtigkeit durch den Sättigungsgrad ψ ersetzt. Den Unterschied zwischen φ und ψ kann man nachträglich in Form einer Korrektur der Abszissen berücksichtigen. Die entstehende Tabelle ist dann zwar nicht mehr genau rechtwinklig, was aber nicht weiter auffällt.

Wir benötigen zunächst eine Tabelle der Sättigungswerte für den Wasserdampfgehalt (M) bei 720 mm Luftdruck, die wir hier für einen größeren als für das Diagramm benötigten Temperaturumfang wiedergeben.

t	1000 M	t	1000 M	t	1000 M	t	1000 M
0°	3.98 g	10°	8.06 g	20°	15.53 g	30°	28.77 g
1°	4.28 g	11°	8.62 g	21°	16.55 g	31°	30.55 g
2°	4.60 g	12°	9.22 g	22°	17.62 g	32°	32.42 g
3°	4.94 g	13°	9.85 g	23°	18.75 g	33°	34.40 g
4°	5.31 g	14°	10.53 g	24°	19.95 g	34°	36.50 g
5°	5.70 g	15°	11.25 g	25°	21.23 g	35°	38.71 g
6°	6.12 g	16°	12.01 g	26°	22.58 g	36°	41.05 g
7°	6.56 g	17°	12.81 g	27°	24.00 g	37°	43.52 g
8°	7.03 g	18°	13.67 g	28°	25.50 g	38°	46.13 g
9°	7.53 g	19°	14.57 g	29°	27.09 g	39°	48.88 g
						40°	51.79 g

Als Grundlage unserer Berechnungen dienten uns die in [7] veröffentlichten E-Werte.

Die Schnittpunkte der Kurven gleichen Wasserdampfgehaltes mit den wagrechten Temperaturlinien ergeben sich direkt aus der Definitionsgleichung für ψ. In ähnlicher Weise finden wir die Schnittpunkte für die Enthalpiekurven: Wir ersetzen in (2) m durch Mψ und lösen nach ψ auf:

$$5) \psi = \frac{h - 0.240 t}{(597.3 + 0.441 t) M}$$

Auch in dieser Gleichung ist der Nenner bei gleichbleibender Temperatur konstant. Wenn wir also die

Kurven für die ganzzahligen Werte von 1000 m und h zeichnen, so schneiden sie die Temperaturlinien in äquidistanten Abständen. Auf dem Diagramm sind die m-Kurven gestrichelt gezeichnet und innerhalb der Tabellenumrahmung mit aufrecht stehenden Ziffern beschriftet, die h-Kurven sind ausgezogen und außen mit schräggestellten Ziffern angeschrieben.

Es bleibt nun noch, wie bereits erwähnt, ψ durch φ zu ersetzen. Aus

$$M = \frac{\varepsilon E}{p - E} \quad \text{und} \quad m = \frac{\varepsilon E \varphi}{p - E \varphi}$$

ergibt sich

$$\psi = \frac{m}{M} = \frac{\varphi (p - E)}{p - E \varphi}$$

und daraus

$$6) \quad \varphi - \psi = \frac{\varphi (1 - \varphi) E}{p - E \varphi}$$

Die Differenz ist somit eine Funktion von φ und, da $E = f(t)$, von t . Es ist leicht zu sehen, daß sie mit steigender Temperatur wächst und bezüglich der relativen Feuchtigkeit wegen des Produktes $\varphi(1-\varphi)$ in der Nähe von $U = 50\%$ ein Maximum hat. Die genauere Überprüfung zeigt, daß es in unserem Temperaturbereich auf $U = 50$ oder 51% fällt.

Setzen wir in (6) $\varphi = 0.5$ ein und berechnen $\varphi - \psi$ für verschiedene Temperaturen, so erhalten wir beispielsweise

t	= 18	22	26	30	34	38 ° C
100 ($\varphi - \psi$)	= 0.54	0.70	0.89	1.13	1.43	1.79 %

Die Differenz schreitet demnach in Bezug auf die Temperatur nicht linear fort, doch ist die Krümmung selbst bei der hier gezeigten Maximalabweichung so schwach, daß sie in der Zeichnung kaum zum Ausdruck kommt. Wir durften daher in der Weise verfahren, daß wir $\varphi - \psi$ nur für den oberen und den unteren Rand des Diagramms, also für $t = 38^\circ$ und 18° für jeden Prozent relativer Feuchtigkeit berechneten und dazwischen linear verlaufen ließen. Da $\varphi > \psi$, waren die neuen, nunmehr leicht nach links geneigten Feuchtigkeitslinien zugleich nach links zu verschieben, jedoch mit dem ursprünglichen Zahlenwert zu beschriften. Außerdem haben wir, um dem Diagramm den gewünschten Tabellencharakter zu verleihen, nicht die nominalen Prozentwerte, sondern die Grenzlinien eingezeichnet, also die relativen Feuchtigkeiten 10.5, 11.5 ... 90.5 % graphisch dargestellt. Jedes der so entstandenen rechteckähnlichen Felder umfaßt also den Luftzustand von der Temperatur t bis $t + 0.9^\circ$ und der relativen Feuchtigkeit U . Auf je einer Randleiste über und unter dem Diagramm sind die Abszissen von 100 ψ aufgetragen.

In die erwähnten Felder sind nun die Häufigkeitszahlen für die entsprechenden Luftzustände eingetragen worden, und zwar sowohl für das gesamte Material als auch für verschiedene, besonders interessierende Teile hiervon. Die Umgruppierung zu t-m- und t-h-Statistiken war jetzt nicht mehr schwer. Die Zahl der Fälle in den durch die entsprechenden Kurven durchschnittenen Feldern wurde proportional auf die benachbarten m- bzw. h-Stufen verteilt. Dieses Verfahren ist viel rationeller als die Umrechnung der einzelnen Beobachtungen. Wohl mag dadurch eine größere Anzahl Fälle der unrichti-

gen Wasserdampfgehalts- oder Enthalpiestufe zugeteilt worden sein, denn die Dezimalen der Temperaturwerte waren ja aus den Zählbogen nicht mehr ersichtlich. Es darf aber doch angenommen werden, daß angesichts des großen Materials ein guter Ausgleich zustande gekommen ist. Die eigentlichen Spitzenwerte, alle Fälle mit $t \geq 34^\circ$ oder $h \geq 16$ cal/g sind jedoch nach ihren genauen Temperaturen im Diagramm markiert und damit in die richtigen m- und h-Stufen gesetzt worden. Wir haben sie hier in einer chronologisch angelegten Tabelle zusammengestellt.

Jahr	Tag	t	U	1000 m	h
1894	8. August	28.7	59	15.2	16.2
1898	19. August	31.0	47	14.0	16.0
	20. August	31.0	50	14.3	16.4
1899	22. Juli	30.5	50	14.4	16.1
1900	16. Juli	30.6	52	15.0	16.5
	17. Juli	30.4	54	15.4	16.6
	19. Juli	29.4	56	15.1	16.3
1902	7. Juli	29.3	57	15.4	16.4
1904	18. Juli	32.6	42	13.7	16.1
1905	2. Juli	30.4	53	15.3	16.6
	3. Juli	33.8	43	15.0	17.2
	4. Juli	34.0	45	15.9	17.9
1906	1. August	30.3	53	15.0	16.4
1911	24. Juli	34.6	29	10.5	14.7
1918	16. Juli	30.7	50	14.5	16.2
	17. Juli	33.3	52	17.6	18.7
	20. Juli	30.6	54	15.6	16.8
1921	28. Juli	34.5	23	8.2	13.3
1925	9. August	31.2	52	15.6	17.0
1928	27. Juli	35.0	18	6.6	12.4
1930	28. August	28.8	58	15.1	16.1
1933	20. August	31.8	45	14.0	16.1
1943	19. August	35.0	28	10.3	14.7
	21. August	34.3	27	9.5	14.0
1945	22. Juli	34.2	26	9.1	13.8
1947	26. Juni	34.7	26	9.8	14.3
	27. Juni	34.9	24	8.9	13.7
	27. Juli	34.2	30	10.6	14.7
	28. Juli	34.2	27	9.5	14.0
	29. Juli	36.8	21	8.6	14.0
	30. Juli	35.9	25	9.8	14.5
	31. Juli	34.3	35	12.5	15.9
	4. August	35.0	36	13.3	16.6
1949	13. Juli	34.9	22	8.1	13.3
1950	30. Juni	34.2	30	10.6	14.7
	1. Juli	30.5	51	14.7	16.3

Wie man schon bei oberflächlicher Betrachtung der Tabelle erkennen kann, konzentrieren sich die Fälle mit den höchsten Enthalpien in ihrem oberen Teil, während wir die höchsten Temperaturen vorwiegend in ihrer unteren Hälfte finden. An der sachlichen Richtigkeit der letzteren Feststellung zu zweifeln besteht kein Grund, wogegen wir zu der Häufung der hohen Enthalpiewerte im Abschnitt vor 1920 ein Fragezeichen setzen möchten (vgl. Seite 1).

Trotz diesem Vorbehalt dürfen wir als Tatsache festhalten: Die höchsten Wärmeinhalte fallen nicht in die Tage mit den höchsten Temperaturen. Wir finden dies in all den Tabellenübersichten bestätigt, mit denen wir uns in den nächsten Abschnitten beschäftigen wollen.

Das Hauptergebnis unserer Bearbeitung stellen die Häufigkeitstabellen am Schluß dieses Aufsatzes dar, wo wir, geordnet nach der Temperatur, die Zahl der Tage mit den verschiedenen Zustandsgrößen feuchter Luft um

13.30 h ausgeschieden haben. Für die relative Feuchtigkeit haben wir Klassen von 5 % Umfang gebildet, für den Wasserdampfgehalt und den Wärmeinhalt solche vom Umfang der Maßeinheit. Beschriftet sind die Grenzen der einzelnen Kolonnen und Zeilen. Die Grenzwerte selbst sind bei der Temperatur der höheren, bei der relativen Feuchtigkeit der niedrigeren Klasse zugeteilt. Die Klassenmitte im Temperaturbereich 25—26° liegt also beispielsweise bei 25.45°, jene im Feuchtigkeitsbereich 40—45 % bei 43 %. Beim Wasserdampfgehalt und beim Wärmeinhalt, wo die Zuteilung der Grenzwerte nach einem Wahrscheinlichkeitsverfahren (siehe oben) erfolgte, nimmt man als Klassenmitte am besten das arithmetische Mittel aus den beiden Grenzwerten an, also jeweils einen Wert mit der Dezimale 5.

Vom gesamten, sich über 60 Jahre erstreckenden Material haben wir Tabellen für jeden der in Frage kommenden Monate (März bis November) erstellt, ferner Zusammenfassungen für die eigentlichen Sommermonate (Juni, Juli, August) und das ganze Jahr. Schließlich haben wir noch das Material von 10 ausgewählten Jahren in einer besonderen Tabellengruppe vereinigt: es sind die Jahre mit den sechs «wärmsten» und die Jahre mit den vier «schwülsten» Sommern. Alle Häufigkeitszahlen beziehen sich auf die gesamte Dauer, über welche sich die Tabelle erstreckt, also auf 60 bzw. 10 Jahre, es handelt sich also nicht um Mittelwerte, sondern um Summen.

Die Auswahl der «wärmsten» Sommer erfolgte nach einer objektiven, dem Zweck der Statistik angepaßten Methode. Von jedem Jahr wurde die Zahl der Tage ermittelt, an denen die Temperatur um 13.30 h $\geq 20^\circ$, $\geq 25^\circ$ und $\geq 30^\circ$ war. Diese Häufigkeitszahlen wurden addiert. Wir erhielten so für jedes Jahr eine Indexzahl, in welche die Häufigkeit der Temperaturen von 20—24° mit einfachem, diejenige von 25—29° mit doppeltem und jene von $\geq 30^\circ$ mit dreifachem Gewicht einging. Da das Ergebnis von allgemeinerem Interesse sein dürfte, führen wir in der Tabelle rechts oben alle 60 Jahre an. Die sechs höchsten Indexwerte sind fett gedruckt, die sechs niedrigsten kursiv.

Es ist bemerkenswert, daß von den sechs «wärmsten» Sommern nicht weniger als vier in die Jahre 1945 bis 1950 fallen und daß der warme Sommer 1911 inmitten eines Schwarmes ausgesprochen kühler Sommer liegt.

Die Auswahl der «schwülsten» Sommer geschah mehr zufällig. Es ging uns darum, möglichst viele Tage mit hohem Wärmeinhalt zu erfassen. Wir haben daher die vier Jahre genommen, in denen gemäß der Zusammenstellung auf Seite 3 mehr als ein Enthalpiewert von wenigstens 16 cal/g auftrat.

Von einer eingehenden und umfassenden mathematisch-statistischen Auswertung der Häufigkeitstabellen möchten wir hier absehen, schon weil wir es ja nicht mit einer Gesamtbearbeitung des Temperatur-Feuchtigkeitsproblems zu tun haben. Alle Tabellen, abgesehen von denen der beiden Randmonate März und November, erwecken den Eindruck von Segmenten von Häufigkeitsellipsen mit mehr oder weniger ausgeprägtem glockenförmigem Verlauf der Frequenzen in den einzelnen Kolonnen und Zeilen, wobei die zufälligen Abweichungen

Jahr	Tage mit Temperatur um 13.30 h			Index	Jahr	Tage mit Temperatur um 13.30 h			Index
	$\geq 20^\circ$	$\geq 25^\circ$	$\geq 30^\circ$			$\geq 20^\circ$	$\geq 25^\circ$	$\geq 30^\circ$	
1891	68	9	1	78	1921	115	48	12	175
1892	90	32	5	127	1922	85	34	4	123
1893	98	25	2	125	1923	89	42	9	140
1894	76	22	1	99	1924	66	28	2	96
1895	98	37	4	139	1925	82	27	4	113
1896	71	12	—	83	1926	92	29	—	121
1897	91	27	1	119	1927	86	26	3	115
1898	83	35	8	126	1928	87	53	12	152
1899	85	35	6	126	1929	104	53	10	167
1900	95	28	6	129	1930	91	35	1	127
1901	91	34	2	127	1931	76	40	5	121
1902	66	30	2	98	1932	93	41	7	141
1903	79	28	2	109	1933	93	31	9	133
1904	98	50	9	157	1934	108	39	2	149
1905	88	39	5	132	1935	91	38	7	136
1906	95	41	7	143	1936	77	26	1	104
1907	84	31	—	115	1937	91	40	5	136
1908	87	39	3	129	1938	89	35	1	125
1909	75	21	—	96	1939	77	25	—	102
1910	68	20	1	89	1940	84	21	—	105
1911	108	68	21	197	1941	68	29	3	100
1912	66	19	1	86	1942	105	39	2	146
1913	69	20	—	89	1943	107	43	11	161
1914	81	29	—	110	1944	89	35	6	130
1915	86	25	—	111	1945	120	57	10	187
1916	76	16	—	92	1946	103	26	10	139
1917	117	36	1	154	1947	133	74	31	238
1918	78	24	5	107	1948	88	28	3	119
1919	96	42	9	147	1949	126	62	17	205
1920	85	26	2	113	1950	112	59	10	181

von der Normalverteilung allerdings ziemlich groß werden können. Die großen Achsen der Ellipsen sind bei der relativen Feuchtigkeit und beim Wärmeinhalt deutlich geneigt, im ersteren Fall erwartungsgemäß im Sinne der Abnahme mit steigender Temperatur, bei der Enthalpie im Sinne einer Zunahme. Beim Wasserdampfgehalt ist die Neigung wesentlich schwächer und zeigt eine Tendenz in der Richtung einer Zunahme mit der Temperatur. Der Wasserdampfgehalt — wir könnten an seine Stelle auch den Dampfdruck setzen — ist demnach die von der Temperatur am wenigsten abhängige Größe, die erkennbare kleine Korrelation dürfte allein darauf zurückzuführen sein, daß für dieses Element eine von der Temperatur abhängige obere Grenze besteht.

Um über die Beziehungen zwischen der Temperatur und den in den Tabellen dargestellten Größen zahlenmäßig etwas aussagen zu können, haben wir für eine Tabellengruppe die statistischen Charakteristiken berechnet. Wir wählten als Beispiel die Kombination Juni + Juli + August, um ein möglichst umfangreiches und zugleich doch einigermaßen homogenes Material als Grundlage zu haben.

Es ergeben sich folgende Regressionsformeln und Korrelationskoeffizienten:

- 7) $t, U: U' = 54.0 - 1.69 (t - 20^\circ)$ Kk. = -0.51
- 8) $t, m: 1000 m' = 8.47 + 0.18 (t - 20^\circ)$ 0.30
- 9) $t, h: h' = 9.92 + 0.36 (t - 20^\circ)$ 0.70

Wenn man sich vor Augen hält, daß das Quadrat des Korrelationskoeffizienten als Maß für die Verbundenheit zweier Reihen zu betrachten ist, erkennt man, daß diese zwischen Temperatur und Wasserdampfgehalt eine sehr lose ist. Damit steht im Einklang, daß zwischen Temperatur und Wärmeinhalt das Bestimmtheitsmaß rund 0.5 beträgt. Man kann dies etwa so formulieren: Der Wärmeinhalt wird zu einem Teil durch die Temperatur und zum andern durch den Wasserdampfgehalt bestimmt, wobei zu beiden Komponenten eine nahezu lineare Beziehung besteht (2). (Der Summand 0.441 t m ist zahlenmäßig sehr klein.) Wäre der Wasserdampfgehalt durch die Temperatur wesentlich beeinflusst, so müßte die Verbundenheit zwischen Temperatur und Wärmeinhalt höher sein.

Weniger leicht ist der Korrelationskoeffizient zwischen Temperatur und relativer Feuchtigkeit in den allgemeinen Zusammenhang zu stellen. Die Beziehungsgleichung, aus (3) durch Auflösung nach φ hergeleitet, lautet

$$10) \varphi = \frac{mp}{(m + e) E}$$

E ist bekanntlich eine komplizierte Exponentialfunktion von t [1] und erscheint erst noch im Nenner. Da nun aber die Korrelationskoeffizienten nur für lineare Beziehungen definiert sind, dürfte sich der Kk. (t,U) schwerlich aus dem Kk. (t,m) erklären lassen.

Um zu prüfen, wie weit die Regessionsformeln (7, 8, 9) reell sind, haben wir für jede Temperaturzeile die Mittelwerte von U, m und h berechnet. In Fig. 1 sind die Ergebnisse den Regessionslinien gegenübergestellt. Man erkennt, daß von t = 20.45 bis t = 30.45 die Übereinstimmung recht gut ist, vor allem bei U und h. Bei den höheren Temperaturen liegen die Zeilenmittel dagegen wesentlich tiefer als die berechneten Werte und verlaufen wegen der geringeren Zahl der Einzelfälle recht unregelmäßig.

Die mittlere quadratische Abweichung der Einzelwerte von der Regessionslinie, die wir mit σ_d bezeichnen wollen, errechnet sich nach der Formel

$$11) \sigma_d^2 = \sigma_y^2 - b\sigma_{xy}$$

(x und y sind die in Beziehung gesetzten Beobachtungsreihen, b ist der Regessionskoeffizient für y nach x)

und beträgt für die drei Tabellen:

$$\sigma_d(t,U) = 8.05 \% \quad \sigma_d(t,h) = 1.16 \text{ cal/g}$$

$$\sigma_d(t,1000 m) = 1.85 \text{ g/kg}$$

Ziehen wir im Abstand von je $2\sigma_d$ zu beiden Seiten der Regessionslinie Parallelen zu dieser, so müßten, wenn eine Normalverteilung vorläge, 4.55 % der Fälle außerhalb der genannten Parallelen liegen. Das wären bei insgesamt 3587 Fällen deren 163. Unsere Zählung, notwendigerweise etwas oberflächlich durchgeführt, ergab:

$$t,U : 235 \quad t,m : 165 \quad t,h : 185 \quad \text{Fälle}$$

Beim Wasserdampfgehalt erhalten wir also fast genau den Sollwert, beim Wärmeinhalt eine nur geringe Ab-

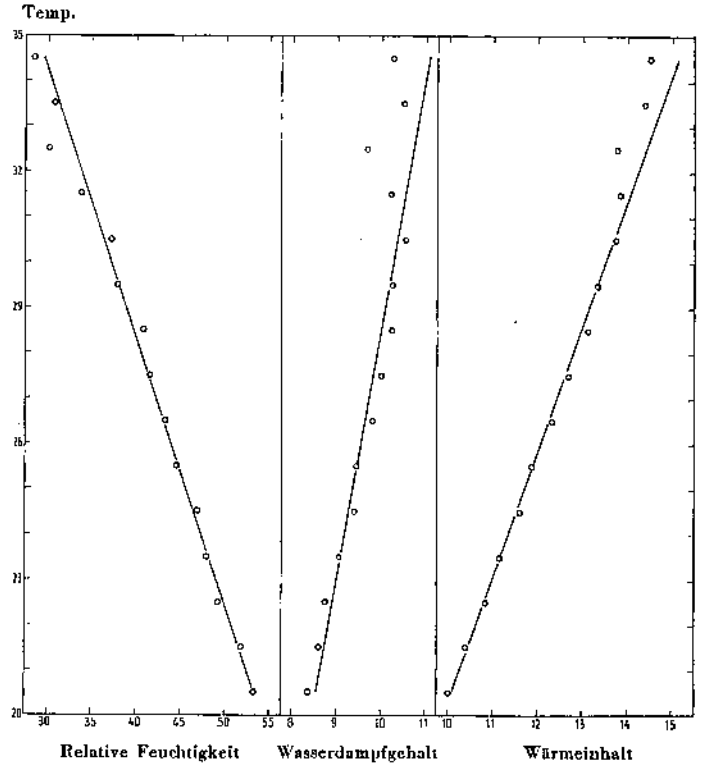


Fig. 1

Regessionslinien und Temperaturzeilenmittel der Zustandsgrößen feuchter Luft, Juni + Juli + August 1891—1950.

weichung, die außerhalb liegenden Fälle verteilen sich auch im großen Ganzen im erwarteten Rahmen über den ganzen Temperaturbereich. Es ist lediglich eine leichte Schiefe festzustellen, indem es rechts, also in Richtung der höheren m bzw. h, etwas mehr Fälle gibt als links. Anders bei der relativen Feuchtigkeit. Nicht nur ist die Gesamtzahl der außerhalb $2\sigma_d$ liegenden Fälle höher, die Schiefe ist auch stärker (140 rechts gegen 95 links), vor allem aber konstatiert man eine starke Konzentration bei den tiefen Temperaturen und nur noch gelegentliches Auftreten oberhalb 31°. Die Abweichungen von der Regessionslinie werden also hier durch ein einheitliches σ_d nicht befriedigend dargestellt.

Um es dem interessierten Leser zu ermöglichen, sich die Regessionslinien und die Parallelen $\pm 2\sigma_d$ in die Korrelationstabellen für Juni + Juli + August einzuzichnen, geben wir hier ihre Schnittpunkte mit der 20°- und der 37°-Linie (unterer und oberer Tabellenrand):

	Regessionslinie		Abweichung $-2\sigma_d$		Abweichung $+2\sigma_d$	
	20°	37°	20°	37°	20°	37°
t,U:	54.0	25.2	37.9	9.1	70.1	41.3
t,m:	8.47	11.53	4.77	7.83	12.17	15.23
t,h:	9.92	16.04	7.61	13.73	12.33	18.35

Eine weitere Betrachtung möchten wir noch der Tabellengruppe der «wärmsten und schwülsten» Sommer widmen. Sie soll uns einigen Aufschluß über die Frage geben, inwiefern die Verhältnisse im Durchschnitt in einem solchen Auswahljahr sich von denen eines Normaljahres unterscheiden. Wenden wir uns zunächst der Temperaturverteilung zu. Das Auswahlverfahren be-

wirkte, daß im Bereich von 34—37° fünf Sechstel aller Beobachtungen aus den 60 Jahren in die Statistik der 10 «wärmsten und schwülsten» Jahre eingingen, d. h. daß im Mittel ein solches Jahr die fünffache Zahl von Fällen mit $t \geq 34^\circ$ aufweist als ein Normaljahr. Wir können nunmehr folgende Frage stellen: Wie verhalten sich unter dieser Voraussetzung die Häufigkeitszahlen der tieferen Temperaturen zu denen eines Durchschnittsjahres? Wir haben, um nicht ins Uferlose zu geraten, etwas zusammengefaßt und erhalten folgende Verhältniszahlen:

20—25°	25—28°	28—31°	31—34°	34—37°
1.0	1.2	1.5	2.9	5.0

Wir sehen, daß bis 25° die Temperaturhäufigkeiten eines Auswahljahres nicht von denen eines Normaljahres abweichen, sondern daß sie erst von dieser Grenze an zu wachsen beginnen, anfänglich nur wenig, dann aber progressiv zunehmend.

Nach den gleichen Temperaturgruppen zusammengefaßt, haben wir die Verhältniszahlen auch für die verschiedenen Werte der drei behandelten Zustandsgrößen feuchter Luft berechnet. Den durch die weitgehende Aufspaltung des Materials bedingten Unregelmäßigkeiten haben wir durch die übliche Glättung ($x_{n-1} + 2x_n + x_{n+1}$) : 4 der Häufigkeitszahlen entgegengewirkt. Die oberste Temperaturstufe (34—37°) haben wir wegen der zu geringen Anzahl der dort vorhandenen Fälle aus diesen Betrachtungen ausschließen müssen. Auch in den restlichen vier Gruppen haben wir stark aus der Reihe fallende Resultate aus nur mit vereinzelt Beobachtungen besetzten Randfeldern weggelassen. Es genügt, wenn wir hier die Ergebnisse für eine der Zustandsgrößen — wir haben den Wasserdampfgehalt gewählt — wiedergeben, die beiden andern zeigen grundsätzlich das gleiche Bild.

Temp.	3	4	5	6	7	8	9	10	11	12	13	14	15	16 g/kg
20—25°			3.8	4.1	4.2	3.7	2.6	2.0	2.0	1.9	1.9	3.3		
25—28°			3.5	3.4	2.8	2.0	1.3	0.9	0.8	0.9	1.3	2.0	2.7	
28—31°		2.6	2.3	1.9	1.4	1.0	0.9	1.0	1.1	1.4	1.6	2.2		
31—34°	1.9	1.7	1.3	1.0	0.9	0.9	1.0	1.2	1.5	1.7	1.8			

Auf allen Zeilen ist der Verlauf der Verhältniszahlen U-förmig. Das Minimum liegt auf der untersten Zeile in der Mitte und verschiebt sich mit steigender Temperatur nach rechts (immer von der Zeilenmitte aus gesehen). Es fällt sogar bis zur Stufe 28—31° unter den Wert 1. Die Randwerte sind oberhalb 25° links etwas höher als rechts.

Die Ursache für dieses auf den ersten Blick merkwürdig anmutende Ergebnis ist in der Inhomogenität des Auswahlmaterials zu suchen. In den «wärmsten» Jahren treten Tage mit trockener, in den «schwülsten» solche mit besonders feuchter Luft stärker als normal in Erscheinung. Die Vereinigung dieser unterschiedlichen Teilkollektive bringt für die einzelnen Zeilen zwar immer noch eine glockenförmige Anordnung der Häufigkeiten, jedoch mit stärkerer Streuung (20—25°) oder negativem Exzeß (25—28°). Stellt man derart veränderte Verteilungen einer Normalverteilung, wie sie für das Ge-

samtmaterial angenähert angenommen werden kann, gegenüber, so resultiert hieraus der hier konstatierte U-Verlauf der Verhältniszahlen. Da nun zudem die «wärmsten» Jahre mit 714, die «schwülsten» jedoch nur mit 344 Tagen an dem Auswahlkollektiv beteiligt sind und diese Ungleichheit hauptsächlich in den oberen Temperaturstufen stark zum Ausdruck kommt, werden dort die Verteilungsbilder linksseitig schief. Dies bewirkt die festgestellte Asymmetrie im Verlauf der Verhältniszahlen. In Fig. 2 haben wir zur Illustration des hier Gesagten die ausgeglichenen Verteilungskurven für die Stufen 20—25° und 28—31° gezeichnet.

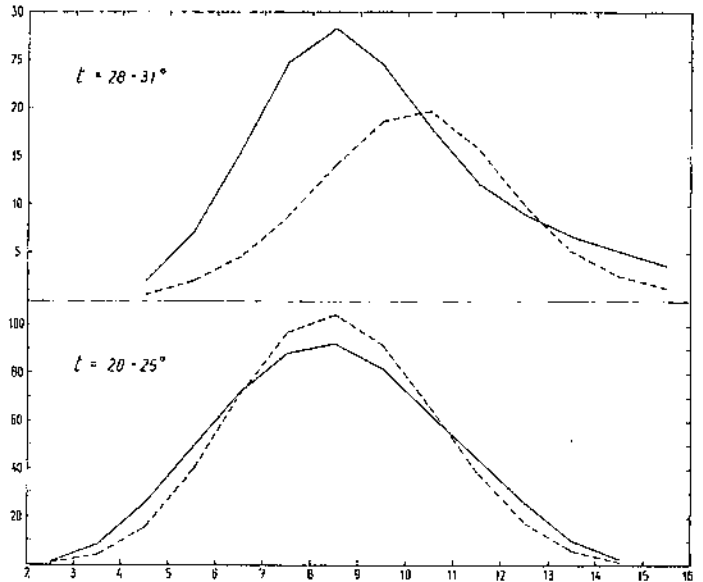


Fig. 2

Häufigkeitsverteilung des Wasserdampfgehaltes in g/kg für zwei Temperaturgruppen, bezogen auf 10 Jahre (ausgeglichen). Ausgezogen: «wärmste» und «schwülste» Sommer. Gestrichelt: Gesamtmaterial. Der Abbildungsmaßstab der oberen Darstellung ist gegenüber der unteren vervierfacht.

Für gewisse praktische Bedürfnisse der Kühltechnik stellt sich die Frage, wie weit die Wärmeinhaltstabellen Aufschluß über die Häufigkeit höherer Enthalpien ohne Rücksicht auf die Lufttemperatur zu geben vermögen. Die Summenzeilen der Tabellen sind, wie leicht einzusehen ist, hierfür nur teilweise verwendbar, da Wärmeinhalte von weniger als 13 cal/g offensichtlich auch bei Temperaturen unterhalb 20° auftreten können (vgl. Tabelle über das Gesamtmaterial, Seite 15, rechts oben). Für die Stufe 12—13 cal/g läßt sich die Zahl der Fälle, die aus $t < 20^\circ$ hervorgehen, noch mit ziemlicher Sicherheit extrapolieren. Wir schätzen ihre Zahl wie folgt:

Gesamtmaterial 1891—1950	24 Tage
hievon Juni + Juli + August	20 Tage
«Wärmste» und «schwülste» Sommer	4 Tage

Durch Aufsummieren der Summenzeilen von der höchsten Enthalpiestufe her gelangt man zu folgenden Mittelwerten, die wir durch entsprechende Beobachtungsergebnisse aus zwei extremen Einzeljahren ergänzen:

	Zahl der Tage mit Wärmeinhalt						
	>12	>13	>14	>15	>16	>17	>18 cal/g
Normaljahr (1891—1950)	31.2	14.2	5.2	1.5	0.4	0.1	0.0
hievon Juni+Juli+August	25.2	12.3	4.6	1.5	0.4	0.1	0.0
Mittel aus den «wärmsten» und «schwülsten» Sommern	41.0	20.2	8.5	3.3	1.3	0.3	0.1
1947 (wärmstes Jahr)	47	21	13	3	1	—	—
1905 («schwülstes» Jahr)	59	35	17	7	3	2	—

Leider müssen wir auch in diesem Zusammenhang wieder auf die bereits gestreifte Problematik der «schwülen» Jahre hinweisen.

Es bleibt zum Schluß noch das Problem zu erörtern, welche Bedeutung den Zustandsgrößen feuchter Luft um 13.30 h im Hinblick auf ihren täglichen Verlauf zukommt. Ein wichtiges Ziel der vorliegenden Untersuchung war, die höchstmöglichen Wärmeinhalte zu erfassen. Konnte dies mit den 13.30 h-Beobachtungen in befriedigender Weise erreicht werden? Der Praktiker wird weiter fragen, während wievielen Stunden des Tages er mit einem derart gekennzeichneten Luftzustand etwa zu rechnen habe?

Wir haben uns somit mit dem täglichen Gang von Temperatur und Feuchtigkeit der Luft zu befassen. Es bestehen von Zürich Registrierungen der Temperatur und der relativen Feuchtigkeit, stündlich ausgewertet sind aber nur die ersteren bis 1893 zurück. Eine Nachholung der Auswertung für die relative Feuchtigkeit kam aus verständlichen Gründen nicht in Frage. Nun treten aber die uns hier hauptsächlich interessierenden Luftzustände vor allem an schönen Sommertagen auf, so daß wir uns damit begnügen können, von einer Anzahl solch sonniger Tage die Registrierungen der relativen Feuchtigkeit auszuwerten und unter Beizug der bereits vorhandenen Stundenwerte der Temperatur den täglichen Gang von Wasserdampfgehalt und Wärmeinhalt zu berechnen.

Unsere ursprüngliche Absicht, hierfür einige Schönwetterperioden aus dem behandelten Zeitraum mit Unterscheidung zwischen trockenwarmen und eher schwülen Tagen zugrunde zu legen, scheiterte an der ungenügenden Qualität der Hygrographenaufzeichnungen. Wir griffen daher auf Registrierungen aus dem Jahre 1957, müssen damit jedoch in Kauf nehmen, daß wir außerhalb des bisherigen Zeitraumes fallen, daß die Aufzeichnungen an einem andern, rund 80 m höheren und dem Stadteinfluß weniger stark unterworfenen Standort erfolgten und daß die Apparate in einer andern Hütte (geschlossene englische Hütte gegenüber offener Wildscher Hütte) untergebracht sind.

Wir fanden im Sommer 1957 drei für unsere Zwecke geeignete Schönwetterperioden:

- 1) 14.—21. Juni 2) 28. Juni—9. Juli 3) 30. Juli—8. Aug.
- 8 Tage 12 Tage 10 Tage

In Fig. 3 sind für jede der drei Perioden die sich ergebenden mittleren Tagesgänge aufgezeichnet. Die einzelnen Stundenwerte sind so aufgetragen, wie sie aus den Berechnungen hervorgingen, ohne Korrektur wegen des jährlichen Ganges; man darf daher, wenn man den nächtlichen Verlauf verfolgen will, nicht ohne weiteres vom Endwert rechts (24.30 h) zum Anfangswert links

(1.30 h) übergehen, sondern man hat sich den weiteren Verlauf auf einer leicht nach oben oder unten verschobenen Ordinate fortgesetzt zu denken.

Temperatur und relative Feuchtigkeit zeigen den bekannten Gang, wobei vielleicht erstaunlich ist, daß trotz der wenigen Tage, aus denen die Mittel berechnet sind, die Kurvenbilder recht ausgeglichen wirken.

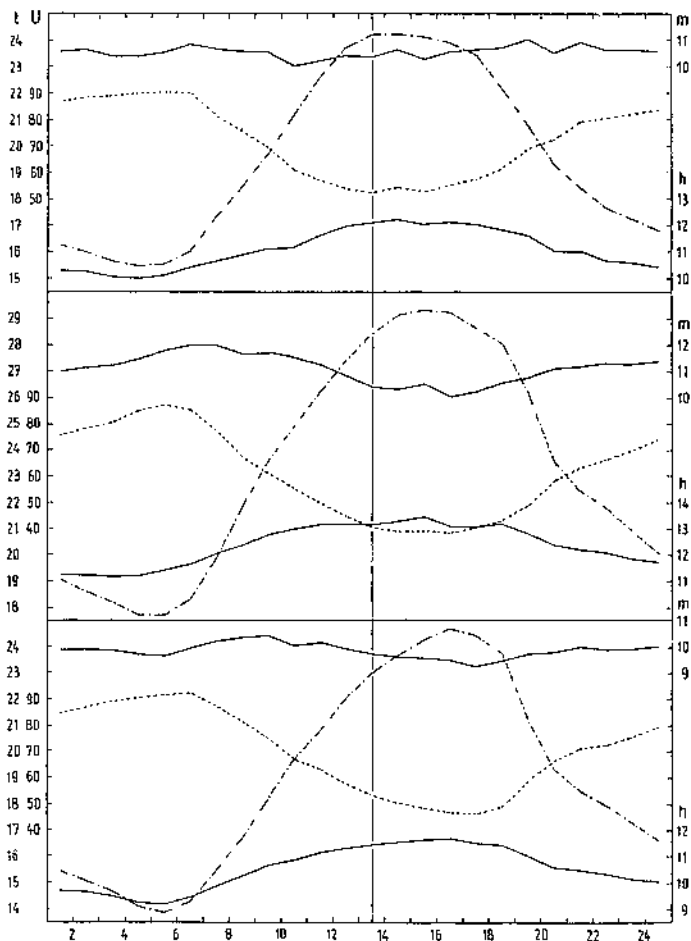


Fig. 3

Mittlerer täglicher Gang der Temperatur (strichpunktiert), der relativen Feuchtigkeit (gestrichelt), des Wasserdampfgehaltes (ausgezogen, obere Kurven) und des Wärmeinhaltes (ausgezogen, untere Kurven) an drei Schönwetterperioden des Sommers 1957.

- Obere Darstellung: 14.—21. Juni
- Mittlere Darstellung: 28. Juni—9. Juli
- Untere Darstellung: 30. Juli—8. August

Die Mittelsenkrechte kennzeichnet den 13.30 h-Termin.

Von den beiden andern Darstellungen betrachten wir zunächst den Wärmeinhalt. Der Tagesgang ist deutlich einwellig, das Maximum fällt in allen drei Perioden zeitlich mit dem der Temperatur zusammen. Seine mittlere Differenz gegen den 13.30 h-Wert bewegt sich zwischen 0.14 und 0.28 cal/g. Das Minimum liegt in den frühen Morgenstunden jeweilen in der Nähe des Temperaturminimums, fällt aber nicht immer mit ihm zusammen, sondern kann um ein paar Stunden vorgeschoben sein. Die periodische Tagesschwankung (Differenz zwischen Minimum und Maximum der Durchschnittskurve) ist mit 2.22 bzw. 2.24 und 2.49 cal/g in den drei Perioden sehr einheitlich.

Das Bild wird wesentlich vielseitiger, wenn wir uns den einzelnen Tagen zuwenden. Der Tagesverlauf kann an einem scheinbar ruhigen Tag, wie ein Blick auf Fig. 4 erkennen läßt, stark gestört sein. Das Maximum bewegt sich, wenn wir alle 30 Tage der drei Perioden untereinander vergleichen, zwischen 7.30 h und 18.30 h, wobei allerdings die frühen Nachmittagsstunden bevorzugt werden. Die unperiodische Tagesschwankung, d. h. die Differenz zwischen den beiden täglichen Extremen, im Mittel der drei Perioden 3.00 bzw. 3.16 und 2.93 cal/g, tritt in folgenden Größen auf:

1.6—2.0	2.1—2.5	2.6—3.0	3.1—3.5	3.6—4.0	4.1—4.5	4.6—5.0 cal/g
an 2	6	10	5	4	1	2 Tagen

Die Tagesmittel verteilen sich wie folgt:

8—9	9—10	10—11	11—12	12—13	13—14	14—15 cal/g
1	4	6	9	6	3	1 Tage

Ein Zusammenhang zwischen Tagesmittel und Tagesschwankung besteht nicht.

Vom 13.30 h-Wert weicht das Tagesmaximum in folgendem Ausmaß ab:

0.0	0.1—0.5	0.6—1.0	1.1—1.5	1.6—2.0	2.1 cal/g
1	15	10	2	1	1 Tage

Zur Frage der Andauer einer Enthalpie von der Größenordnung des 13.30 h-Wertes haben wir folgende Überlegungen angestellt: Eine Abweichung von ± 0.2 Einheiten können wir ohne weiteres als innerhalb der Meßgenauigkeit ansehen, wir geben einem solchen, eine halbe Maßeinheit umfassenden Bereich, symmetrisch um den 13.30 h-Wert angeordnet, die Abweichung 0. Zwei gleich breite Streifen denken wir uns auf jeder Seite diesem Nullbereich angeschlossen, deren Abweichungen wir ihrem zentralen Wert entsprechend, als ± 0.5 betrachten. Haben wir beispielsweise um 13.30 h einen Wärmeinhalt von 13.0 cal/g, so betrachten wir alle Stundenwerte des betreffenden Tages zwischen 12.8 und 13.2 cal/g als gleich hoch, diejenigen von 12.3 bis 12.7 cal/g als eine halbe Einheit niedriger und jene von 13.3 bis 13.7 cal/g als eine halbe Einheit höher. Für jeden der 30 Tage haben wir nun ausgezählt, wieviele Stundenwerte in die derart definierten Bereiche und darüber fallen und haben im Mittel erhalten:

Bereich	-0.5	0	+0.5	zus.	> +0.5 cal/g
Stundenwerte	3.8	4.9	2.7	11.4	0.5

Wir können also sagen, daß der Wärmeinhalt um 13.30 h im Durchschnitt täglich während 5 Stunden angenommen werden kann und daß er während gut 11 Stunden nicht mehr als eine halbe Einheit hiervon abweicht. Die einzelnen Tage ordnen sich, nach der Stundenzahl ausgeschieden, wie folgt an:

Abweichung 0:										
Stunden	1	2	3	4	5	6	7	8	9	10
Tage	1	3	2	5	8	7	2	—	1	1

Abweichung -0.5 bis +0.5:						
Stunden	5—7	8—10	11—13	14—16	17—19	20—22
Tage	2	14	7	4	2	1

Stundenwerte mit stärkeren positiven Abweichungen sind nicht sehr häufig. Die insgesamt 15 Fälle verteilen sich auf 6 Tage wie folgt:

Tag	1)	2)	3)	4)	5)	6)	Zus.
Abw. + 1	—	4	1	1	2	2	10
Abw. + 1.5	1	1	—	—	2	—	4
Abw. + 2	1	—	—	—	—	—	1

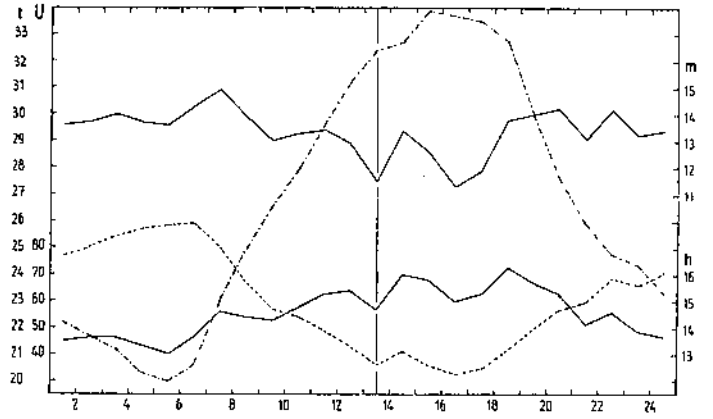


Fig. 4

Die täglichen Gänge, wie in Fig. 3, am 6. Juli 1957. Der 6. Juli war der wärmste und zugleich schwülste Tag des Sommers. Mit seinen auffälligen Schwankungen der m- und h-Werte steht er jedoch nicht allein.

In mancher Beziehung komplizierter erscheint der Tagesgang des Wasserdampfgehaltes. Wir sehen bereits recht erhebliche Unterschiede in den Durchschnittskurven der Fig. 3, die teilweise zweiwellig und ziemlich unruhig verlaufen. Die Hauptcharakteristiken sind:

Periode	1)	2)	3)	30 Tage
Period. Tagesschwankung	0.97	1.92	1.13	1.04 g/kg
Unperiod. Tagesschwank.	2.64	3.74	2.19	2.93 g/kg
Hauptmaximum (Zeit)	19.30 h	7.00 h	9.30 h	7.30 h
Nebenmaximum	6.30 h	—	21.30 h	—
Hauptminimum	10.30 h	16.30 h	17.30 h	16.30 h
Nebenminimum	{ 15.30 h } { 4.00 h }	—	5.30 h	—

Schon der große Unterschied zwischen periodischer und unperiodischer Tagesschwankung weist auf den wenig einheitlichen Tagesverlauf an den einzelnen Tagen hin. Wie unruhig dieser sein kann, dokumentiert eindrücklich die Kurve vom 6. Juli in Fig. 4. Die zufälligen Schwankungen sind selbst in den Durchschnittskurven der ersten und dritten Periode so groß, daß die Nebenminima und -maxima nur undeutlich hervortreten. Merkwürdig ist auch, daß das Hauptmaximum der dritten Periode zeitlich beinahe mit dem Hauptminimum der ersten Periode zusammenfällt.

Über den täglichen Gang des Dampfdruckes im Sommer, an dessen Stelle wir ohne weiteres das Mischungsverhältnis setzen können, zitieren wir F. Möller [8]:

Der doppelte tägliche Gang im Sommer — kontinentaler Typ nach Rykatschew [9] oder auch nach V. Conrad [10] Wüstentyp genannt, sofern das Nachmittagsminimum zum Hauptminimum wird — wird durch das Hinzutreten der Konvektion hervorgerufen. Zunächst ist in gleicher Weise wie beim Wintertyp der Rückgang von Mitternacht bis kurz nach Sonnenaufgang eine Folge der Taubildung, der Anstieg während des ersten Temperaturanstiegs am Vormittag

ein Zeichen für lebhaft Verdunstung vom Boden. Weiteres Steigen der Temperatur müßte den Dampfdruck weiter steigen lassen; auch ein vollständiges Stocken der Verdunstung etwa bei Austrocknung der Erdoberfläche könnte nur Gleichbleiben des Dampfdruckes bewirken [11]. Es tritt aber durch den im Sommer sehr lebhaft werdenden Austausch mit höheren Schichten und Konvektion eine Umlagerung zwischen dampfärmeren Schichten in der Höhe und dampfreicherer aus Bodennähe ein und ruft daher eine lokale Herabsetzung des Dampfdruckes in der Beobachtungshöhe hervor. Die bis zur Mittagszeit mehr und mehr zunehmenden Austauschvorgänge bringen einen ständig weitergehenden Dampfdruckrückgang, der auch durch die sehr lebhaft weiterwirkende Verdunstung [11] nicht aufgehalten werden kann. Erst wenn die Konvektion ihre maximale Stärke überschritten hat, auch nicht mehr so hohe Schichten bis zum Boden herabgeführt werden, beginnt die Verdunstung des Bodens wieder zu überwiegen, und der Dampfdruck steigt wieder an. — J. Reger [12] führt das abendliche Wiederansteigen auf Advektion zurück; mir erscheint die Abnahme der Konvektion hinreichend als Ursache für diesen Teil des Tagesgangs. — Ist durch Anstieg des Dampfdruckes und Sinken der Temperatur wieder Sättigung in den untersten Schichten eingetreten, beginnt wieder die Taubildung.

M. Bider [13] hat für sonnige Sommertage in Basel einen Typus des Tagesganges gefunden, der den obigen Ausführungen entspricht: Hauptminimum um 5.30 h, sekundäres Maximum zwischen 7.30 h und 9.30 h, sekundäres Minimum um 17.30 h und Hauptmaximum zwischen 20.30 h und 22.30 h. Er hat uns freundlicherweise seine aus 52 Tagesregistrierungen in den Jahren 1947 und 1948 gewonnenen mittleren Stundenwerte des Dampfdruckes überlassen, aus denen wir mit $p = 735$ mm die Mischungsverhältnisse berechnet haben. In Fig. 5 ist nun dieser Basler Tagesgang demjenigen von Zürich aus unseren 30 Tagen gegenübergestellt; beide sind als Abweichungen der Stundenwerte vom Tagesmittel aufgetragen.

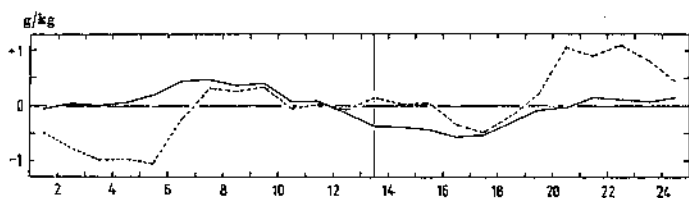


Fig. 5

Mittlerer täglicher Gang des Wasserdampfgehaltes in Zürich (ausgezogen) und Basel (gestrichelt) an schönen Sommertagen. Abweichungen vom Tagesmittel. Der Abbildungsmaßstab ist gegenüber den Fig. 3 und 4 verdoppelt. (Perioden verschieden, vgl. Text.)

Die Kurven unterscheiden sich einmal in der Amplitude, die in Basel doppelt so groß ist als in Zürich. Das braucht nicht als klimatischer Unterschied gewertet zu werden, sondern kann periodenbedingt sein, denn Unterschiede im Schwankungsmaß kommen in der gleichen Größenordnung zwischen den Tagesgängen unserer Teilperioden vor (siehe oben). Vor allem aber weicht der tägliche Gang in Zürich völlig vom normalen kontinentalen Typus ab. Man müßte ihn nach V. Conrad [10] dem Wüstentypus zuordnen. Nun hat aber Zürich bestimmt kein Wüstenklima. Vermutlich dürfte, ohne daß wir dies mit dem vorliegenden kleinen Material endgültig belegen könnten, der Grund für die Abweichung in der ausgesprochenen Hanglage der Zürcher Beobachtungsstation zu suchen sein: Die am Abend talwärts flie-

Benden Hangwinde verhindern die Ausbildung eines hervorstechenden Abendmaximums, wodurch auch das Frühminimum rudimentär wird und in den zufälligen Schwankungen buchstäblich untergeht.

Die Tagesschwankung des Wasserdampfgehaltes bewegt sich in folgendem Rahmen:

	1—2	2—3	3—4	4—5	5—6	g/kg
an	6	13	3	7	1	Tagen

Die Korrelation zu den Tagesmitteln ist sehr lose (Kk. = 0.4). Die Häufigkeitsverteilung der letzteren ist aus Fig. 6 ersichtlich, welche ihre Beziehung zu den 13.30 h-Werten veranschaulicht.

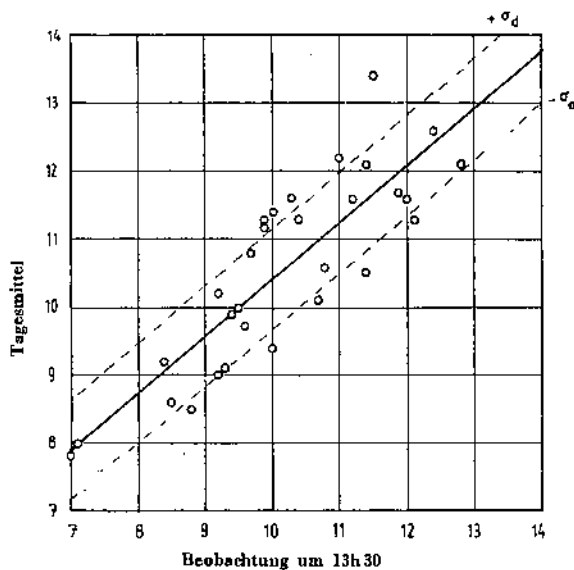


Fig. 6

Tagesmittel des Wasserdampfgehaltes im Vergleich mit den Beobachtungen um 13.30 h an 30 schönen Sommertagen des Jahres 1957. Regressionslinie mit den Abweichungen $\pm \sigma_d$ (Nähere Erklärung im Text).

Der 13.30 h-Wert des Wasserdampfgehaltes läßt keine Schlüsse auf dessen Tagesmaximum zu, wie dies beim Wärmeinhalt der Fall ist, doch ist er ein brauchbarer Index für sein Tagesmittel. Betrachten wir letzteres als Funktion (y) vom 13.30 h-Wert (x), so ergibt sich aus den Beobachtungen der 30 Tage die Regressionsgleichung

$$y = 2.0 + 0.84 x \quad \text{Kk.} = 0.85$$

Die mittlere quadratische Abweichung (σ_d) der einzelnen Tagesmittel von der Regressionslinie (11) beträgt 0.73 g/kg. Rund zwei Drittel aller Tagesmittel liegen innerhalb des Bereiches $\pm \sigma_d$, 6 Fälle liegen oberhalb $+\sigma_d$ und 5 unterhalb $-\sigma_d$, fast genau so, wie bei einer Normalverteilung zu erwarten wäre. Wenn wir trotzdem den 13.30 h-Wert nur als «Index» für die Tagesmittel bezeichnen, so darum, weil wir mit dem mittleren Streubereich von $2\sigma_d = 1.46$ g/kg bereits die Hälfte der mittleren unperiodischen Tagesschwankung erreicht haben.

Wir sind uns bewußt, daß wir mit diesen Ausführungen über den Tagesgang der Luftzustände noch verschiedene Fragen unbeantwortet gelassen haben. Es wäre verdienstvoll, wenn solche Untersuchungen auf breiterer Ba-

sis in Angriff genommen würden, wobei vor allem auch den Unterschieden, die sich aus der verschiedenen topographischen Lage der herangezogenen Beobachtungsstationen ergeben, besondere Aufmerksamkeit geschenkt werden müßte. Hier wurde das Problem nur so weit gestreift, als es uns für eine einigermaßen vertretbare Einordnung unserer aus den Beobachtungen um 13.30 h gewonnenen Statistiken für die kühltechnische Praxis notwendig erschien.

Wir hoffen, mit dieser Arbeit für einen an Bedeutung stets zunehmenden Zweig der Industrie einen brauchbaren

Beitrag geliefert und einen Weg aufgezeigt zu haben, der auch einen nicht auf dem Gebiet der Klimatologie Tätigen in die Lage versetzt, auf Grund der in den meteorologischen Jahrbüchern veröffentlichten Beobachtungen für weitere Orte geeignete Grundlagen zu beschaffen. Aus diesem Grunde haben wir der Darstellung unseres methodischen Vorgehens einen etwas breiten Raum gewährt. Vielleicht gelingt es damit, daß Feststellungen wie «Häufigkeitsverteilungen der Luftenthalpien sind nicht bekannt geworden» [15] in Zukunft nicht mehr in der Fachliteratur auftauchen.

Bibliographie

1. *Organisation Météorologique Internationale: Conference of Directors, Washington 1947. Final Report, Res. 164 u. 166, S. 225 bis 237. Publ. No. 71, Lausanne 1949.*
2. *Smithsonian Meteorological Tables, sixth edition: Relative Feuchtigkeit S. 332 u. 348, Mischungsverhältnis S. 340, Enthalpie S. 334. Washington 1951.*
3. *Organisation Météorologique Mondiale: Deuxième Congrès de l'OMM, Genève 1955. Rapport final, Vol. II, Règlement technique, S. 45. OMM-No. 48, RC 10. Genève 1956.*
4. «Hütte», des Ingenieurs Taschenbuch, 27. Auflage, S. 570—574. Berlin 1942.
5. *Rechnagel-Sprenger: Taschenbuch für Heizung und Lüftung, 48. Jahrgang, S. 651. München 1955.*
6. *M. Hottinger: Wärme- und Wasserdampfgehalt feuchter Luft in verschiedenen Höhenlagen ü. M. SA aus Schweiz. Blätter f. Heizung u. Lüftung, 5 S., 4 Diagr. Zürich 1941.*
7. *Reichsamt für Wetterdienst: Aspirations-Psychrometer-Tafeln. Braunschweig 1937.*
8. *F. Müller: Über den täglichen Gang des Dampfdruckes und seiner interdiurnen Veränderlichkeit. Mit Tabellen von Potsdam. Met. Zeitschr. 1937, S. 124—133.*
9. *M. Rykatschew: Über den Einfluß der Unterlage auf den täglichen Gang der absoluten Feuchtigkeit. Met. Zeitschr. 1908, S. 501—510.*
10. *V. Conrad: Die klimatischen Elemente und ihre Abhängigkeit von terrestrischen Einflüssen. Band I, Teil B, des Handbuches der Klimatologie von W. Köppen u. R. Geiger, S. 376—378. Berlin 1936.*
11. *M. Franssila: Bioklimatische Untersuchungen des Wärmehaushaltes, Mitt. d. Met. Zentralanstalt Helsinki, Nr. 20, S. 89—90. 1936.*
12. *J. Reger: Der tägliche Gang der Feuchtigkeit über Lindenberg. Arb. d. Preuss. Aeron. Obs. b. Lindenberg, Band XIV, S. 44—61, 1922.*
13. *M. Bider: Der Tagesgang des Dampfdruckes in Basel. Verh. d. Schweiz. Nat. Ges., Bern 1952, S. 107—110.*
14. *F. Steinhäuser, O. Eckel u. F. Sauberer: Klima und Bioklima von Wien, S. 40. Sonderheft zu «Weiter u. Leben», Wien 1955.*
15. *P. Berliner: Die jahreszeitliche Häufigkeitsverteilung der Luftenthalpie in Deutschland. Kältetechnik, 9. Jahrg., H. 5, S. 138 bis 142, Karlsruhe 1957.*

Wertvolle fachtechnische Hinweise erhielt der Verfasser von Herrn Ing. H. Drotschmann von der Eidg. Materialprüfungs- und Versuchsanstalt, wofür ihm an dieser Stelle bestens gedankt sei.

Relative Feuchtigkeit in Prozent

Wasserdampfgehalt in g/kg

Wärmeinhalt in cal/g

September 1891—1950

60 Jahre

Table with columns for Temp °C (Σ, 10-19) and rows for years (32-20). Data includes relative humidity, water vapor content, and heat content.

Oktober 1891—1950

60 Jahre

Table with columns for Temp °C (Σ, 10-19) and rows for years (28-20). Data includes relative humidity, water vapor content, and heat content.

November 1891—1950

60 Jahre

Table with columns for Temp °C (Σ, 10-19) and rows for years (21-20). Data includes relative humidity, water vapor content, and heat content.

Relative Feuchtigkeit in Prozent

Wasserdampfgehalt in g/kg

Wärmeinhalt in cal/g

Gesamtes Material 1891—1950

60 Jahre

Table with columns for temperature (Temp °C) and various data points (Σ 10, 15, 20, 25, 30, 35, 40, 45, 50, 55, 60, 65, 70, 75, 80, 85, 8, 9, 10, 11, 12, 13, 14, 15, 16, 17, 7, 8, 9, 10, 11, 12, 13, 14, 15, 16, 17, 18, 19, Σ). Rows represent years from 37 to 20.

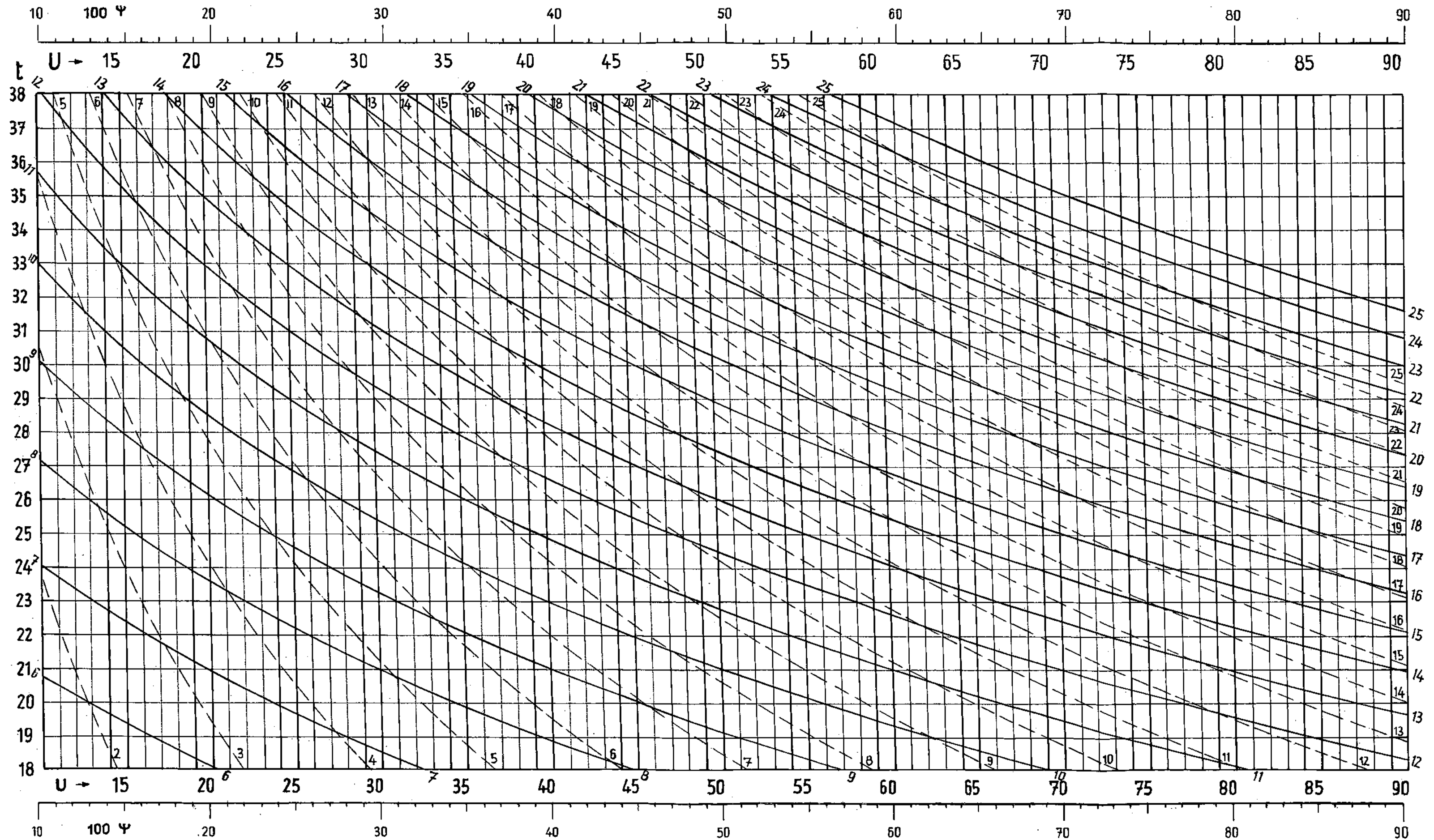
Die 6 «wärmsten» und die 4 «schwülsten» Jahre

[1911 + 1921 + 1945 + 1947 + 1949 + 1950] + [1898 + 1900 + 1905 + 1918]

10 Jahre

Table with columns for temperature (Temp °C) and various data points (Σ 10, 15, 20, 25, 30, 35, 40, 45, 50, 55, 60, 65, 70, 75, 80, 85, 8, 9, 10, 11, 12, 13, 14, 15, 16, 17, 7, 8, 9, 10, 11, 12, 13, 14, 15, 16, 17, 18, 19, Σ). Rows represent years from 37 to 20.

Diagramm zur Bestimmung von Wasserdampfgehalt und Wärmeinhalt der Luft aus Temperatur und relativer Feuchtigkeit



Gestrichnet und innen beschriftet: Kurven gleichen Wasserdampfgehaltes Ausgezogen und außen beschriftet: Kurven gleichen Wärmeinhaltes

Le compteur d'orages suisse

par

Jean Lugeon et Jean Ricker

Il y a plus de quarante ans que l'un de nous (Jean Lugeon) s'occupe de l'enregistrement des décharges électriques lumineuses de l'atmosphère, des parasites qui rayonnent, de la foudre et des éclairs, et que l'on appelle maintenant «Sferics».

Un grand nombre de vœux, résolutions et recommandations concernant cette activité à l'échelon international ont été émis par l'UGGI, l'URSI, l'OMI et plus tard l'OMM et le CCIR. C'est dire que le sujet mérite une attention soutenue, particulièrement de la part des Offices météorologiques du monde. Dans le cadre de l'OMI, Varsovie (1935), Toronto (1947), puis à l'ultime Conférence des Directeurs (Paris, 1951), M. Lugeon déposa divers rapports suggérant d'améliorer les cartes climatiques d'orages par des instruments automatiques décomptant les déflagrations. Ce n'était d'ailleurs que dans le but de rafraîchir les anciennes idées de Popov et Branly, dont le cohéreur à limaille imprimait les parasites sur le dérouleur à bande du télégraphe Morse.

Le Comité Exécutif de l'OMM, tôt après le premier Congrès, exprima des vœux précis concernant l'activité orageuse dans ses Résolutions 16 (EC-II) 1951 et 28 (EC-III) 1952. C'était un pas en avant pour tendre à créer un réseau enregistreur automatique de compteurs d'orages devant servir à la construction meilleure de cartes de ces phénomènes, souvent inobservables dans de larges régions du globe.

Simultanément, le CCIR se saisit du même problème. Cet organisme spécialisé, entre autres, dans la sécurité des radiocommunications à grandes distances, en appelait aux météorologistes dans le dessein pressant d'obtenir des cartes plus précises sur les grands foyers orageux du globe, voulant des données journalières et même horaires. Il fallut donc se mettre à faire la nomenclature de tous les orages du monde. L'œuvre n'est pas simple à réaliser quant aux foyers dispersés dans des régions quasi-inexplorées, les océans, l'Antarctique, l'Arctique et les grands déserts.

Le Comité Exécutif pria MM. Lugeon et feu C. E. P. Brooks d'étudier ces vœux du CCIR. On sait l'effort fait par le Secrétaire de l'OMM pour publier les données d'orages du monde et la tentative remarquable de dessiner des cartes avec des valeurs aussi aléatoires que celles tirées d'observations visuelles et auditives. Le travail réalisé a permis de préciser les innombrables vicissitudes du sujet. Une réponse partielle ne pourra être donnée à l'UIT qu'après avoir dispersé sur les continents un nombre impressionnant de compteurs d'orages. Et

encore, ce super-réseau ne nous apprendra rien sur plus de la moitié de la superficie du globe, les océans. Les lacunes ne seront comblées que par les méthodes de recoupements radiogoniométriques des orages à grande distance. Peut-être que, dans un avenir lointain, celles-ci permettront de fixer avec quelque certitude la position géographique des grands centres de sferics du monde et d'en donner le rythme saisonnier.

*

Pour créer un bon terrain d'entente entre l'OMM et le CCIR, une session mixte OMM-CCIR se tint à Genève à la Villa Bartholoni les 30 et 31 mai 1951, à laquelle prirent part:

MM. Prof. Dr h. c. Balth. Van der Pol, Directeur du CCIR,

Dr J. van der Mark, ingénieur du CCIR,

Dr G. H. Dellinger, délégué des USA (CCIR),

Prof. Dr R. Rivault, Poitiers et I. N. R. Paris (CCIR),

A. Perlat, ingénieur en chef, Météorologie Nationale française (OMM),

Prof. Dr h. c. Jean Lugeon, délégué de l'OMM au CCIR.

Là, on rédigea un mémoire fixant tous les aspects techniques et climatiques du problème.

Dans sa session de septembre 1952, le Comité Exécutif de l'OMM prit la Résolution citée 28 EC-III. Nous reproduisons les parties essentielles de son annexe intéressant la présente Note:

Procédure proposée concernant un compteur de décharges orageuses

1. Le Comité Consultatif International des Radiocommunications étudiera l'appareil et en fixera les caractéristiques. On pense qu'une période d'essais de 6 mois suffira pour éprouver les appareils.

2. L'Organisation Météorologique Mondiale recevra du Comité Consultatif International des Radiocommunications les indications techniques concernant cet appareil.

3. L'Organisation Météorologique Mondiale installera cet appareil dans le réseau mondial et en collationnera les données.

4. L'Organisation Météorologique Mondiale tirera les conclusions et préparera les résumés nécessaires pour le Comité Consultatif International des Radiocommunications, conformément aux vœux du Comité Consultatif International des Radiocommunications: variations diurnes mensuelles et annuelles.

5. Un grand intérêt est attaché à la réalisation d'un réseau de localisation à distance des foyers orageux permettant de contrôler l'activité orageuse sur l'ensemble du globe.

6. Il serait souhaitable que des dispositifs d'étalonnage soient appliqués aux équipements de ce réseau pour donner une mesure absolue du niveau du champ radioélectrique perturbateur.

Entre-temps, Jean Lugeon, avec l'aide de l'ingénieur en chef de Claparède (Biennoyphone), mit au point un compteur d'orages qu'il installa dès 1953 à Payerne et Zurich. Le schéma en a été publié dans l'Acte Final du 1^{er} Symposium Mondial des Parasites atmosphériques, à Zurich en 1953. De son côté, le CCIR s'occupa de la comparaison purement expérimentale du modèle suisse avec d'autres systèmes étrangers, et il en résulta plusieurs mémoires de haute valeur.

Il avait été entendu à la Villa Bartholoni que ce serait finalement au CCIR à mettre un compteur standard à la disposition des services météorologiques du monde par le truchement de l'OMM.

C'est M. le Dr F. Horner qui eut l'amabilité de coordonner ces travaux. Le 31 janvier 1958, il envoya son

ultime rapport à M. Lugeon, qui résumait les longs et patients efforts faits par les membres du Comité du CCIR pour résoudre le problème technique à l'échelon mondial. Des compteurs anglais, américain, hongrois, japonais et suisse furent mis simultanément sur le banc d'essai. La conclusion de ces comparaisons est difficile à tirer. Mais il ressort clairement des expériences en laboratoires et dans les atmosphères orageuses, que l'on peut estimer le compteur suisse comme adéquat à une solution raisonnable du problème, pour le décompte des orages proches dans un rayon de 3 à 15 kilomètres.

Voici six années que nous enregistrons en Suisse. Il est temps de donner un aperçu sommaire des résultats pratiques atteints.

Description sommaire du compteur d'orages suisse

Les décharges orageuses sont captées par une antenne d'environ 20 m de longueur, sans qu'il soit tenu compte de leur forme, et conduites à un circuit détecteur de haute fréquence, fig. 1.

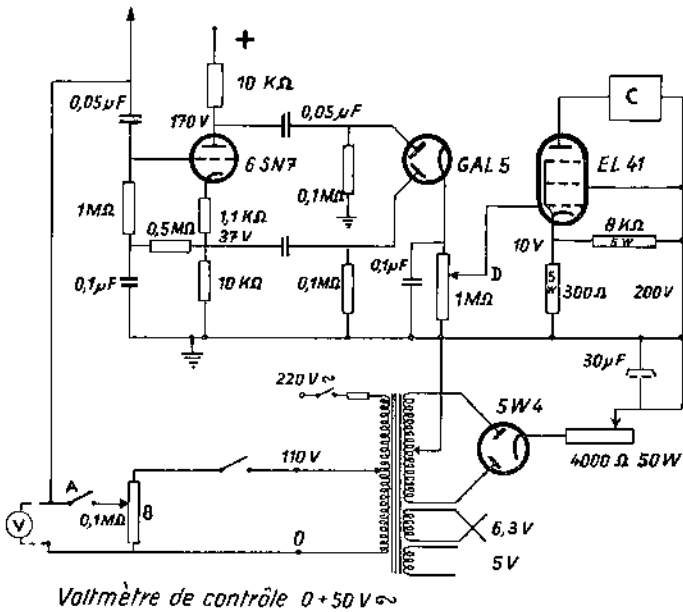


Fig. 1

(Modèle suisse, en fonction depuis 1953)

Le compteur est alimenté par une tension de 220 V ∞. Il peut également être branché sur 110 et 145 V ∞. L'interrupteur de contrôle A sert à produire des impulsions artificielles de contrôle, étant entendu que le contact est très court. Le potentiomètre d'étalonnage B règle la tension d'impulsion, qui peut varier de 0 à 40 V environ.

A Zurich, le compteur d'orages est réglé de telle façon que les décharges électriques soient enregistrées dans un rayon de 3 km environ. On peut naturellement varier cette distance pour les besoins de la cause.

Il est bon que l'antenne soit soustraite à tout effet des précipitations électrisées.

La méthode la plus simple pour régler la sensibilité du compteur est d'observer à l'œil l'éclair ou la foudre, de chronographier le temps d'arrivée du tonnerre, ce qui donne avec une approximation suffisante la distance de la déflagration. Par tâtonnement, on règle le bouton de sensibilité de sorte que le relais ne bascule plus au-delà de la distance adoptée.

Nous avons fait ainsi quelques centaines d'observations en toutes saisons et pouvons assurer que la distance d'exploration de 3 kilomètres adoptée est bien près de la réalité, du moins pour tous les orages vus et entendus à Zurich. A Payerne, nous avons réglé le compteur pour une distance un peu plus grande.

Liste des réponses données par le compteur d'orages suisse à Payerne et à Zurich de 1953 à 1956

Dès 1953, deux compteurs ont été installés à titre expérimental, à Payerne et à Zurich. Ils furent réglés selon la méthode susindiquée pour réagir à une distance de 3 km à Zurich et 10 km à Payerne. Leur fonctionnement ne fut pas interrompu pendant cinq années consécutives.

Les listes ci-après donnent une idée des données statistiques qui pourraient être fournies par l'établissement d'un réseau complet de compteurs d'orages.

On voit, par exemple, qu'à Zurich le nombre de jours

au cours desquels le compteur d'orages a donné une réponse correspond sensiblement au nombre de jours d'orages observés selon la définition que nous rappelons plus loin.

En admettant qu'à Payerne la même coïncidence existe, on en conclut que les nombres de jours d'orages et de décharges sont plus petits à Payerne qu'à Zurich.

L'étude plus détaillée intéressant 1957 montre les relations existant entre les orages proches et les réponses du compteur.

1953		1954		1955		1956	
		Payerne					
Date	Réponses du compteur						
Juillet 18	1	Juin 21	10	Mars 27	1	Juillet 13/14 nuit	1
Août 21	1	Août 9	1	Mai 17	1	Août 10	8
		14	2	Juin 25	3	19	8
		15	1	26	3	25	1
		21	3	Juillet 11	1	29	1
		Septembre 5	4	14	6	Septembre 6	1
		7	1	19	1	10	8
				21	1		
				25	2		
				26	5		
				27	12		
				30	2		
				31	3		
				Septembre 1	3		
				6	1		
Nombre de jours au cours desquels le compteur a réagi		Nombre de jours au cours desquels le compteur a réagi		Nombre de jours au cours desquels le compteur a réagi		Nombre de jours au cours desquels le compteur a réagi	
2		7		15		7 à 8	
		22		45		28	

1953		1954		1955		1956	
		Zurich					
Date	Réponses du compteur						
Février 1	5	Avril 25	1	Mars 27	1	Mai 18	1
Avril 9	1	Mai 2	11	Mai 7	1	22	3
Mai 9	1	17	47	29	2	29	5
22	1	Août 13	1	Juin 8	4	Juin 7	1
28	1	14	1	18	3	28	4
31	1	19	6	26	15	Juillet 9/10 nuit	3
Juin 2	1	27	1	28	10	11	1
3	2	Septembre 6	24	Juillet 3	1	15	4
26	3	8	12	4	3	18	1
27	3	12	6	13	55	27	38
Juillet 1	22	13	1	14	25	28	1
2	11	20	1	20	3	Août 10/11 nuit	8
3	1			21	1	22	3
5	3			28	1	Sept. 10/11 nuit	3
7	3			Août 8	3		
19	2			15	1		
23	5			16	5		
24	3			27	4		
27	12			28	11		
30	1			29	1		
				Septembre 5	4		
Nombre de jours au cours desquels le compteur a réagi		Nombre de jours au cours desquels le compteur a réagi		Nombre de jours au cours desquels le compteur a réagi		Nombre de jours au cours desquels le compteur a réagi	
20		12		21		14 à 17	
		112		154		76	
* Nombre de jours d'orages 21		* Nombre de jours d'orages 12		* Nombre de jours d'orages 26		* Nombre de jours d'orages 17	

* tirés des Annales de l'Institut suisse de météorologie.

Observation des orages proches par le compteur d'orages en 1957

Revelons maintenant les coïncidences existant entre les orages observés et les réponses du compteur en 1957 à :
 Bâle — Astronomisch-Meteorologische Anstalt der Universität Basel (orages observés sur place),

Payerne — Station aérologique (orages observés de la station pluviométrique située à 800 m au NNE),

Zurich — Institut suisse de météorologie (orages observés sur place, ainsi que d'un poste bénévole situé à Schwamendingen à 3 km au NNE, et de la station météorologique installée au Jardin botanique à 2,5 km à WSW).

Les résultats sont présentés sous forme de quatre tables.

Les trois premières donnent, par station, la liste des orages et les réponses correspondantes du compteur. Les listes de Zurich présentent quelques lacunes dues à l'absence des observateurs ou au brouhaha de la ville.

Deux catégories d'orages y ont été définies :

- Les orages proches observés en-deça de 3 km, désignés par le symbole ☒ ;
- Les orages lointains observés au-delà de 3 km, désignés par le symbole (☒).

Les temps indiqués sont exprimés en Temps Moyen de l'Europe central :

TABLE I (Bâle)

Date	Réponses du Compteur suisse	Réponses du Compteur Biber*	Orages observés Début et fin du tonnerre	Distance minimum de l'orage
4. 6. 57	0	0	(☒) 16.56 — 17.14	10 km
7. 6. 57	17	0	☒ 11.50 — 12.10	
8. 6. 57	2	0	☒ 12.35 — 12.50	
9. 6. 57	0	0	☒ 12.28 — 12.45	
16. 6. 57	0	0	(☒) 13.28 — 15.12	3 km
17. 6. 57	0	31	☒ 18.30 — 20.00	
18. 6. 57	0	4	(☒) 20.50 — 21.30	4 km
20. 6. 57	0	}	(☒) 11.40	
	0	78	☒ 12.23 — 13.07	
21. 6. 57	}	80	☒ 17.15 — 17.45	
	1	34	(☒) 17.55 — 18.22	3 km
		0	(☒) 19.18 — 19.32	10 km
		8	(☒) 19.53 — 20.40	8 km
22. 6. 57	0	3	(☒) 10.40 — 11.15	7 km
	0	18	(☒) 11.45 — 12.00	10 km
	0	1	(☒) 13.28 — 13.42	
24. 6. 57	13	92	☒ 12.08 — 12.35	0,8 km
26. 6. 57	1	4	☒ 14.03 — 14.48	1 km
1. 7. 57	0	0	(☒) 13.11 — 13.24	14 km
	0	}	(☒) 15.18 — 15.40	10 km
	0	20	(☒) 16.00 — 16.35	7 km
7. 7. 57	1	71	☒ 22.50 — 23.55	0,8 km
8. 7. 57	0	7	(☒) 15.11 — 15.35	5 km
	0	1	(☒) 17.02 — 17.06	8 km
	0	3	(☒) 19.11 — 21.00	15—20 km
8./9. 7. 57	6	85	☒ 23.00 — 01.30	0,2 km
10. 7. 57	0	5	(☒) 13.10 — 13.35	10 km
18. 7. 57	0	3	(☒) 17.35 — 18.00	10 km
19. 7. 57	5	69	☒ 15.16 — 16.00	1,5 km
	0	7	(☒) 20.05	10 km
7. 8. 57	0	2	(☒) 08.40 — 09.23	
			(☒) 14.43 — 15.50	
8. 8. 57	0	}	(☒) 22.50 — 23.10	
9. 8. 57	0	3	(☒) 00.25	
	0		(☒) 01.40 — 02.10	10 km
	0	5	(☒) 12.23 — 13.25	10 km
23. 8. 57	0	8	(☒) 16.25 — 17.05	8 km
21. 9. 57	}	}	(☒) 13.30	4—5 km
	6	19	(☒) 16.00 — 17.30	
17. 10. 57	0	4	(☒) 05.30 — 06.00	5 km

* Un compteur d'orages d'un type différent, construit par M. Biber, a fonctionné en parallèle avec le nôtre. Les données ont été aimablement mises à notre disposition par le Dr M. Bider (Observatoire de l'Université de Bâle). Voir schéma fig. 2.

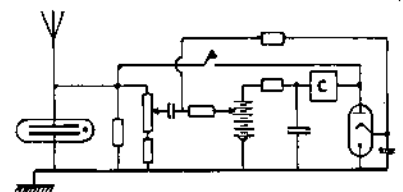


Fig. 2

TABLE II (Payerne)

Date	Réponses du compteur suisse Station aérologique	Orages observés Station pluviométrique Début et fin du tonnerre	Distance minimum de l'orage à la Station pluviométrique
25. 4. 57	2	☒ 15.05 — 15.30	1 km
30. 5. 57	2	(☒) 15.10 — 16.00	10 km
1. 6. 57	} 1	☒ 09.20 — 09.30	2 km
7. 6. 57		☒ 01.15 — 02.00	—
14. 6. 57	0	☒ 18.50 — 19.05	1 km
15. 6. 57	0	(☒) 14.20 — 20.30	5 à 10 km
16. 6. 57	8	☒ 10.50 — 11.00	—
	5	☒ 12.40 — 13.10	—
20. 6. 57	0	(☒) 13.35 — 20.30	15 km et plus
21. 6. 57	} 12	☒ ou (☒) 03.30	—
		☒ 17.50 — 18.30	—
		☒ 22.30 — 23.20	—
7. 7. 57	2	☒ 21.00 — 22.15	—
6. 8. 57	1	(☒) 06.50 — 08.00	5 à 10 km
6./7. 8. 57	10	☒ 23.30 — 00.30	—
11. 8. 57	9	☒ 17.10 — 17.45	—
17.10. 57	—	☒ 03.30 — 03.40	—

Remarques: Le 25.4.57, deux éclairs proches ont été observés à 15.30 h de la station aérologique. Les deux impulsions enregistrées par le compteur d'orage correspondent probablement à ces deux décharges.

Le 1.6.57, un fort coup de tonnerre a été observé de la station aérologique pendant l'orage du matin.

Le 6.8.57 au matin, à environ 8 km au nord de la Station aérologique, une ferme a été incendiée par la foudre. Ce coup de foudre a probablement été enregistré par le compteur d'orage.

TABLE III (Zurich)

Date	Réponses du compteur suisse ISM	Orages observés Schwamendingen Début et fin du tonnerre	Orages observés ISM Début et fin du tonnerre	Orages observés Jardin botanique Début et fin du tonnerre
7. 3. 57	0	—	(☒) 15.30 — 15.50	—
3. 4. 57	0	(☒) 00.10 — 00.15 7 km 2 T. forts	—	—
12. 5. 57	0	(☒) 18.00 — 18.15 10 km	(☒) 18.00	(☒) 17.45 — 18.10
31. 5. 57	0	—	(☒) 15.09 — 15.35	—
1. 6. 57	0	(☒) 16.38 — 17.05 10 km	—	—
4. 6. 57	} 1	(☒) 15.45 — 17.00 10 km	—	—
		(☒) 17.00 — 19.10	—	—
		(☒) 15.55 — 17.00 5 à 10 km	(☒) 15.50 — 16.35 7 km	☒ 18.35 — 19.20
8. 6. 57	0	(☒) 17.20 1 T.	—	—
	0	(☒) 18.08 — 18.11 2 T.	—	—
9. 6. 57	0	(☒) 15.08 — 15.30 10 km	(☒) 15.08	☒ depuis 15.00
	0	(☒) 15.30 — 15.40 10 km	(☒) 15.30 — 17.15 7 km	—
	0	(☒) 16.20 — 17.10	☒ 17.10 — 17.30 2,5 km 3 ou 4 T.	—
	0	☒ 18.32 1 T. fort	—	—
	0	☒ 18.35 1 T. fort	—	—
14. 6. 57	0	(☒) 19.03 — 19.15 10—15 km	(☒) 19.15	—
15. 6. 57	0	—	(☒) 19.00 — 19.15	—
16. 6. 57	} 1	(☒) 13.35 — 15.45 10 km	(☒) 13.55	☒ après-midi
		(☒) 16.15 — 15.45	—	—
		(☒) 18.37 1 T.	—	—
		(☒) 18.50 — 19.15	—	—
17. 6. 57	0	—	(☒) 16.38 2 T. > 3 km	—
	0	—	(☒) 19.53	—
21. 6. 57	5	—	☒ 18.10 — 20.50	☒ depuis 17.55
22. 6. 57	0	—	☒ 12.55 — 13.25	☒ depuis 12.30
24. 6. 57	0	(☒) 13.05 — 13.30	☒ 13.05 — 13.15	☒ 13.15 — 13.25
	0	(☒) 15.15 — 1 T.	—	—
26. 6. 57	0	—	(☒) 11.12 — 11.25	—
	0	—	(☒) 11.40 — 11.50	—
	15	☒ 13.07 — 14.35	☒ 13.07 — 14.40	☒ 13.05 — 14.40

(fin de la Table III, v. page suivante)

TABLE III (Zurich, suite)

Date	Réponses du compteur suisse ISM	Orages observés Schwamendingen		Orages observés ISM		Orages observés Jardin botanique	
		Début et fin du tonnerre		Début et fin du tonnerre		Début et fin du tonnerre	
8. 7. 57	0 * 0 0 0	— — — ☒ 19.10 — 20.20 (☒) 21.20	— — — — —	(☒) 15.30 — 15.47 10 km (☒) 16.40 — 18.00 (☒) 17.00 — 18.00 (☒) 19.40 — 20.00 —	— — ☒ depuis 16.20 — —	— — — — —	— — — — —
9. 7. 57	0 0	— ☒ 19.45 — 20.20	— 5 km	(☒) 15.25 — 15.45 10 km —	— —	— —	— —
18. 7. 57	1 0	☒ 19.16 (☒) 19.28 — 19.35	1 T. très fort	☒ 19.16 1 T. fort —	— —	— —	— —
7. 8. 57	7	☒ 07.40 — 08.05	—	☒ 06.55 — 07.50 (☒) 02.00 — 02.25	☒ 07.30 — 07.40 2 km —	— —	— —
8. 8. 57	0	—	—	(☒) 14.50 — 15.50 10 km (☒) 17.35 — 17.50	☒ 15.10 — 16.00 3 km ☒ 17.30 — 17.50	— —	— —
9. 8. 57	0	—	—	(☒) 13.10 (☒) 16.30 — 17.30	— (☒) 16.30 — 16.45 4 km	— —	— 3 T. faible
11. 8. 57	1	☒ 17.30 — 18.00	—	—	—	—	—
16. 8. 57	0	—	—	—	—	—	—
23. 8. 57	7	{ ☒ 16.30 — 17.25 5 km ☒ 21.03 — 21.15	—	—	—	—	—
2. 9. 57	0	☒ 11.37	—	(☒) 11.37 — 11.45 (☒) 12.07 1 T. assez fort	— —	— —	— —
3. 9. 57	0 0	☒ 12.07 (☒) 13.45	1 T. fort 1 T. lointain	—	—	—	—

Remarque: Pendant l'orage du 26 juin 1957, entre 13.07 h et 14.10 h, le nombre des coups de tonnerre proches (en-deça de 3 km) était de 16. La distance a été évaluée au moyen d'un chronomètre sur la base du temps séparant la lueur de l'éclair et le tonnerre correspondant. Le compteur d'orage a réagi 15 fois.

* Interruption de courant de 16.25 h à 16.55 h.

TABLE IV

Type de compteur	Bâle		Payerne	Zurich
	Compteur suisse	Compteur Biber	Compteur suisse	Compteur suisse
Total enregistré par les compteurs	52	663	57	38
Nombre d'orages proches	11	11	12	13
Nombre d'orages proches sans effet sur le compteur	3	3	2	5
Nombre d'orages éloignés ayant agi sur le compteur	1	20	2	0
Nombre d'orages non enregistrés par suite de pannes de courant	0	0	0	1
Distance maximum à laquelle le compteur a donné une réponse	4 à 5 km	10 km	10 km	< 3 km

Remarque: A Payerne et à Zurich, les compteurs d'orages ont été en fonction toute l'année; à Bâle, dès le 4 juin 1957 seulement.

De la table IV découlent les remarques suivantes:

1. Il existe une similitude entre les réponses reçues tant à Payerne qu'à Bâle par les compteurs suisses malgré leur sensibilité différente.

2. A Bâle, la comparaison des réponses des deux types de compteur montre qu'une augmentation de la sensibilité équivaut à une augmentation de la distance de prospection et, en général, à l'enregistrement d'un plus grand nombre d'éclairs (le compteur Biber est plus sen-

sible que le compteur suisse). On voit d'autre part que des orages proches peuvent être sans effet aussi bien sur un compteur sensible que sur un compteur à portée limitée.

3. Le compteur de Zurich est le moins sensible (c'est à dessein qu'il a été réglé de cette manière). Les contrôles faits pendant certains orages permettent pratiquement d'affirmer que les 38 décharges enregistrées représentent en 1957 le nombre des coups de foudre aux environs de l'Institut, en-deça de 3 km.

Discussion des résultats:

La première constatation qui s'impose est qu'à toute réaction du compteur d'orages correspond un éclair ou un coup de foudre.

La réciproque est moins rigoureuse, le compteur n'étant pas sensible à toutes les décharges.

En effet:

1. L'expérience montre que, dans le domaine de prospection du compteur, les coups de foudre (décharges nuage-sol) sont toujours enregistrés.

2. En revanche, les décharges dans les nuages le sont plus rarement.

a) Or, il arrive souvent que les décharges nuages/sol soient peu nombreuses, voire inexistantes, quand bien même les décharges dans les nuages sont fréquentes.

b) Spécialement pendant la saison d'hiver, les orages sont peu actifs quant au nombre des décharges. Les observateurs ont des difficultés à en estimer la distance; peut-être même les orages passeront-ils inaperçus. En comparant les renseignements de sources différentes concernant le même phénomène, on est parfois frappé par les divergences existantes. Les orages nocturnes ou peu actifs entrent dans cette catégorie de phénomènes.

Conclusions

Avant d'établir un réseau de compteurs d'orages, il faudrait préciser d'une manière formelle les buts qu'on se propose d'atteindre, dans le sens de ce qui vient d'être dit:

— ou bien il s'agit de faire le décompte des coups de foudre (décharges nuages/sol) et de déceler les endroits où ils sont les plus fréquents; les mailles d'un tel réseau seront serrées, les compteurs étant peu sensibles;

— ou bien il s'agit de connaître le nombre annuel de jours d'orages. Dans ce cas, une grande sensibilité du compteur est de rigueur, la portée à atteindre étant celle

fixée par la limite audible du tonnerre, qui est en général de l'ordre de 10 à 15 km; les mailles de ce réseau seront lâches.

Cette dernière application nécessiterait une modification de la définition suisse du «jour d'orage», qui est ainsi conçue:

Est compté comme jour d'orage un jour pendant lequel un ou plusieurs orages ont été observés à l'intérieur d'une circonférence de rayon de 3 km centrée à la station, en négligeant tous ceux qui se seraient produits au-delà.

Il s'agirait donc d'agrandir ce cercle de prospection en choisissant un rayon correspondant à la limite audible du tonnerre. En divisant un territoire en parcelles, il serait possible de placer un compteur au centre de chacune d'elles. On obtiendrait une répartition des jours d'orages pour le territoire entier, étant entendu que, pour chaque parcelle, serait compté comme *jour d'orage* toute journée au cours de laquelle une ou plusieurs impulsions auraient été enregistrées par le compteur. La définition internationale du jour d'orage serait rejointe. Les résultats obtenus auraient l'avantage de ne plus dépendre du facteur objectif lié étroitement à chaque observateur.

On voit d'ici l'utilité de tels appareils: Dans une ville ou sur un aéroport, où le bruit des décharges est, la plupart du temps, noyé dans le brouhaha ambiant, une lecture journalière permettrait de se rendre compte si effectivement il y a eu orage ou non dans le domaine défini par l'appareil.

Dans des endroits dénués de stations météorologiques il serait possible de déterminer le nombre de journées d'orages par année, à condition de faire un relevé quotidien du compteur.

Cette brève notice laisse donc sciemment ouverte la question de l'installation en grand des compteurs d'orages. C'est aux organes compétents de l'OMM d'exprimer le vœu final concernant cette technique radio-climatique pour son emploi dans le réseau mondial.

Localisation de l'orage du 5 septembre 1958 dans la région londonienne par les radiogoniographes à secteur étroit du réseau suisse

et

Comparaison de l'enregistrement du radiogoniomètre à rayon cathodique avec l'enregistrement du radiogoniographe à secteur étroit

par Jean Rieker

Dans la soirée du vendredi 5 septembre 1958, un orage d'une violence considérable provoquait de terribles dégâts dans le sud de l'Angleterre et, plus particulièrement, dans le bassin londonien. A Crawley, dans le Sussex ($51^{\circ} 05' N - 00^{\circ} 13' W$), le vent tempêteux souleva des toits, tandis qu'à Horsham, à quelque 10 km au sud-ouest de Crawley, les grêlons — dont quelques-uns atteignaient 6 cm de diamètre — causaient des dommages appréciables à l'agriculture. Des éclairs extrêmement nombreux (au rythme de 25 par minute, paraît-il) illuminèrent pendant deux heures le ciel de la capitale. En Grande-Bretagne, cette tempête orageuse est caractérisée par les météorologistes comme étant la plus terrible du siècle.

Les radiogoniogrammes de Zurich (1) et de Payerne ont permis de retrouver la trajectoire de ce foyer orageux (2). Tandis que l'enregistrement de ce dernier débutait à Payerne vers 1430 TMG sous l'azimut de 308° , il ne devenait perceptible à Zurich qu'à partir de 1500 TMG sous l'azimut de 302° approximativement. Dès 1600 TMG toutefois, alors que le nombre des éclairs est devenu suffisamment élevé, son azimut peut être lu avec une meilleure précision (voir fig.). Il est de 304° .

Un premier recoupement effectué vers 1500 TMG donnerait grosso modo le point $50^{\circ} 50' N - 01^{\circ} 50' W$. Le déplacement azimutal du foyer est faible aussi bien à Zurich qu'à Payerne. Par rapport à ces deux stations, l'orage se dirige vers le nord.

A partir de 1800 TMG environ, les points sont si nombreux qu'il n'est plus possible de les distinguer. La colonie est représentée par une plage noire, ce qui confirme le nombre très élevé d'éclairs. C'est probablement vers 1900 TMG que celui-ci atteint son maximum. A cette heure-là, l'azimut est de 311° à Zurich et de 319° à Payerne. Le recoupement graphique fixe le centre de l'orage dans le voisinage de Londres (voir fig., angle inférieur gauche).

En calculant cette position à partir des coordonnées de Zurich ($47^{\circ} 23' N - 08^{\circ} 34' E$) et de Payerne ($46^{\circ} 49' N - 06^{\circ} 57' E$), on obtient le point: $51^{\circ} 40' N - 00^{\circ} 22' W$. La distance séparant ce point de Zurich est

de $07^{\circ} 18'$ d'arc, soit de 812 km. Rappelons à titre de comparaison que la distance Zurich—Payerne n'est que de $01^{\circ} 14'$ d'arc, soit de 138 km. La position du centre de l'orage ainsi calculée se trouve à 22 km, assez exactement au nord-nord-est de l'aéroport de Londres ($51^{\circ} 29' N - 00^{\circ} 27' W$).

Dès 2000 TMG environ, le foyer perd subitement sa grande activité, tout en continuant à poursuivre sa trajectoire vers le nord-est.

Il est remarquable de constater que la position du foyer est déterminée avec une exactitude relativement grande, malgré son éloignement considérable et la faible distance qui sépare les deux radiogoniographes du réseau suisse.

* * *

Conformément à une résolution du Comité Exécutif de l'Organisation Météorologique Mondiale, à Genève, concernant la comparaison des techniques de détection des orages, cette étude a été complétée par les enregistrements photographiques obtenus sur l'écran du radiogoniomètre à rayon cathodique (3) (4), installé à l'Institut suisse de météorologie dans le courant de 1954. Un dispositif spécial permettant de lever le doute à 180° y a été adapté (5). Les temps de pause sont de 15 minutes, la première photographie débutant à 1900 TMG, la seconde à 2000 TMG. En les comparant entre elles, on constate que le foyer se déplace également vers le nord.

Signalons la présence d'une erreur d'inscription de 10° sur les photos: sur la première, on voudra bien lire 301° (au lieu de 311°), sur la seconde 306° (au lieu de 316°). En examinant maintenant plus en détail les enregistrements photographiques et le radiogoniogramme aux heures correspondantes, on constate que les azimuts du foyer en question diffèrent quelque peu. En effet, tandis qu'à 1900 TMG l'enregistrement photographique fixe l'azimut du centre orageux vers 304° et à 2000 TMG vers 308° , on le trouve situé sur le radiogoniogramme vers 311° à 1900 TGM et vers 315° à 2000 TMG. Il existe donc un écart de 7° environ entre les lectures.

Le recoupement décrit ci-avant montre de façon satisfaisante que le radiogoniogramme de Zurich donne une image assez exacte de la position du foyer. Les écarts trouvés doivent être plutôt attribués au radiogoniomètre à rayon cathodique. Deux sources d'erreur peuvent contribuer à fausser son enregistrement:

1. La position des cadres récepteurs par rapport à la configuration du terrain environnant (6).

Ceux-ci sont situés sur le toit en béton de l'Institut suisse de météorologie, à proximité de la ligne d'alimentation du tram. D'autre part, le terrain environnant est loin d'être plat, l'Institut se trouvant sur le flanc sud d'une colline.

2. Les phénomènes de polarisation et d'interférences (6) (7).

En effet, pendant l'orage londonien, le soleil se couchait vers 1800 TMG à Zurich (sol) et vers 1940 TMG à 100 km au-dessus de Londres. Or, on sait qu'au lever et au coucher du soleil, la propagation des ondes subit des altérations sensibles. Étant donné, d'autre part, la distance Londres—Zurich, les ondes ionosphériques pouvaient interférer avec les ondes directes.

Les comparaisons antérieures des deux méthodes de détection (5) ont toujours eu lieu soit pendant la nuit, soit pendant la journée, mais encore jamais au lever ou au coucher du soleil. Depuis le début de la comparaison

entreprise à l'Institut suisse de météorologie, de telles différences d'angle n'avaient jamais été constatées. C'est également la première fois, depuis la mise en exploitation du radiogoniomètre à rayon cathodique, qu'un foyer aussi intense et aussi éloigné est vu sous cet azimut. Il est donc difficile de dire si, dans des conditions homogènes de propagation, c'est-à-dire pendant la journée ou la nuit, il existe dans ce secteur des divergences de cet ordre de grandeur.

Ce qui surprend en examinant les enregistrements photographiques, c'est le vaste secteur couvert par les décharges. Si on tient compte de l'angle d'ouverture du radiogoniographe à secteur étroit (accordé sur 27 kc/s, soit 11 km), donc de l'effet dispersif provoquant l'élargissement à gauche et à droite de la colonne de points, on devrait s'attendre à ce que l'orage soit représenté sur l'enregistrement du radiogoniomètre à rayon cathodique (accordé sur 16 kc/s, soit 30 km) par un mince faisceau, comme c'est le cas pour les foyers enregistrés au même moment entre l'ouest et le sud-ouest.

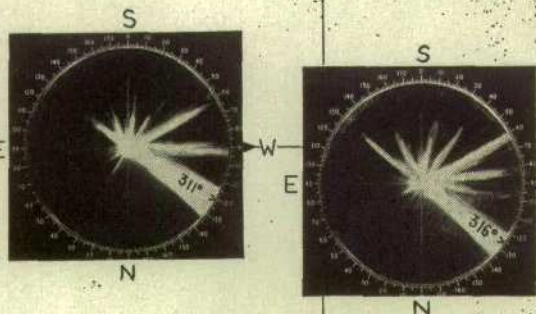
Ce phénomène d'étalement peut être probablement attribué à l'effet perturbateur des couches ionosphériques réfléchissantes, causé par le coucher du soleil. Les écarts d'azimut constatés plus haut seraient par contre dus à des influences locales, sans toutefois que soit exclue la possibilité que les phénomènes de polarisation et d'interférences puissent y jouer également un rôle important.

Littérature:

1. *Jean Lugeon*. Le radiogoniographe de la Station centrale suisse de météorologie et son utilisation pour la prévision du temps. Ann. MZA, 1939.
2. *Jean Lugeon et Jean Rieker*. Le recoupement radiogoniographique des tempêtes orageuses dans un rayon de 600 km autour de la base Payerne—Zurich. Actes SHSN, Berne 1952, p. 118 à 119.
3. *C. V. Ockenden*. Sferics. The Meteorological Magazine, 1947. Vol. 76, p. 78 and 79.
4. *F. Horner*. New Design of Radio Direction Finder for Locating Thunderstorms. The Meteorological Magazine, 1954. Vol. 83, p. 137 and 138.
5. *Jean Lugeon et Jean Rieker*. Comparaison entre le radiogoniographe à secteur étroit et le radiogoniomètre à rayon cathodique. Actes SHSN, Glaris 1958 (à l'impression).
6. *F. Horner*. The Accuracy of the location of sources of atmospheric by radio Direction-Finding. The Proceedings of the IEE. Vol. 101, Part. III, No 74, Nov. 1954.
7. *F. Horner*. Very-Low-Frequency propagation and Direction-Finding. The Proceeding of the IEE. Vol. 104, Part B, No 14, March 1957.

Errata: Sur la 1^{re} photo de la fig., lire 301° au lieu de 311°, sur la 2^e photo de la fig., lire 306° au lieu de 316°.

0706 TMG



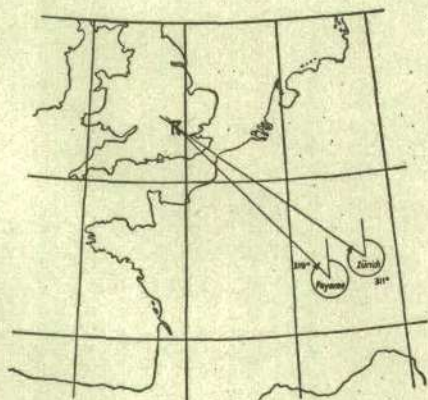
1800

1900

2000

0702

0705 TMG



1800

1900

2000

0700

Localisation du violent orage dans le region de Londres, le 5. septembre 1958 à 1900 T.M.G.

Der Temperaturverlauf in der Schweiz seit dem Beginn der meteorologischen Beobachtungen

auf Grund der Jahresmittel von 12 Stationen seit 1864 sowie der älteren Beobachtungsreihen von Basel, Genf, dem Gr. St. Bernhard und St. Gotthard.

Als Neufassung und Fortsetzung des «Klimas der Schweiz» von Maurer, Billwiller und Heß [1] soll im Laufe der nächsten Jahre im Anhang der Annalen eine neue Klimatologie der Schweiz erscheinen. Zur Vorbereitung der Temperaturreduktionen für das gesamte Stationsnetz erwies es sich als notwendig, einzelne Reihen für die verschiedenen Klimaregionen der Schweiz eingehend zu bearbeiten. Es wurden aus dem Beobachtungsmaterial, verteilt auf die hauptsächlichsten Gebiete, langjährige, zuverlässig erscheinende Reihen ausgesucht und diese mit Hilfe der Nachbarstationen auf ihre Homogenität geprüft. Dabei wurden bei der Auswahl der 12 Stationen nicht nur die einzelnen Landesteile, sondern auch die verschiedenen Höhenlagen berücksichtigt. Auf die Talregion unter 900 m, welche nach Kündig [2] 18 530 km² umfaßt, fallen 6 Stationen, auf die Stufe 900—1800 m mit 11 060 km² 3 Stationen und auf die Höhenlagen über 1800 m mit 11 710 km² ebenfalls 3 Stationen. Einzelne, nicht bis zum Beginn der meteorologischen Beobachtungen im Jahr 1864 zurückreichende Reihen wurden mit Hilfe von Nachbarstationen nach rückwärts verlängert, so z. B. die Säntisreihe (2500 m) vor dem September 1882 mit Hilfe der zwar niedriger, aber ziemlich ähnlich gelegenen Station Rigi-Kulm (1787 m). Auch im Jura mußte eine Kombination von zwei Bergstationen als günstigste Grundreihe gewählt werden. Die einzige, bis zum Jahr 1864 zurückreichende Reihe Chaumont (etwa 1150 m) ist infolge unsicherer Partien in den Jahren nach 1923 und der Verlegung im Jahre 1933 in neuerer Zeit weniger geeignet als die im Jahre 1908 beginnende Reihe des Mont Soleil (1174 m), der 15 km nördlich des Chaumont liegt. Die alten Chaumont-Reihen wurden daher auf den Mont Soleil reduziert. — Südlich der Alpen besitzen wir zwar eine 1864 beginnende Reihe in Lugano, doch zeigt sich vom Ende der dreißiger Jahre bis etwa zum Jahre 1948 eine allmähliche Erwärmung um mehr als einen halben Grad, trotzdem keine Stationsverlegung stattfand. Daher wurde mit Hilfe der hauptsächlichsten Beobachtungsreihen der Alpensüdseite, d. h. Lugano, Locarno-Muralto, Bellinzona und Comprovasco, eine auf das seit 1935 bestehende meteorologische Institut in Locarno-Monti reduzierte Reihe gebildet und diese damit bis 1864 zurück verlängert.

Die 12 Reihen, welche, wie bereits erwähnt, die notwendigen Grundlagen zur weiteren Bearbeitung der übrigen Stationen liefern sollen, geben infolge ihrer gleichmäßigen Verteilung zugleich die gebietsmäßig ausgeglichenen säkularen Temperaturschwankungen seit 1864 im schweizerischen Raum wieder. Einzelne weiter zurückreichende

Reihen liefern Anhaltspunkte über den Temperaturverlauf seit der Mitte des 18. Jahrhunderts. Für die Bergstationen besitzen wir außer einer 11½jährigen Gottthard-Reihe von 1781—1792 allerdings erst ab 1818 die Werte des Gr. St. Bernhard, doch für die beiden Talstationen Basel und Genf lassen sich (mit Hilfe einer Zusatzreihe 1753—1782 von Neuchâtel) die Mittelwerte bereits ab 1755 angeben. Die vollständigen Reihen (Monats- und Jahresmittel) sollen in der neuen «Klimatologie der Schweiz» erscheinen, sobald das Jahreszehnt 1951—1960 vollständig sein wird. Wir geben nachfolgend in Tab. 1 und Fig. 1 übersichtshalber die Jahresmittel und den für das Klimagepräge wichtigen Temperaturunterschied Sommer (Juni—August) — Winter (Dezember—Februar) wieder. Dieses ΔT Sommer—Winter, welches angenähert den Verlauf der Jahresschwankung wiedergibt, wurde gewählt, um Unsicherheiten in der Bestimmung einzelner Monatswerte in den älteren Reihen weitgehend zu eliminieren. Um die kurzperiodischen Schwankungen auszuschalten, wurden ferner für den Temperaturverlauf $\frac{1}{2}$ (Basel + Genf) übergreifende 30-jährige Mittelwerte gebildet. Aus den ΔT -Werten Sommer—Winter und den 30jährigen Mitteln sind die Schwankungen der klimatischen Verhältnisse in den zwei letzten Jahrhunderten gut zu erkennen: die allmähliche Erwärmung seit etwa 1850 und die bedeutende Abnahme der Jahresschwankung vom 18. Jahrhundert bis zum Tiefpunkt in der Periode 1900—1935, auf welche schon A. Wagner [3] hingewiesen hat.

Bevor wir im Schlußabschnitt näher auf die Ergebnisse eingehen, sollen nachfolgend die Bearbeitungsmethoden der verwendeten Reihen und die Stationsgeschichte besprochen werden, ist es doch wesentlich, die Zuverlässigkeit der Grundlagen zu kennen. Für die Station *Basel* können wir auf die im Archiv für Geophysik, Meteorologie und Bioklimatologie erscheinende ausführliche Arbeit M. Bider, M. Schüepp und H. v. Rudloff [4] verweisen, in welcher sowohl die Grundlagen für die Reduktionen als auch die einzelnen Monatsmittel angegeben sind. Die Basler und die Genfer Reihe wurden besonders eingehend bearbeitet, da im 18. und 19. Jahrhundert viele Schwierigkeiten auftraten, teils durch Unterbrüche in den Reihen, wie z. B. in Basel von 1805—1825, wo Hilfsstationen verwendet werden mußten, teils durch Instrumentalkorrekturen, Wechsel der Beobachtungszeiten, Strahlungsfehler usw. Nicht nur bei Basel, sondern auch bei Genf waren mehrere Reihen aneinander anzuschließen.

Fig. 1

Temperaturverlauf in der Schweiz und in den angrenzenden Gebieten seit 1761

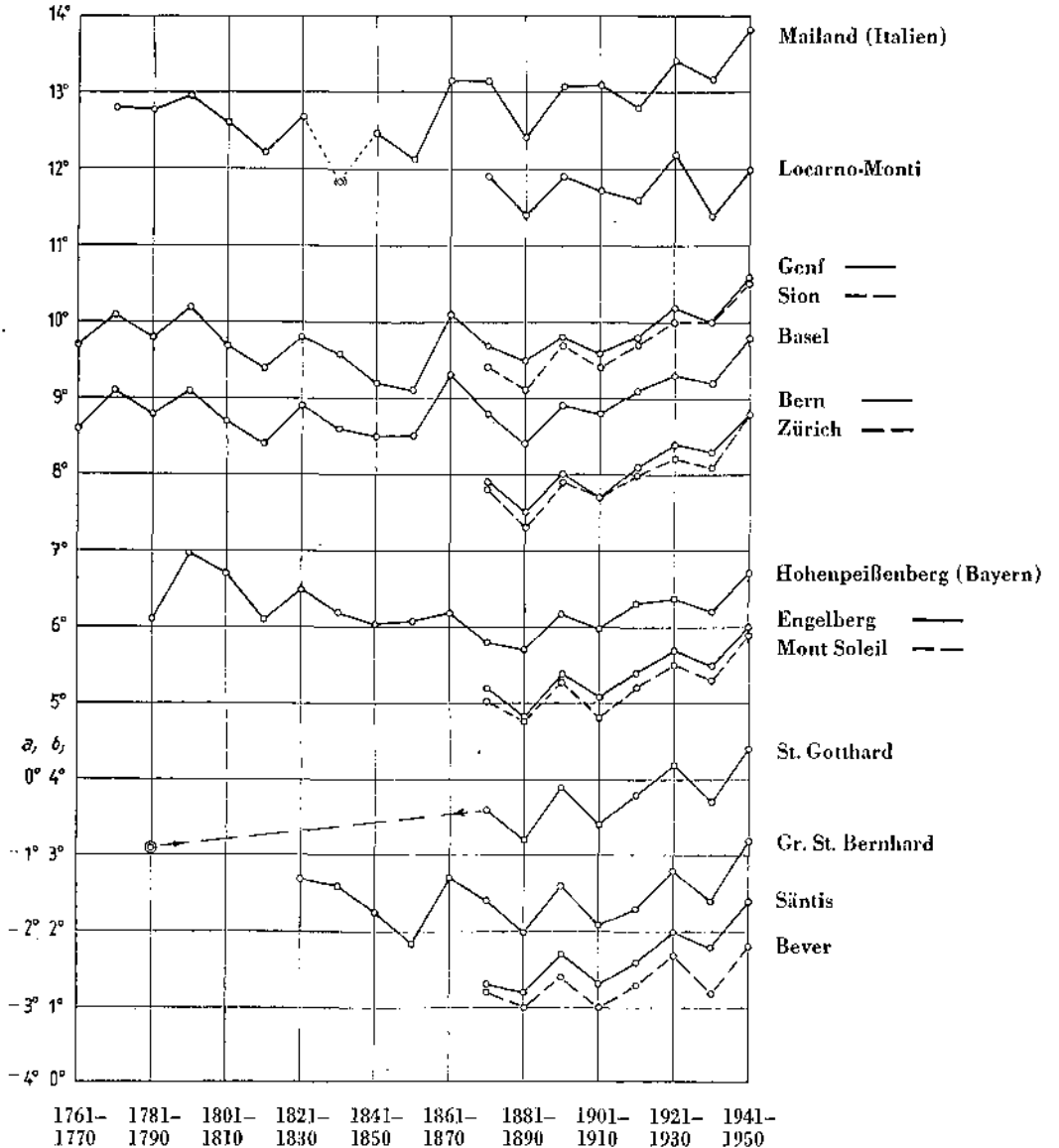
A) Dezenniemittel der Temperatur

a) Temperaturskala für St. Gotthard, Gr. St. Bernhard, Säntis

b) Temperaturskala für die übrigen Stationen

Dezenniemittel aller Stationen (außer Mailand und Hohenpeißenberg):

1861—1870	(5.54)
1871—1880	5.19
1881—1890	4.87
1891—1900	5.37
1901—1910	5.05
1911—1920	5.30
1921—1930	5.68
1931—1940	5.39
1941—1950	6.01
(1951—1957)	(5.56)



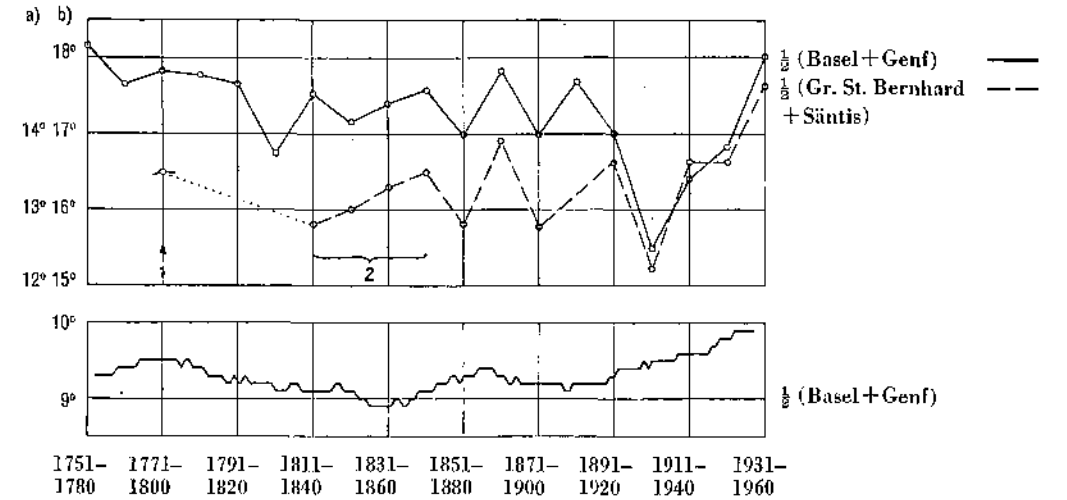
B) Temperaturdifferenz AT Sommer-Winter in der Niederung und auf 2500 m Höhe

1) Gotthard reduziert auf $\frac{1}{2}$ (Gr. St. Bernhard + Säntis) 1781 bis 1790 *

2) Gr. St. Bernhard reduziert auf $\frac{1}{2}$ (Gr. St. Bernhard + Säntis) 1821—1860 *

* auf Grund der Vergleichsperiode 1864—1940

C) 30jährige Temperaturmittel $\frac{1}{2}$ (Basel + Genf)



Tab. 1, S. 11/3—11/5 Jahresmittel der Temperatur

Kursivschrift = Lustrensummen

Höhenangaben der Stationen:		Basel	317 m	Zürich	569 m	Bever	1712 m
		Genf	405 m	Locarno-Monti	379 m	St. Gotthard	2095 m
Mailand	147 m	Sion	549 m	Engelberg	1018 m	Gr. St. Bernhard	2479 m
Hohenpeißenberg	994 m	Bern	572 m	Mont Soleil	1174 m	Säntis	2500 m

Jahresmittel der Temperatur für 12 Stationen des schweizerischen klimatologischen Beobachtungsnetzes

Jahr	Basel	Genf	Sion	Bern	Zürich	Locarno	Engelberg	Mont Soleil	Bever	St. Gotthard	Gr. St. Bernhard	Säntis	Mittelwert		30 jähr. Mittel	Δ T Sommer - Winter	
	1)	2)	3)	4)	5)	6)	7)	8)	9)	10)	11)	12)	1)+2)	1)-12)	7)+2)	1)+2)	11)+12)
1861	9.1	9.8	—	—	—	—	—	—	—	—	-1.0	—	9.5	—	8.9	18.3	—
1862	9.9	10.7	—	—	—	—	—	—	—	—	-0.9	—	10.3	—	9.0	17.2	—
1863	9.8	10.4	—	—	—	—	—	—	—	—	-0.8	—	10.1	—	9.0	16.9	—
1864	7.8	9.1	9.0	6.6	6.7	11.2	4.3	4.7	0.5	-0.8	-2.0	-3.0	8.5	4.5	8.9	18.1	12.9
1865	9.6	10.4	10.4	8.2	8.4	12.0	5.7	5.9	1.4	-0.2	-1.2	-1.8	10.0	5.7	8.9	18.6	14.9
	46.2	50.4	—	—	—	—	—	—	—	—	-5.9	—	48.4	—	44.7	89.1	—
1866	9.8	10.5	10.2	8.7	8.8	11.8	6.0	5.9	1.9	-0.1	-0.9	-2.0	10.2	5.9	9.0	14.9	10.7
1867	9.1	9.9	9.7	7.9	8.1	12.4	5.5	5.1	1.9	-0.7	-1.4	-2.6	9.5	5.4	9.0	14.9	11.1
1868	10.1	10.8	10.4	9.1	9.2	12.6	6.1	6.1	2.0	0.2	-0.9	-1.6	10.4	6.2	9.1	18.4	14.8
1869	9.0	10.0	10.0	8.1	8.2	12.0	5.4	5.3	1.6	-0.3	-1.6	-2.7	9.5	5.4	9.1	13.3	10.6
1870	8.3	9.6	9.5	7.5	7.4	11.9	4.6	4.6	1.0	-0.9	-2.2	-3.5	9.0	4.8	9.3	19.2	14.2
	46.3	50.8	49.8	41.3	41.7	60.7	27.6	27.0	8.4	-1.8	-7.0	-12.4	48.6	27.7	45.3	80.7	61.4
1871	7.7	8.9	8.8	6.9	6.9	11.6	4.0	4.5	0.0	-0.6	-2.1	-3.1	8.3	4.5	9.1	19.0	14.5
1872	9.8	10.3	10.3	8.6	8.8	12.0	6.2	6.0	2.0	0.2	-1.3	-1.8	10.0	5.9	9.1	18.4	13.6
1873	9.4	10.2	9.8	8.2	8.5	12.4	5.5	5.5	1.6	0.2	-1.2	-2.0	9.8	5.7	9.2	17.0	13.6
1874	8.8	9.6	9.6	7.6	7.8	12.1	5.0	5.2	0.9	-0.4	-1.8	-2.7	9.2	5.1	9.2	17.9	13.1
1875	8.8	9.9	9.3	7.9	7.9	11.8	4.9	5.1	1.1	-0.1	-1.5	-2.8	9.4	5.2	9.2	17.9	15.6
	44.5	48.9	47.8	39.2	39.9	59.9	25.6	26.3	5.6	-0.7	-7.9	-12.4	46.7	26.4	45.8	90.2	70.4
1876	9.3	10.0	9.8	8.4	8.2	12.0	5.6	5.5	1.6	-0.3	-1.5	-2.6	9.6	5.5	9.2	18.7	14.3
1877	9.4	10.3	9.7	8.8	8.3	12.1	5.6	4.7	1.5	-0.8	-1.8	-2.9	9.9	5.4	9.3	14.7	13.6
1878	8.6	9.4	8.9	7.6	7.4	12.0	4.9	4.4	0.9	-0.9	-2.1	-3.1	9.0	4.8	9.3	16.4	13.0
1879	7.2	8.4	8.3	6.4	6.3	11.0	4.3	3.7	0.5	-1.5	-2.3	-3.6	7.8	4.1	9.2	17.3	14.8
1880	9.2	10.2	9.8	8.2	8.3	12.1	5.7	5.5	2.0	0.5	-0.7	-2.1	9.7	5.7	9.3	20.8	13.1
	43.7	48.3	46.5	39.4	38.5	59.2	26.1	23.8	6.5	-3.0	-8.4	-14.3	46.0	25.5	46.3	87.9	68.8
1881	8.7	9.9	9.5	7.9	7.7	12.0	5.2	4.8	1.5	-0.1	-1.5	-2.5	9.3	5.3	9.3	16.9	14.0
1882	9.0	9.7	9.3	7.9	8.0	11.9	5.3	5.1	1.7	-0.3	-1.4	-2.4	9.3	5.3	9.3	15.8	9.4
1883	8.7	9.5	9.1	7.7	7.4	11.4	4.8	4.6	0.8	-1.3	-2.4	-3.3	9.1	4.8	9.3	14.3	11.5
1884	9.3	10.3	9.7	8.3	8.1	12.1	5.4	5.5	1.5	-0.3	-1.4	-2.6	9.8	5.5	9.4	15.2	11.1
1885	8.7	10.0	9.4	8.0	7.7	11.7	5.1	5.1	1.9	0.0	-1.5	-2.2	9.3	5.3	9.4	17.1	12.9
	44.4	49.4	47.0	39.8	38.9	59.1	25.8	25.1	7.4	-2.0	-8.2	-13.0	46.8	26.2	46.7	79.3	58.9
1886	8.8	10.0	9.6	8.1	7.7	11.6	5.1	5.4	1.3	-0.9	-1.9	-2.5	9.4	5.2	9.4	17.8	13.6
1887	7.5	8.7	8.5	6.7	6.4	10.8	4.1	4.5	-0.2	-1.6	-2.4	-3.2	8.1	4.2	9.4	19.3	15.2
1888	7.7	9.0	8.8	6.9	6.7	10.8	4.6	4.5	0.5	-1.3	-2.2	-2.9	8.4	4.4	9.4	17.7	14.5
1889	7.9	9.0	8.4	6.8	6.8	11.1	4.1	3.8	0.7	-1.6	-2.5	-3.3	8.4	4.3	9.3	18.2	13.5
1890	7.8	8.7	8.8	6.8	6.6	11.0	4.5	4.3	0.5	-0.9	-2.4	-2.8	8.3	4.4	9.3	17.2	11.9
	39.7	45.4	44.1	35.3	34.2	55.3	22.4	22.5	2.8	-6.3	-11.4	-14.7	42.6	22.5	46.8	90.2	68.7
1891	8.0	8.9	8.7	6.9	6.9	11.0	4.4	4.4	0.6	-0.9	-2.0	-2.9	8.4	4.5	9.3	20.3	13.3
1892	8.8	9.8	9.7	7.9	8.0	11.8	5.2	5.1	1.1	-0.4	-1.6	-2.5	9.3	5.2	9.2	16.7	13.6
1893	9.2	10.3	10.0	8.4	8.2	12.3	5.4	5.8	1.4	0.0	-1.3	-2.3	9.8	5.6	9.2	19.7	15.0
1894	8.9	9.9	9.8	8.0	7.9	11.8	5.3	5.1	1.2	-0.1	-1.2	-2.4	9.4	5.4	9.3	17.0	12.8
1895	8.5	9.4	9.2	7.7	7.5	11.4	5.0	4.8	1.2	-0.6	-1.8	-2.8	9.0	5.0	9.2	21.4	16.9
	43.4	48.3	47.4	38.9	38.5	58.3	25.3	25.2	5.5	-2.0	-7.9	-12.9	45.9	25.7	46.2	95.1	71.6
1896	8.3	8.9	8.7	7.4	7.1	11.2	4.5	4.1	0.6	-0.7	-2.2	-2.8	8.6	4.6	9.2	16.8	10.8
1897	9.3	9.9	9.9	8.4	8.1	12.0	5.8	5.6	1.8	0.3	-1.0	-1.8	9.6	5.7	9.2	16.9	13.4
1898	9.4	10.1	10.3	8.5	8.4	12.5	6.0	6.1	2.0	0.8	-0.8	-1.5	9.8	6.0	9.2	16.2	11.3
1899	9.2	10.3	10.3	8.4	8.4	12.6	6.0	6.0	1.8	0.5	-0.7	-1.8	9.8	5.9	9.2	15.3	11.5
1900	9.6	10.3	10.3	8.6	8.4	12.4	5.9	5.7	2.0	0.1	-1.3	-2.1	10.0	5.8	9.2	16.6	13.5
	45.8	49.5	49.5	41.3	40.4	60.7	28.2	27.5	8.2	1.0	-6.0	-10.0	47.8	28.0	46.0	81.8	60.5
1901	8.4	9.2	9.1	7.3	7.3	11.2	4.7	4.5	0.6	-1.1	-2.3	-3.0	8.8	4.7	9.2	18.2	14.9
1902	8.6	9.4	9.4	7.7	7.5	11.6	5.1	4.8	1.3	-0.3	-1.7	-2.4	9.0	5.1	9.2	16.1	12.1
1903	9.0	9.5	9.6	7.7	7.8	11.5	5.4	5.1	0.8	-0.5	-1.8	-2.4	9.2	5.1	9.2	15.4	11.4
1904	9.5	10.3	9.8	8.6	8.4	12.4	6.0	5.7	1.6	0.3	-1.1	-1.9	9.9	5.8	9.2	18.4	15.5
1905	8.8	9.6	9.2	7.7	7.7	11.5	4.8	4.3	0.9	-0.8	-2.1	-3.0	9.2	4.9	9.2	18.6	14.8
	44.3	48.0	47.1	39.0	38.7	58.2	26.0	24.4	5.2	-2.4	-9.0	-12.7	46.1	25.6	46.0	86.7	68.7
1906	9.1	9.9	9.7	8.1	8.0	12.2	5.1	4.7	0.9	-0.7	-1.8	-2.8	9.5	5.2	9.2	17.1	13.7
1907	8.8	9.6	9.3	7.8	7.8	11.9	5.2	5.0	1.3	-0.5	-1.7	-2.6	9.2	5.2	9.1	18.2	15.7
1908	8.3	9.3	9.4	7.4	7.3	11.7	4.9	5.1	0.8	-0.1	-1.6	-2.3	8.8	5.0	9.1	17.0	12.7
1909	8.3	9.0	9.0	7.2	7.2	11.2	4.4	4.1	0.8	-1.1	-2.5	-3.4	8.7	4.5	9.2	16.9	13.3
1910	9.0	9.7	9.3	7.9	7.9	11.5	5.2	4.7	1.1	-1.0	-2.5	-3.1	9.4	5.0	9.2	14.1	12.4
	43.5	47.5	46.7	38.4	38.2	58.5	24.8	23.6	4.9	-3.4	-10.1	-14.2	45.6	24.9	45.8	83.3	67.8

Jahresmittel der Temperatur für 12 Stationen des schweizerischen klimatologischen Beobachtungsnetzes

Jahr	Basel	Genf	Sion	Bern	Zürich	Locarno	Engel- berg	Mont Solcil	Bever	St. Gothard	Gr. St. Bernhard	Säntis	Mittelwert		30 jäh. Mittel	ΔT Sommer - Winter	
	1)	2)	3)	4)	5)	6)	7)	8)	9)	10)	11)	12)	1)-2)	1)-12)	1)-2)	1)-2)	11)-12)
1911	9.8	10.6	10.4	8.8	8.8	12.2	6.0	6.3	1.3	0.6	-0.8	-1.6	10.2	6.0	9.2	18.7	14.4
1912	8.8	9.5	9.3	7.7	7.6	11.2	5.3	5.0	1.1	-0.6	-1.9	-3.0	9.2	5.0	9.2	13.1	10.0
1913	9.4	10.0	10.1	8.3	8.2	11.8	5.9	5.6	1.5	-0.2	-1.5	-2.3	9.7	5.6	9.2	14.3	10.2
1914	8.9	9.5	9.3	7.8	7.7	11.4	5.2	4.9	1.3	-0.2	-1.7	-2.3	9.2	5.1	9.2	16.4	11.4
1915	9.1	9.8	9.3	7.9	7.8	11.2	5.1	4.6	1.3	-0.8	-2.3	-3.1	9.4	5.0	9.2	15.3	14.5
	46.0	49.4	48.4	40.5	40.1	57.8	27.5	26.4	6.5	-1.2	-8.2	-12.3	47.7	26.7	46.0	77.8	60.5
1916	9.4	9.7	9.6	8.2	8.2	11.5	5.5	5.2	1.5	-0.3	-1.9	-2.6	9.5	5.3	9.2	12.4	10.6
1917	8.3	9.0	8.8	7.2	7.2	11.1	4.4	4.2	0.2	-0.8	-2.4	-3.0	8.6	4.5	9.2	18.1	15.2
1918	9.1	9.8	9.8	8.2	8.0	11.6	5.6	5.7	1.6	0.1	-1.3	-1.9	9.5	5.5	9.2	17.3	12.2
1919	8.7	9.5	9.3	7.8	7.5	11.6	4.7	4.4	0.4	-1.1	-2.6	-3.4	9.1	4.7	9.3	15.4	12.6
1920	9.3	10.6	10.6	8.8	8.5	12.4	6.3	6.3	2.4	1.1	-0.5	-0.7	9.9	6.3	9.3	13.9	11.1
	44.8	48.6	48.1	40.2	39.4	58.2	26.5	25.8	6.1	-1.0	-8.7	-11.6	46.6	26.3	46.2	77.1	61.7
1921	9.9	10.8	10.9	9.0	8.9	12.9	6.2	6.6	2.3	1.2	-0.2	-1.0	10.3	6.5	9.4	16.8	13.0
1922	8.4	9.5	9.1	7.7	7.4	11.6	4.8	4.6	1.3	-0.5	-1.7	-2.9	9.0	4.9	9.4	16.1	13.3
1923	9.4	10.4	10.0	8.6	8.3	12.3	5.6	5.4	2.0	-0.1	-1.3	-2.4	9.9	5.7	9.4	15.6	13.8
1924	8.5	9.7	9.5	7.7	7.4	11.9	5.1	5.2	1.5	0.0	-1.3	-2.0	9.1	5.3	9.4	16.6	14.1
1925	9.0	10.0	9.6	8.0	7.9	11.6	5.2	4.9	1.1	-0.4	-1.7	-2.6	9.5	5.2	9.4	15.4	11.5
	45.2	50.4	49.1	41.0	39.9	60.3	26.9	26.7	8.2	0.2	-6.2	-10.9	47.8	27.6	47.0	80.5	65.7
1926	9.6	10.3	10.3	8.6	8.5	12.6	6.2	5.9	1.9	0.5	-1.0	-1.8	10.0	6.0	9.4	13.9	11.6
1927	9.2	10.2	9.9	8.4	8.1	12.3	5.8	5.5	1.8	0.3	-1.2	-1.8	9.7	5.7	9.4	16.4	13.8
1928	9.8	10.9	10.5	9.0	8.8	12.5	6.2	5.9	1.9	0.4	-1.0	-1.9	10.3	6.1	9.5	17.3	14.7
1929	9.0	9.8	9.8	7.9	7.7	12.0	5.4	5.4	1.0	0.1	-1.5	-2.2	9.4	5.4	9.4	20.9	17.3
1930	9.8	10.7	10.5	9.1	8.8	11.8	6.4	6.0	1.8	0.2	-1.1	-1.5	10.3	6.0	9.5	15.3	13.4
	47.4	51.9	51.0	43.0	41.9	61.2	30.0	28.7	8.4	1.5	-5.8	-9.2	49.7	29.2	47.2	83.8	70.8
1931	8.5	9.7	9.2	7.8	7.5	11.4	4.9	4.6	1.0	-0.7	-1.9	-2.7	9.1	4.9	9.5	16.4	15.2
1932	8.9	9.8	9.8	8.1	7.9	11.4	5.6	5.4	1.3	-0.1	-1.7	-1.6	9.4	5.4	9.5	18.4	13.5
1933	8.8	9.7	10.0	7.9	7.6	11.5	5.1	5.0	1.0	-0.7	-2.2	-2.7	9.3	5.1	9.5	17.4	13.7
1934	9.9	10.7	10.6	9.1	9.0	12.0	6.3	6.2	1.9	0.9	-0.4	-1.0	10.3	6.3	9.5	19.0	13.3
1935	9.4	10.3	10.0	8.4	8.2	11.6	5.4	4.9	0.9	-0.5	-2.0	-2.6	9.9	5.3	9.5	16.3	14.6
	45.5	50.2	49.6	41.3	40.2	57.9	27.3	26.1	6.1	-1.1	-8.2	-10.6	48.0	27.0	47.5	87.5	70.3
1936	9.6	10.3	10.2	8.6	8.5	11.3	5.8	5.5	1.5	-0.2	-1.6	-2.1	9.9	5.6	9.5	14.7	13.2
1937	9.8	10.7	10.6	8.8	8.7	11.6	6.1	5.8	1.6	-0.1	-1.4	-2.2	10.3	5.8	9.6	15.4	12.3
1938	9.3	10.1	10.3	8.4	8.3	11.6	5.6	5.6	1.3	-0.2	-1.0	-1.9	9.7	5.6	9.6	16.6	14.9
1939	9.1	9.8	10.0	8.0	8.0	11.1	5.4	5.1	1.1	-0.4	-1.8	-2.4	9.5	5.2	9.6	16.2	12.8
1940	8.2	9.3	9.2	7.4	7.2	10.8	4.7	4.6	0.5	-0.8	-2.0	-3.0	8.7	4.7	9.6	18.0	12.9
	46.0	50.2	50.3	41.2	40.7	56.4	27.6	26.6	6.0	-1.7	-7.8	-11.6	48.1	26.9	47.9	80.9	66.1
1941	8.5	9.4	9.3	7.6	7.5	10.7	4.8	4.7	0.6	-0.6	-2.2	-2.9	8.9	4.8	9.6	18.9	15.2
1942	8.8	10.0	10.1	7.9	8.0	11.6	5.4	5.3	1.9	0.1	-1.1	-1.9	9.4	5.5	9.6	20.4	16.8
1943	10.2	11.0	11.0	9.1	9.3	12.8	6.4	6.4	2.2	0.6	-0.4	-1.0	10.6	6.5	9.6	16.6	12.9
1944	9.3	10.3	9.6	8.0	8.2	11.5	5.1	4.9	1.1	-0.9	-1.8	-2.8	9.8	5.2	9.6	18.0	14.2
1945	10.1	11.0	10.5	8.8	9.0	12.6	6.1	6.2	1.9	0.3	-0.6	-1.5	10.5	6.2	9.6	19.0	16.0
	46.9	51.7	50.5	41.4	42.0	59.2	27.8	27.5	7.7	-0.5	-6.1	-10.1	49.2	28.2	48.0	92.9	75.1
1946	9.6	10.7	10.3	8.6	8.6	11.7	5.9	5.7	1.7	0.4	-1.0	-1.4	10.1	5.9	9.7	16.4	13.9
1947	10.6	11.4	11.4	9.8	9.5	12.1	6.9	6.7	2.5	1.2	0.0	-0.9	11.0	6.8	9.7	21.7	18.2
1948	10.0	10.5	10.8	9.1	9.0	12.1	6.5	6.4	2.2	1.3	-0.2	-0.9	10.2	6.4	9.8	13.9	12.6
1949	10.5	11.0	11.1	9.6	9.5	12.7	6.4	6.7	2.1	1.2	-0.1	-1.0	10.7	6.6	9.8	17.8	12.1
1950	10.0	10.9	10.7	9.3	9.2	12.2	6.3	6.0	1.7	0.7	-0.8	-1.3	10.5	6.2	9.8	17.2	14.5
	50.7	54.5	54.3	46.4	45.8	60.8	32.0	31.5	10.2	4.8	-2.1	-5.5	52.5	31.9	48.8	87.0	71.3
1951	9.7	10.3	10.5	8.7	8.8	11.5	6.1	5.8	1.8	0.0	-1.2	-1.4	10.0	5.9	9.8	16.1	14.9
1952	9.8	10.6	10.3	8.9	8.8	11.6	5.7	5.6	1.6	-0.3	-1.6	-2.5	10.2	5.7	9.9	19.6	16.0
1953	9.6	10.4	10.2	8.6	8.7	12.2	5.9	6.3	1.9	0.8	-0.5	-0.9	10.0	6.1	9.9	17.7	14.8
1954	9.0	10.1	9.8	8.3	8.2	11.2	5.1	5.0	1.5	-0.4	-1.8	-2.6	9.6	5.3	9.9	16.5	12.5
1955	9.2	10.4	10.1	8.2	8.3	11.7	5.5	5.5	1.7	-0.3	-1.4	-2.4	9.8	5.5	9.9	15.3	12.3
	47.3	51.8	50.9	42.7	42.8	58.2	28.3	28.2	8.5	-0.2	-6.5	-9.8	49.6	28.5	49.4	85.2	70.5
1956	7.9	9.2	9.0	7.1	7.3	10.9	4.2	4.1	0.6	-1.3	-2.4	-3.3	8.6	4.4	9.9	16.5	13.8
1957	9.5	10.4	10.3	8.5	8.8	11.7	5.9	5.9	2.0	0.8	-0.1	-1.4	10.0	6.0	9.9	15.4	12.6

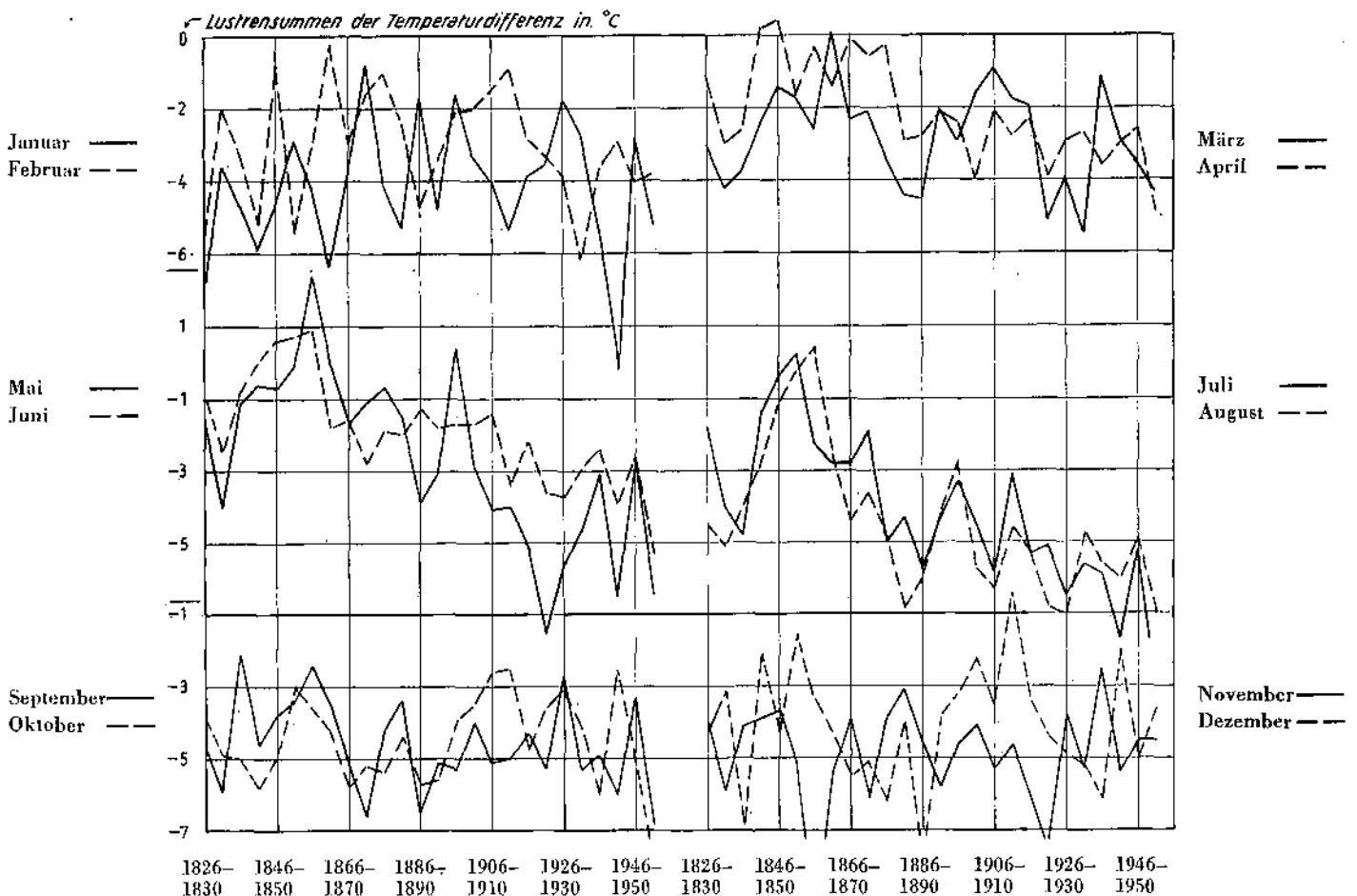
In Genf begannen die meteorologischen Beobachtungen im Jahr 1760. Sie sind bis 1767 lückenhaft, seither jedoch fast vollständig. Seit 1836 war die Aufstellung beinahe unverändert, die Reihe 1826—1835 zudem in sehr ähnlicher Lage, ein seltener Glücksfall. Die einzelnen Beobachtungsreihen sind in der Bibliographie von Billwiller [5] aufgeführt, ferner finden wir eine Besprechung in [1] Bd. I, S. 19 und 23 mit Angabe der Werte für die Periode 1836—1900. Auf die älteren Serien werden wir nachfolgend näher eingehen. In neuester Zeit, vom Jahre 1951—1956 trat infolge der Errichtung eines astronomischen Beobachtungspavillons am früheren Standort der Thermometerhütte eine Veränderung ein. Da es sich zeigte, daß die an die nördliche Pavillonwand angelehnte Hütte etwas höhere Temperaturen ergab (etwa $0.2-0.3^\circ$ im Jahresmittel), mußten die Werte von 1951—1956 etwas erniedrigt werden. Seit 1957 ist durch die Aufstellung einer englischen Hütte der alte Zustand annähernd wiederhergestellt worden.

Die Genfer Reihe wurde ungefähr gleichzeitig vom Verfasser in Zürich im Zusammenhang mit der Basler Temperaturreihe und unabhängig davon von Dr. E. Ambühl [6] in Bern zusammen mit der Temperaturreihe des Gr. St. Bernhard bearbeitet. Die Zürcher Bearbeitung ergab in Genf ähnlich wie in Basel einen zunehmenden Stadteinfluß, der sich aber auf eine längere Zeit-

dauer erstreckt, etwa von 1866—1935, und etwas weniger ausgesprochen ist als in Basel, da sich die Genfer Beobachtungsstation zwar ebenfalls am zunehmend überbauten Stadtrand, aber in etwas erhöhter, freier Lage befindet. Für die genauere Ortsbeschreibung verweisen wir auf die ausführliche Stationsgeschichte von R. Gautier und G. Tiercy [7]. Die Temperaturerhöhung gegenüber dem Freiland war in Genf schwierig festzustellen, weil in ähnlicher klimatologischer Lage wenig langjährige und unveränderte Reihen vorhanden sind. Die auf Grund eingehender Vergleiche mit den Basler Werten gefundene Erwärmung in den Sommermonaten in bezug auf die Umgebung (vgl. Fig. 2) wurde mit Hilfe der Lausanner Beobachtungen (von 1887—1954 unveränderte Aufstellung im sogenannten «Champ de l'Air») überprüft. Ferner wurde die aus mehreren Teilstücken bestehende Reihe von Montreux und die seit 1864 unveränderte Reihe von Neuenburg (Neuchâtel) zum Vergleich beigezogen. Die Genfer Stadt-Erwärmung bestätigte sich bei diesen Kontrollen. Im Sommer wurde sie zu 0.4° , im Winter zu 0.0° , im Jahresmittel zu 0.16° gefunden. In der ebenfalls eingehenden Berner Bearbeitung von E. Ambühl [6], d. h. aus dem Vergleich mit den Beobachtungen des Gr. St. Bernhard, zeigte sich dagegen kein wesentlicher säkularer Gang der Temperaturdifferenzen zwischen den beiden Reihen, so daß Ambühl keine Stadt-

Fig. 2

Lustrensummen der Temperaturdifferenz Basel-Binningen — Genf-Observatoire 1826—1955



erwärmung feststellen konnte. Bei der endgültigen Zusammenstellung der Reihe wurden daher die Durchschnitte der in den beiden Untersuchungen erhaltenen Monatsmittel als wahrscheinlichste Werte angenommen. Neben der Stadterwärmung mußte eine Änderung der Temperaturmittelberechnung um die Jahrhundertwende berücksichtigt werden. Allgemein wird im schweizerischen klimatologischen Beobachtungsnetz das Monatsmittel der Temperatur als sog. Vierermittel aus den 3 Beobachtungsterminen $7\frac{1}{2}$ h, $13\frac{1}{2}$ h und zweimal $21\frac{1}{2}$ h mitteleuropäischer Zeit berechnet, d. h. die Abendbeobachtung geht mit doppeltem Gewicht in den Mittelwert ein, wodurch eine weitgehende, aber nicht völlige Annäherung an das wahre 24 Std.-Mittel erreicht wird. Bis 1900 galten für die Beobachtungsreihen von Genf und Gr. St. Bernhard andere Ablesenzeiten (vgl. Tab. 2). Die in [1] veröffentlichten Werte sind auf wahre Mittel, d. h. auf den 24-Std.-Durchschnitt, also nicht auf das Vierermittel, reduziert, wodurch sich gegenüber den neueren, in den Annalen der Meteorologischen Zentralanstalt [8] seit 1901 veröffentlichten Werten nach übereinstimmenden Vergleichen von R. Billwiller [9], R. Gautier [10] und E. Ambühl [6] im Sommer eine Korrektur von $0.3-0.4^\circ$, im Winter von 0.0° , im Jahresdurchschnitt von 0.15° ergibt. Alle Beobachtungen wurden auf das jetzt gebräuchliche Vierermittel reduziert. Wesentlich größere Schwierigkeiten bot die Bearbeitung der alten Beobachtungen vor 1826. 1826—1835 wurden die Ablesungen an einem, einige hundert Meter vom heutigen Standort entfernten, aber sehr ähnlich gelegenen Ort durchgeführt, so daß sie ohne Korrektur in den sorgfältigen Bearbeitungen von E. Plantamour [11] und [12] verwendet werden konnten. Vorher waren dagegen sowohl Aufstellung als auch Ablesetermine sehr verschieden, wurde doch damals morgens nicht zu festen Zeiten, sondern bei Sonnenaufgang abgelesen, offenbar aus der richtigen Erkenntnis heraus, damit in der Regel zugleich das Tagesminimum zu erhalten. Die Nachmittagsbeobachtung erfolgte um 14 h Ortszeit, also in der Nähe des Tagesmaximums. Dazu kam anfänglich eine Abendbeobachtung bei Sonnenuntergang zu Beginn der Messungen am astronomischen Observatorium im Dezember 1798. Diese dritte Beobachtung wurde jedoch von 1800 an fallen gelassen. Schon vor dem Jahr 1798 finden wir regelmäßige Beobachtungen in Genthod bei Genf. Sie beginnen im Jahr 1789, wurden 1794 für ein halbes Jahr unterbrochen, 1795 wieder aufgenommen und reichen bis zur Eröffnung des Observatoriums in Genf im Jahre 1798 [13]. 3 Ablesungen pro Tag. Sie sind von 1796—1798 im Supplementband I 1835 zu den Annalen der Met. Zentralanstalt [14] aufgeführt. Die ebenfalls in [14] enthaltenen Beobachtungen von 1799—1825 wurden im Botanischen Garten durchgeführt, bis 1821 im alten, südwestlich der Stadt gelegenen, ab 1822 im neuen im Norden am Sceufer gelegenen Garten. Bei dieser Verlegung trat ein starker Temperatursprung auf, wobei wie beim späteren Anschluß der Reihe 1826 ff. weder eine Überlappung der Reihen noch eine Parallelreihe vorhanden ist. Unglücklicherweise trat 1825/26 auch in der Berner Beobachtungsreihe ein Beobachter- und Standortwechsel auf und die Basler Reihe ist infolge der Beobachtungs-

lücke von 1805—1825, welche mit Nachbarstationen geschlossen werden mußte, ebenfalls nur bedingt für die Reduktion der Reihen des Botanischen Gartens auf die neueren Genfer Beobachtungen brauchbar. Ambühl [6] schloß die älteren Beobachtungen mit Hilfe der Temperaturen des Gr. St. Bernhard an die 1826 beginnende Reihe an, wobei aber nur die Sommermonate verwendet werden konnten, da die Differenzen im Winter angesichts des großen Höhenunterschiedes (2000 m!) zu stark streuen. In der Zürcher Bearbeitung wurde der Anschluß über die Basler Reihe durchgeführt, welche sich ihrerseits in dieser Periode auf das Mittel aus Karlsruhe, Straßburg und Stuttgart stützt. Eine Abschätzung der Fehler der beiden Reduktionen ergab das Resultat, daß beide etwa gleich genau sein dürften, so daß das Mittel der beiden Berechnungen als definitiver Wert gewählt wurde. Eine Kontrolle ergab sich nachträglich bei der Bearbeitung der Berner Reihe, welche einerseits unter Verwendung des Mittelwertes $\frac{1}{2}$ (Basel + Genf) und andererseits mit Hilfe des direkten Anschlusses der beiden Berner Reihen 1797—1827 (Studer) und 1826—1846 (Trechsel) durchgeführt werden konnte (vgl. [5]). Aus den Differenzen zwischen $\frac{1}{2}$ (Basel + Genf) und den Reihen Studer 1806—1826 und Trechsel 1826—1835, d. h. in den Zeiten, in welchen jede dieser Reihen in sich ziemlich homogen ist, ergab sich für den Temperaturunterschied Studer—Trechsel aus den Differenzen mit $\frac{1}{2}$ (Basel + Genf) im Jahresmittel 0.7° , durch den direkten Vergleich Studer—Trechsel in der Zeit 1826 IV—1827 VI, während sich die beiden Reihen überlappen, ebenfalls 0.7° , wobei in den einzelnen Monaten die Abweichungen im allgemeinen nur $0.1-0.2^\circ$ betragen, so daß diese Kontrolle die Anschlußrechnungen stützt.

Von den älteren Genfer Beobachtungsreihen (vgl. [5]) ist diejenige von Deluc [15] die wertvollste, trotzdem nur eine einzige Ablesung pro Tag, morgens zwischen 7 und 8 h vorgenommen wurde. Die Zeit ist aber bei jeder Beobachtung genau angegeben und die Termine wurden monatlich gewechselt, so daß die Werte verhältnismäßig leicht an Hand des von Plantamour S. 12 in [12] untersuchten Tagesganges der Temperatur in Genf auf Vierermittel umgerechnet werden konnten. Die Aufstellung von Deluc vor einer gegen Norden gerichteten Dachlücke bezeichnet er selbst als eine der bestmöglichen im alten Genf und dies dürfte, da keine wesentlichen Erwärmungen durch das am Morgen nur schwach bestrahlte Dach anzunehmen sind, richtig sein. Die Aufstellung spielt für die Verwendbarkeit der Reihen ja eine wesentliche Rolle, da damals die Thermometer meist ohne Strahlungsschutz aufgestellt wurden. Die homogene Reihe von Deluc umfaßt mit nur geringen Lücken 33 Jahre von 1768—1800, sie kann somit direkt an die Reihe des alten Botanischen Gartens angeschlossen werden. Da der Anschluß der Reihe des Botanischen Gartens an die neueren Reihen ab 1826, wie oben ausgeführt wurde, schwierig war, wurde zur Kontrolle auch ein direkter Anschluß der Deluc-Reihe an die Beobachtungen ab 1826 mit Hilfe der Basler und der Mailänder Reihe [4] und [27] vorgenommen, um die systematischen Fehler möglichst zu eliminieren. Es galt ferner, die aus einer einzigen Beobachtung pro Tag resultierenden Fehler-

quellen in der Bestimmung der einzelnen Monatsmittel soweit als möglich auszumerzen. Daher wurden neben der Reihe von Deluc auch die übrigen in [5] aufgeführten älteren Genfer Reihen beigezogen und an die Deluc-Reihe angeschlossen (de Lubières [16] 1760—1789, besonders zu Beginn unvollständig, 2 verschiedene Standorte, 2 Ablesungen pro Tag, Senebier [17] 1782—1789, 3 Ablesungen pro Tag, Genthod [13] 1789—1798 vgl. oben, sowie für einzelne Interpolationen 1782 VI, 1784 VI, 1785 III die Reihe von Pictet [18] 1774—1787). Ferner konnten die auf Genf reduzierten Reihen von Bern [14, 19] (von 1777 an) und von Gurzelen [20 a] (1771—1784) verwendet werden, wobei die letzteren jedoch infolge der großen Entfernung von 125 km nur mit einem Viertel des Gewichtes der Genfer Stationen eingesetzt wurden. Von 1768 an nach rückwärts standen — da die unvollständigen Ablesungen de Lubières' aus dieser Zeit unbrauchbar waren — keine Genfer Beobachtungen zur Verfügung. Da sich aber bei der Bearbeitung der Basler Reihe gezeigt hatte, daß die in [21] veröffentlichten, in mühsamer Arbeit im 19. Jahrhundert auf Tagesmittel reduzierten Beobachtungen von Neuenburg 1753—1782 mit Ausnahme der Jahre um 1866 zuverlässig sind, wurden sie mit Hilfe der Vergleichsperiode 1768—1782 auf Genf reduziert. Bei der ähnlichen geographischen Lage der beiden Stationen (Jurafuß, am Rande eines größeren

Sees in etwa 400 m ü. M.) kann diese Reduktion trotz der Entfernung von etwa 105 km im Rahmen der bei alten Reihen erzielbaren Genauigkeit der Monatsmittel vorgenommen werden. Die einzelnen Monatsmittel sind naturgemäß um etwa $\frac{1}{2}$ — 1° unsicher, die Zehntelgrade sind nur als Rechnungsgrößen zu werten. Für die Jahre 1762—1766, in denen die Neuenburger Beobachtungen lückenhaft und offenbar im Jahre 1766 etwa $\frac{1}{2}^\circ$ höher sind als in den übrigen Jahren, wurde die Berner Reihe 1760—1766 [20 b] zur Ergänzung beigezogen.

Als dritte Grundreihe konnten vom Jahre 1817 an die bereits erwähnten Beobachtungen des *Gr. St. Bernhard* verwendet werden, welche von Ambühl [6] eingehend studiert und auf Vierermittel reduziert wurden. Neben den Reduktionen, die durch die im 19. Jahrhundert häufig wechselnden Beobachtungszeiten notwendig wurden (Tab. 2), war eine Thermometerkorrektur anzubringen. In [1] wurde die 1883 festgestellte Korrektur von 0.55° linear auf die Periode 1851—1882 verteilt. Die Nachkontrolle der frühern Thermometervergleiche und das theoretisch zu erwartende nichtlineare Anwachsen der Fehlanzeige ergab demgegenüber folgende Korrekturbeträge:

bis 1860	1861-62	1863-66	1867-71	1872-75	1876-80	ab 1881
0.0°	-0.1°	-0.2°	-0.3°	-0.4°	-0.5°	-0.6°

Tab. 2 nach E. Ambühl

Temperaturablesungen in Orstzeit

Genève

Gr. St. Bernard

welche für die Berechnung des Vierermittels: $\frac{1}{4} (7\frac{1}{2} + 13\frac{1}{2} + 2 \cdot 21\frac{1}{2})$ verwendet wurden.

S. A. = Sonnenaufgang
S. U. = Sonnenuntergang

— Änderung des Standortes,
— der Beobachtungstermine

Genthod: bis XI. 1798	S. A. 14 S. U.
XII. 1798— 1799	S. A. 14 S. U.
1800— 1821	S. A. 14
1822— 1825	S. A. 14
1826— 1835	9, 12, 15 Min. Max.
1836— 1846	8, 9, 12, 15, 20, 21 Min. Max.
1847— 1848	6, 8, 9, 12, 15, 18, 20, 21
1849— XI. 1883	6, 8, 10, 12, 14, 16, 18, 20, 22
XII. 1883— 1928	1, 4, 7, 10, 13, 16, 19, 22
1929—	7, 13, 21

= MEZ $7\frac{1}{2}$, $13\frac{1}{2}$, $21\frac{1}{2}$

15. IX. 1817— 1825	S. A. 14
1926— 1835	9, 12, 15 Min. Max.
1836— 1845	S. A. 9, 12, 15, 21 Min. Max.
1846	9, 12, 15, 21 Min. Max.
1847— 1850	6, 8, 9, 12, 15, 18, 20, 21
1851— XI. 1883	6, 8, 10, 12, 14, 16, 18, 20, 22
XII. 1883— IX. 1900	7, 10, 13, 16, 19, 22
X. 1900— VII. 1925	7, 13, 21
19. IX. 1925—	7, 13, 21

= MEZ $7\frac{1}{2}$, $13\frac{1}{2}$, $21\frac{1}{2}$

Beobachtungszeiten Genève im 18. Jahrhundert vgl. Text oben

Für die Kontrolle der neueren Beobachtungen seit der Jahrhundertwende standen die Differenzen zwischen dem Gr. St. Bernhard und den Bergstationen St. Gotthard, San Bernardino und Säntis zur Verfügung, seit 1938 auch Jungfrauoch. Daraus ergab sich, daß für die Jahre 1951 und 1953, als auf dem St. Bernhard zeitweise mangelhaft beobachtet wurde, Korrekturen notwendig sind (1951 I—III sowie 1953 VI, VII, XII + 1°, 1951 IV—VI, X—XII und 1953 IX—XI + 0.5°). Die Aufstellung der Instrumente erfuhr 1900 und 1925 Änderungen (vgl. [22]). 1926—1932 wurden dadurch Korrekturen notwendig, anfangs + 0.5°, dann abnehmend, 1932 nur noch + 0.1°. Am 19. September 1925 war das alte Thermometergehäuse, das an einer vormittags stark bestrahlten NE-Wand befestigt war und zu hohe Morgen-temperaturen zeigte, durch ein neues Gehäuse ersetzt worden. Die allmählich abnehmende Korrektur ist wahrscheinlich darauf zurückzuführen, daß das 1925 erneuerte Gehäuse anfänglich weiß gestrichen und daher gut reflektierend war, allmählich aber wieder wie sein Vorgänger grau wurde und wieder einen wesentlichen Strahlungsfehler aufwies. Im übrigen ist auf Grund der 1900—1901 durchgeführten Vergleichsmessungen [23] durch den Wechsel der Standorte kein wesentlicher Unterschied der Aufstellungen anzunehmen, nach 1925 wurde zudem wieder ungefähr der alte Standort gewählt, der seit Beginn der Beobachtungen im 19. Jahrhundert verwendet worden war. Die älteste durchgehende Bergstationsreihe im Höhenbereich der Gletscher ist — auch wenn die Aufstellung, wie erwähnt, in bezug auf Strahlungsfehler ähnlich wie die Säntisanordnung nicht einwandfrei ist — somit eine wertvolle Ergänzung zu den alten Talstationsreihen.

Zur weiteren Verlängerung der Höhenstationsreihen nach rückwärts bis ins 18. Jahrhundert hinein können wir die *St. Gotthard-Reihe* (2095 m) verwenden, welche zwar erst seit 1903 durchgehende Beobachtungen aufweist, aber in der Zeit der Societatis Meteorologicae Palatinae während einer 12½-jährigen Periode vom Juni 1781 bis Dezember 1792 eine Vorgängerin hat [24]. Wohl kennen wir die genaue Aufstellung der Instrumente aus dieser Periode nicht, wir haben auch keine Möglichkeit, die Eichfehler des Thermometers zu kontrollieren, doch ist auf dem Gotthard bei der kräftigen Belüftung durch den Paßwind eine wesentliche Dämpfung eines eventuellen Strahlungsfehlers anzunehmen. Da das Thermometer damals sicher neu war und für das Netz der Societatis Palatinae wohl gute Instrumente verwendet wurden, ist auch ein größerer Eichfehler unwahrscheinlich. Ein Strahlungsfehler würde eine zu hohe Temperatur ergeben, ebenso ein älteres Thermometer, da mit der Alterung ja regelmäßig negative Korrekturen auftraten. Nun zeigt sich aber, daß die Gotthardtemperaturen im Jahrzehnt 1781—1790 im Vergleich zu den heutigen Werten verhältnismäßig tief lagen, während die Talstationen wie auch die Hohenpeißenbergreihe (994 m ü. M.) in Oberbayern in jener Zeit relativ hohe Temperaturwerte ergeben. Wir müssen, falls sich dieses Ergebnis durch irgendwelche andern Beweise bestätigen läßt, annehmen, daß in jener Zeit der vertikale Temperaturgradient verhältnismäßig groß war und im Bereich

der Gletscher eine niedrige Temperatur herrschte. Möglicherweise läßt sich der damalige hohe Gletscherstand, der sich mit den hohen Taltemperaturen nicht leicht vereinbaren läßt, durch weitere Bearbeitung der alten Gebirgs-Beobachtungen klären.

Die neueren Gotthardbeobachtungen beginnen im Jahr 1864, doch wurde die Reihe 1876 und von 1890 an unterbrochen. Dagegen wurden an der ähnlich gelegenen Station San Bernardino (2073 m) bis zum Jahr 1940 ständig Beobachtungen durchgeführt, so daß bis zum Jahr 1905 die Beobachtungen dieser etwa 46 km weiter im ESE gelegenen Station auf St. Gotthard reduziert werden konnten, wobei sich aus der Vergleichsperiode 1903—1940 ein sicherer Reduktionsbetrag ergab. Ab 1906 war die St. Gotthard-Reihe bis zum zweiten Weltkrieg im allgemeinen zuverlässig, immerhin traten in den Jahren während und nach dem letzten Krieg häufige Unregelmäßigkeiten auf, welche zur Verlegung der Station vom Hospiz nach dem benachbarten Dienstgebäude der Elektrizitätsgesellschaft Aar e Ticino führten. Die Verlegung bewirkte keine wesentliche Änderung, so daß dieser Teil der Reihe, wie aus Vergleichen mit den Reihen Grimsel (1959 m), Gr. St. Bernhard (2479 m) und Säntis (2500 m) hervorgeht, ohne Reduktion verwendet werden kann.

Als letzte hochgelegene Bergstation finden wir in unserer Zusammenstellung den *Säntis*, der seit 1893 eine unveränderte Aufstellung besitzt, allerdings, wie beim Gr. St. Bernhard, mit zu hohen Sommer-Morgentemperaturen, da beide Thermometer sowohl an der NE- als auch an der NW-Wand morgens der Rückstrahlung von besonntem Stein ausgesetzt sind. Die Stationsgeschichte vor der Jahrhundertwende ist im Klima der Schweiz ([1] Bd. I, S. 8—9) ausführlich erläutert, so daß sich hier ein näheres Eingehen erübrigt. Die Beobachtungen von 1882—1892, welche aus drei Einzelreihen bestehen, wurden mit Hilfe der Station Rigi-Kulm (1787 m) auf die neue Säntisreihe reduziert. Vor dem September 1882 fehlen die Werte vom Säntis völlig, so daß die Werte des etwa 700 m tiefer und 68 km im WSW liegenden Rigi zur Ergänzung der Reihe auf den Säntis reduziert werden mußten. Für die Einzelmonate ergeben sich besonders im Winter, während welchem eventuell eine Nebelmeergrenze längere Zeit zwischen 1800 m und 2500 m liegen kann, Streuungen σ von etwa $\pm 0.5^\circ$, während die Jahresmittel auf $\pm 0.15^\circ$ genau erhalten werden.

Als Talstation im höhern Alpengebiet wurde die Reihe von *Bever* (1712 m) aufgenommen, welche seit 1864 durchgehend ist, aber einige Verlegungen innerhalb des Ortes aufweist, so in den Jahren 1892, 1897, 1901, 1919, 1934, 1945/46 und zuletzt anfangs 1955. Der Vergleich mit der ähnlich gelegenen Station Sils-Maria, welche ebenfalls seit 1864 existiert, zeigt, daß die Verlegungen bis 1934 nur geringe Änderungen zur Folge hatten, so daß keine Reduktion notwendig wurde. Die Werte von 1934—1944 mußten in allen Monaten um 0.6° herabgesetzt werden. Die Periode 1944—1954 zeigt zwar etwa 0.2° tiefere Werte als die ersten Beobachtungsreihen, doch wurde auf eine Korrektur verzichtet. Noch größere Änderungen brachte die Aufstellung einer englischen Hütte statt der vorher verwendeten Hausaufstellungen beim Bahnhof Bever anfangs 1955. Die Erniedri-

gung der Temperatur, besonders in den Wintermonaten, erreicht seither mehrere Zehntelgrade. Da die neue Reihe für eine definitive Bearbeitung noch zu kurz ist, wurden die Werte seit 1955 provisorisch mit $\pm 0.5^\circ$ in Jahresmittel auf die früheren Aufstellungen reduziert.

Von den beiden nächsttieferen Gebirgsstationen Mont Soleil (1174 m) und Engelberg (1018 m) bot die letztere für die Bearbeitung keine Schwierigkeiten, da sie seit 1864 unverändert im Kloster untergebracht ist und daher, wie die Kontrolle mit der Oberiberger Reihe zeigt, ohne Korrektur übernommen werden kann.

Dagegen erforderte die *Mont-Soleil*-Reihe im Jura eine Reduktion der Chaumont-Beobachtungen, da sie erst im Jahre 1908 beginnt. Da die beiden Berggücken nur 14 km voneinander entfernt sind und fast gleiche Höhe aufweisen, ist die Reduktion im Dezennium 1911—1920 durchführbar, nur erwies sich die aus mehreren Teilstücken zusammengesetzte, 1864 beginnende Chaumont-Reihe als nicht homogen. An Vergleichsstationen kamen vor der Jahrhundertwende neben dem benachbarten, aber viel tiefer gelegenen Neuchâtel einzig die homogene, aber 72 km weiter im SE in den Alpen gelegene Station Beatenberg in etwa gleicher Meereshöhe in Betracht. Beiden wurde gleiches Gewicht gegeben und mit Hilfe der so gewonnenen Kontrollreihen die Reduktion der Einzelreihen des Chaumont vorgenommen.

Als Alpentalstation wurde Sion im Wallis gewählt, wo seit 1864 Beobachtungen durchgeführt wurden. Die 1873 errichtete und bis heute beibehaltene Aufstellung im Kloster führte zu einer homogenen Reihe, einzig die während eines Umbaus vorgenommene Hilfsaufstellung von 1920 VII bis 1921 II ergab um etwa 0.6° höhere Werte, so daß jene Monatsmittel korrigiert werden mußten. Die älteren Beobachtungen vor 1873 mit zwei verschiedenen Aufstellungen (1864—1868 XI und 1868 bis 1873 VIII zeigen, wenn wir die Beobachtungen von Martigny und Bex als Vergleichsstation herbeiziehen, etwas höhere Werte als die Klusteraufstellung, so daß Reduktionen von -0.6° und -0.3° im Jahresmittel angebracht werden mußten.

Von den restlichen drei Talstationen liegen zwei im Mittelland (Bern und Zürich), eine am Alpensüdfuß (Locarno). Am wenigsten Schwierigkeiten boten die Zürcher Beobachtungen. Die Verlegung von 1890/91 von der Sternwarte in das Physikgebäude brachte keine Veränderung der Tages- und Monatsmittel der Temperatur. Die zweite Verlegung im September 1949 in die neue Meteorologische Zentralanstalt bewirkte dagegen eine Temperaturerniedrigung von 0.8° im Jahresmittel (vgl. [25]), trotzdem nur eine Höhenänderung von 475 auf 556 m eintrat. Unsere Tabellenwerte beziehen sich auf die neue Station (Thermometerhütte 556 m, Barometer 569 m).

Die *Berner* Beobachtungsreihe (572 m) ist zwar eine der ältesten, da sie mit Unterbrechungen bis zum Jahr 1760 zurückverfolgt werden kann, doch setzt sie sich bis zum Beginn dieses Jahrhunderts aus vielen einzelnen Bruchstücken zusammen. Vor dem Jahr 1864 wurden die Einzelreihen mit Hilfe des Mittels aus den Reihen Basel und Genf auf die heutige Station reduziert. Da es sich somit um eine unabhängige Beobachtungsserie handelt,

ist dieser Teil nicht in die tabellarische Zusammenstellung aufgenommen. Auch nach 1864 finden sich — wie in [1] Bd. I, S. 18, näher erläutert ist — noch Inhomogenitäten, welche mit Hilfe der Reihe von Neuchâtel sowie dem Mittel $\frac{1}{2}$ (Genf \pm Basel) ausgemerzt werden mußten. In der Beobachtungsperiode 1872—1897 mußte das Jahresmittel um -0.4° korrigiert werden. Seither wurden die Werte unverändert übernommen.

Als letzte und zugleich in bezug auf die am Ort selbst durchgeführten Beobachtungen kürzeste Serie ist *Locarno-Monti* (379 m) als Vertreterin des Tessins in unserer Übersichtstabelle 1 enthalten. Die Wahl dieser Station mag auf den ersten Blick überraschen, existieren doch von Monti erst Beobachtungen seit 1935, während von der Station Lugano, welche etwas tiefer in 274 m Höhe und 24 km weiter südlich-östlich liegt, eine bis 1864 zurückreichende Beobachtungsreihe existiert. Diese zeigt jedoch etwa in der Periode 1940—1948 eine bedeutende Inhomogenität, welche schwer erklärbar ist, da kein Standortwechsel vorliegt und der Übergang allmählich erfolgte, wie eingehende Vergleiche zeigten. Anstatt die Luganeser Reihe zu homogenisieren, wurde daher versucht, mit Hilfe des alten homogenen Teilstückes vor 1940 sowie der 1876 beginnenden Reihe von Locarno-Muralto (221 m), der mit Unterbrüchen und Stationsverlegungen bis 1864 zurückreichenden Reihe von Bellinzona (230 m) und der 1893 beginnenden, ziemlich homogenen Reihe von Comprovasco (544 m) die Reihe von Monti bis 1864 zurückzuverlängern. Als «Leitfaden» dienten dabei Lugano sowie bis 1884 zurück Locarno-Muralto. Die aus den vier Reihen ermittelten, auf Monti reduzierten Temperaturen wurden zum wahrscheinlichsten Mittelwert vereinigt, wobei die Gewichte je nach der Periode verschieden gewählt wurden, entsprechend der Streuung der Einzelmonatswerte aus den Vergleichsstationen um das provisorisch errechnete Mittel. In der Zeit seit 1897, in welcher an allen vier Vergleichsorten Beobachtungen existieren, wurde Locarno-Muralto das Gewicht 3, Bellinzona, Lugano und Comprovasco das Gewicht 1 gegeben. 1884—1896 stützt sich die Reihe im wesentlichen auf Locarno-Muralto mit Gewicht 2 und Lugano mit Gewicht $1\frac{1}{2}$. Vor 1884 kam zur Hauptreihe Lugano mit Gewicht 1 Bellinzona mit Gewicht $\frac{1}{2}$ —1 von 1864—1873 und 1876—1882 sowie Locarno mit Gewicht $\frac{1}{3}$ — $\frac{1}{2}$ von 1876—1880 und ab 1883. Als hervorstechendes Merkmal der erhaltenen Monti-Reihe ist die im Verhältnis zu den übrigen 11 Beobachtungs-Serien sehr geringe Temperaturzunahme vom 19. zum 20. Jahrhundert, die sich sehr eindrücklich in der Fig. 1 zeigt. Da die beiden durchgehenden Einzelserien von Locarno-Muralto und Lugano einen parallelen Gang aufweisen, besteht jedoch wenig Veranlassung, an der Realität dieser Erscheinung zu zweifeln. Eigenartig ist nur, daß die ebenfalls in der Fig. 1 aufgeführte, 1763 beginnende und mit Ausnahme des sicher zu kalten Teilstückes von 1833 bis 1840 verhältnismäßig homogene Reihe von Mailand (seit bald 200 Jahren im gleichen Gebäude!) die gleiche Erwärmung wie die Alpennordseitenstationen zeigt (vgl. [26, 27]).

Unser Überblick schließt somit mit einem Fragezeichen, indem die eigenartige Stellung des Tessins nicht

durch Unterschiede zwischen Alpennordseite und -Südseite erklärt werden kann. Verstecken sich systematische, unentdeckte Beobachtungsfehler in diesem Ergebnis — sie sind ja der große Feind aller langen Beobachtungsreihen — oder sind tatsächlich regionale Einflüsse am Werk, z. B. Änderung der Nordföhnhäufigkeit oder andere temperaturändernde Faktoren? Jede Untersuchung gibt Anlaß zu neuen Fragestellungen, und nur ein physikalisch begründeter, regional differenzierter und die Erscheinung erklärender Einfluß könnte uns völlig dem Zweifel entheben, ob wir all die vielfältigen Fehlerquellen, welche lange Reihen lokal verfälschen können, berücksichtigt haben. In dem in Tab. 1 und bei Fig. 1 aufgeführten Mittel aller 12 Reihen heben sich jedoch solche Restfehler sicher weitgehend auf, so daß wir daraus

einen Überblick über den Temperaturverlauf der letzten 95 Jahre in der Schweiz gewinnen.

Zum Schluß möchten wir allen Personen und Institutionen, welche uns bei der Arbeit behilflich waren, herzlich für ihre Mitarbeit danken. Herr Dr. Ambühl in Bern hat uns seine Berechnungen von Genf und vom Großen St. Bernhard, über die er an der Tagung der Schweizerischen Naturforschenden Gesellschaft in Basel 1956 berichtete, zur Verfügung gestellt. Die Direktion des astronomisch-meteorologischen Observatoriums Genf überließ uns für die Bearbeitung die wertvollen Originale der dortigen alten Beobachtungsreihen und die Direktion des astronomisch-meteorologischen Observatoriums Milano-Brebra gewährte uns freundlicherweise Einblick in die alten Mailänder Beobachtungen.

Bibliographie

1. J. Maurer, R. Billwiler und C. Heß: Das Klima der Schweiz. 1864—1900. 2 Bände, 302 u. 217 S. Frauenfeld 1909 und 1910.
2. W. Kündig: Der hypsometrische Aufbau des Areal und die Bevölkerungsdichte der Schweiz. Der Schweizer Geograph 1935, S. 113—128 (mit kleinen Korrekturen nach H. Uttinger: Zur Höhenabhängigkeit der Niederschlagsmenge in den Alpen, Archiv f. Met. Geoph. u. Bioklimat. Serie B, Band 2, 1951, S. 363 u. 382).
3. A. Wagner: Untersuchung der säkularen Änderung der Jahreschwankung der Temperatur in Europa. Gerl. Beitr. Z. Geoph. XX, S. 134—158, 1928.
4. M. Bider, M. Schüepp u. H. v. Rudloff: Die Reduktion der 200-jährigen Basler Temperaturreihe. Archiv f. Met. Geoph. u. Bioklimat. Serie B, Bd. 9 (erscheint demnächst).
5. R. Billwiler: Bibliographie der schweizerischen Landeskunde, Faszikel IV 4, Klimatologie, Bern, 1927.
6. E. Ambühl: Die Genfer Temperaturreihe 1799—1950 und die Gr. St. Bernhardreihe 1817—1950. Unveröffentlichte Berechnungen der Monats- und Jahresmittel. Bern. Wird voraussichtlich in den Archives des Sciences Physiques et Naturelles de Genève erscheinen.
7. R. Gautier et G. Tiercy: L'observatoire de Genève 1772—1830—1930, Publications de l'observatoire, Série A, Volume II, 170 pages, Genève, 1930.
8. Annalen der Meteorologischen Zentralanstalt. Seit 1864 jährlich erscheinend, Zürich.
9. R. Billwiler: Unveröffentlichte Berechnungen, Manuskript Meteor. Zentralanstalt Zürich.
10. R. Gautier et E. Rod: Publications de l'observatoire de Genève, Série M, Fascicule 3, Résumé météorologique de l'année 1929 pour Genève et le Grand Saint-Bernard, p. 7, Genève, 1930.
11. E. Plantamour: Du climat de Genève, 208 p., Genève, 1863.
12. E. Plantamour: Nouvelles études sur le climat de Genève, 261 pages. Genève, 1876.
13. Genthod: Meteorologische Beobachtungen (Barometer, Thermometer, Hygrometer, Pluviometer) von F. G. Maurice. Manuskript. Observatoire Genève.
14. Schweizerische Meteorologische Beobachtungen, herausgegeben von der Schweiz. Meteorologischen Zentralanstalt, Supplementband I, Zürich, 1885.
15. G. A. Deluc: Journal Météorologique 1768—1800, 2 Bände. Barometer und Temperaturbeobachtungen. Manuskript. Observatoire Genève.
16. Ch. B. de Labières: Tägliche meteorologische Beobachtungen (Barometer, Thermometer, Pluviometer und Himmelszustand), Manuskript. Observatoire Genève.
17. Senebier: Observations genevoises 1782—1789, Ephemerides soc. meteor. Palatinae, Mannheim, 1782—1789.
18. M. A. Pictet: Meteorologische Beobachtungen (Barometer, Thermometer und Himmelszustand) 1774—1787 Wohnung Genf und Cartigny, 1788—1791, altes Observatorium. Manuskript, Observatoire Genève.
19. Schweizerische Meteorologische Beobachtungen herausgegeben von der meteorologischen Zentralanstalt der schweizerischen naturforschenden Gesellschaft, Bd. 10, S. 464—465, 512—517, 562—569, Zürich, 1873.
20. Schweizerische Meteorologische Beobachtungen, herausgegeben von der meteorologischen Zentralanstalt der schweizerischen naturforschenden Gesellschaft, Bd. 8, Zürich 1871: a) Curzelen, S. 142—153, 194—205, 518—521; b) Bern, S. 42—49, 92—96.
21. Bull. soc. nat. Neuchâtel, Bd. VI 1862/63, S. 219—235 und Bd. IX 1871, S. 56—57 und S. 122.
22. Archives des sciences physiques et naturelles: 105e année, t. 10, p. 610—611, Genève 1900, — 131e année, 5e période, vol. 8, p. 35—36, Genève 1926 (Modifications des observations météorologiques de Genève et du Gr. St-Bernard par R. Gautier).
23. Archives des sciences physiques et naturelles: 107e année, t. 14, p. 583—589, Genève 1902 (Résumé météorologique de l'année 1901 pour Genève et le Gr. St-Bernard par R. Gautier).
24. Ephemerides societatis meteorologicae Palatinae, Observationes ex Monte S. Gottardi, Mannheim 1781—1792.
25. H. Uttinger und M. Schüepp: Zur Reduktion klimatischer Mittelwerte von Zürich auf die neue Beobachtungsstation Krähbühlstraße der Schweizerischen Meteorologischen Zentralanstalt, Annalen der Meteorologischen Zentralanstalt, Jahrgang 1950, Anhang Nr. 6, Zürich 1951.
26. L. Santomauro: Lineamenti climatici di Milano, 251 S., Quaderni della città di Milano I, Milano, 1957.
27. Jahrbücher der K. K. Zentralanstalt für Meteorologie und Erdmagnetismus, 1. Band, Mehrjährige Beobachtungen in Mailand, 1763—1850, S. 75—114, Wien, 1845.